



UNIVERZITET U NOVOM SADU
FAKULTET TEHNIČKIH NAUKA



Dejan Vasić

**MODEL GEODETSKOG PREMERA
SAVREMENIM AKVIZICIONIM
TEHNOLOGIJAMA**

DOKTORSKA DISERTACIJA

Novi Sad, 2017 godine.



KLJUČNA DOKUMENTACIJSKA INFORMACIJA

| | | |
|---|--|--------------------------------------|
| Redni broj, RBR: | | |
| Identifikacioni broj, IBR: | | |
| Tip dokumentacije, TD: | Monografska publikacija | |
| Tip zapisu, TZ: | Tekstualni štampani materijal | |
| Vrsta rada, VR: | Doktorska disertacija | |
| Autor, AU: | Dejan Vasić | |
| Mentor, MN: | Dr Toša Ninkov, redovni profesor | |
| Naslov rada, NR: | MODEL GEODETSKOG PREMERA SAVREMENIM AKVIZICIONIM TEHNOLOGIJAMA | |
| Jezik publikacije, JP: | Srpski / latinica | |
| Jezik izvoda, JI: | Srpski | |
| Zemlja publikovanja, ZP: | Republika Srbija | |
| Uže geografsko područje, UGP: | Vojvodina | |
| Godina, GO: | 2017 | |
| Izdavač, IZ: | Autorski reprint | |
| Mesto i adresa, MA: | Novi Sad, Trg Dositeja Obradovića 6 | |
| Fizički opis rada, FO: (poglavlja/strana/citata/tabela/slika/grafika/priloga) | 10/201/2017/140/0/2 | |
| Naučna oblast, NO: | Geodetsko inženjerstvo | |
| Naučna disciplina, ND: | Geodezija i geomatika – Savremene tehnologije prikupljanja i obrade podataka | |
| Predmetna odrednica/Ključne reči, PO: | Geodezija, LiDAR, UAV, GNSS, model geodetskog premera | |
| UDK | | |
| Čuva se, ČU: | U biblioteci Fakulteta tehničkih nauka, Novi Sad | |
| Važna napomena, VN: | | |
| Izvod, IZ: | Prikupljanje prostornih podataka se danas, u projektima premera i obnove premera, različitim projektima iz oblasti inženjerske geodezije, realizuje konvencionalnim metodama, koje najčešće obezbeđuju traženu tačnost izlaznih podataka. Sa druge strane, razvojem novih tehnologija i uređaja za prikupljanje podataka nameću se i nove metode rada koje obezbeđuju neuporedivo veći nivo detaljnosti od konvencionalnih metoda pa veoma često imaju prednost u odnosu na konvencionalne metode naročito u projektima inženjerske geodezije. U disertaciji je dat predlog modela geodetskog premera savremenim akvizicionim tehnologijama koji ispunjava kriterijume kvaliteta definisane pravilnikom o premeru zemljišta i kriterijume inženjerske geodezije. | |
| Datum prihvatanja teme, DP: | 12.07.2016 | |
| Datum odbrane, DO: | | |
| Članovi komisije, KO: | Predsednik: | Dr Miro Govedarica, redovni profesor |
| Član: | Dr Ivan Aleksić, redovni profesor | |
| Član: | Dr Vladimir Bulatović, vanredni profesor | |
| Član: | Dr Zoran Sušić, docent | Потпис ментора |
| Član, mentor: | Dr Toša Ninkov, redovni profesor | |



KEY WORDS DOCUMENTATION

| | | |
|--|--|---|
| Accession number, ANO: | | |
| Identification number, INO: | | |
| Document type, DT: | Monographic publication | |
| Type of record, TR: | Textual printed material | |
| Contents code, CC: | Ph.D. Thesis | |
| Author, AU: | Dejan Vasić | |
| Mentor, MN: | Dr. Toša Ninkov, Full professor | |
| Title, TI: | MODEL OF GEODETIC MEASUREMENT WITH MODERN ACQUISITION TECHNIQUES | |
| Language of text, LT: | Serbian | |
| Language of abstract, LA: | Serbian/English | |
| Country of publication, CP: | Republic of Serbia | |
| Locality of publication, LP: | Vojvodina | |
| Publication year, PY: | 2017 | |
| Publisher, PB: | Author's reprint | |
| Publication place, PP: | Novi Sad, Dositeja Obradovica 6 | |
| Physical description, PD: (chapters/pages/ref./tables/pictures/graphs/applications) | 10/201/201/27/140/0/2 | |
| Scientific field, SF: | Geodetic engineering | |
| Scientific discipline, SD: | Geodesy and Geomatics, Modern methods of data collection and processing | |
| Subject/Key words, S/KW: | Geodesy, LiDAR, UAV, GNSS, Modern technologies for data collection. | |
| UC | | |
| Holding data, HD: | The Library of Faculty of Technical Sciences, Novi Sad, Serbia | |
| Note, N: | | |
| Abstract, AB: | The collection of spatial data is carried out today by conventional methods, which usually provide the required accuracy of the output data in the projects of diameter and diameter reconstruction, by various projects in the field of engineering geodesy. On the other hand, the development of new technologies and data collection devices imposes new methods of work that provide an incomparably higher level of detail than conventional methods, and they often have an advantage over conventional, especially in engineering projects. In the dissertation, the model of geodetic diameter model was presented with modern acquisition technologies that meets the quality criteria defined by the Land Regulations Rulebook and the criteria of engineering geodesy. | |
| Accepted by the Scientific Board on, ASB: | | |
| Defended on, DE: | | |
| Defended Board, DB: | President: | Dr. Miro Govedarica, Full professor |
| | Member: | Dr. Ivan Aleksić, Full professor |
| | Member: | Dr. Vladimir Bulatović, Associate professor |
| | Member: | Dr Zoran Sušić, Assistant professor |
| | Member, Mentor: | Dr. Toša Ninkov, Full professor |
| | | Menthor's sign |

Sadržaj

| | |
|---|-------------|
| Sadržaj | i |
| Spisak slika | v |
| Spisak tabela | xi |
| Spisak skraćenica | xiii |
| 1 UVOD | 1 |
| 1.1 Definisanje predmeta naučnog istraživanja | 1 |
| 1.1.1 Definicija pojmove premera, obnove premera i inženjerske geodezije | 1 |
| 1.1.2 Značaj razvoja informacionih tehnologija, računara i elektronike na razvoj tehnologija prikupljanja i obrade podataka u geodeziji | 2 |
| 1.1.3 Predmet naučnog istraživanja | 3 |
| 1.2 Cilj naučnog istraživanja | 4 |
| 1.3 Polazne hipoteze istraživanja | 4 |
| 1.4 Kratak opis poglavlja disertacije | 5 |
| 1.5 Aktuelno stanje rešavanja problema ažurnosti 3D podloga u geodeziji | 7 |
| 1.6 Primjenjene naučne metode savremenih tehnologija premera | 8 |
| 1.6.1 Aktuelne metode određivanja prostornih podataka u geodeziji | 9 |
| 1.6.1.1 Metoda precizne elektronske tahimetrije | 9 |
| 1.6.1.2 GNSS metoda | 9 |
| 1.6.1.3 Metoda automatizovane digitalne fotogrametrije | 12 |
| 1.6.1.3.1 Komponente UAV sistema | 14 |
| 1.6.1.3.2 Funtcionisanje UAV sistema | 15 |
| 1.6.1.3.3 Matematički model određivanja 3D koordinata karakterističnih tačaka terena i objekata | 15 |
| 1.6.1.4 Metoda 3D laserskog skeniranja - LiDAR | 20 |
| 1.6.1.4.1 Komponente LiDAR sistema | 20 |
| 1.6.1.4.2 Funtcionisanje LiDAR sistema | 29 |
| 1.6.1.4.3 MTLS (Mobilno terestričko lasersko skeniranje) | 32 |

| | | |
|-----------|---|-----------|
| 1.6.1.4.4 | Matematički model određivanja 3D koordinata karakterističnih tačaka terena i objekata | 35 |
| 1.6.2 | Procedure obrade podataka prikupljenih savremenim tehnologijama premera | 36 |
| 1.6.3 | Statističke metode analize podataka | 41 |
| 1.6.4 | Izvod iz Teorije grešaka merenja | 46 |
| 1.6.5 | Metode interpolacije | 50 |
| 1.6.5.1 | <i>Inverse distance weighted</i> (IDW) | 50 |
| 1.6.5.2 | <i>Natural neighbor interpolation</i> | 51 |
| 1.6.5.3 | Kriging | 51 |
| 1.6.5.4 | <i>Aerial</i> interpolacija | 53 |
| 1.7 | Struktura istraživanja u disertaciji | 55 |
| 2 | Prethodna istraživanja | 60 |
| 3 | Oblasti primene savremenih tehnologija premera | 67 |
| 3.1 | Primena savremenih tehnologija kod premera urbanih sredina za potrebe izrade topografskih planova državnog premera i inženjerskih projekata | 67 |
| 3.2 | Primena savremenih tehnologija premera za potrebe urbanizma i prostornog planiranja | 70 |
| 3.3 | Primena savremenih tehnologija premera kod prikupljanja podataka za izradu DTM-a | 71 |
| 3.4 | Primena savremenih tehnologija premera za potrebe izrade topografskih podloga šumskih područja. | 78 |
| 3.5 | Primena savremenih tehnologija premera za potrebe snimanja i projektovanja dalekovoda | 80 |
| 4 | Postojeća pravilnička dokumentacija o topografskom premeru i topografsko-kartografskim proizvodima | 84 |
| 4.1 | Problemi kod korišćenja postojeće dokumentacije i neusaglašenosti postojećih pravilnika | 84 |
| 4.2 | Prikupljanje podataka LiDAR sistemom | 85 |
| 5 | Predlog modela geodetskog premera primenom savremenih akvizicionih tehnologija | 86 |
| 5.1 | Uvod | 86 |
| 5.2 | Kriterijumi izbora uzorka za eksperiment | 87 |
| 5.3 | Modelovanje objekta istraživanja | 87 |
| 5.3.1 | Osnovna klasifikacija oblaka tačaka | 88 |
| 5.3.2 | Izbor kontrolnih tačaka za kalibraciju | 90 |
| 5.3.3 | Izbor kontrolnih profila za kalibraciju | 94 |
| 5.3.4 | Definicija i izrada uslovno tačnog modela | 97 |
| 5.4 | Predlog modela geodetskog premera | 97 |

| | |
|---|------------|
| 6 Verifikacija modela | 106 |
| 6.1 Kalibracija podataka | 106 |
| 6.1.1 Rezultati analize originalno generisanih UAV i LiDAR podataka | 107 |
| 6.1.1.1 Rezultati analize originalno generisanih UAV i LiDAR podataka sprovedene na osnovu kontrolnih tačaka | 107 |
| 6.1.1.2 Rezultati analize originalno generisanih UAV i LiDAR podataka sprovedene na osnovu kontrolnih tačaka i kontrolnih profila | 110 |
| 6.1.2 Rezultati analize kalibriranih UAV i LiDAR podataka | 112 |
| 6.1.2.1 Rezultati analize kalibriranih UAV i LiDAR podataka sprovedene na osnovu kontrolnih tačaka | 113 |
| 6.1.2.2 Rezultati analize kalibriranih UAV i LiDAR podataka sprovedene na osnovu kontrolnih tačaka i kontrolnih profila | 116 |
| 6.2 Rezultati analize kalibriranih podataka - upoređenje sa uslovno tačnim modelom | 118 |
| 6.2.1 Analiza kalibriranih UAV podataka na osnovu kontrolnih tačaka i kontrolnih profila – upoređenje sa uslovno tačnim modelom PTM | 120 |
| 6.2.1.1 Analiza originalnih UAV podataka – upoređenje sa uslovno tačnim modelom PTM | 121 |
| 6.2.1.2 Analiza kalibriranih UAV podataka na osnovu kontrolnih tačaka – upoređenje sa uslovno tačnim modelom PTM | 123 |
| 6.2.1.3 Analiza kalibriranih UAV podataka na osnovu kontrolnih tačaka i kontrolnih profila – upoređenje sa uslovno tačnim modelom PTM | 125 |
| 6.2.1.4 Analiza originalnih i kalibriranih UAV podataka na osnovu kontrolnih tačaka i kontrolnih profila – upoređenje sa uslovno tačnim modelom PTM | 127 |
| 6.2.2 Analiza kalibriranih LiDAR podataka na osnovu kontrolnih tačaka i kontrolnih profila – upoređenje sa uslovno tačnim modelom PTM | 129 |
| 6.2.2.1 Analiza originalnih LiDAR podataka na osnovu kontrolnih tačaka – upoređenje sa uslovno tačnim modelom PTM | 130 |
| 6.2.2.2 Analiza kalibriranih LiDAR podataka na osnovu kontrolnih tačaka – upoređenje sa uslovno tačnim modelom PTM | 132 |
| 6.2.2.3 Analiza kalibriranih LiDAR podataka na osnovu kontrolnih tačaka i kontrolnih profila – upoređenje sa uslovno tačnim modelom PTM | 134 |
| 6.2.2.4 Analiza originalnih i kalibriranih LiDAR podataka na osnovu kontrolnih tačaka i kontrolnih profila-upoređenje sa uslovno tačnim modelom PTM | 136 |

| | |
|---|------------|
| 7 Diskusija rezultata | 139 |
| 7.0.1 Kalibracija podataka generisanih UAV sistemom – optimizacija broja kontrolnih tačaka i kontrolnih profila | 140 |
| 7.0.1.1 Kalibracija izdvojenih podataka generisanih UAV sistemom na osnovu 4, 6 i 9 kontrolnih tačaka | 142 |
| 7.0.1.2 Kalibracija izdvojenih podataka generisanih UAV sistemom na osnovu 13 i 27 kontrolnih tačaka i kontrolnih profila | 144 |
| 7.0.1.3 Kalibracija izdvojenih podataka generisanih UAV sistemom na osnovu 27 kontrolnih tačaka i kontrolnih profila | 146 |
| 7.0.2 Sumarni prikaz analize kalibriranih podataka sa 4, 6, 9, 13 i 27 kontrolnih tačaka i kontrolnih profila | 147 |
| 8 Zaključna razmatranja i pravci daljih istraživanja | 149 |
| 9 Literatura | 152 |
| 10 Prilozi | 159 |
| 10.0.1 Prilog 1 - Izvod iz Pravilnika o topografskom premeru i topografsko-kartografskim proizvodima | 159 |
| 10.0.2 Prilog 2 | 165 |

Spisak slika

| | | |
|------|---|----|
| 1.1 | Oštećeni plan R=1:2880 | 8 |
| 1.2 | Metoda precizne elektronske tahimetrije | 10 |
| 1.3 | Osnovni koncept apsolutnog pozicioniranja | 11 |
| 1.4 | Osnovni koncept relativnog pozicioniranja | 12 |
| 1.5 | UAV sistemi za upravljanje | 13 |
| 1.6 | Komponente UAV sistema | 14 |
| 1.7 | Struktura iz pokreta (eng. <i>Structure from Motion</i>) | 16 |
| 1.8 | Blok triangulacija | 17 |
| 1.9 | Pretraga duž epipolarne linije | 18 |
| 1.10 | Komponente LiDAR sistema | 21 |
| 1.11 | Laser koji koristi TOF metod | 21 |
| 1.12 | Upoređenje faznih razlika | 22 |
| 1.13 | Fazna razlika dva signala | 23 |
| 1.14 | Avionski LiDAR sistem | 23 |
| 1.15 | Trasa snimljena po profilima | 24 |
| 1.16 | Koordinatni sistem letelice i LiDAR sistem | 25 |
| 1.17 | Eulerovi uglovi | 26 |
| 1.18 | LiDAR prikupljanje podataka | 29 |
| 1.19 | Višestruka refleksija <i>Multibeam</i> LiDAR sistema | 30 |
| 1.20 | Struktura signala <i>multibeam</i> LiDAR sistema | 30 |
| 1.21 | DSM i DTM | 31 |
| 1.22 | LiDAR sistemi | 32 |
| 1.23 | StreetMapper | 33 |
| 1.24 | Komponente MTLS | 33 |
| 1.25 | „MDL DynaScan S250“ sistem montiran na vozilo | 34 |
| 1.26 | Dimenzije MDL-a | 35 |
| 1.27 | MDL dimenzije | 35 |

| | |
|---|----|
| 1.28 Rutina niskih tačaka. Klasifikacija jedne tačke (levo). Klasifikacija grupe tačaka (desno) | 37 |
| 1.29 Ground | 37 |
| 1.30 Rutina <i>below surface</i> - klasifikacija tačaka terena | 38 |
| 1.31 Različiti prikazi oblaka tačaka sa ekstrahovanim strukturnim linijama putne infrastrukture | 39 |
| 1.32 Oblak tačaka - Ivičnjak | 40 |
| 1.33 Klasifikovan oblik tačaka putne infrastrukture | 41 |
| 1.34 Tačnost i preciznost merenja | 42 |
| 1.35 Zakon raspodele verovatnoća (funkcija učestalosti) | 44 |
| 1.36 Funkcija gustine raspodele verovatnoća $f(x)$ | 45 |
| 1.37 Normalna raspodela | 46 |
| 1.38 IDW pretraga susednih tačaka | 50 |
| 1.39 IDW smanjenje težina sa smanjenjem udaljenosti | 50 |
| 1.40 IDW predikcija vrednosti tačke | 51 |
| 1.41 Voronoi mozaik | 52 |
| 1.42 <i>Natural neighbor interpolation</i> | 52 |
| 1.43 <i>Aerial</i> Interpolacija | 54 |
| 1.44 Prikaz modela interpolacije | 54 |
| 1.45 Šematski prikaz strukture istraživanja | 56 |
| 1.46 Postupak klasifikacije tačaka | 57 |
| 1.47 Prikaz kontrolnih tačaka na teritoriji naselja Feketić | 58 |
| 1.48 Šematski prikaz položaja kontrolnih profila | 59 |
| 2.1 <i>Mobile mapping</i> aplikacija | 60 |
| 2.2 Aplikacija <i>Mobile mapping</i> - pregled fotografija i oblaka tačaka | 61 |
| 2.3 Aluminijumski kavez za kalibraciju | 64 |
| 2.4 Kodirana meta | 64 |
| 2.5 Kutija za kalibraciju | 65 |
| 3.1 Mapiranje koridora | 68 |
| 3.2 Klasifikovani oblik tačaka koridora auto-puta | 68 |
| 3.3 AutoCad model koridora auto-puta | 69 |
| 3.4 Ekstrakcija strukturnih linija ivičnjaka | 69 |
| 3.5 GIS aplikacija koridora puteva | 70 |
| 3.6 Modeli objekata – prikaz različitih nivoa detaljnosti modela | 71 |
| 3.7 TIN i grid | 73 |

| | | |
|------|--|-----|
| 3.8 | TIN i grid vizuelizacija | 74 |
| 3.9 | Prikaz različitih rezolucija DTM-a | 74 |
| 3.10 | Zona očekivanih plavnih površina | 76 |
| 3.11 | Integracija strukturnih linija u DTM-u | 76 |
| 3.12 | Vizuelizacija klizišta | 77 |
| 3.13 | Ortofoto i detektovana pomeranja klizišta u Španiji | 79 |
| 3.14 | Snimanje šumskih područja LiDAR sistemom | 80 |
| 3.15 | <i>Canopy Height Model</i> | 80 |
| 3.16 | Helikopter kao platforma za snimanje koridora dalekovoda LiDAR sistemom | 81 |
| 3.17 | Klasifikovani oblak tačaka – snimanje dalekovoda | 82 |
| 3.18 | Dalekovodi - DTM i oblak tačaka | 83 |
| 3.19 | Inspekcija trase dalekovoda UAV sistemom | 83 |
| 5.1 | Oblak tačaka, UAV i LiDAR | 86 |
| 5.2 | Postupak definisanja poligona ulica | 88 |
| 5.3 | Oblak tačaka – DTM | 89 |
| 5.4 | <i>ground</i> klasifikacija – greška | 89 |
| 5.5 | <i>ground</i> klasifikacija – otklanjanje grešaka | 90 |
| 5.6 | UAV i LiDAR model | 90 |
| 5.7 | Realizovana poligonska mreža na području naselja Feketić | 91 |
| 5.8 | Definisani poligon ulica na području naselja Feketić | 92 |
| 5.9 | Kontrolni profili jedne raskrsnice | 94 |
| 5.10 | Kontrolni profili sa rasporedom tačaka | 95 |
| 5.11 | Skica kontrolnih profila | 96 |
| 5.12 | Tahimetrija | 97 |
| 5.13 | Tahimetrija, izdvojene tačke | 98 |
| 5.14 | Model geodetskog premera primenom savremenih akvizicionih tehnologija | 99 |
| 5.15 | Raspored kontrolnih tačaka i kontrolnih profila na primeru jedne ulice | 100 |
| 5.16 | Raspored kontrolnih tačaka i kontrolnih profila na primeru jedne ulice | 101 |
| 5.17 | Primer lošeg izbora mesta za kontrolnu tačku ili za tačku kontrolnog profila | 101 |
| 5.18 | Prikaz KTP-a snimljenog klasičnim geodetskim metodama | 103 |
| 5.19 | Primer preklopjenog KTP-a i oblaka tačaka putne infrastrukture – perspektivni prikaz | 104 |
| 5.20 | Primer preklopjenog KTP-a i oblaka tačaka putne infrastrukture . . | 104 |

| | | |
|------|--|-----|
| 5.21 | Primer digitalizovanog sadržaja i oblaka tačaka sa prikazanim nadvožnjakom – perspektivni prikaz | 104 |
| 5.22 | Prikaz 3D topografske podloge dobijene ekstrakcijom entiteta prostora iz oblaka tačaka | 105 |
| 6.1 | Prikaz odstupanja kontrolnih tačaka od kreiranog UAVMo modela . . | 108 |
| 6.2 | Prikaz kontrolnih tačaka. Dijagram broja tačaka po intervalu odstupanja od UAVMo modela | 108 |
| 6.3 | Prikaz odstupanja kontrolnih tačaka od kreiranog LiDARMo modela . | 109 |
| 6.4 | Prikaz kontrolnih tačaka. Dijagram broja tačaka po intervalu odstupanja LiDARMo modela | 110 |
| 6.5 | Prikaz odstupanja tačaka kontrolnih profila od kreiranog UAVMo modela | 111 |
| 6.6 | Dijagram broja tačaka po intervalu odstupanja UAVMo modela . . | 111 |
| 6.7 | Prikaz odstupanja tačaka kontrolnih profila od kreiranog LiDARMo modela | 112 |
| 6.8 | Dijagram broja tačaka po intervalu odstupanja LiDARMo modela . | 113 |
| 6.9 | Prikaz odstupanja kontrolnih tačaka od UAVMmC modela | 114 |
| 6.10 | Dijagram broja tačaka po intervalu odstupanja od UAVMmC modela | 114 |
| 6.11 | Prikaz kontrolnih tačaka. Prikaz odstupanja kontrolnih tačaka od LiDARMmC modela | 115 |
| 6.12 | Dijagram broja tačaka po intervalu odstupanja od LiDARMmC modela | 115 |
| 6.13 | Prikaz odstupanja kontrolnih tačaka od kalibrisanog UAVMmCP modela | 116 |
| 6.14 | Dijagram broja tačaka po intervalu odstupanja od UAVMmCP modela | 117 |
| 6.15 | Prikaz odstupanja kontrolnih tačaka od LiDARMmCP modela | 118 |
| 6.16 | Dijagram broja tačaka po intervalu odstupanja od LiDARMmCP modela | 118 |
| 6.17 | Grafik funkcije raspodele | 119 |
| 6.18 | Funkcija raspodele originalnih UAV podataka u odnosu na PTM . . | 122 |
| 6.19 | Gustina raspodele originalnih UAV podataka u odnosu na PTM . . | 122 |
| 6.20 | Histogram apsolutnih frekvencija originalnih UAV podataka u odnosu na PTM | 122 |
| 6.21 | Funkcija raspodele UAV podataka kalibriranih na osnovu kontrolnih tačaka | 124 |
| 6.22 | Gustina raspodele UAV podataka kalibriranih na osnovu kontrolnih tačaka | 124 |
| 6.23 | Histogram apsolutnih frekvencija kalibriranih UAV podataka na osnovu kontrolnih tačaka | 124 |

| | | |
|------|--|-----|
| 6.24 | Funkcija raspodele UAV podataka kalibriranih na osnovu kontrolnih tačaka i kontrolnih profila | 126 |
| 6.25 | Gustina raspodele UAV podataka kalibriranih na osnovu kontrolnih tačaka i kontrolnih profila | 126 |
| 6.26 | Histogram apsolutnih frekvencija kalibriranih UAV podataka na osnovu kontrolnih tačaka i kontrolnih profila | 126 |
| 6.27 | Grafički prikaz intervala razlika odstupanja originalnih UAV podataka, UAV podataka kalibriranih kontrolnim tačkama i UAV podataka kalibriranih kontrolnim tačkama i kontrolnim profilima od uslovno tačnog modela PTM | 128 |
| 6.28 | Funkcija raspodele originalnih LiDAR podataka na osnovu kontrolnih tačaka | 131 |
| 6.29 | Gustina raspodele originalnih LiDAR podataka na osnovu kontrolnih tačaka | 131 |
| 6.30 | Histogram apsolutnih frekvencija originalnih LiDAR podataka na osnovu kontrolnih tačaka | 131 |
| 6.31 | Funkcija raspodele LiDAR podataka kalibriranih na osnovu kontrolnih tačaka | 133 |
| 6.32 | Gustina raspodele LiDAR podataka kalibriranih na osnovu kontrolnih tačaka | 133 |
| 6.33 | Histogram apsolutnih frekvencija kalibriranih LiDAR podataka na osnovu kontrolnih tačaka | 133 |
| 6.34 | Funkcija raspodele LiDAR podataka kalibriranih na osnovu kontrolnih tačaka i kontrolnih profila | 135 |
| 6.35 | Gustina raspodele LiDAR podataka kalibriranih na osnovu kontrolnih tačaka i kontrolnih profila | 135 |
| 6.36 | Histogram apsolutnih frekvencija kalibriranih LiDAR podataka na osnovu kontrolnih tačaka i kontrolnih profila | 135 |
| 6.37 | Dijagram intervala razlika sumarnoLiDAR | 137 |
| 7.1 | PTM - Izdvojene ulice | 140 |
| 7.2 | Histogram apsolutnih frekvencija originalnih UAV podataka. Analiza izvršena na osnovu 961 izdvojene tačke | 141 |
| 7.3 | Raspored kontrolnih tačaka na osnovu kojih je izvršena kalibracija . . | 142 |
| 7.4 | Histogrami apsolutnih frekvencija nastali na osnovu podataka dobijenih kalibracijom originalnih podataka pomoću 4, 6 i 9 kontrolnih tačaka | 143 |

| | |
|---|-----|
| 7.5 Raspored kontrolnih tačaka i kontrolnih profila na osnovu kojih je izvršena kalibracija | 144 |
| 7.6 Raspored kontrolnih tačaka i kontrolnih profila na osnovu kojih je izvršena kalibracija | 145 |
| 7.7 Histogrami apsolutnih frekvencija nastali na osnovu podataka dobijenih kalibracijom originalnih podataka pomoću 13 i 27 kontrolnih tačaka i 27 kontrolnih tačaka i kontrolnih profila | 146 |
| 7.8 Histogrami apsolutnih frekvencija. Podaci dobijeni kalibracijom originalnih podataka pomoću 27 kontrolnih tačaka i kontrolnih profila . | 147 |
| 7.9 Dijagrami sumarno | 148 |

Spisak tabela

| | | |
|------|---|-----|
| 1.1 | Kategorizacija UAV sistema | 13 |
| 6.1 | Parametri kvaliteta inicijalno generisanih podataka, UAVMo - kontrolne tačke | 108 |
| 6.2 | Parametri kvaliteta inicijalno generisanih podataka, LiDARMo - kontrolne tačke | 109 |
| 6.3 | Parametri kvaliteta inicijalno generisanih podataka, UAVMo - kontrolne tačke i kontrolni profili | 110 |
| 6.4 | Parametri kvaliteta inicijalno generisanih podataka, LiDARMo - kontrolne tačke i kontrolni profili | 112 |
| 6.5 | Parametri kvaliteta kalibriranih podataka, UAVMmC - kontrolne tačke | 114 |
| 6.6 | Parametri kvaliteta kalibriranih podataka, LiDARmC - kontrolne tačke | 115 |
| 6.7 | Parametri kvaliteta kalibriranih podataka, UAVmCP - kontrolne tačke i kontrolni profili | 116 |
| 6.8 | Parametri kvaliteta kalibriranih podataka, LiDARmCP - kontrolne tačke i kontrolni profili | 117 |
| 6.9 | UAV originalni podaci | 121 |
| 6.10 | UAV kalibrисано на основу kontrolnih tačaka | 123 |
| 6.11 | UAV kalibrисано на основу kontrolnih tačaka i kontrolnih profila | 125 |
| 6.12 | UAV sumarno | 127 |
| 6.13 | LiDAR originalni podaci, analiza na osnovu kontrolnih tačaka | 130 |
| 6.14 | LiDAR kalibrисано на основу kontrolnih tačaka | 132 |
| 6.15 | LiDAR kalibrисано на основу kontrolnih tačaka i kontrolnih profila | 134 |
| 6.16 | LiDAR sumarno | 136 |
| 7.1 | Parametri kvaliteta dobijenih analizom 961 tačke na modelu kreiranom od originalnih UAV podataka – dZ(Zt-ZMo) | 141 |

| | |
|---|-----|
| 7.2 Vrednosti dobijene analizom 961 tačke. Kao osnova za upoređenje korišćeni su modeli kreirani na osnovu kalibrisanih podataka sa 4, 6, 9, 13, 27 kontrolnih tačaka, kontrolnih profila i 27 kontrolnih tačaka + profili. | 147 |
| 10.1 Očitane Z vrednosti koordinata kontrolnih tačaka izabranih za kalibraciju na UAVMo modelu | 166 |
| 10.2 Očitane Z vrednosti koordinata kontrolnih tačaka izabranih za kalibraciju na LiDARMo modelu | 167 |
| 10.3 Očitane Z vrednosti koordinata kontrolnih tačaka i kontrolnih profila izabranih za kalibraciju na UAVMo modelu | 172 |
| 10.4 Očitane Z vrednosti koordinata kontrolnih tačaka i kontrolnih profila izabranih za kalibraciju na LiDARMo modelu | 175 |
| 10.5 Očitane Z vrednosti koordinata kontrolnih tačaka izabranih za kalibraciju na UAVMmCP modelu | 176 |
| 10.6 Očitane Z vrednosti koordinata kontrolnih tačaka izabranih za kalibraciju na LiDARMmCP modelu | 177 |
| 10.7 Očitane Z vrednosti koordinata kontrolnih tačaka i kontrolnih profila izabranih za kalibraciju na UAVMmCPP modelu | 184 |
| 10.8 Očitane Z vrednosti koordinata kontrolnih tačaka i kontrolnih profila izabranih za kalibraciju na LiDARMmCPP modelu | 187 |

Spisak skraćenica

| | |
|-------|--|
| LiDAR | Light Detecting and Ranging |
| UAV | Unmanned Aerial Vehicles |
| GNS | Global Navigation Satelite System |
| GPS | Global Positioning System |
| DTM | Digital Terrain Model |
| DSM | Digital Surface Model |
| RTK | Real Time Kinematic |
| IMU | Inertial Measurement Unit |
| INS | Inertial Navigation System |
| RGB | Red Green Blue |
| NIR | Near Infra Red |
| MVS | Multi View Stereopsis |
| SIFT | Scale Invariant Feature Transform |
| CAD | Computer Aided Design |
| GIS | Geographic Information System |
| LAS | LiDAR Archive Standard |
| NASA | National Aeronautics and Space Administration |
| EDM | Electronic Distance Measurement |
| MLTS | Mobilno Lasersko Terestričko Skeniranje |
| Zt | Z vrednost kontrolnih tačaka i kontrolnih profila izdvojenih za kalibraciju |
| ZMo | Z vrednost kontrolnih tačaka i kontrolnih profila izdvojenih za kalibraciju očitana na modelu Mo |
| Mo | Model kreiran od originalnih podataka kreirane klase <i>ground</i> |

| | |
|------------|---|
| MCP | Model Control Point |
| MCPP | Model Control Point Profile |
| UAVMo | Model generisan od originalnih UAV podataka |
| LiDARMo | Model generisan od originalnih LiDAR podataka |
| UAVMmCP | Model generisan od kalibriranih UAV podataka na osnovu kontrolnih tačaka |
| LiDARMmCP | Model generisan od kalibriranih LiDAR podataka na osnovu kontrolnih tačaka |
| UAVMmCPP | Model generisan od kalibriranih UAV podataka na osnovu kontrolnih tačaka i kontrolnih profila |
| LiDARMmCPP | Model generisan od kalibriranih LiDAR podataka na osnovu kontrolnih tačaka i kontrolnih profila |
| PTM | Precizna Tahimetrija Model |
| IDW | Inverse Distance Weighted |
| GPA | General Procrustes Analysis |
| CHM | Canopy Height Model |

Rezime

Prikupljanje prostornih podataka se danas u projektima premera i obnove premera, u različitim projektima iz oblasti inženjerske geodezije, realizuje konvencionalnim metodama, koje najčešće obezbeđuju traženu tačnost izlaznih podataka. Razvojem novih tehnologija i uređaja za prikupljanje podataka nameću se i nove metode katastarskog premera i izrade 3D modela terena i objekata i 3D podloga u projektima inženjerske geodezije. Nove metode su ne samo efikasnije već obezbeđuju neuporedivo veći nivo detaljnosti od konvencionalnih metoda pa veoma često imaju prednost u odnosu na njih.

Implementacija tih metoda u Srbiji i njihovo uključivanje u redovne metode prikupljanja podataka nailazi na određene probleme. Postoje pravilnici za definisanje kvaliteta topografskih radova koji se odnose na savremene metode prikupljanja podataka: aerofotogrametrijskom metodom snimanja, metodom daljinske detekcije i LiDAR metodom snimanja. Analiza tih pravilnika i postojeće dokumentacije za definisanje kvaliteta topografskih radova pokazala je da je neophodno da se oni dopune i koriguju. Kod LiDAR metode snimanja obuhvaćeni su postupci i procedure koji se odnose na LiDAR sisteme koji kao platforme koriste letelice, a nedostaju postupci i procedure koji se odnose na LiDAR metode snimanja koje kao platforme koriste vozila, kao i postupci i procedure za upotrebu UAV sistema.

U okviru ove doktorske disertacije, geodetska istraživanja zasnovana su na analizi rada savremenih sistema premera, pre svega UAV sistema i Street Mapper sistema i pokazala su direktnu zavisnost kvaliteta izlaznih podataka, broja kontrolnih tačaka i kontrolnih profila dobijenih metodom GPS/GNSS pozicioniranja, uključenih u proces kalibracije podataka.

Na osnovu dobijenih rezultata, koji se odnose na analizu prikupljenih podataka i kontrolu kvaliteta istih, u disertaciji je dat predlog modela geodetskog premera primenom savremenih tehnologija premera, u okviru koga su definisane procedure i postupci koje je neophodno poštovati kako bi se postigao zadovoljavajući kvalitet izlaznih podataka. Istaknuta je neophodnost donošenja pravilnika i procedura u okviru kojih je jasno definisan model geodetskog premera.

Ključne reči: Geodezija, LiDAR, UAV, GNSS, model geodetskog premera

Abstract

Spatial data collection in various projects in the field of engineering geodesy is carried out today by conventional methods, which usually provide the required accuracy of the output data. The development of new technologies and data collection devices imposes new methods of measurement and 3D modeling of terrain and objects in engineering geodesy projects. New methods are not only more efficient but they provide an incomparably higher level of detail than conventional methods, and they often have an advantage over them. Implementation of these methods in Serbia and their inclusion in regular methods of data collection encounters certain problems. There are rules for defining the quality of topographic papers related to modern methods of data collection: aerial photogrammetric method, remote sensing method and LiDAR method. The analysis of these regulations and the existing documentation for defining the quality of topographic papers has shown that it is necessary that they be amended and corrected. The LiDAR method includes procedures relate to LiDAR systems that use aircraft as platforms, and LiDAR procedures that use vehicles as platforms, as well as procedures for using the UAV system. In this doctoral dissertation, geodetic research was based on the analysis of the work of modern systems, primarily the UAV system and the Street Mapper systems, and showed the direct relation of the quality of the output data, the number of control points and control profiles obtained by the GPS / GNSS positioning process involved in the process data calibration. On the basis of the obtained results, related to the analysis of the collected data and quality control, in the dissertation is given the model of geodetic measurement method. Method was applied using modern technologies, within which are defined the procedures that must be respected in order to achieve satisfactory quality of the output data. It was emphasized the necessity of adopting regulations and procedures within which the geodetic method is clearly defined.

Key words: Geodesy, LiDAR, UAV, GNSS, Modern technologies for data collection.

Zahvalnica

Zahvaljujem se svom mentoru prof. dr Toši Ninkovu na pruženoj svesrdnoj pomoći i savetima prilikom istraživanja i izrade ove disertacije. Njegovo znanje i stručna pomoć dali su disertaciji suštinski oblik i konačnu formu.

Zahvaljujem se članovima komisije za ocenu disertacije prof. dr Miru Govedarici, prof. dr Ivanu Aleksiću, vanrednom prof dr Vladimiru Bulatoviću i doc. dr Zoranu Sušiću na stručnoj pomoći i izdvojenom vremenu za pregled disertacije.

Neizmernu zahvalnost dugujem svojoj porodici kojoj i posvećujem ovu disertaciju. Posebnu zahvalnost dugujem svojim kćerkama Kristini, Sofiji i supruzi Marijani, koje su za moj rad imale veliko strpljenje i razumevanje i bez čije pomoći ovo ne bi bilo moguće.

Poglavlje 1

UVOD

1.1 Definisanje predmeta naučnog istraživanja

Definisanje predmeta naučnog istraživanja ove doktorske disertacije proisteklo je iz analize aktuelnog stanja rešavanja ažurnosti 3D podloga u geodeziji i novih trendova u prikupljanju podataka primenom savremenih tehnologija.

Danas, realizacija projekata sa visokim nivoom detaljnosti zahteva ažurne i kvalitetne geodetske podloge, koje odgovaraju potrebama savremenog projektovanja. U procesu izrade urbanističkih i drugih prostornih planova, kao i u svim fazama radova u građevinarstvu, arhitekturi i urbanizmu, geodezija i kartografska delatnost imaju veliku primenu, počev od koncipiranja projekata, osmatranja i realizacije na terenu do praćenja u eksploataciji. Konvencionalni način izrade geodetskih i topografskih podloga odnosio se uglavnom na katastarske i katastarsko-topografske planove, koji svojom ažurnošću ne odgovaraju specifičnim potrebama korisnika u punoj meri. Veoma intenzivnim razvojem geo-informacionih tehnologija, stvoreni su uslovi za izradu 3D geodetskih podloga koje mogu odgovoriti sve kompleksnijim zahtevima projektovanja[62].

U ovom poglavlju date su definicije premera, obnove premera i inženjerske geodezije, istaknut je značaj razvoja informacionih tehnologija, računara i elektro-nike na razvoj novih trendova u geodeziji. Analizirano je aktuelno stanje rešavanja problema ažurnosti 3D podloga u geodeziji. Posebno su obrađene savremene metode prikupljanja i obrade podataka i istaknute prednosti u odnosu na konvencionalne metode premera u inženjerskoj geodeziji.

1.1.1 Definicija pojmove premera, obnove premera i inženjerske geodezije

Praktična geodezija ima vrlo široku primenu u praksi prilikom rešavanja različitih zadataka. Njen osnovni zadatak je premer zemljišta na osnovu kojeg se dolazi do situacionih planova. Situacioni planovi, numerički i ostali podaci premera zemljišta koriste se u razne svrhe, kao što su privredne i društvene delatnosti. Delatnosti u kojima situacioni planovi i ostali proizvodi geodetskog premera nalaze svoju primenu su: građevinarstvo, hidrotehnika, urbanizam, industrija, rудarstvo, poljoprivreda, šumarstvo, finansije i ekonomija, statistika, oblast državne uprave i

pravosuđa itd. Bogatstvo sadržaja geodetskih planova o prostoru i objektima na fizičkoj površi zemlje i ispod nje, pruža razne, veoma korisne informacije, koje su od interesa za skoro sve delatnosti.

Održavanje premera i katastra nepokretnosti može se definisati kao praćenje i utvrđivanje nastalih promena na nepokretnostima koje utiču na podatke premera i katastra nepokretnosti. Održavanje premera još podrazumeva i kontrolu prenošenja na teren podataka iz urbanističkih planova koji utiču na podatke premera i katastra nepokretnosti. Aktivnosti koje se mogu svrstati pod pojmom održavanje premera su: provođenje utvrđenih promena u elaboratu premera, planova, karti i katastarskom operetu i katastru vodova, obnavljanje belega stalnih geodetskih tačaka koje služe za održavanje premera i upis promena prava na nepokretnostima.

Obnova premera i katastra nepokretnosti podrazumeva ponovno vršenje premera. Ono obuhvata geodetske radove u vezi sa komasacijom zemljišta, katastarsko klasiranje i bonitiranje zemljišta i izradu novog katastarskog operata. Obnova premera i katastra nepokretnosti i upisa prava na nepokretnosti vrši se kad se pojavi znatno neslaganje podataka premera i katastarskog operata sa stanjem na terenu, koje se ne može ot-kloniti merama redovnog održavanja.

1.1.2 Značaj razvoja informacionih tehnologija, računara i elektronike na razvoj tehnologija prikupljanja i obrade podataka u geodeziji

Danas je razvoj informacionih sistema, računara i elektronike doveo do razvoja i pojave savremenih tehnologija premera, novih instrumenata i softverskih rešenja za obradu i procesiranje podataka koji u mnogome ubrzavaju i olakšavaju postupak akvizicije i obrade podataka u postupku premera, obnove premera i inženjerske geodezije. U poslednjih deset godina došlo je do ubrzanog razvoja laserskih i fotogrametrijskih sistema za prikupljanje podataka sa zemlje i iz vazduha. Savremeni uređaji su sve manji, laksi i jednostavniji za upotrebu, a njihov finalni proizvod sve je boljeg kvaliteta i veće tačnosti. Sa razvojem savremenih metodologija za prikupljanje podataka, razvojem novih i savremenijih mernih uređaja, kao što su LiDAR (Light Detecting and Ranging) i UAV (Unmanned Aerial Vehicles), postavljeni su novi trendovi i nove metode premera u geodeziji.

Pod fotogrametrijom podrazumevamo metodu merenja kojom se rekonstruišu položaj i oblik objekta na osnovu fotografije. Ova metoda omogućava rekonstruisanje objekata i utvrđivanje njihovih svojstava bez direktnog kontakta sa njima, pa se ovakav način dobijanja informacija danas naziva daljinska detekcija [49]. Kao alternativa klasičnoj fotogrametriji pojavila se metoda automatizovane digitalne fotogrametrije sa mogućnošću automatske ekstrakcije DTM-a, DSM-a i objekata, što je u značajnoj meri ubrzalo i olakšalo procedure obrade fotogrametrijskih snimaka.

Sa druge strane, razvijani su i laserski sistemi. Moderno daljinsko merenje zasnovano na laserskoj tehnologiji počinje još 1970. godine u NASA-i. Početna ideja bila je zasnovana na razvoju svemirskih senzora. Istraživanja su uglavnom bila usmerena na merenje svojstva atmosfere, vode okeana, šuma i ledenih pokrivača, ali ne i na topografsko mapiranje terena. Naučna istraživanja dokazala su visoku geometrijsku tačnost laserskih sistema, ali u to vreme (sredinom 1980-ih) nedostatak pouzdanog komercijalnog GNSS sistema i IMU (Inertial Measurement Unit) jedinice,

predstavljalo je značajnu prepreku za dalji razvoj. Potražnja za GNSS i IMU sistemima za upotrebu u aerofotogrametriji podstakle su ubrzan razvoj tehnologija. Kompanije koje su se bavile razvojem GNSS geodetske opreme razvile su nova GNSS kinematička rešenja, a konstelacija satelita dospela je raspored koji je obezbeđivao široku pokrivenost zemljine površine. Razvoj IMU sistema započet je za vojne potrebe. Razvijeni su visoko precizni sistemi kao sistemi za navođenje vojnih projektila. Do sredine 1990-ih godina, LiDAR senzori su mogli da proizvedu 2.000 do 25.000 impulsa u sekundi, što je omogućavalo komercijalnim kupcima da ih koriste isključivo za topografska mapiranja. Iako dosta primitivni, uzimajući u obzir današnje standarde, ovakav razvoj savremenih tehnologija za prikupljanje podataka davao je veru i izdvojio LiDAR sisteme kao sisteme budućnosti. U to vreme čak i ovakvi sistemi obezbeđivali su neverovatno korisne podatke (tačke generisane LiDAR sistemom). Generisani podaci su se znatno razlikovali od podataka prikupljenih aerofotogrametrijskim metodama ili klasičnim geodetskim merenjima na terenu u smislu gustine snimljenih tačaka. Razvoj ovih tehnologija zaiteresovao je javnost i počela je velika potražnja za ovim tipom podataka. Ne samo zbog velike gustine snimljenih tačaka koja se ne može porediti sa gustom tačaka generisanih nekom od konvencionalnih metoda premera, već i zbog niza drugih mogućnosti koju nudi ovakav set podataka. LiDAR sistemi imaju dosta prednosti u odnosu na pomenute tehnologije snimanja. Istiće se mogućnost snimanja između drveća u šumskim područjima gde fotogrametrijske metode imaju poteškoće, jer oni mogu brzo, precizno i direktno da generišu trodimenzionalne podatke.

Prva savremena platforma za nošenje opreme za digitalnu fotogrametriju (UAV), razvijena je od strane Amerikanaca (Lawrence and Sperry) 1916. godine. U to vreme njihov uređaj imao je autonomiju leta koja premašuje 30 milja. Ozbiljniji razvoj ovih platformi započeo je krajem 1950. godine. Ova tehnologija razvijana je i unapredjivana prvenstveno za vojne potrebe, pa je tako iskorišćen rat u Vijetnamu za nova istraživanja. Po završetku rata u Vijetnamu, SAD i Izrael su započeli istraživanja koja su rezultirala razvojem manjih i jeftinijih sistema sa malim motorima i video-kamerama, koji su prenosili slike na kontrolnu stanicu sa operaterom. Najpoznatija UAV letelica „Predator“ razvijena je za vojne potrebe u centru NASA [29]. Razvojem ovih sistema nametnute su nove metodologije digitalne fotogrametrije za mapiranje terena i digitalnog daljinskog merenja terena.

1.1.3 Predmet naučnog istraživanja

Predmet naučnog istraživanja u okviru ove doktorske disertacije su problemi i zadaci premera, obnove premera i inženjerske geodezije koji nastaju pri upotrebi savremenih metodologija rada i prikupljanja podataka.

Primenom savremenih metodologija rada, koristeći savremene uređaje za prikupljanje podataka, može se doći do velikog broja informacija za veoma kratko vreme. Da bi te informacije bile upotrebljive za potrebe premera, obnove premera i inženjerske geodezije, moraju zadovoljiti određenu tačnost. Topografske podloge, kao jedan od produkata premera, zasnivaju se na prostornom pozicioniranju i kartiranju prirodnih i veštačkih struktura na zemljinoj površi. U zavisnosti od zahtevanog nivoa detaljnosti i namene topografske podloge definiše se i tačnost, a samim tim se nameće izbor adekvatne metode prikupljanja podataka. Kako je metoda precizne

elektronske tahimetrije teoretski i praktično verifikovana kao metoda koja ispunjava tačnost neophodnu da bi bila korišćena u poslovima premera, obnove premera i inženjerske geodezije, u ovom istraživanju, tretiraće se kao uslovno tačna metoda.

U okviru ovog naučnog istraživanja, savremene metodologije rada i prikupljanja podataka biće analizirane sa aspekta tačnosti u poređenju sa uslovno tačnom metodom premera.

1.2 Cilj naučnog istraživanja

Cilj naučnog istraživanja ove doktorske disertacije jeste definisanje predloga modela geodetskog premera korišćenjem savremenih tehnologija, kako bi se dobijeni rezultati mogli primeniti u premeru, obnovi premera i inženjerskoj geodeziji.

Istraživanjem će se dobiti predlog modela geodetskog premera koji ispunjava kriterijume kvaliteta definisane pravilnikom o premeru zemljишta i kriterijume inženjerske geodezije. Biće definisana metodologija rada i mere koje se moraju preduzeti kako bi se postigla zahtevana tačnost i kvalitet izlaznih podataka koji zadovoljavaju ove kriterijume. Savremene tehnologije prostornog prikupljanja podataka moraju biti istražene u odgovarajućoj meri da bi se mogle koristiti u svim aspektima premera. Da bi se stekli uslovi za njihovo korišćenje i primenu u poslovima premera, obnove premera i inženjerske geodezije, dobijeni rezultati moraju biti upoređeni sa rezultatima dobijenim metodama koje su teoretski i praktično verifikovane. Metoda precizne elektronske tahimetrije je teoretski i praktično verifikovana metoda premera koja ispunjava kriterijume kvaliteta definisane Pravilnikom o topografskom premeru i topografsko-kartografskim proizvodima Zakona o državnom premeru i katastru RS i kriterijume inženjerske geodezije. Kao takva, usvojena je kao uslovno tačna metoda, a podaci dobijeni ovom metodom kao uslovno tačni podaci. Definisana metodologija analize kvaliteta dobijenih podataka bila bi primenljiva bez obzira na definisane uslove tačnosti, odnosno mogla bi se primeniti bez obzira na to koja je tačnost izlaznih podataka zahtevana.

1.3 Polazne hipoteze istraživanja

Polazna hipoteza istraživanja govori o tome da li je moguće primeniti savremene uređaje za akviziciju podataka u poslovima premera, obnove premera i inženjerske geodezije uz definisane procedure rada i pri tome postići definisanu tačnost. U okviru istraživanja analizirane su dve metode premera primenom savremenih metodologija rada i savremenih uređaja za prikupljanje podataka. To se odnosi na metodu baziranu na laserskom skeniranju terena (LiDAR) i metodu baziranu na upotrebi fotogrametrijskih sistema montiranih na bespilotne letelice (UAV). Na osnovu sprovedenih analiza biće doneseni zaključci i definisane procedure prema kojima bi dobijeni rezultati ispunjavali uslove i zadovoljavali kriterijume za korišćenje u poslovima premera, obnove premera i inženjerske geodezije.

Indikatori uspešnosti hipoteze su neuporedivo kraći vremenski period za prikupljanje podataka, neuporedivo manji broj stručnjaka angažovanih na projektu i obezbeđenje prekobrojnih merenja, koja se u naknadnoj obradi mogu koristiti kao dodatna informacija, te za bolje sagledavanje celokupne situacije na terenu.

1.4 Kratak opis poglavlja disertacije

U prvom poglavlju disertacije su, pored predmeta i cilja naučnog istraživanja i definisanja polaznih hipoteza, definisana i struktura istraživanja doktorske disertacije i kratak opis poglavlja. Opisane su primenjene naučne metode savremenih tehnologija premera: metoda precizne elektronske tahimetrije, GNSS metoda, metoda automatizovane digitalne fotogrametrije, u okviru koje su opisane komponente i funkcionisanje sistema i matematički model određivanja 3D koordinata karakterističnih tačaka terena i objekata, metoda 3D laserskog skeniranja, u okviru koje su opisane komponente i funkcionisanje sistema, mobilno terestričko lasersko skeniranje i matematički model određivanja 3D koordinata karakterističnih tačaka terena i objekata. Opisane su procedure obrade podataka prikupljenih savremenim tehnologijama premera upotrebom LiDAR i UAV sistema. Opisane su primenjene metode i analizirani dostupni algoritmi za klasifikaciju u okviru različitih softverskih paketa. Dat je prikaz mogućnosti njihovog modifikovanja u cilju poboljšanja kvaliteta izlaznih rezultata. Dat je pregled statističkih metoda analize podataka i dat je izvod iz teorije grešaka merenja.

Drugo poglavlje odnosi se na prethodna istraživanja i baviće se pregledom sličnih realizovanih projekata u svetu i prethodnih istraživanja iz oblasti kalibracije oblaka tačaka.

Treće poglavlje disertacije bavi se pregledom oblasti primene savremenih tehnologija premera i njihovog uticaja na kvalitet 3D modela terena i objekata i topografskih karata kao finalnih proizvoda većine geodetskih radova.

Cetvрto poglavlje bavi se pregledom postojeće pravilničke dokumentacije o topografskom premeru i topografsko-kartografskim proizvodima koja se bazira na Zakonu o premeru i katastru zemljišta. Istaknuti su problemi u vezi sa korišćenjem postojeće dokumentacije i neusaglašenosti postojećih pravilnika.

Upetom poglavlju dat je predlog modela geodetskog premera primenom savremenih akvizicionih tehnologija u modelima gde se primenjuju tehnologije UAV i mobilnog laserskog skeniranja. Predlog se bazira na realizaciji sledećih faza radova: priprema projekta premera, akvizicija podataka, inicijalna obrada prikupljenih podataka, kalibracija oblaka tačaka, kontrola kvaliteta izvršene kalibracije, generisanje finalnog oblaka tačaka i finalnom izradom 3D modela terena i objekata i generisanja 3D topografskih podloga premera i inženjerske geodezije. Dobijeni eksperimentalni rezultati su analizirani primenom matematičkih modela statističke analize. Analiza će biti primenjena na setu podataka generisanom nekom od navedenih savremenih metoda snimanja unutar definisanog poligona. Izvršeno je osnovno filtriranje ovih podataka i njihovo upoređenje sa uslovno, za nas tačnom metodom premera, preciznom elektronskom tahimetrijom. Nastala odstupanja po sve tri koordinatne ose su analizirana primenom matematičkih modela statističke analize. Odstupanja će biti definisana kao odstupanja koordinata tačaka generisanih UAV ili LiDAR sistemom i koordinata tačaka snimljenih metodom precizne elektronske tahimetrije. Na osnovu ovih odstupanja biće kreirani dijagrami intervala nastalih razlika, pri čemu će se u dijagramu analizirati tri krive. Jedna potiče od razlika nastalih upoređenjem sirovih merenja (UAV ili LiDAR sistem) sa merenjima sprovedenim metodom precizne elektronske tahimetrije. Druga potiče od razlika nastalih upoređenjem UAV ili LiDAR podataka kalibrisanih na osnovu kontrolnih

tačaka sa merenjima sprovedenima metodom precizne elektronske tahimetrije. Treća kriva potiče od razlika nastalih upoređenjem UAV ili LiDAR podataka kalibrisanih na osnovu kontrolnih tačaka i kontrolnih profila sa merenjima sprovedenim metodom precizne elektronske tahimetrije. Na osnovu nastalih razlika biće moguće definisati tačnost UAV ili LiDAR podataka pre i posle kalibracije i definisati da li je pri kalibraciji oblaka tačaka dovoljno koristiti samo kontrolne tačke, u kom broju i rasporedu ili je neophodno pogustiti mrežu kontrolnih tačaka ili dodati kontrolne profile.

Šesto poglavlje disertacije bavi se verifikacijom predloženog modela i analizom eksperimentalnih rezultata istraživanja na test području naseljenog mesta Feketić realizovanih u postupku dokazivanja-opovrgavanja polazne hipoteze disertacije. Dobijeni eksperimentalni rezultati su analizirani primenom savremenih matematičkih modela statističke analize seta podataka geodetskih merenja i obrade na test području. Analiza će biti primenjena na setu podataka generisanom nekom od navedenih savremenih metoda snimanja unutar definisanog poligona. Izvršeno je osnovno filtriranje ovih podataka i njihovo upoređenje sa uslovno tačnom metodom premera. U modelu istraživanja obrađenom u disertaciji kao uslovano tačni rezultati su korišćeni podaci prikupljeni metodom precizne elektronske tahimetrije. Izvršeno je upoređenje 3D koordinata detaljnih tačaka prikupljenih analiziranim tehnologijama UAV i mobilnog laserskog skeniranja i koordinata istih tačaka prikupljenih metodom precizne elektronske tahimetrije. Kao metode precizne elektronske tahimetrije su korišćene metode merenja totalnim stanicama i GPS-om. Određena odstupanja po sve tri koordinatne ose su analizirana primenom matematičkih modela statističke analize u cilju određivanja tačnosti koordinata određenih dobijenih merenjem UAV i tehnologijom mobilnog laserskog skeniranja. Vrednosti na osnovu kojih se statističkim metodama može sračunati tačnost merenih veličina su vrednosti «merene» - «tačne» i one su u radu definisane kao odstupanja koordinata tačaka generisanih UAV ili LiDAR sistemom i koordinata tačaka snimljenih metodom precizne elektronske tahimetrije. Na osnovu ovih odstupanja kreirani su dijagrami intervala nastalih razlika u tri modela podataka gde svaki od njih generiše svoju krivu odstupanja merenih podataka od «tačnih». Prva potiče od razlika nastalih upoređenjem sirovih merenja (UAV ili LiDAR sistem) sa merenjima sprovedenim metodom precizne elektronske tahimetrije. Druga potiče od razlika nastalih upoređenjem UAV ili LiDAR podataka kalibrisanih na osnovu kontrolnih tačaka sa merenjima sprovedenim metodom precizne elektronske tahimetrije. Treća kriva potiče od razlika nastalih upoređenjem UAV ili LiDAR podataka kalibrisanih na osnovu kontrolnih tačaka i kontrolnih profila sa merenjima sprovedenim metodom precizne elektronske tahimetrije. Na osnovu nastalih razlika stekli su se uslovi da se korišćenim savremenim statističkim metodama odredi tačnost UAV ili LiDAR podataka pre i posle kalibracije. Iz dobijenih analiza mogu se doneti zaključci o korelaciji broja kontrolnih tačaka i profila na kvalitet merenja realizovanih UAV i mobilnim laserskim skeniranjem. Analizom dobijenih rezultata konstatovano je da povećanje kvaliteta korelaciono zavisno od broja kontrolnih tačaka i profila do njihovog racionalnog broja što se može odrediti projektom topografskih merenja po kriterijumu postizanja projektovane tačnosti određivanja koordinata detaljnih tačaka topografskog premera u katastru i inženjerskoj geodeziji.

Sedmo poglavlje čini diskusija rezultata i ono je podeljeno na nekoliko delova. U prvom delu opisana je kalibracija podataka generisanih UAV sistemom, gde se ističe

optimizacija broja kontrolnih tačaka i kontrolnih profila. Biće analizirana kalibracija izdvojenih podataka generisanih UAV sistemom na osnovu 4, 6 i 9 kontrolnih tačaka, kalibracija izdvojenih podataka generisanih UAV sistemom na osnovu 13 i 27 kontrolnih tačaka i kontrolnih profila, kalibracija izdvojenih podataka generisanih UAV sistemom na osnovu 27 kontrolnih tačaka i kontrolnih profila i biće dat sumarni prikaz analize kalibriranih podataka sa 4, 6, 9, 13 i 27 kontrolnih tačaka i kontrolnih profila.

Osmo poglavlje sadrži zaključna razmatranja koja će proisteći iz primenjene metodologije analize kvaliteta podataka generisanih savremenim metodama premera. Biće prikazana analiza realizovanog eksperimenta i postignutih rezultata. Na osnovu eksperimentalnih rezultata u okviru ovog poglavlja dat je predlog budućih istraživanja ove tematike. Definisani su pravci u kojima bi se moglo nastaviti istraživanje u cilju poboljšanja kvaliteta podataka generisanih savremenim metodama prikupljanja podataka i procedure rada koje bi obezbedile neophodan kvalitet podataka.

Deveto poglavlje sadrži spisak literature korišćene prilikom izrade ove doktorske disertacije.

Deseto poglavlje sadrži priloge.

1.5 Aktuelno stanje rešavanja problema ažurnosti 3D podloga u geodeziji

Klasične metode premera u geodeziji, kao što je precizna elektronska tahimetrija i GNSS (Global Positioning System) metoda i dalje su u upotrebi. Koriste se za potrebe premera i obnove premera.

Neki od problema sa kojima se susreće geodetska struka u Srbiji jesu neažurnost geodetskih podloga i oštećenost planova koji su u upotrebi u pojedinim katastarskim opštinama (Slika 1.1). Ti problemi znatno otežavaju održavanje premera i katastra nepokretnosti, izradu planske dokumentacije i komunalno uređenje urbanih sredina, pa se često javlja potreba za obnovom premera. Obnova premera primenom konvencionalnih metoda traje dugo, pri čemu su troškovi premera veliki. Zbog toga se teži ka tome da premer bude brz i efikasan.

Primena savremenih uređaja za potrebe snimanja terena efikasna je samo ako je realizovana automatska registracija prikupljenih podataka, što je slučaj kod totalnih stanica i GNSS uređaja. Pod pojmom „snimanje terena“ podrazumeva se premeravanje zemljišta sa određivanjem 3D koordinata karakterističnih tačaka svih prirodnih i veštačkih objekata, reljefa terena i granice vlasništva u cilju izrade planova i karata. U zavisnosti od zahtevane tačnosti, veličine područja snimanja i razmere snimanja, bira se metoda merenja i tip instrumenata. Ove metode premera zahtevaju dosta vremena za akviziciju i obradu podataka, pa se najčešće koristi kombinacija metoda precizne elektronske tahimetrije i GNSS metode.

Metoda precizne elektronske tahimetrije realizuje se upotrebom elektronskih geodetskih instrumenata koji se nazivaju i „totalne stanice“. Ovim instrumentima mere se horizontalni uglovi, vertikalni uglovi i dužine. Zahvaljujući softveru koji je sastavni deo sistema totalne stanice, moguće je na terenu direktno rešavati brojne geodetske probleme.



SLIKA 1.1: Oštećeni plan R=1:2880

GNSS metoda premera postala je standardna u geodetskoj praksi. GNSS sistem je prvobitno razvijen za vojne potrebe, dok je sada deo svakodnevnice. Sistem je brzo adaptiran za geodetske potrebe jer se pozicija (geografska širina, dužina i visina) može određivati direktno, pri čemu nema potrebe za merenjem uglova i rastojanja između susednih tačaka. Oprema i način računanja koordinata tačaka su prilično složeni, ali je za krajnjeg korisnika taj proces vrlo jednostavan.

GNSS, koji zadovoljava uslove tačnosti za svakodnevne geodetske radove, jeste sistem za navigaciju i pozicioniranje, pa su samim tim i oblasti njegove primene raznovrsne. U geodeziji se primenjuje u gotovo svim oblastima, u inženjerskoj geodeziji, osnovnim geodetskim radovima, snimanju detalja za potrebe izrade topografskih i katastarskih planova, dok se u kombinaciji sa totalnim stanicama dobija integrисани sistem premera bez koga je danas gotovo nemoguće efikasno obavljati geodetske poslove.

Kombinacija ove dve metode premera danas je najčešća u praksi. Prikupljanje podataka je svedeno na optimalan broj koji će zadovoljiti potrebe izrade planova i karata. U praksi se teži ka tome da premer traje što kraće sa što manje angažovanog ljudstva, a da se pri tome postigne zadovoljavajuća tačnost i kvalitet podataka. Pored evidentne preciznosti koje obezbeđuju ove dve metode, postupak prikupljanja i obrade podataka traje dugo i potrebna je angažovanost određenog broja stručnjaka u zavisnosti od obima projekta.

1.6 Primjenjene naučne metode savremenih tehnologija premera

U cilju detaljne analize podataka prikupljenih savremenim tehnologijama premera analizirane su aktuelne metode određivanja prostornih podataka u geodeziji

i primenjene su sledeće naučne metode: statističke metode analize podataka, teorije grešaka i metode interpolacije. U postupku upoređenja uslovno tačnog modela sa originalnim podacima i podacima kalibriranim određenim brojem kontrolnih tačaka i kontrolnih profila, dobijeni rezultati su interpretirani pomoću funkcije raspodele, gustine raspodele i histograma apsolutnih frekvencija. Postupak poboljšanja tačnosti originalno generisanog oblaka tačaka zasnovan je na vertikalnoj kalibraciji na osnovu određenog broja kontrolnih tačaka i kontrolnih profila koja u osnovi predstavlja interpolaciju.

1.6.1 Aktuelne metode određivanja prostornih podataka u geodeziji

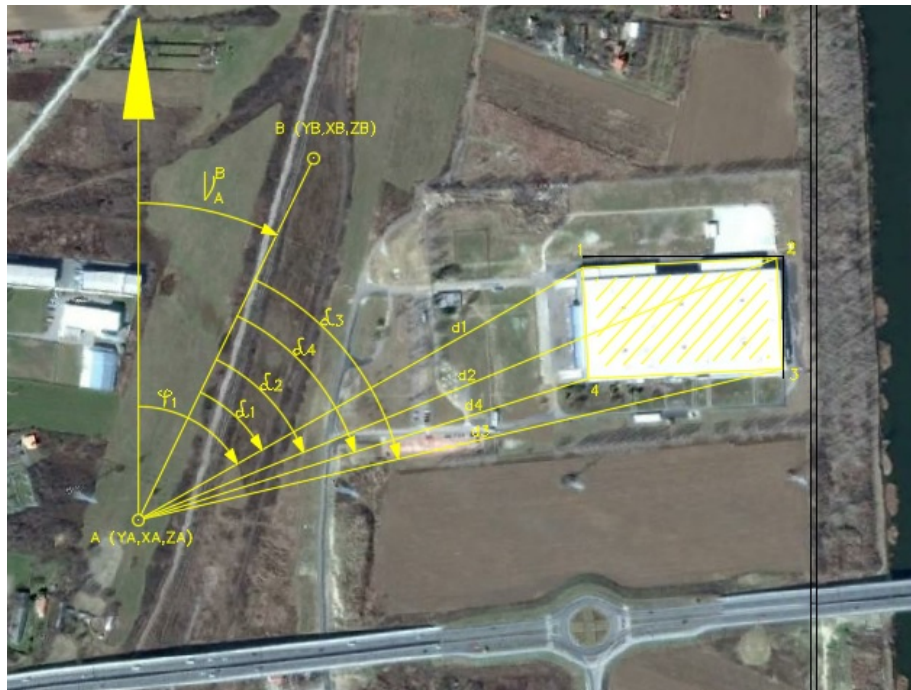
1.6.1.1 Metoda precizne elektronske tahimetrije

Kako je objašnjeno u poglavlju koje se bavi aktuelnim stanjem i opisuje metode rešavanja problema ažurnosti 3D podloga u geodeziji, metoda precizne elektronske tahimetrije se realizuje upotrebom totalnih stanica. Glavne komponente sistema totalne stanice su: elektronski teodolit, elektronski daljinomer EDM (Electronic Distance Measurement) i mikroprocesor. Elektronski teodolit je komponenta sistema koja se koristi za merenje horizontalnih i vertikalnih uglova. Daljinomer je komponenta za merenje dužina, a mikroprocesor je elektronski uređaj koji omogućuje izvođenje različitih matematičkih operacija [79]. Kod ove metode premera prikupljaju se elementi za računanje koordinata nepoznatih tačaka. Neophodni elementi su izmerni ugao između jedne u prostoru definisane prave i pravca na tačku čije se koordinate određuju i izmerene dužine od temena izmerenog ugla do tačke čije se koordinate određuju. Ovom metodom se, pored prikupljanja podataka za izradu 3D topografskih podloga, može pratiti izgradnja i obeležavanje projektovanih objekata.

Na slici 1.2, tačke A i B su tačke sa poznatim koordinatama. Instrument je postavljena na tačku A, definisan je pravac ka tački B i izmereni su uglovi i dužine ka tačkama 1, 2, 3 i 4. Koordinate tačaka računaju se tako što se najpre sračuna vrednost direkcionog ugla ν_A^B iz koordinata poznatih tačaka A i B. Nakon toga izračunava se orijentisani pravac na svaku od nepoznatih tačaka. Koordinate nepoznatih tačaka računaju se tako što se na prethodnu koordinatu dodaje sračunata koordinatna razlika a visine nepoznatih tačaka tako što se na poznatu visinu prethodne tačke dodaje sračunata visinska razlika. Ovom metodom se, pored prikupljanja podataka za izradu 3D topografskih podloga, može pratiti izgradnja i obeležavanje projektovanih objekata.

1.6.1.2 GNSS metoda

Određivanje položaja tačaka na Zemlji bazirano je na osnovu merenja rastojanja do satelita i principima geometrije, odnosno trilateracije. GNSS prijemnik računa koordinate svoje pozicije na osnovu merenja dužina do najmanje tri satelita. Dužina od satelita do prijemnika računa se na osnovu poznate brzine prostiranja radio-talasa i proteklog vremena. Svi sateliti imaju sinhronizovane satove kako bi se vremenska razlika putovanja talasa tačno izmerila. GNSS prijemnici imaju satove na bazi kristalnih oscilatora i manje su preciznosti u odnosu na atomske satove, pa se nedostatak preciznosti rešava uvođenjem merenja do četvrtog satelita i za merenja



SLIKA 1.2: Metoda precizne elektronske tahimetrije

veće tačnosti petog. Kada GNSS prijemnik dobije signal, računa se udaljenost do satelita upoređenjem razlika od momenta slanja i momenta prijema signala. Ukoliko je poznata pozicija jednog satelita, može postojati beskonačno mnogo položaja prijemnika. Ako su poznate pozicije dva satelita, onda se pozicija prijemnika nalazi u preseku dve sfere, a ako su poznate pozicije tri satelita i do prijemnika određene tri dužine, onda se metodom trilateracije mogu odrediti trodimenzionalna pozicija prijemnika na zemlji i dobiti koordinate (X , Y , Z). Postoji više metoda merenja primenom GNSS sistema koje se razlikuju u samom postupku merenja i u tačnosti. Pod pozicioniranjem se podrazumeva određivanje prostornih položaja stacionarnih i mobilnih objekata.

Postoje dve osnovne vrste merenja GNSS sistemom:

- kodna merenja (kodovi C/A, P),
- fazna merenja (faze nosećih signala L1, L2)

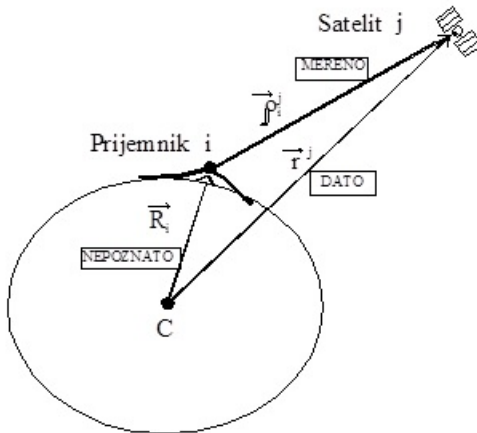
GNSS merne veličine su pseudododužine, izvedene iz kodnih ili iz faznih merenja. Uopšteno govoreći, tačnost kodnih merenja je u domenu metra, dok je tačnost faznih merenja u domenu milimetra. Za razliku od faznih merenja, kodna merenja su jednoznačna. To čini kodna merenja imunim na fazne skokove odnosno promene fazne neodređenosti i nešto su otporniji na zaklonjenost neba. Neodređenosti faznih merenja mogu se otkloniti različitim metodama. Kodna merenja uglavnom se koriste za potrebe navigacije, dok se fazna merenja koriste za visokoprecizna i tačna određivanja u Geodeziji [10].

Principijelno posmatrano postoje dve vrste pozicioniranja:

- apsolutno pozicioniranje,

- relativno pozicioniranje.

Osnovni koncept apsolutnog pozicioniranja tačke pomoću satelitskog sistema pokazan je na slici 1.3. Na osnovu primljenih signala sa satelita (j) određuju se vektor pozicije prijemnika \vec{R}_i na tački (i). Vektor pozicije satelita \vec{r}^j je dat, odnosno poznat, a vektor između satelita i prijemnika $\vec{\rho}_i^j$ se meri [10].



SLIKA 1.3: Osnovni koncept apsolutnog pozicioniranja

Nepoznata pozicija prijemnika na tački određuje se prema sledećem izrazu:

$$\vec{R}_i = \vec{r}^j - \vec{\rho}_i^j \quad (1.1)$$

gde je:

- $\vec{R}_i = (X_i Y_i Z_i)^T$ - vektor pozicije prijemnika na tački i ,
- $\vec{r}^j = (x_j y_j z_j)^T$ - vektor pozicije satelita j ,
- $\rho = \|r - R\|$ - dužina između satelita i prijemnika,
- $\vec{\rho}_i^j$ - vektor merenja između satelita i prijemnika.

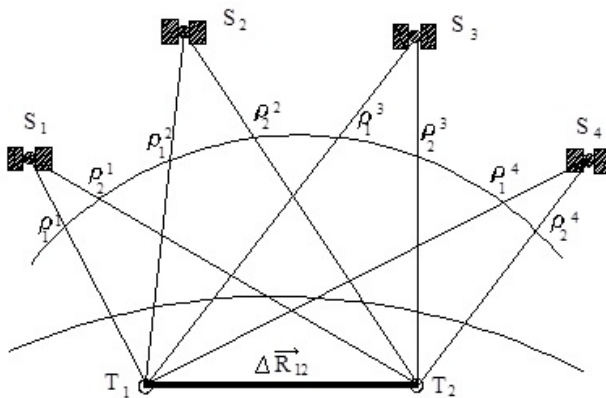
Relativno satelitsko pozicioniranje zahteva istovremena merenja na dve ili više tačaka, što se može videti na slici 1.4. Za primenu ovog metoda neophodna su najmanje dva prijemnika [10].

Primenom relativnog pozicioniranja, uticaji koji ograničavaju tačnost pozicioniranja iz prostora su: dnevne atmosferske promene, greške časovnika u prijemnicima i greške u efemeridama satelita. Oni mogu biti izbegnuti, ili čak eliminisani, dok su kod apsolutnog pozicioniranja ti uticaji dominantni.

Vektori pozicija prijemnika na tački T_1 i T_2 su:

$$\vec{R}_1 = \vec{r}^j - \vec{\rho}_1^j \quad (1.2)$$

$$\vec{R}_2 = \vec{r}^j - \vec{\rho}_2^j \quad (1.3)$$



SLIKA 1.4: Osnovni koncept relativnog pozicioniranja

Njihova razlika daje vektor:

$$\Delta \vec{R}_{12} = \vec{R}_2 - \vec{R}_1 = \vec{\rho}_1^j - \vec{\rho}_2^j = \vec{\rho}_{12}^j \quad (1.4)$$

Tačnost relativnog pozicioniranja je od 0.1ppm do 2.0ppm kada se koriste GNSS prijemnici.

GNSS sistem je sistem za navigaciju i pozicioniranje, pa su samim tim i oblasti njegove primene raznovrsne. U geodeziji se on primjenjuje u gotovo svim oblastima, u inženjerskoj geodeziji, osnovnim geodetskim radovima, snimanju detalja za potrebe izrade topografskih i katastarskih planova, dok se u kombinaciji sa totalnim stanicama dobija integrisani sistem premera bez koga je danas gotovo nemoguće efikasno obavljati geodetske poslove.

1.6.1.3 Metoda automatizovane digitalne fotogrametrije

Početkom XX veka došlo je do razvoja analogne fotogrametrije, koja razvojem računarske tehnologije biva vrlo brzo zamenjena digitalnom. Metode automatizovane digitalne fotogrametrije dosta se razlikuju u odnosu na klasične fotogrametrijske metode. Njihov ubrzani razvoj umnogome doprinosi rešavanju različitih problema iz oblasti geodezije i drugih tehničkih disciplina. Razlike mogu biti razmatrane kroz nekoliko aspekata: ekonomskog, predmeta snimanja i procedura obrade generisanih podataka. Sa ekonomskog aspekta, metode automatizovane digitalne fotogrametrije, kod kojih se koriste bespilotne letelice, neuporedivo su jeftinije od klasičnih fotogrametrijskih metoda. Razlike su značajne, počevši od vrste letelice koja se koristi za snimanje do vrste opreme koja se koristi za snimanje. Klasične fotogrametrijske metode bazirane su na snimanju većih površina, dok to nije slučaj sa metodama automatizovane digitalne fotogrametrije. Snimanje većih površina ovim metodama je moguće, ali ono iziskuje dosta vremena. Aspekt procedura obrade generisanih podataka može se smatrati dosta bitnim. Pojava novih metoda premera primenom savremenih uređaja za akviziciju podataka, uslovila je razvoj pratećih softverskih rešenja koja prevazilaze komplikovane procedure obrade kod klasičnih fotogrametrijskih metoda i svode problem obrade na jednostavne procedure i manipulacije u softverskim rešenjima prilagođenim korisnicima.

TABELA 1.1: Kategorizacija UAV sistema

| LETELICE | LAKŠE OD VAZDUHA | TEŽE OD VAZDUHA | | |
|------------|------------------|------------------|----------------|---|
| | | KRILA | | |
| BEZ POGONA | BALONI | FLEKSIBILNA | FIKSNA | ROTACIONA |
| | | viseća jedrilica | jedrilica | zmajevi sa rotorima |
| | | paraglajder | | |
| SA POGONOM | AVIOSISTEMI | zmaj | | |
| | | paraglajder | sa propelerima | jedan rotor |
| | | | sa motorom | koaksijalni kvadrotor multirotori |

Jedna od savremenih platformi za nošenje opreme za digitalnu fotogrametriju jesu UAV. To su daljinski kontrolisani, poluautomatski ili potpuno automatski sistemi koji ne zahtevaju ljudsku posadu. Sistem se primenjuje kod izviđanja, vršenja nadzora u realnom vremenu, praćenju saobraćaja i slično. Pojava tih uređaja predstavlja veliki napredak i nalazi sve veću primenu u tehničkim strukama. Nova tehnologija ima mnoge prednosti, kao što su efikasnost i mobilnost. Kada ih uporedimo sa uređajima koji se koriste za klasičnu fotogrametriju, oni imaju znatno nižu cenu i mogu se koristiti u visokorizičnim situacijama i nepristupačnim predelima. Kategorizacija UAV sistema može biti izvršena na osnovu više kriterijuma (Tabela 1.1). Jedna od glavnih kategorizacija može se izvršiti na osnovu konstrukcije same letelice, pa tako UAV sisteme možemo podeliti na sisteme sa fiksnim krilima i sisteme sa rotacionim krilima.

Različite vrste letelica (Slika 1.5) imaju razvijene različite sisteme za upravljanje, poletanje i sletanje, kao i deklarisanu tačnost koja zavisi od komponenti sistema.

UAV (Unmanned Aerial Vehicles)

- platforme za avione
- platforme za helikoptere

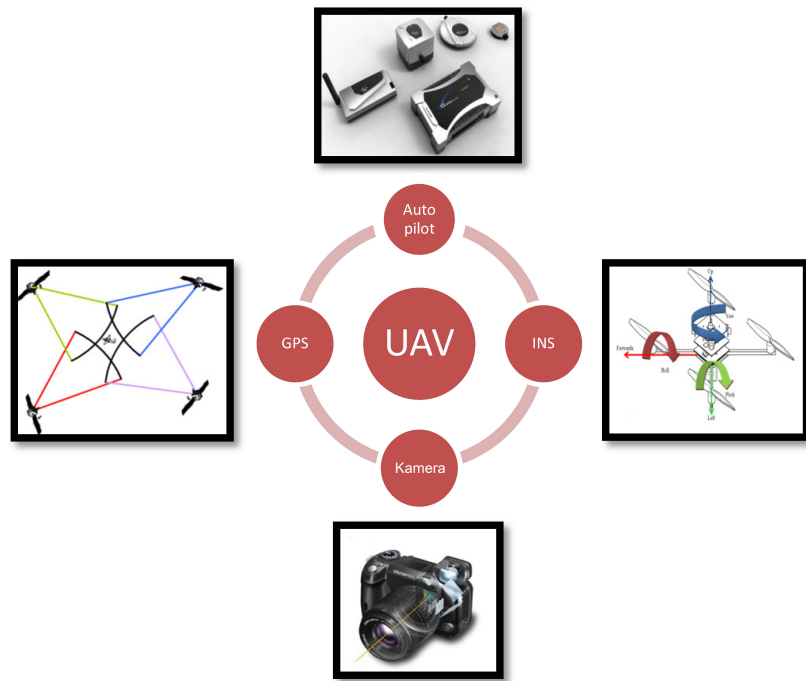


SLIKA 1.5: UAV sistemi za upravljanje

Na slici 1.5 prikazane su UAV platforme koje su našle svoju primenu u geodetskom mapiranju terena. One su dovoljno snažne da mogu poneti određenu težinu opreme (fotoaparat, mali GNSS prijemnik itd.), a opet daju mogućnost jednostavnog poletanja, manevriranja i sletanja. U praksi se za snimanje velikih površina koriste bespilotni avioni, dok se za snimanje manjih površina i fasada objekata koriste multirotor letelice koje imaju kontrolu nad orientacijom kamere.

1.6.1.3.1 Komponente UAV sistema

Osnovne komponente sistema su letelica, komandni link i zemaljska kontrolna stanica. Arhitektura sistema letelice sastoji se od nekoliko komponenti: autopilot, GNSS, IMU jedinica, kamera i softver koji objedinjuje sve komponente u jedan sistem (Slika 1.6). Kontrola letelice u toku leta može biti automatska (autopilot) ili ručna. Pozicioniranje platforme i kamere vrši se pomoću GNSS prijemnika. Definisanjem kontrolnih tačaka na terenu eliminiše se pozicioniranje platforme tokom leta, iako je ovakav način (pozicioniranje platforme tokom leta) dosta brži. Ukoliko se ne koriste orientacione tačke i ukoliko se platforma pozicionira tokom leta, to se obavlja RTK metodom globalnog pozicioniranja sa tačnošću od nekoliko centimetara. Novije UAV platforme imaju ugrađen dvofrekventni GNSS prijemnik sa mogućnošću rada u RTK režimu. Kamere koje se koriste u bespilotnim letelicama su uglavnom malih dimenzija. Sam senzor kamere često je modifikovan kako bi se registrovao NIR kanal. Može se koristiti i nekoliko kamera sa različitim senzorima u zavisnosti od njihove težine i nosivosti letelice.



SLIKA 1.6: Komponente UAV sistema

1.6.1.3.2 Funtcionisanje UAV sistema

Funkcionisanje UAV sistema se može objasniti kroz tri faze. U prvoj fazi potrebno je izvršiti pripremu leta, definisati područje snimanja, rezoluciju snimanja i detalje leta.

Preduslov za kalibraciju dobijenih podataka i njihovo smeštanje u odgovarajući koordinatni sistem je određivanje kontrolnih tačaka na terenu. Danas, savremeni UAV sistemi imaju GNSS/RTK prijemnike, pa je moguće snimanje vršiti u realnom vremenu. Definisanje kontrolnih tačaka i kalibracija predstavljali bi drugu fazu funkcionisanja sistema. Sistemi tog tipa opremljeni su kamerama visoke rezolucije, pa se treća faza odnosi na procesiranje dobijenih podataka, generisanje DSM i ortofotomozaika (Slika 1.21).

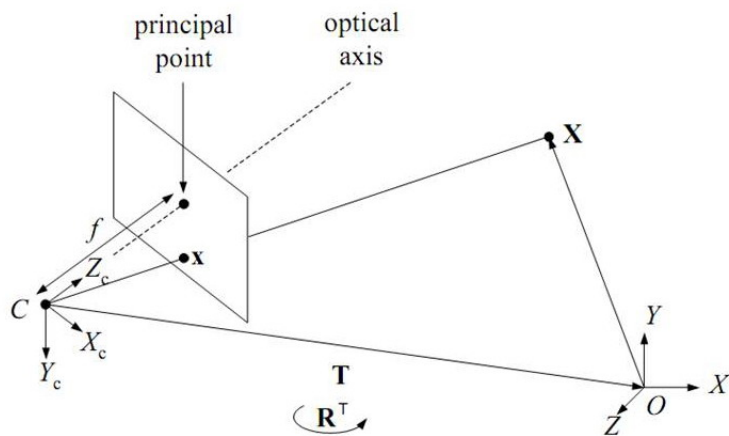
UAV sistemi mogu proizvesti guste oblake tačaka (gustina tačaka i do nekoliko centimetara) koristeći MVS ili SIFT tehnike u kombinaciji sa fotogrametrijskim metodama. 3D rekonstrukcija sa fotografija oslanja se na korespondiranje fotografija. Definiše se unutrašnja i spoljašnja orijentacija snimaka, bez kojih nije moguće izvršiti ekstrakciju

U okviru ovog istraživanja analizirani su podaci generisani UAV sistemom firme „SenseFly”. Taj UAV sistem je, sa manje od 0.7 kg, jedan od najlakših UAV sistema na tržištu. Konstrukcija od fleksibilnog stiropora i propeler koji je montiran na zadnjem delu konstrukcije dizajnirani su tako da obezbede sigurnost kako samog sistema tako i ljudi na terenu. Uređaj poleće, leti i sleće potpuno automatizovano. Letelica prikuplja fotografije iz vazduha i ima obuhvat od $1 \text{ km}^2 - 10 \text{ km}^2$ u jednom letu i postiže preciznost do 5 cm. Ima mogućnost maksimalnog vremena leta do 45 minuta, što omogućava da obuhvati oblasti do 10 km^2 u jednom letu. Sa svojom 16MP kamerom može prikupljati snimke iz vazduha sa rezolucijom od 3 cm/piksel. Slike se zatim mogu koristiti za kreiranje mapa i digitalnih modela visina sa preciznošću do 5 cm. Tehnologija obrnutog potiska i inovativni terenski senzor omogućava precizno sletanje čak i u ograničenim prostorima. „SenseFly” je izgradio intuitivan softver „eMotion 2” pomoću koga se može planirati, simulirati, pratiti i kontrolisati putanja uređaja pre leta i za vreme leta. Veštačka inteligencija ugrađena u „SenseFly” autopilot konstantno analizira podatke iz inercijalne merne jedinice i GNSS-a i vodi računa o svim aspektima misije leta. „Ebee” autopilot čuva sve podatke i prikupljene slike putanje leta. Ovi podaci se mogu preuzeti preko USB kabla i direktno su kompatibilni sa softverom „Postflight Terra 3D-EB”. On omogućava automatsku obradu georeferenciranih ortomozaika i digitalnih modela visina DEM (Digital Elevation Model) sa tačnošću do 5 cm (relativna tačnost). Kontrolne tačke na zemlji mogu se koristiti za povećanje globalne tačnosti [78].

1.6.1.3.3 Matematički model određivanja 3D koordinata karakterističnih tačaka terena i objekata

Poslednjih godina ostvaren je veliki napredak u tehnologiji preklapanja fotografija (eng. *image matching*). Identifikovane tačke na fotografijama koje se preklapaju omogućuju dobijanje 3D koordinata i generisanje oblaka tačaka. SfM (Structure from Motion) proces u kombinaciji sa MVS ili SIFT tehnikama omogućuje automatsku ekstrakciju oblaka tačaka (Slika 1.7). SfM u isto vreme određuje pozicije

i orijentacije kamere, koordinate 3D tačke scene i kalibracione parametre kamere, dok MVS algoritam na osnovu SfM pogušćava oblak tačaka i na taj način vrši rekonstrukciju snimljene scene. Prikupljanje informacija o geometriji 3D scene iz 2D snimka zahteva dodatne informacije. Problem se može rešiti primenom dve metode. Jedna metoda nalaže da se smanji broj stepeni slobode korišćenjem prethodnog znanja o samoj sceni a druga je korišćenje istih tačaka koje se javljaju na dva ili više snimaka. Kako se jedna tačka može nalaziti na dva ili više snimaka, sama rekonstrukcija scene se može postići triangulacijom. U projekcionej matrici prikazana je kalibracija i pozicija kamere. Jedna od mogućnosti SfM tehnike je da omogućava istovremeno određivanje projekcione matrice i 3D tačke.



SLIKA 1.7: Struktura iz pokreta (eng. *Structure from Motion*)

Postupak automatske ekstrakcije DSM može se podeliti u nekoliko faza [35]:

- Digital Image Matching – identificuju se kontrolne tačke na dva snimka,
- Ground Point Coordinate Determination – određuju se koordinate kontrolnih tačaka,
- DSM Construction – generisanje DSM-a.

Relacija koja daje vezu između tačaka realnog koordinatnog sistema i koordinatnog sistema kamere je:

$$\begin{bmatrix} X_C \\ Y_C \\ Z_C \\ 1 \end{bmatrix} \sim \begin{bmatrix} R & T \\ 0 & 1 \end{bmatrix} \begin{bmatrix} X \\ Y \\ Z \\ 1 \end{bmatrix} \quad (1.5)$$

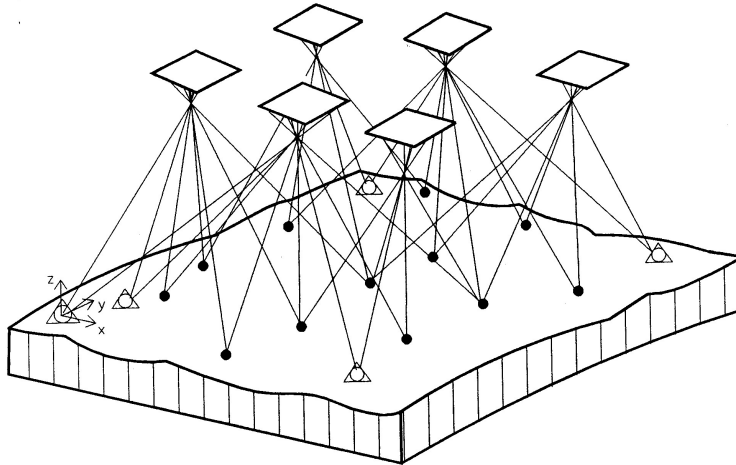
R – rotaciona matrica 3x3 koja reprezentuje rotaciju kamere.

T – translacija kamere

Relacije koje daju vezu 3D tačaka u koordinatnom sistemu kamere i 2D ravni fotografije su:

$$X = f \frac{X_C}{Z_C} \quad Y = f \frac{Y_C}{Z_C} \quad (1.6)$$

gde je f fokalna dužina



SLIKA 1.8: Blok triangulacija

$$g(X, R, T) = \sum_{i=1}^m \sum_{j=1}^n w_{ij} \| P(x_i, R_j, t_j) - \begin{bmatrix} u_{i,j} \\ v_{i,j} \end{bmatrix} \|^2 \quad (1.7)$$

gde w_{ij} predstavlja indikator promenljive, tj. da li je tačka (i) vidljiva na slici (j). $P(x_i, R_j, t_j)$ predstavlja prepostavljenu lokaciju fotografije, dok poslednji matrični član formule predstavlja posmatranu lokaciju fotografije.

MVS rekonstrukcija kompleksnih scena i generisanje oblaka tačaka ostvarila je značajan napredak u poslednjih nekoliko godina. Postoji više metoda MVS rekonstrukcija, ali su najinteresantnije one koje mogu da na brz i efikasan način obrađuju snimke veće rezolucije. Kako je opisano u [76], biće prikazan pristup koji omogućava brzu rekonstrukciju oblaka tačaka zahteva malo radne memorije kod obrade snimaka velike rezolucije. Algoritam se izvršava direktno na najvećoj rezoluciji, odnosno na originalnoj rezoluciji snimka. To je moguće zahvaljujući DAISY deskriptorima koji se koriste za gusto podudaranje široke bazne linije [75]. Prednost ovakve metode obrade podataka i ekstrakcije oblaka tačaka je ta što je pogodna za primenu na velikim projektima koji sadrže snimke visoke rezolucije i pri tome je moguće koristiti standardne računare.

Pristup se sastoji iz dva osnovna koraka. Počinje se sa proračunom gustog oblaka tačaka za parove snimaka, što bi predstavljalo prvi korak. Nakon toga, vrši se provera korišćenjem dodatnih snimaka.

Bazna linija para snimaka $y_i = (I_s, I_t)$ može biti relativno velika. Za ovakav par snimaka koristi se DAISY deskriptor za merenje sličnosti dužih epipolarnih linija i izračunava se mapa dubina [26]. Za izračunavanje verovatnoće da piksel x ima dubinu d na snimku koristi se rezultat DAISY podudaranja.

$$P(d) = \frac{1}{z} \exp \left(\frac{-\|D_x^i - D_{x'(d)}^j\|^2}{\sigma} \right) \quad (1.8)$$

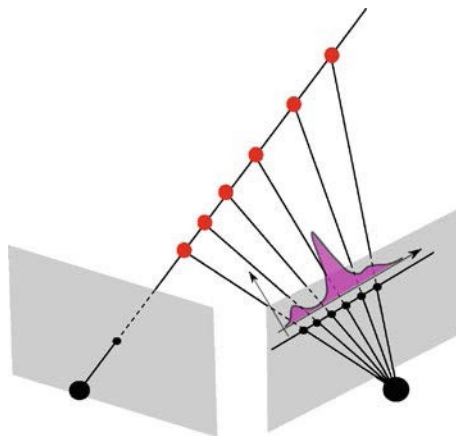
gde su:

- $D_x^i, D_{x'(d)}^j$ deskriptori u tački x na jednom snimku i u korespondentnoj tački $x'(d)$ na drugom snimku.
- d predstavlja dubinu.
- z predstavlja konstantu normalizacije (osigurava da suma verovatnoća bude 1).
- σ kontroliše oštrinu distribucije.

Posmatrajući dve najveće verovatnoće duž epipolarne linije, donosi se odluka da li pikselu treba dodeliti dubinu.

$$R_x = \frac{P_{najbolja}(d)}{P_{druganajbolja}(d)} \quad (1.9)$$

U [76] se procenjuje da se dubina tretira kao validna ukoliko je iznad 0,8m (Slika 1.9).



SLIKA 1.9: Pretraga duž epipolarne linije

Linija vida je diskretizovana neravnomerno i predstavljena je crnim tačkama na slici 1.9. Distribucija verovatnoće izračunata je na osnovu ravnomerno uzorkovane epipolarne linije i na slici 1.9 predstavljena je ljubičastom bojom. Oblak tačaka koji je proizведен na ovaj način označen je sa \bar{X}^i . On može da sadrži i neke lažne tačke.

Analizom više parova snimaka eliminišu se lažne tačke. Data tačka X , čija je koordinata izračunata na osnovu jednog para snimaka $y_i = (I_s, I_t)$, reprojektuje se na druge snimke i doslednost se meri računanjem:

$$\varepsilon_{i,j} = \frac{|d(X, i) - dmap_{i,j}(X)|}{dmap_{i,j}(X)} \quad (1.10)$$

gde je:

- $d(X, i)$ dubina tačke X , i je kamera, a $dmap_{i,j}(X)$ predstavlja vrednost dubine koja je izračunata u projekciji X na snimak i pri čemu je korišćen par snimaka $y_i = (I_s, I_t)$.

Tačka se zadržava ako je mera doslednosti dovoljno mala za najmanje C mapa dubina.

$$\bar{X} = \left\{ X_j, \text{ako } \left[\sum_{i \in Q_j} V(X_j \in \bar{X}^i) \right] > C \right\} \quad (1.11)$$

gde je:

- \bar{X} finalni oblak tačaka
- V je logička funkcija
- Q_j predstavlja set parova snimaka

Jedna tačka može biti određena iz više parova snimaka. Zadržavaju se samo one tačke čija je očekivana preciznost najveća, a ostale se odbacuju. Potrebno je razmotriti tri geometrijska faktora kako bi se donela odluka o usvajanju ili odbacivanju tačaka:

- bazna linija stereo-para (veće bazne linije daju precizniju ocenu dubine),
- žižna daljina kamere,
- udaljenost tačke od centra kamere.

Što je kamera bliža tački, ili što je uvećanje veće, to će snimak sadržati detaljniju teksturu, tako da možemo reći da faktori 2 i 3 kontrolisu informacije o sadržaju. Procena preciznosti je sledeća:

$$q(X) = \frac{f \cdot \sin(\theta)}{\|X - C\|} \quad (1.12)$$

gde je:

- f žižna daljina
- $\sin(\theta)$ mera bazne linije, θ ugao između projekcionih zrakova kamere
- $\|X - C\|$ rastojanje od centra kamere do tačke.

1.6.1.4 Metoda 3D laserskog skeniranja - LiDAR

Primena metode automatizovane digitalne fotogrametrije ima svojih nedostataka koje je moguće nadomestiti primenom ili integracijom neke druge savremene metodologije premera. Jedan od nedostataka je taj što rešenja dobijena na ovaj način nisu dovoljno precizna u područjima obraslim vegetacijom. U tim slučajevima primenjuje se druga metodologija, ili se koristi integrisani sistem premera. Rešenje koje zadovoljava potrebe snimanja u obraslim područjima je multipulsna LiDAR (Light Detection And Ranging) tehnologija.

Najstarija poznata varijacija LiDAR sistema razvijala se pre milion godina. Spleti miševi su koristili navigacioni sistem poznatiji kao SONAR (Sound Navigation And Ranging). Sistem funkcioniše tako što slepi miš emituje iz svog nosa kratak signal i prima povratni echo kroz uši, što mu omogućuje trodimenzionalni pogled okoline. Na ovaj način, on može da izbegava prepreke i traži svoj plen [6]. Početkom dvadesetog veka ljudi su počeli sa razvijanjem sličnih sistema. Prvi razvijeni sistem bio je „Telemobiloscope“. Razvio ga je Christian Huelsmeyer 1904. godine. To je bila prva razvijena forma RADAR (Radio Detection And Ranging) sistema, koji se sastojao iz nekoliko komponenti, antene, prijemnika i transmitera, i koristio je radio-talase izvan zvučnog opsega. Taj sistem je prvenstveno bio namenjen otkrivanju metalnih objekata u brodovima na moru u cilju sprečavanja sudara. Domet sistema bio je 3.000 m i pri detekciji objekata bi se oglašavalo zvono dok god taj objekat ne bi napustio svoju putanju [6].

LiDAR sistemi sastavljeni su iz nekoliko glavnih komponenti. To su LiDAR senzor, GNSS prijemnik, INS i računar za skladištenje podataka. LiDAR senzor radi na istom principu kao i radar, šalje talasnu dužinu prema objektu i meri vreme njenog povratka do izvora da bi izmerio dužinu između dve tačke [72].

1.6.1.4.1 Komponente LiDAR sistema

LiDAR sistem predstavlja integraciju četiri osnovne komponente za prikupljanje preciznih podataka i orijentaciju laserskih zraka. To su Laser, INS/IMU jedinica, GNSS i računar za skladištenje podataka (Slika 1.10). Integracija navedenih komponenti u jedinstvenu celinu daje integrisani sistem premera, koji omogućuje rapidno prikupljanje velikog broja preciznih podataka u relativno kratkom vremenskom periodu.

Laser je uređaj ili instrument koji se koristi za merenje rastojanja do objekata kao što su zemlja, drvo, zgrada itd. Laser je osnova svih skenera i profajlera koji se danas koriste za potrebe merenja. Postoje dve metodologije merenja kod topografskih aplikacija: TOF (Time Puls Method) i MFPC (Multiple-Frequency Phase Comparison) metoda.

Laseri se mogu kategorizovati po svojoj talasnoj dužini. Laseri sa talasnom dužinom od 600 nm – 1.000 nm ne koriste se u naučne svrhe i lako mogu biti apsorbovani od strane ljudskog oka. Njihova maksimalna snaga mora biti ograničena kako bi bili bezbedni za korišćenje. Laseri sa talasnom dužinom od 1.550 nm nisu opasni po ljudsko oko i bezbedni su pri znatno većim snagama. Oni se koriste za merenja sa manjom preciznošću na većim daljinama.



SLIKA 1.10: Komponente LiDAR sistema

Glavne komponente lasera su optika, fotodetektori i elektronika. Fotodetektori i elektronika su uređaji koji očitavaju i snimaju signal koji se vratio u sistem.

Sve operacije laserskog preciznog merenja dužina i operacije skeniranja bazirane su na istom tipu laserski orijentisanog instrumenta, koji meri dužinu sa visokom preciznošću. Merenje dužine uvek je bazirano na preciznom merenju vremena i može biti izvedeno na dva načina.

Prvi način merenja dužine vezan je za precizno merenje TOF (Slika 1.11), veoma kratkog, ali veoma intenzivnog pulsa lasera. Meri se vreme emitovanog pulsa od emitera do objekta koji je predmet snimanja i vreme potrebno za njegov povratak posle refleksije do emitera (koristi se termin i *puls-echo*). Na taj način, instrument precizno meri vremenski interval koji je protekao od vremena emitovanja pulsa do njegovog povratka posle refleksije:

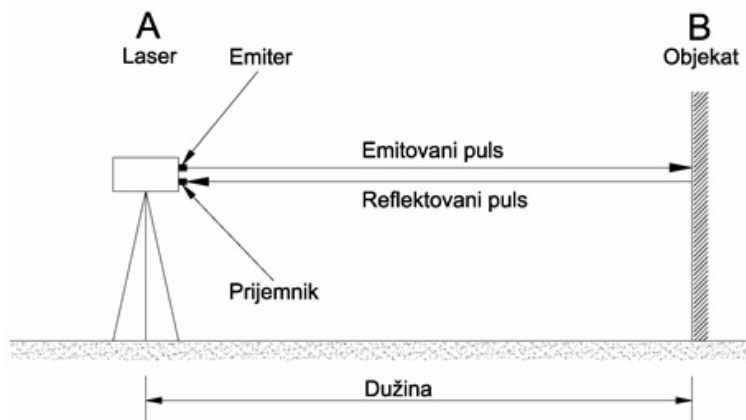
$$R = V \frac{t}{2} \quad (1.13)$$

gde je:

R – rastojanje,

V – brzina prostiranja elektromagnetske radijacije (poznata vrednost),

t – vremenski interval.



SLIKA 1.11: Laser koji koristi TOF metod

Iz ove relacije možemo dobiti:

$$\Delta R = \frac{\Delta\vartheta \cdot t}{2} + \frac{\vartheta \cdot \Delta t}{2} \quad (1.14)$$

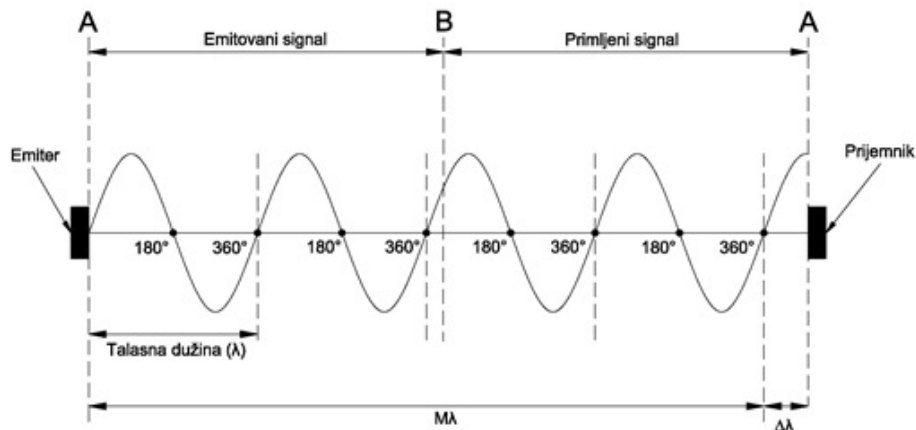
gde je:

ΔR – preciznost merenja udaljenosti,

ΔV – preciznost merenja brzine,

Δt – vremenski interval.

Kod drugog načina laser emituje kontinuirani zrak laserskog zračenja umesto pulsa, kako je to bio slučaj u prethodnom primeru. Kod ovog načina, vrednost dužine izvodi se upoređivanjem emitovane i primljene verzije sinusnog talasa emitovanog zraka i merenjem fazne razlike između njih. Kako je talasna dužina λ nosača signala emitovanog zraka prilično kratka (oko $1 \mu\text{m}$), modulacioni signal u obliku merenja talasne dužine, nametnut nosaču signala i njegova fazna razlika mogu biti izmereni preciznije. Na taj način će amplituda laserskog zraka biti modulirana od strane sinusnog signala koji ima period T_m i talasnu dužinu λ_m (Slika 1.12). Merenje rastojanja R sprovodi se preciznim merenjem fazne razlike između emitovanog signala i primljenog signala posle refleksije. Merenje fazne razlike obično se izvodi korišćenjem digitalne tehnike za brojanje pulseva.



SLIKA 1.12: Upoređenje faznih razlika

Ceo broj talasnih dužina (M) može biti određen i pomoću njega možemo doći do vrednosti rastojanja R .

$$R = \frac{M\lambda + \Delta\lambda}{2} \quad (1.15)$$

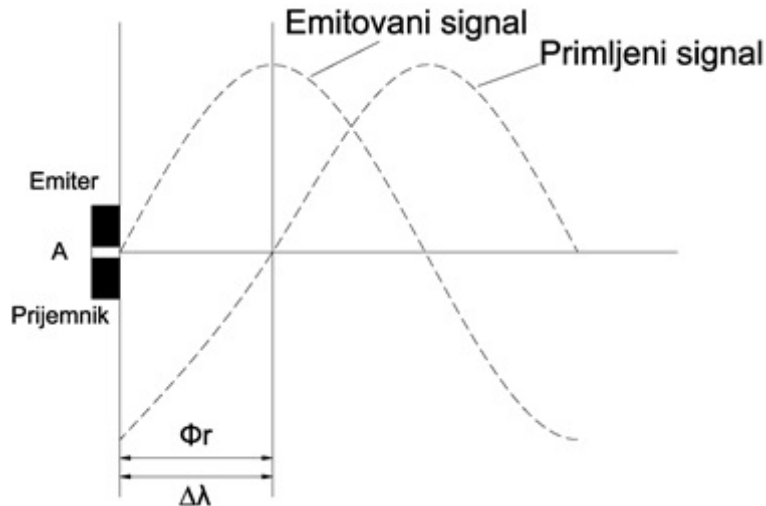
gde je:

M – ceo broj talasnih dužina,

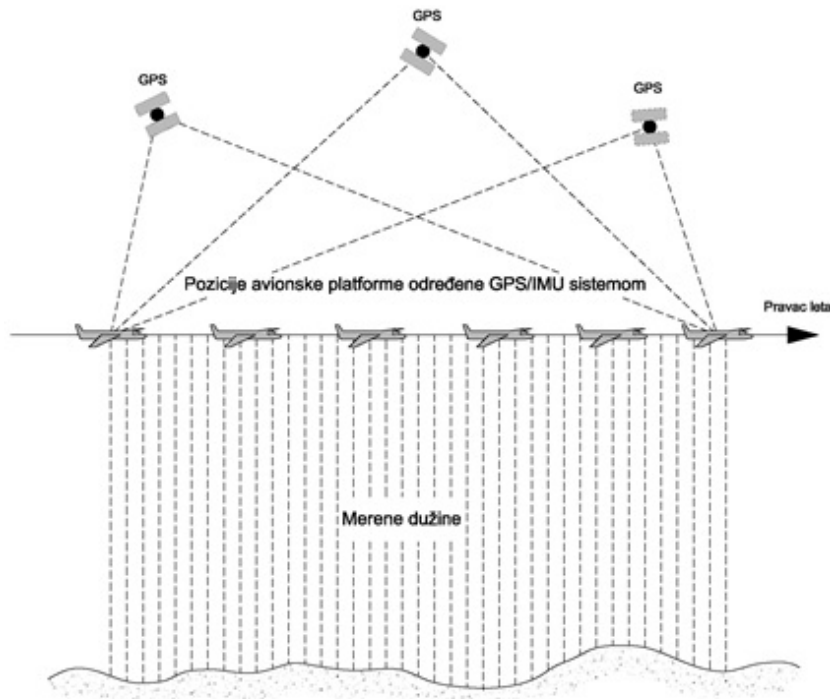
λ – talasna dužina,

$\Delta\lambda$ – frakcionalni deo talasne dužine $\frac{\varphi}{2\pi} \cdot \lambda$, pri čemu je φ fazni ugao.

Kada laserski uređaj kao dodatak ima mehanizam za skeniranje, rotaciono ogledalo ili prizmu, možemo govoriti o skeneru. Takav uređaj može da meri topografske elemente na određenoj površini, za razliku od jednostavnog laserskog uređaja koji određuje vrednost duž jedne linije terena (Laser Profiler). Postoji



SLIKA 1.13: Fazna razlika dva signala



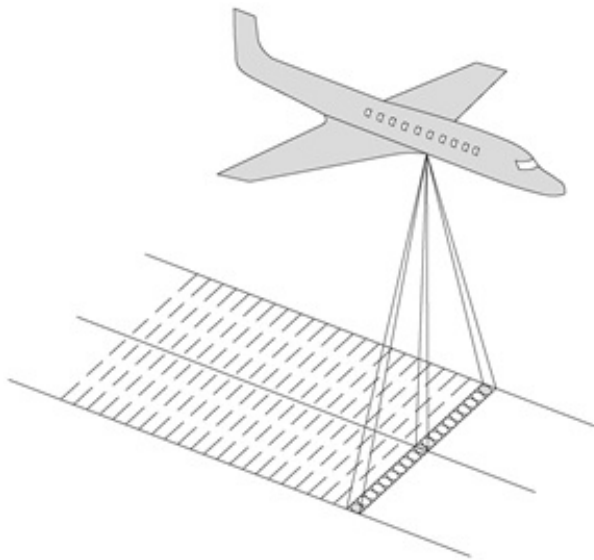
SLIKA 1.14: Avionski LiDAR sistem

mogućnost da pozicija za skeniranje bude fiksna, ili da platforma bude pokretna (Slika 1.14).

Kada je pozicija za skeniranje fiksna, za skeniranje nekog područja potrebno je pomeranje u dva pravca. Na ovaj način dobijamo 3D pozicije na osnovu kojih možemo doći do 3D modela skeniranog područja.

Kada je pozicija za skeniranje pokretna, montirana na letelicu ili neki drugi pokretni uređaj, oblast skeniranja popunjava se nizom snimljenih profila koji su upravni na pravac kretanja (Slika 1.15). Kao rezultat dobijamo 3D pozicije mreže

tačaka koje pokrivaju oblast skeniranja. Popularan naziv za to je „oblak tačaka“ (Point Cloud).

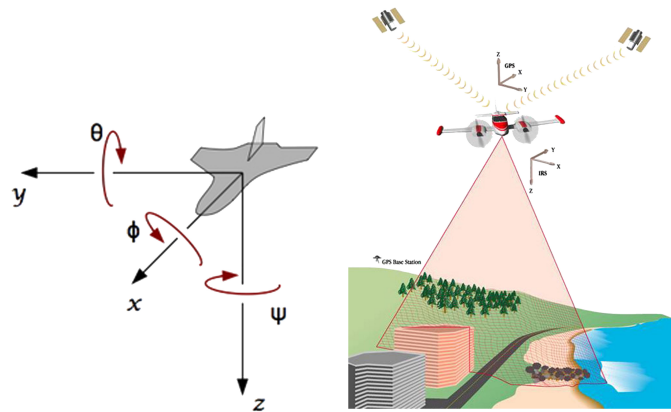


SLIKA 1.15: Trasa snimljena po profilima

U slučaju jednostavnog laserskog uređaja montiranog na avionsku ili neku drugu pokretnu platformu, laserski uređaj je postavljen vertikalno prema zemlji. Merenja se vrše u rapidnim serijama merenja dužine do zemlje sa pokretnе platforme. Neophodno je odrediti absolutnu poziciju i orientaciju senzora, a IMU (Inertial Measurement Unit) beleži preciznu orientaciju senzora, dok navigacioni sistem služi za određivanje pozicije sistema u prostoru.

INS (inercijalni navigacioni sistem), namenjen je za merenje parametara navigacije objekta u prostoru, sa korišćenjem računara i senzora. Veoma je značajan za automatske mašine, robote, letelice i druge vrste vozila. Sistem je sastavljen od tri žiroskopa, tri akcelerometra i kompjutera. Koristi se u svrhe navigacije još od polovine XX veka za potrebe određivanja pozicije, orientacije i brzine kretanja. Radi bez spoljnih komponenti kao što su sateliti, bazne stanice i slično [15]. Promene „vektora stanja“ objekta u prostoru, detektuju se akcelerometrima i žiroskopima. Akcelerometri se koriste za merenje translatornog kretanja, a žiroskopi za merenje rotacije. INS kontinualno preuzima pristigne signale iz senzora, na osnovu njih računa parametre navigacije i upoređuje dobijene rezultate. Dobijeni rezultati upoređuju se u odnosu na početno stanje mirovanja objekta, ili na neko novo referentno stanje. Na taj način, kontinualno se određuju orientacija i brzina kretanja objekta u realnom vremenu. Parametre kretanja slobodnog tela u prostoru sistem određuje bez potrebe za stalnim referentnim poređenjem u odnosu na spoljno okruženje.

Sistem funkcioniše tako što meri kinematske parametre za šest stepeni slobode, tri translacije (duž tri ose) i tri rotacije (oko njih) (Slika 1.16). Koristi se za navigaciju na pokretnim objektima, kao što su brodovi, avioni, podmornice, vođene rakete i svemirske letelice. INS poseduje računar, platformu i modul sa senzorima: akcelerometrima, žiroskopima ili drugim uređajima za detekciju kretanja. INS odredi svoju početnu poziciju i brzinu, iz nekog drugog izvora (izmeri je čovek–operator,



SLIKA 1.16: Koordinatni sistem letelice (levo), LiDAR sistem (desno)

GNSS sa satelitskim prijemnikom, itd.), a zatim izračunava svoju poziciju i ažurira brzinu integrisanjem informacija dobijenih od senzora o kretanju. Sadrži paket senzora, koji u kombinaciji daju informacije za izračunavanje inercijskih sila u tri linearne dimenzije, duž tri ose i tri ugla rotacije oko tih osa.

Pored kombinacije akcelerometara u linearnim pravcima i žiroskopa za signale ugaonog kretanja oko osa, sistem poseduje i procesorsku ploču, memoriju i senzor temperature. Obezbeđen je digitalni interfejs, za konverziju jedinica i primenu modula senzora kalibracije.

Glavni nedostatak kod navigacije korišćenjem INS-a jeste taj što mu se greška vremenom akumulira, što se u praksi prevaziđa kombinacijom drugih navigacionih sistema. Na primer, u kombinaciji sa sistemom GNSS, dobijaju se apsolutni podaci položaja svake sekunde, dok sam INS interpoluje srednje vrednosti.

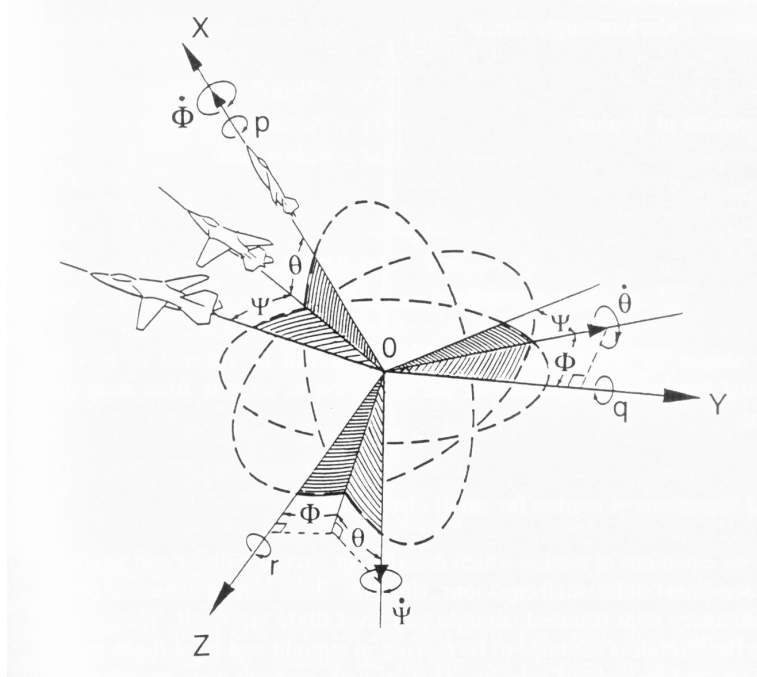
U zavisnosti od preciznosti samih senzora, greška iznosi oko 5 metara na 100 sekundi. INS daje rezultate u odnosu na početni položaj koji je ili poznat ili se dobija GNSS-om u postupku inicijalizacije. Greška INS-a se onda može smanjiti ili češćim inicijalizovanjem ili predikcijom Kalmanovim filterom kojim se greške merenja svede na minimum. Integriranjem GNSS-a i INS-a, omogućuje se kontinualno određivanje pozicije sa tačnošću od 2 cm i u slučajevima kada GNSS nema odgovarajuću tačnost (u tunelu, ispod vegetacije). Takvim integriranim sistemom INS se može koristiti ne samo u svrhu navigacije već i u svrhu premera [15].

Pored navedenih nedostataka INS ima i prednosti, primer su kod pretovara brodova u lukama i kod podmornica u nekim slučajevima. Brodovi povremeno prolaze u lukama pored prepreka, kao što su metalne dizalice, i tada je GNSS signal nejasan. U tim situacijama INS je pouzdaniji. Na podmornicama je korišćen i dodatni GNSS sonar. Pri potapanju njegove antene u vodu gubi se signal.

Akcelerometri služe prvenstveno za merenja linearnih pomeranja, dok žiroskopi služe za merenja uglovnih pomeranja. Sistem radi bez spoljnih komponenti kao što su sateliti, bazne stanice i slično [15]. Svrha integracije LiDAR i INS sistema je mogućnost INS sistema da beleži pomeranja letelice ili nekog drugog vozila između dva GNSS merenja (Slika 1.16). Glavni nedostatak ovog sistema, kada se koristi u navigaciji je taj što mu se greška vremenom akumulira [15].

Jednačine pokreta:

Orijentacija vozila ili letelice u odnosu na fiksni inercijalni okvir definisana je sa tri Eulerova ugla. Letelica je zamišljena tako da bude paralelna sa fiksnim referentnim okvirom. Serijama rotacija oko osa OX, OY i OZ objekat se dovodi u orjentaciju (Slika 1.17), [19].



SLIKA 1.17: Eulerovi uglovi

Odnos između uglovnih rotacija prikazan je kao:

$$\begin{bmatrix} \dot{\phi} \\ \dot{\theta} \\ \dot{\psi} \end{bmatrix} = \begin{bmatrix} 1 & \sin\phi\tan\theta & \cos\phi\tan\theta \\ 0 & \cos\phi & -\sin\phi \\ 0 & \sin\phi\sec\theta & \cos\phi\sec\theta \end{bmatrix} \begin{bmatrix} p \\ q \\ r \end{bmatrix} \quad (1.16)$$

Integracijom navedenih jednačina mogu se izvesti Eulerovi uglovi koristeći poznatu visinu u datom vremenu. Kada je ugao θ oko 90° , greška postaje neograničena pošto $\tan\theta \sim \infty$. Za rešavanje tog problema koriste se Eulerovi parametri [65]:

$$\dot{e}_0 = -\frac{1}{2} (e_1 p + e_2 q + e_3 r) \quad (1.17)$$

$$\dot{e}_1 = -\frac{1}{2} (e_0 p + e_2 r + e_3 q) \quad (1.18)$$

$$\dot{e}_2 = -\frac{1}{2} (e_0 q + e_3 p + e_1 r) \quad (1.19)$$

$$\dot{e}_3 = -\frac{1}{2} (e_0 r + e_1 q + e_2 p) \quad (1.20)$$

pri čemu parametri zadovoljavaju sledeću jednačinu u svakom trenutku vremena:

$$e_0^2 + e_1^2 + e_2^2 + e_3^2 = 1 \quad (1.21)$$

Početne vrednosti Eulerovih uglova su date i koriste se za izračunavanje početnih vrednosti Eulerovih parametara koristeći sledeće jednačine:

$$e_0 = \cos \frac{\psi}{2} \cos \frac{\theta}{2} \cos \frac{\phi}{2} + \sin \frac{\psi}{2} \sin \frac{\theta}{2} \sin \frac{\phi}{2} \quad (1.22)$$

$$e_1 = \cos \frac{\psi}{2} \cos \frac{\theta}{2} \sin \frac{\phi}{2} - \sin \frac{\psi}{2} \sin \frac{\theta}{2} \cos \frac{\phi}{2} \quad (1.23)$$

$$e_2 = \cos \frac{\psi}{2} \sin \frac{\theta}{2} \cos \frac{\phi}{2} + \sin \frac{\psi}{2} \cos \frac{\theta}{2} \sin \frac{\phi}{2} \quad (1.24)$$

$$e_3 = -\cos \frac{\psi}{2} \sin \frac{\theta}{2} \sin \frac{\phi}{2} + \sin \frac{\psi}{2} \cos \frac{\theta}{2} \cos \frac{\phi}{2} \quad (1.25)$$

Kada su izračunati Eulerovi parametri, mogu se izračunati Eulerovi uglovi koristeći sledeće jednačine:

$$\theta = \sin^{-1} [-2(e_1 e_3 - e_0 e_2)] \quad (1.26)$$

$$\phi = \cos^{-1} \left[\frac{e_0^2 - e_1^2 - e_2^2 + e_3^2}{\sqrt{1 - 4(e_1 e_3 - e_0 e_2)^2}} \right] \operatorname{sign}[2(e_2 e_3 + e_0 e_1)] \quad (1.27)$$

$$\psi = \cos^{-1} \left[\frac{e_0^2 + e_1^2 - e_2^2 - e_3^2}{\sqrt{1 - 4(e_1 e_3 - e_0 e_2)^2}} \right] \operatorname{sign}[2(e_1 e_2 + e_0 e_3)] \quad (1.28)$$

Za izračunavanje pozicije koristimo ubrzanja dobijena pomoću akcelerometra a_x, a_y i a_z .

$$\dot{U} = a_x + V_r - W_q + g \sin \theta \quad (1.29)$$

$$\dot{V} = a_y - U_r + W_p - g \cos \theta \sin \phi \quad (1.30)$$

$$\dot{W} = a_z + U_q - V_p - g \cos \theta \cos \phi \quad (1.31)$$

Rotacija planete Zemlje određena je uglom Ω i iznosi 15° po jednom satu oko ose jug – sever.

$$\Omega = \begin{bmatrix} \Omega \cos \lambda \\ 0 \\ -\Omega \sin \lambda \end{bmatrix} \quad (1.32)$$

Kretanje vozila na konstantnoj visini iznad zemlje imaće dodatnu rotaciju koja se može izraziti kao:

$$\omega' = \begin{bmatrix} \dot{\mu} \cos \lambda \\ -\dot{\lambda} \\ -\dot{\mu} \sin \lambda \end{bmatrix} \quad (1.33)$$

Možemo pisati da je:

$$\begin{bmatrix} p \\ q \\ r \end{bmatrix} = \begin{bmatrix} p \\ q \\ r \end{bmatrix}_m - DCM [\Omega + \omega'] \quad (1.34)$$

gde je DCM transformaciona matrica koja je data sledećim jednačinama:

$$DCM = \begin{bmatrix} \cos \theta \cos \psi & \cos \theta \sin \psi & -\sin \theta \\ \sin \theta \sin \phi \cos \psi - \sin \psi \cos \phi & \sin \psi \sin \theta \sin \phi + \cos \psi \cos \phi & \sin \phi \cos \theta \\ \sin \theta \cos \phi \cos \psi + \sin \psi \sin \phi & \sin \phi \sin \theta \cos \phi - \cos \psi \sin \theta & \cos \phi \cos \theta \end{bmatrix} \quad (1.35)$$

Veličine \dot{U} , \dot{V} i \dot{W} uvedene su radi određivanja komponenti brzina (U , V i W). Brzine duž severa V_N , istoka V_E i V_D brzine nadole:

$$\begin{bmatrix} \dot{X} \\ \dot{Y} \\ \dot{Z} \end{bmatrix} = \begin{bmatrix} V_N \\ V_E \\ V_D \end{bmatrix} = DCM^T \begin{bmatrix} U \\ V \\ W \end{bmatrix} \quad (1.36)$$

V_N , V_E i V_D su integrisane u cilju određivanja dužina pomeranja duž navigacionih osa (X, Y, Z) na površini zemlje. Ukoliko uvedemo oznake λ , μ i H za latitudu, longitudu i visinu letelice, onda je stepen promene latitude, longitude i visine dat kao:

$$\dot{\lambda} = \frac{V_N}{R_e} \quad (1.37)$$

$$\dot{\mu} = \frac{V_E}{R_e \cos \lambda} \quad (1.38)$$

$$\dot{H} = -V_D \quad (1.39)$$

gde je R_e prečnik zemlje.

GNSS globalni pozicioni sistem je danas dobro poznata tehnologija pozicioniranja koja je našla svoju primenu u skoro svim sferama života današnjice. Ova tehnologija postala je sastavni deo mnogih uređaja, od mobilnih telefona do automobila. LiDAR sistemi koriste GNSS tehnologiju radi preciznog određivanja pozicije senzora u trodimenzionalnom prostoru dok je montiran na platformu koja je u pokretu. GNSS beleži tačnu X, Y, Z lokaciju skenera. Da bi se poboljšala preciznost, većina LiDAR sistema koristi fiksnu referentnu tačku na zemlji. Podaci iz zemaljske stanice kojoj je poznata lokacija, koriste se za korekciju i poboljšanje tačnosti. Obradjeni GNSS podaci daju tačnu poziciju senzora svake sekunde tokom leta sa minimalnom greškom od (3 cm – 4 cm).

1.6.1.4.2 Funkcionisanje LiDAR sistema

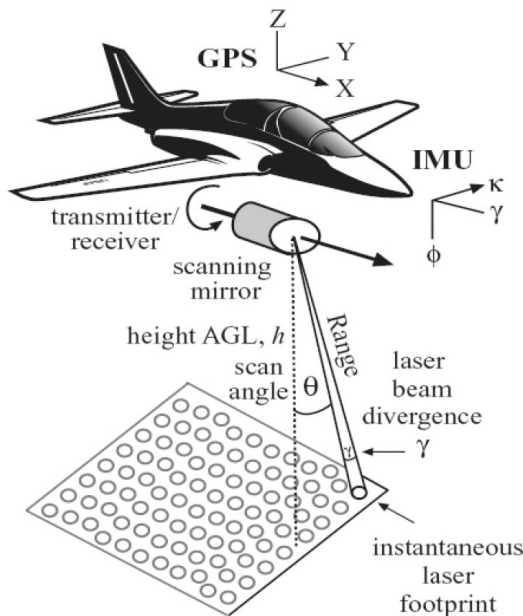
Funkcionisanje LiDAR sistema je veoma jednostavno. Skener emituje impulse sa visokom frekvencijom i reflektuje se od površi nazad do instrumenta. Ogledalo unutar laserskog transmitemera pomera se rotirajući se upravno na pravac letenja čime se omogućuje merenje u širem pojasu. Vreme proteklo od emisije do povratka svakog impulsa i ugao otklona od vertikalne ose instrumenta koriste se za određivanje relativne pozicije svake merene tačke.

Laserski impulsi putuju brzinom svetlosti ($c \approx 3 \times 10^8 \text{ m/s}$). Tehnologija je bazirana na preciznom merenju vremena koje je potrebno da laserski impuls pređe put od predajnika do mete i natrag do prijemnika. To vreme računa se kao:

$$T = 2 \frac{R}{C} \quad (1.40)$$

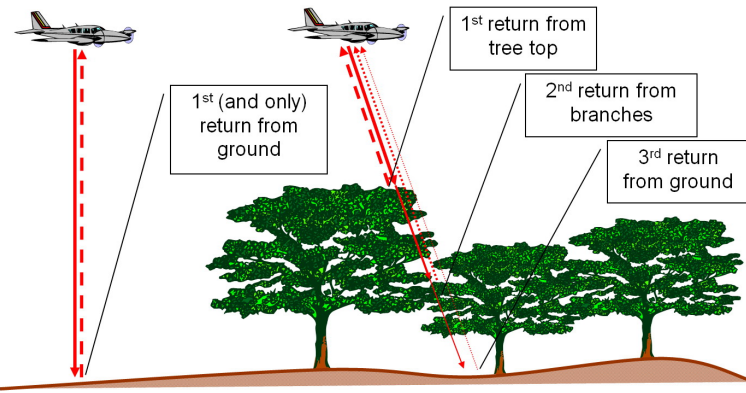
gde R predstavlja rastojanje od objekta do senzora uređaja i računa se kao:

$$R = \frac{1}{2} tc \quad (1.41)$$

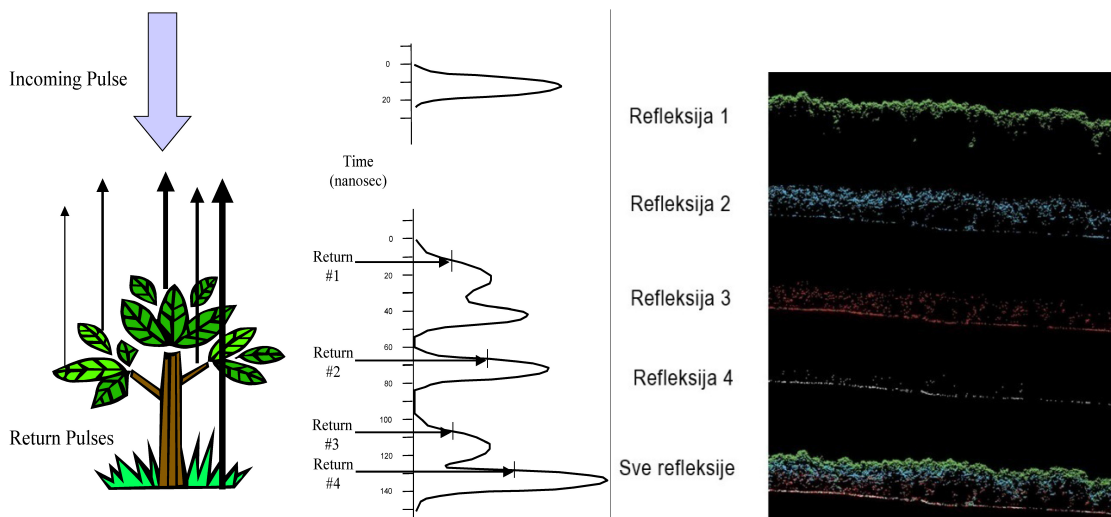


SLIKA 1.18: LiDAR prikupljanje podataka

Apsolutna pozicija senzora određuje se GNSS-om kada god je to moguće, a pozicije između određuju se predikcijom uz pomoć inercijalnog sistema koji takođe obezbeđuje i orijentaciju. LiDAR metodologija prevazilazi probleme aerotriangulacije i ortorektifikacije jer je svako merenje zasebno georeferencirano. Konačan proizvod primenom te metodologije snimanja su koordinate detaljnih tačaka, a faktori od kojih zavisi proces obrade su: koordinate lasera u trenutku emitovanja impulsa, visina lasera u trenutku emitovanja impulsa i rotacije oko sve tri ose, ugao skeniranja u trenutku emitovanja impulsa i vreme proteklo u putovanju laserskih impulsa od instrumenta do mete i nazad.

SLIKA 1.19: Višestruka refleksija *Multibeam* LiDAR sistema

Emitovani laserski zrak može imati višestruku refleksiju signala (*multibeam* LiDAR), što uzrokuje da određena tačka ima iste koordinate, ali različitu visinu (Slika 1.19). Prva refleksija može poticati od vegetacije ili ivice objekta, vode ili sličnog, dok poslednja najverovatnije potiče od površi Zemlje ili veštačkog objekta. Moderni LiDAR sistemi mogu imati više refleksija ili povratnih signala, što ne znači da ćemo na otvorenom terenu imati više povratnih signala. U područjima pod šumama, prva refleksija će poticati od viših krošnji, druga od nižih krošnji, a poslednja od terena.

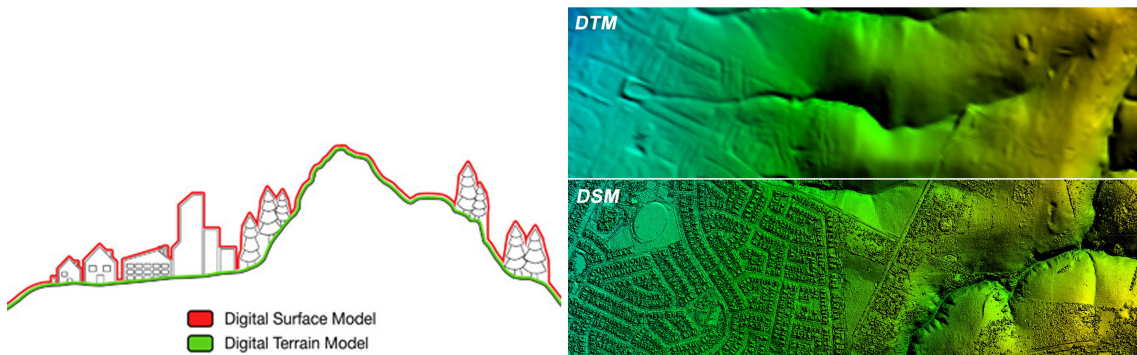
SLIKA 1.20: Struktura signalata *multibeam* LiDAR sistema

Na slici 1.20 vidi se struktura povratnih signala kod višestruke refleksije. U većini slučajeva tretiraju se tačke dobijene poslednjim odbitkom, tj. tačke koje se odnose na teren. Ostale tačke generisane LiDAR sistemom takođe pružaju dosta korisne informacije pa tako na osnovu višestruke refleksije signala možemo odrediti visinu vegetacije. Osim visine vegetacije može se odrediti vrsta drveća na osnovu snimljenih tačaka koje formiraju krošnje, upotrebom posebnih softverskih rešenja.

Skoro svi moderni LiDAR sistemi pored GNSS-a, IMU jedinice i laserskog skenera imaju integrisane i RGB/NIR kamere visoke rezolucije koje omogućavaju

izradu kvalitetnih ortofoto planova. Kombinovanje laserski skeniranih podataka sa videom i fotografijama omogućava izradu veoma preciznih 3D modela.

Prednost višepulsnih uređaja pored navedenog, može se prikazati i kroz jednostavnije procedure generisanja DSM-a i DTM-a. Digitalni model terena DTM je 3D digitalna predstava terena i ne uključuje veštački izgrađene objekte niti drveće već samo topografsku predstavu terena. Digitalni model površi DSM reprezentuje 3D digitalnu predstavu zemljine površi i uključuje topografsku predstavu terena i sve prirodne i veštačke objekte na površi zemlje (Slika 1.21).



SLIKA 1.21: DSM i DTM

Mala veličina i težina uređaja daju mogućnost za postavljanje na manja vozila, letelice ili plovila što omogućava pristup područjima ograničenog ili otežanog pristupa (duž strmih uskih staza, parkovima, malim rekama (pritokama), uskim vodenim prolazima, itd.). Danas je prikupljanje podataka moguće prilagoditi specifičnim zahtevima korisnika i razvijati posebne vrste senzora za specifične potrebe.

Razvoj savremenih tehnologija za prikupljanje podataka, modernih sistema i uređaja, uslovio je i razvoj računarskih i softverskih rešenja kao potrebu za obradom i interpretacijom. Unapređenjem ovih sistema povećavala se i gustina prikupljenih podataka. Početkom 2000-te godine, softverska rešenja nisu bila u mogućnosti da efikasno procesiraju ovako veliku količinu podataka. Ova godina je obeležena kao godina u kojoj je počeo rapidan razvoj softverskih rešenja za procesiranje, informacionih tehnologija koje su neophodne za manipulisanje sa terabajtim podataka i razvoj znatno bržih procesora i ostalih računarskih komponenti. Došlo je do ubrzanog razvoja CAD i GIS rešenja za interpretaciju i manipulisanje milionima podataka. Razvijeni su specijalizovani softveri za obradu i kontrolu kvaliteta LiDAR podataka. Zbog sve veće primene savremenih sistema premera, postojeća softverska rešenja, koja se ranije nisu bavila ovom problematikom, postaju kompatibilna sa novim tehnologijama. Razvijaju se dodatni alati za učitavanje podataka, vizuelizaciju i druge operacije nad oblakom tačaka. Na tržištu je danas dostupan veliki broj softvera za obradu podataka, pa tako i svaki prizvođač sistema za prikupljanje podataka ima i prateće softversko rešenje za obradu. Sa porastom potražnje za LiDAR podacima rasla je potražnja i za uputstvima za rad, tehničkim specifikacijama i standardima preciznosti. Razvijen je LAS format za razmenu podataka koji je široko prihvaćen od strane mnogih proizvođača senzora. Uskoro je postao standardan format softverskih rešenja za obradu i interpretaciju podataka.

1.6.1.4.3 MTLS (Mobilno terestričko lasersko skeniranje)

S obzirom na sve prednosti LiDAR sistema, ova savremena tehnologija za prikupljanje podataka je brzo postala veoma atraktivno rešenje za mapiranje terena. Sa razvojem savremenih metodologija za prikupljanje podataka, razvojem novih i savremenijih mernih uređaja dolazi i do ubrzanog razvoja platformi kao nosača za ove uređaje (Slika 1.22). Imaju mogućnost prikupljanja podataka sa zemlje i iz vazduha, pa se tako mogu podeliti na uređaje koji su montirani na letelice (avione i helikoptere) i uređaje koji su montirani na vozila.

LiDAR (Light Detection and Ranging)

- platforme za avione
- platforme za helikoptere
- platforme za vozila (Street Mapper)



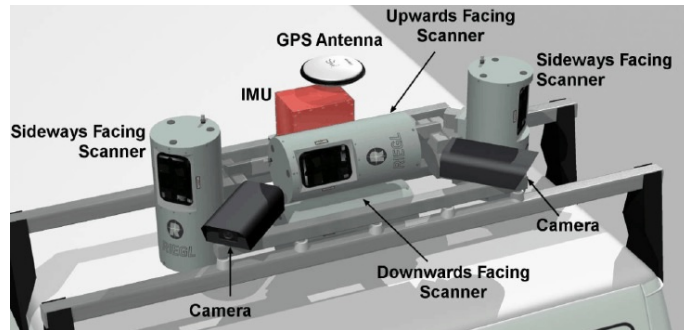
SLIKA 1.22: LiDAR sistemi

MTLS predstavlja relativno novu metodu prikupljanja podataka. Sistem koji je sastavljen iz više komponenti, kao platformu može koristiti automobili ili šinska vozila. Posebno za mapiranje sa vode mogu se koristiti manja ili veća plovila. Svoju primenu nalazi u mapiranju puteva, obalnih linija, urbanih zona itd. Sistem za snimanje iz vazduha ima svoje nedostatke (na primer nije moguće snimiti fasade objekata). Te nedostatke je moguće prevazići upotrebom sistema za MTLS, čime se povećava tačnost i dobijamo veću gustinu tačaka u odnosu na sistem za snimanje iz vazduha.

Razvoj ove metode snimanja počinje oko 2000. godine. Prvi pokušaji razvoja ove metodologije snimanja desili su se 2003–2004. godine. To su uglavnom bile test platforme. Prvi sistem razvijen je u *Institut Cartografic de Catalunya* u Španiji i nosio je naziv „Geomobil“. Početna platforma nije imala laserski skener, nego samo kamere za stereoskopska opažanja, ali 2003. godine sistem je unapređen sa Riegl LMS Z-210 laserskim skenerom.

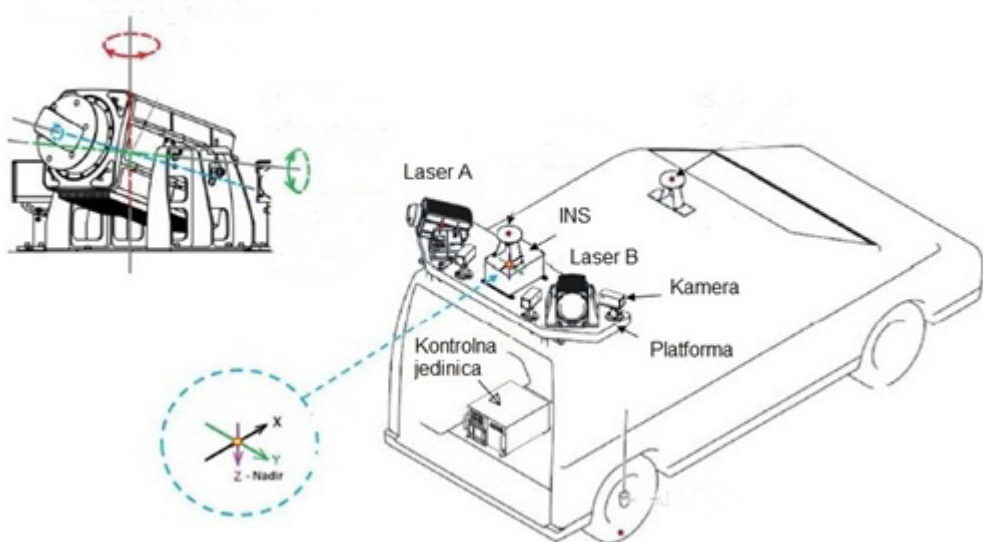
Prvi mobilni terestrički laserski skeneri u fazi razvoja, imali su velike dimenzije (Slika 1.23). Razvojem novih tehnologija današnji sistemi imaju relativno male dimenzije u odnosu na prvobitno razvijene sisteme. Svi elementi nalaze se u jednom kućištu, čime je znatno povećana praktičnost njihovog korišćenja.

MTLS čini nekoliko komponenti ili podsistema. To su laserski skener, GNSS prijemnik, INS, digitalne kamere i odgovarajući softver koji služi za integraciju i vremensku sinhronizaciju svih sistema u jednu celinu. Sistem koristi laserski skener



SLIKA 1.23: StreetMapper

sa pulsnim načinom merenja. Različiti sistemi imaju različite konstrukcije – kod nekih postoji rotirajuće ogledalo, tako da se snimaju vertikalni profili dok se laserski skener vrti oko vertikalne ose, a kod nekih se laserski skener vrti oko horizontalne ose.



SLIKA 1.24: Komponente MTLS

U okviru ovog istraživanja analizirani su podaci generisani mobilnim laserskim sistemom „MDL DynaScan S250“ (Slika 1.25). Za mobilnu platformu korišćeno je terensko vozilo. Sistem je specijalno dizajniran za brzo 3D mapiranje auto-puteva, puteva, avionskih pisti, železničkih pruga, infrastrukturnih objekata itd. Mogućnosti za snimanje podataka normalnom brzinom vožnje obezbeđuje snimanje urbanih sredina za relativno kratko vreme. Omogućava snimanje svakog detalja duž koridora snimanja, uključujući bankine, saobraćajne znake, nadzemne vodove, fasade objekata i sve što ulazi u vidno polje skenera. Kombinovanje laserski skeniranih podataka sa videom i fotografijama omogućava izradu veoma preciznog 3D modela terena [63].

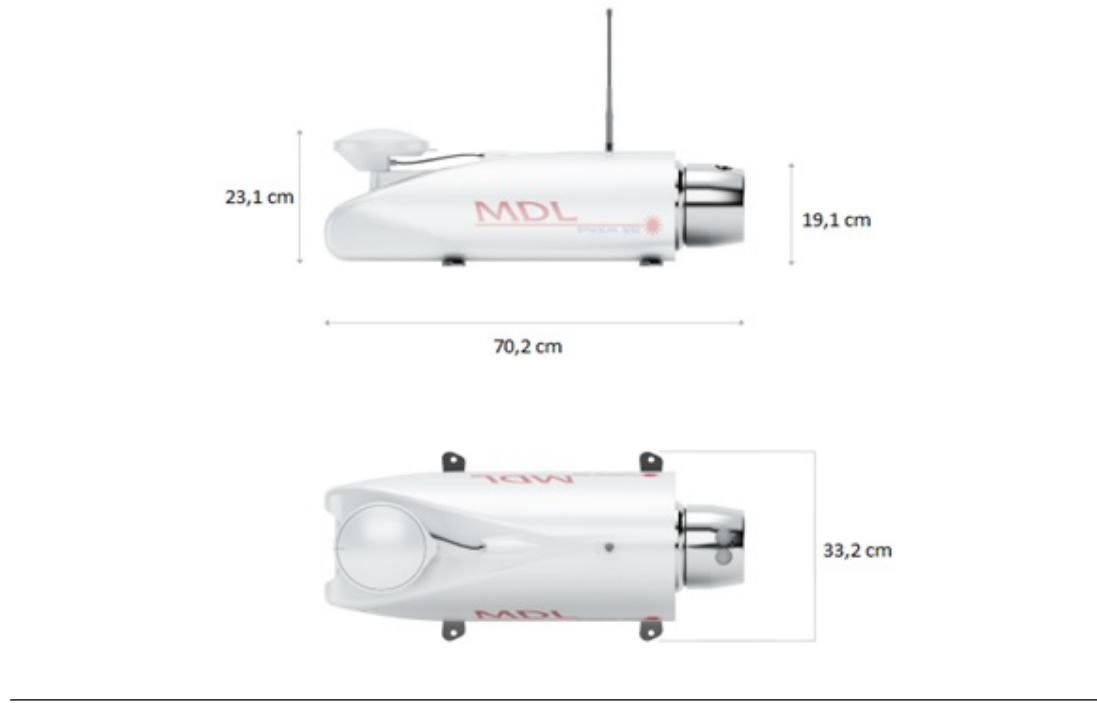
Kod ovog sistema laserska komponenta sistema rotira se oko horizontalne ose i na taj način registruje podatke u vertikalnim profilima.



SLIKA 1.25: „MDL DynaScan S250“ sistem montiran na vozilo

„MDL DynaScan S250“ je sistem sa jednoosnim laserskim skenerom malih dimenzija. Sledi kratka tehnička specifikacija sistema:

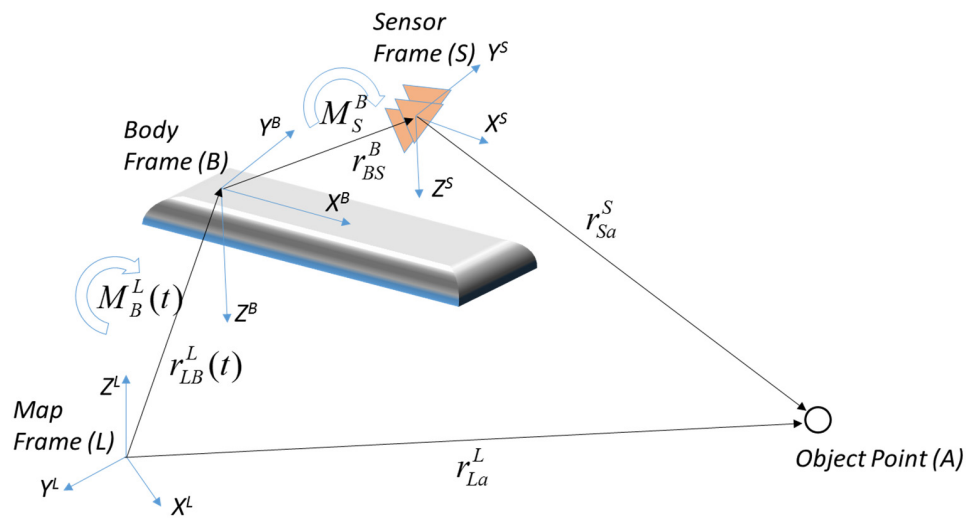
- Jednoosni skener
- Domet: do 250 m
- Tačnost laserskog uređaja: ± 1 cm na 50 m
- FOV skenera: 360°
- Uglovna rezolucija skenera: $0,01^\circ$
- Frekvencija skeniranja: do 20 Hz
- Frekvencija merenja: do 36.000 tačaka u sekundi
- Tačnost INS: yaw: $0,1^\circ$; roll: $0,03^\circ$; pitch: $0,03^\circ$
- Težina uređaja: 14,8 kg
- Antene: GNSS antena (A) i 1 radio-antena (B) (za GNSS RTK korekcije)



SLIKA 1.26: Dimenzije MDL-a

1.6.1.4.4 Matematički model određivanja 3D koordinata karakterističnih tačaka terena i objekata

Na slici 1.27 dat je šematski prikaz modela i veze komponenti jednog sistema za mobilno mapiranje. Matematički model određivanja 3D koordinata tačaka određen je parametrima pomoću kojih se može izvršiti transformacija opažanja u koordinatni sistem senzora ili u neki apsolutni koordinatni sistem.



SLIKA 1.27: Konceptualni model MTLS

Geometrijska veza između tačke objekta (A), okvira uređaja (S), okvira sistema (B) i okvira mape (L) može se definisati matematički pomoću translacije i rotacije. Koordinatni sistem uređaja transformiše se u koordinatni sistem mape pomoću informacija o poziciji i orientaciji prikupljenih pomoću GNSS i INS jedinice. Matematički model definisan je sledećom jednačinom:

$$r_L^{La} = r_L^{Lb}(t) + M_L^B(t)(M_B^S r_S^{Sa} + r_B^{BS}) \quad (1.42)$$

U jednačini r_L^{La} predstavlja koordinate tačke A u referentnom okviru mape, t predstavlja trenutak u kojem je izvršeno opažanje, $r_L^{Lb}(t)$ predstavlja poziciju okvira uređaja u odnosu na okvir mape, $M_L^B(t)$ predstavlja matricu rotacije iz okvira uređaja u okvir mape, M_B^S predstavlja matricu rotacije iz okvira senzora u okvir uređaja, r_S^{Sa} predstavlja poziciju tačke A u okviru senzora i r_B^{BS} predstavlja poziciju senzora u okviru uređaja.

Ukoliko posmatramo tačku objekta A, koja je projektovana na sliku u okviru koordinatnog sistema kamere C, onda geometrijska veza mora uključiti i parametar skaliranja λ_a . Nakon toga, matematički model je prikazan sledećom jednačinom:

$$r_{La}^L = r_{LB}^L(t) + M_B^L(t)(\lambda_a M_C^B r_{Ca}^C + r_{BC}^B) \quad (1.43)$$

gde je M_C^B matrica rotacije iz okvira kamere u okvir uređaja, r_{Ca}^C pozicija tačke A u okviru kamere, r_{BC}^B pozicija kamere u okviru uređaja [36].

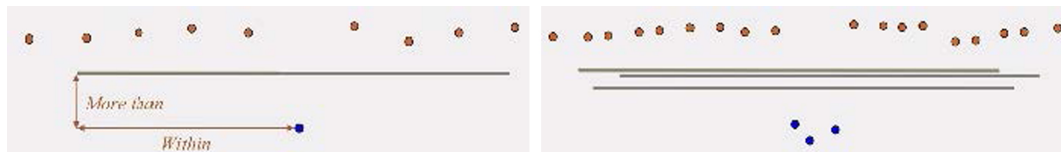
1.6.2 Procedure obrade podataka prikupljenih savremenim tehnologijama premera

Jedna od prvih radnji na sirovom oblaku tačaka jeste klasifikacija. Ona predstavlja svrstavanje tačaka u različite klase (tačke terena, tačke objekata, tačke vegetacije itd.), a metode klasifikacije mogu biti automatske, poluautomatske i manuelne. Na tržištu postoje razni softveri koji se bave ovom vrstom problematike. U okviru ove doktorske disertacije podaci su obradivani u softverskom paketu „TerraScan”, koji je implementiran na platformi „Microstation”. Takođe, korišćeni su algoritmi i analize u softverskom paketu „LasTools”. U daljem tekstu biće opisane neke od ključnih rutina klasifikacije. U realnim uslovima na konkretnim projektima parametri algoritama klasifikacije prilagođavaju se uslovima projekta i direktno zavise od gustine snimljenih tačaka i konfiguracije terena koji je bio predmet snimanja.

Postoji više klasifikacionih rutina, tj. skupova matematičkih uslova i računica, koji uzimaju u obzir attribute tačaka. Na primer, na osnovu X, Y i Z koordinata snimljenih tačaka, računaju se međusobna udaljenost, visinska razlika i ugao pod kojim se nalaze u odnosu na druge tačke. Ostali atributi su RGB vrednosti tačaka, intenzitet odbitka, broj ehoa i drugi. U nastavku su data objašnjenja osnovnih rutina na osnovu kojih se, kao i njihovom kombinacijom, mogu dobiti parametri za klasifikaciju bilo kog oblaka tačaka.

Prva i najosnovnija rutina jeste klasifikovanje po klasi *by class*. Ovaj algoritam svrstava sve tačke zadate klase u drugu zadatu klasu. Najčešće se koristi kada se uoči greška učinjena prilikom klasifikacije tačaka, pa se sve tačke te klase preklasifikuju u klasu *default*, ili neku drugu klasu, radi ponovne klasifikacije pod drugim uslovima (prema drugim parametrima ili u drugoj zadatoj oblasti).

Rutina niskih tačaka (*Low points*) pronalazi tačke šuma. Taj algoritam se najčešće koristi za pronalaženje pogrešnih tačaka koje su pod zemljom. Ove tačke se izdvajaju u klasu niskih tačaka i ne ulaze u dalje procedure već se tretiraju kao pogrešno određene tačke. Na slici 1.28 je prikazan osnovni princip rutine *Low points*, gde plave tačke predstavljaju tačke ispod površine.

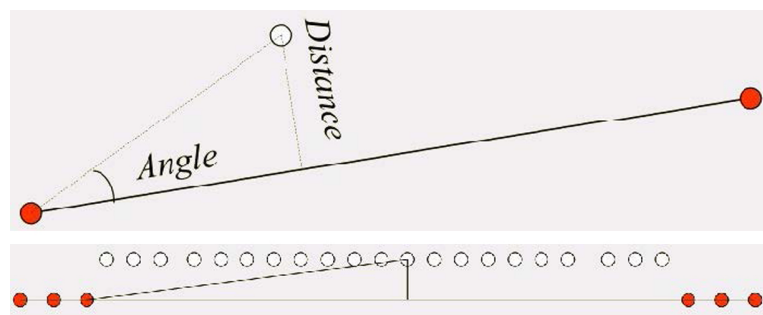


SLIKA 1.28: Rutina niskih tačaka. Klasifikacija jedne tačke (levo). Klasifikacija grupe tačaka (desno).

Rutina izolovanih tačaka (*Isolated points*) traži izolovane tačke (one koje nemaju određen zadati broj susednih tačaka u okviru trodimenzionalnog okruženja određenog zadatog poluprečnika) i klasificiše ih kao niske tačke, s obzirom da najverovatnije predstavljaju grešku. Ova funkcija je korisna za pronalaženje izolovanih tačaka kako u vazduhu, tako i pod zemljom, ili van zadate zone od interesa u horizontalnoj ravni. Koristi se za uklanjanje verovatno nepouzdanih tačaka.

Rutina koja klasificiše tačke u vazduhu (*Air points*) koristi se za klasifikovanje tačaka koje su značajno udaljene po vertikali (Z) od tačaka u dvodimenzionalnom susedstvu (X, Y). To su najčešće ptice, čestice u vazduhu i drugi izvori šuma, koji opterećuju oblak tačaka greškom.

Rutina tačaka terena (*Ground points*) može se istaći kao najvažnija u postupku klasifikacije oblaka tačaka. Ona klasificiše tačke u klasu terena (*ground*). Funkcionisanje algoritma može se opisati u nekoliko koraka. Procedura kreće od zadatog parametra „najveća veličina građevine u oblaku tačaka“ (*Max building size*) i prepostavlja da se u horizontalnoj ravni, nalazi barem jedna tačka terena. Algoritam gradi početni model terena od najnižih tačaka, a svakom sledećem iteracijom dodaje nove tačke tom modelu, tj. klasi tačaka terena (*ground*). Nove tačke se dodaju na osnovu dva parametra: ugao iteracije (*Iteration angle*) i razdaljina iteracije (*Iteration distance*) 1.29.

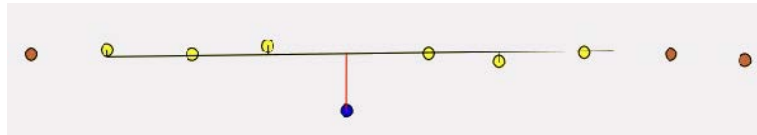


SLIKA 1.29: Rutina *ground*-klasifikacija tačaka terena

Rutina za tvrde površi (*Hard surface*) koristi se prilikom klasifikacije tačaka terena u urbanim sredinama, pod pretpostavkom da je teren pretežno čvrsta površina

(asfaltni putevi i sl.). U šumskim i drugim oblastima u kojima je teren pretežno prirodan materijal (zemlja), koristi se rutina *ground*. Za razliku od ove rutine, *hard surface* rutina nije osetljiva na određene greške šuma u oblaku tačaka, i stoga nije neophodno pozivati funkcije za otklanjanje šuma pre klasifikacije. Ta funkcija teži da klasificuje tačke koje oblikuju lokalnu ravan. Glavni parametar klasifikacije je (*Rlane tolerance*), koji određuje koliko tačka može da odstupa od ravni tla.

Rutina ispod površi (*Below surface*) klasificuje tačke ispod horizontalno susednih tačaka klasifikovanih kao tačke terena u klasu *Low points*. Algoritam, obzirom da se te tačke nalaze ispod zemlje, zaključuje da te tačke verovatno predstavljaju grešku. Na slici 1.30 je prikazan osnovni princip ove rutine a plava tačka predstavlja tačku koja se nalazi ispod površine.



SLIKA 1.30: Rutina *below surface*- klasifikacija tačaka terena

Rutina na osnovu visine od zemlje (*By height from ground*) klasificuje tačke na osnovu vertikalne udaljenosti od terena, odnosno od tačaka svrstanih u (*Ground*) klasu.

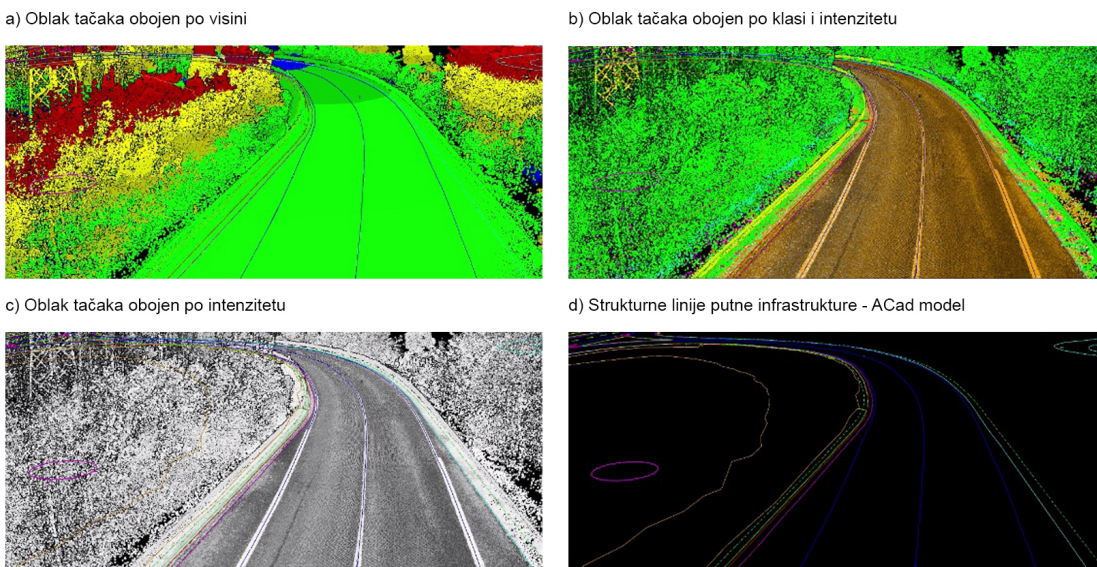
Rutina objekti (*Buildings*) prepoznaće krovove na osnovu krovne ravni u okviru zadatih parametara, koji definišu grubost krovne ravni i odstupanja u ravni. Tačke koje predstavljaju krov svrstavaju se u klasu *Buildings*. Za izvršenje ove funkcije neophodno je prethodno obaviti klasifikaciju tačaka terena.

Inicijalna obrada podataka započinje postupkom klasifikacije, primenom nekih od napred navedenih rutina. Najčešće se više rutina grupiše u jednu komandu, kojom se izvršava grupna radnja na celom oblaku tačaka. Nakon završenog postupka automatske klasifikacije, vrši se vizuelna inspekcija i manuelno ispravljanje mogućih grešaka, posle čega je oblak tačaka spremан за dalju obradu. Na slici 1.31 dat je prikaz klasifikovanog oblaka tačaka obojenog prema visini, oblaka tačaka obojenog prema klasi i intenzitetu, oblaka tačaka obojenog prema intenzitetu i ACad model u kojem su prikazane ekstrahovane strukturne linije putne infrastrukture, čime se može steći utisak o značaju klasifikacije i prikaza oblaka tačaka. Svaka od napomenutih radnji ima svoj značaj u postupku obrade i analizi prikupljenih podataka.

Savremene tehnologije premera u postupku prikupljanja podataka nalaze svoju primenu u različitim granama Inženjerske geodezije i uopšte u oblastima gde su podaci o prostoru od velikog značaja. Jedan od finalnih proizvoda i razloga primene ovih tehnologija je i izrada topografskih podloga za potrebe projektovanja. Postupak njihove izrade od trenutka snimanja do finalnog proizvoda sastoji se iz nekoliko faza. U nastavku je predstavljen postupak obrade prikupljenih podataka putne infrastrukture, kao jedan od najkompleksnijih zadataka u obradi podataka prikupljenih savremenim tehnologijama premera.

Prvi korak nakon izvršene klasifikacije je ekstrakcija strukturnih linija putne infrastrukture. Pod strukturnim linijama podrazumevaju se linije ivica i sredina kolovoza, donje i gornje ivice ivičnjaka, ivice koje definišu prateće kanale itd. Za tu

operaciju primenjuju se automatski procesi. Stepen automatizacije zavisi od vrste softvera koji se koristi. Trenutno su na tržištu dostupni mnogi softveri koji u velikoj meri nude uglavnom ista rešenja za tu vrstu problematike. Po završenoj automatskoj ekstrakciji, vrši se manuelna inspekcija ekstrahovanih elemenata i ispravljanje grešaka automatskog postupka. Kreirane strukturne linije putne infrastrukture definisane su poziciono, dok njihovo definisanje u visinskom smislu zavisi isključivo od kvaliteta kreiranog DTM-a.

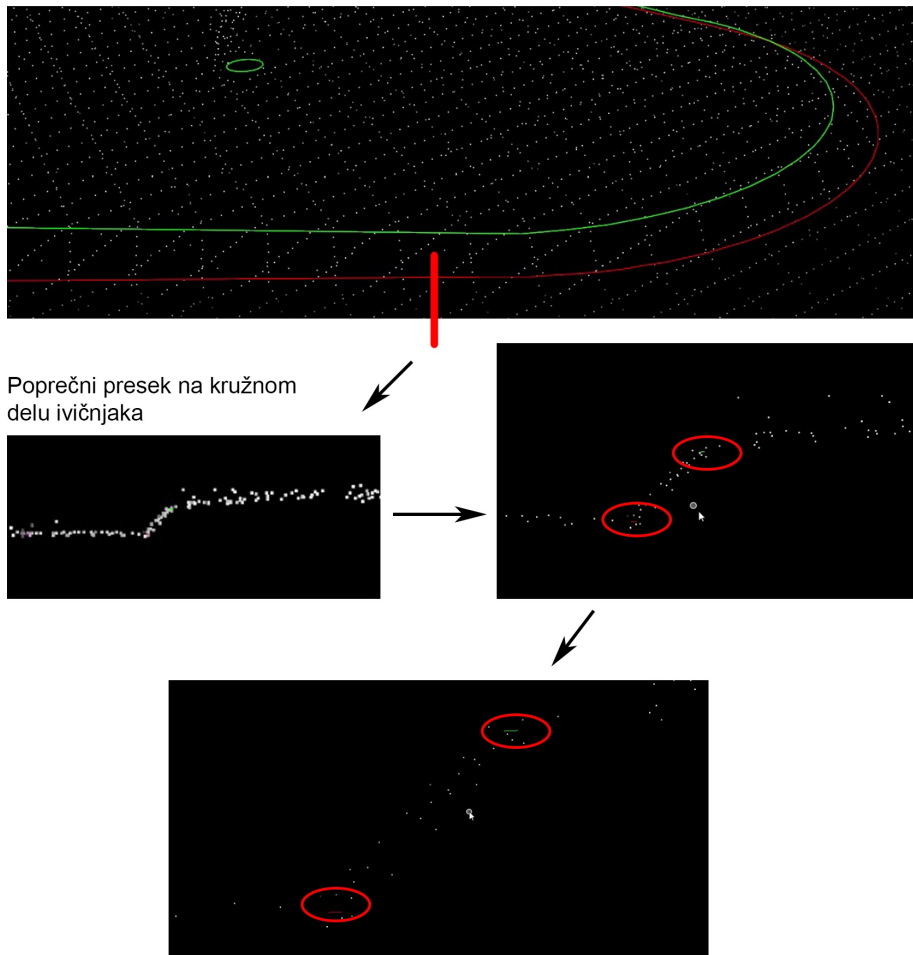


SLIKA 1.31: Različiti prikazi oblaka tačaka sa ekstrahovanim strukturalnim linijama putne infrastrukture

O DTM-u i njegovom značaju za samu obradu podataka oblaka tačaka bilo je reči u prethodnim poglavljima. Visinsko definisanje ekstrahovanih strukturalnih linija vrši se spuštanjem kreiranih verteksa (tačke preloma digitalizovane linije) na digitalni model terena, gde imamo mogućnost spuštanja originalnih verteksa ili mogućnost kreiranja dodatnih verteksa sa definisanim visinama. Dodatni verteksi kreiraju se na onim mestima gde definisana linija seče liniju koja pripada trouglu kreiranog modela. Na ovaj način dobijamo detaljnije definisane strukturne linije putne infrastrukture (Slika 1.31). Alternativa automatskom procesu generisanja strukturalnih linija putne infrastrukture jeste manuelna digitalizacija. Taj postupak podrazumeva manuelnu digitalizaciju (crtanje linija) u prostoru ili u profilu, pri čemu se svaki verteks linije manuelno digitalizuje tako da dobije visinu direktno sa izabrane tačke u klasifikovanom obliku tačaka. To daje dobre rezultate jedino u uslovima u kojima je oblik tačaka idealno klasifikovan, odnosno u uslovima u kojima nema šuma i gde se može nedvosmisleno digitalizovati željena tačka.

Ekstrakcija strukturalnih linija ivičnjaka je poseban postupak. Procedure koje se primenjuju u ovom slučaju zavise isključivo od gustine i kvaliteta prikupljenih podataka. Kvalitet oblika tačaka je očigledan, što se može videti i po jasnom ocrtavanju kontura ivičnjaka. Na slici 1.32, prikazan je poprečni presek oblika tačaka na delu na kojem je snimljen kružni ivičnjak. Procedura iscrtavanja strukturalnih linija

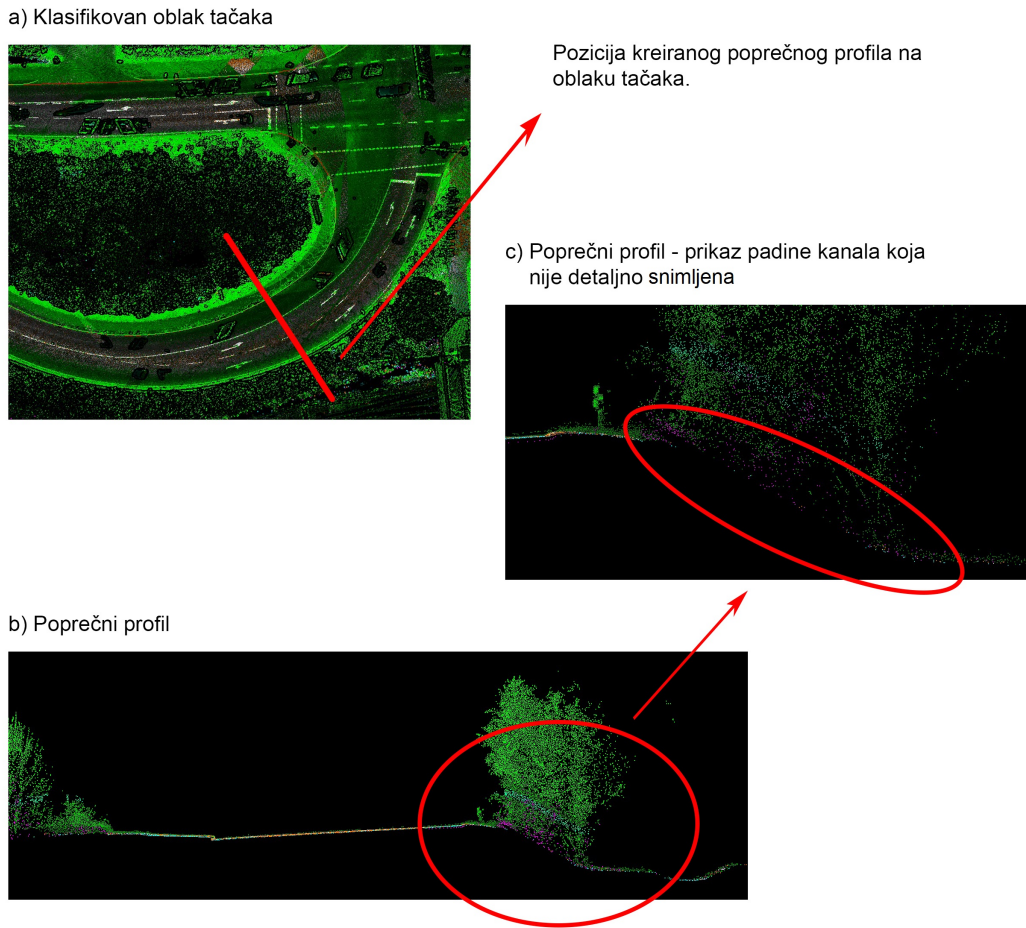
ivičnjaka sprovodi se kroz takozvani postupak digitalizacije u profilu. Na oblaku tačaka se iscrta linija koja prati pravac objekta digitalizacije i duž nje se kreiraju poprečni profili na određenom rastojanju, koje zavisi od toga da li je objekat na pravcu ili u krivini kao što je prikazano na slici 1.32.



SLIKA 1.32: Oblak tačaka. Gore desno: izdvojen profil ivičnjaka

Kada su u pitanju odvodni kanali koji se nalaze pored puta, ekstrakcija strukturnih linija može biti izvršena primenom slične procedure. Obrada podataka snimljenih kanala, posebno ukoliko imaju veliku visinsku razliku između nožice i dna kanala, često predstavlja problem, posebno ukoliko je snimanje izvršeno MTLS sistemom. Problemi nastaju zbog oštrog ugla snimanja, zbog čega sistem nije u mogućnosti da snimi sve delove objekta koji je predmet snimanja.

Na slici 1.33 pod a) prikazan je klasifikovan oblak tačaka jednog dela putne infrastrukture. Crvenom bojom je označena pozicija na kojoj je napravljen poprečni presek u kome se jasno vidi pozicija kanala sa desne strane (slika pod b). Na slici pod c) dat je prikaz padine kanala koja nije detaljno snimljena. Ukoliko pri obradi podataka ne postoji mogućnost verodostojne ekstrakcije struktturnih linija, zbog nedostatka podataka, često se izvršeno snimanje mora dopuniti nekom od klasičnih metoda premera kako bi se na kraju dobio kompletan podatak za obradu.



SLIKA 1.33: Klasifikovan oblak tačaka putne infrastrukture

1.6.3 Statističke metode analize podataka

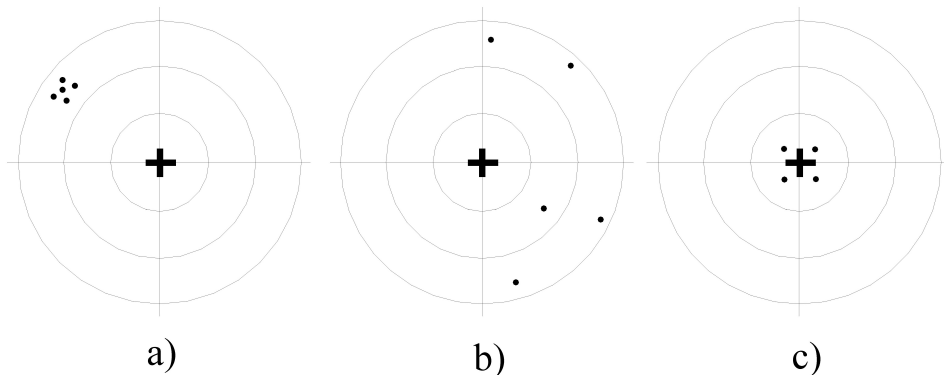
Statistički skupom se naziva skup svih elemenata na kojima se određena pojava statistički posmatra. Pojedinačni elementi iz kojih se sastoji statistički skup zovu se elementi statističkog skupa. Često je prostorno i vremenski neopravdano vršiti statističke analize na čitavom statističkom skupu podataka, pa se zbog toga vrlo često vrši odabir nekih elemenata skupa na kome će se sprovoditi dalje analize. Izdvojeni podskup statističkog skupa naziva se uzorak. Sprovedene analize rezultiraju određenim kvantitativnim zaključcima koji važe za čitav statistički skup [46].

Statistički metodi analize masovnih pojava mogu se svrstati u dve grupe [46]:

- Deskriptivna statistička analiza – obuhvata metode prikupljanja, sređivanja i prikazivanja podataka iz statističkog skupa ili uzorka. Takođe, ona obuhvata metode određivanja pojedinih parametara statističkog skupa ili uzorka relevantnih za opis ponašanja posmatranog obeležja u skupu.
- Analitička statistika – bavi se objašnjavanjem i procenjivanjem varijabiliteta, statističkim zaključivanjima na osnovu uzorka i predviđanjima ponašanja posmatranog skupa u budućnosti.

Merenje predstavlja skup postupaka koji imaju za cilj određivanje vrednosti neke veličine. Tačnost merenja je koncept kvaliteta merenja i predstavlja bliskost slaganja između rezultata merenja i tačne vrednosti merene veličine dok preciznost merenja pokazuje slaganje ponovljenih merenja sa srednjom vrednošću merenja (Slika 1.34).

Ako su rezultati merenja bliski u okviru male grupe, merenja su precizna, ali nisu tačna jer su vrednosti udaljene od tačne vrednosti. Ako se rezultati merenja međusobno ne slažu i ako se razlikuju od tačne vrednosti, merenja nisu tačna i nisu precizna. Ako su merenja međusobno saglasna i istovremeno bliska tačnoj vrednosti onda su ona tačna i precizna.



SLIKA 1.34: Tačnost i preciznost merenja

Pri obavljanju određenog zadatka može se unapred definisati tačnost rezultata merenih veličina. Tačnost koja se unapred definiše naziva se tačnost *a priori*. Zatim se preduzimaju odgovarajuće mere kako bi se obezbedila tačnost rezultata merenih veličina koja je *a priori* utvrđena. Ako se neka veličina izmeri n puta, za nju će se dobiti vrednosti koje će se međusobno razlikovati u granicama tačnosti merenja. Kod preciznih merenja razlike će biti manje i obratno. Ovde se pojavljuje problem da se na osnovu svih vrednosti odredi jedna koja će ih najbolje reprezentovati. Ta jedna vrednost koja zamenjuje niz od n vrednosti treba da bude najbliža stvarnoj vrednosti. Stvarna vrednost objektivno postoji, ali ona ima više teorijski značaj, jer se do nje može doći kada bi se veličine izmerile neograničeno mnogo puta ($n \rightarrow \infty$).

I pored najveće pažnje nije moguće obaviti merenje koje nije opterećeno čitavim nizom grešaka koje se pojavljuju u procesu rada na terenu. Neke od njih mogu se metodom rada otkloniti ili se može umanjiti njihov uticaj, a mnoge greške ostaju i na njih nije moguće delovati. Istinite vrednosti merenih veličina, strogo uzevši, nikada nisu poznate, pa pored toga egzistira pojам „istinita vrednost“. Istinite vrednosti služe za odrđivanje istinitih grešaka kada je potrebno proučiti zakonitost ponašanja grešaka ili kada se ocenjuje tačnost rezultata merenja. Kada se ne raspolaze sa istinitom vrednosti merenih veličina, u praksi se iste veličine mere više puta, pa se iz toga niza merenja određuje srednja (najverovatnija) vrednost koja je po verovatnoći najbliža stvarnoj vrednosti merene veličine. Najverovatnija vrednost najbolje reprezentuje niz merenja iz kojih je sračunata, a time i merenu veličinu. Najverovatnija vrednost predstavlja slučajnu veličinu (njena vrednost zavisi

od tačnosti svih merenih veličina koje su učestvovale u određivanju njene vrednosti), za razliku od istinite vrednosti koja je konstantna veličina.

Teorija grešaka je od izuzetne važnosti za rezultate merenja koja se obavljaju na fizičkoj površi zemlje koja je okružena atmosferom čiji se parametri (temperatura, pritisak i vlažnost vazduha) stalno menjaju u toku dana i godine. U primenama metoda merenja koriste se geodetski instrumenti čije konstrukcije nisu savršene. Postoji veliki broj komponenata koje utiču na proces merenja i koje podležu stalnim promenama, pa stoga nije moguće apsolutno tačno izmeriti neku veličinu. One se mogu izmeriti sa ograničenom tačnošću koja se može unapred usloviti.

U procesu merenja pojavljuju se mnoge greške koje nastaju usled nesavršenosti konstrukcije instrumenata i ličnih grešaka operatora, kao i spoljnih uslova u kojima se obavljaju merenja. Ovo su tri osnovna izvora iz kojih potiče mnoštvo grešaka različitog karaktera i zakonitosti delovanja.

Po svome karakteru delovanja i načinu ispoljavanja, naizbežne greške mogu biti slučajne i sistematske. Slučajne greške prate sva merenja i ne mogu se izbeći. Svaka vrednost koja se dobija merenjem mora biti opterećena slučajnom greškom, čiji se iznos i predznak ne mogu unapred predvideti. One poseduju karakter slučajnosti i zato se zovu slučajnim greškama. Pojedinačne slučajne greške ε_i posmatrane izolovano ne nagoveštavaju nikakvu zakonitost. Međutim, skup slučajnih grešaka sledi određene statističke zakone koji se mogu analitički opisati pomoću odgovarajućih rasporeda matematičke statistike. Slučajne greške nije moguće eliminisati iz rezultata merenja. Njihov uticaj na najverovatniju vrednost se smanjuje kada se ista veličina meri više puta. Što je veći broj merenja, manji je uticaj slučajnih grešaka.

Greške koje rezultat merenja stalno uvećavaju ili stalno umanjuju, zovu se sistematske greške. Znači, osobina sistematskih grešaka je da stalno povećavaju ili smanjuju rezultat merenja. Zahvaljujući toj osobini, sistematske greške se mogu ukloniti iz rezultata merenja u potpunosti ili delimično, kada se znaju uzrok njihove pojave i zakoni njihovog ponašanja.

U svim naučnim disciplinama u kojima se obavljaju neka merenja i vrše eksperimenti, prisutne su slučajne veličine koje se izražavaju odgovarajućim numeričkim vrednostima. Postoji više modela slučajnih veličina koji se primenjuju pri obradi i izučavanju slučajnih veličina. U geodeziji se permanentno obavljaju merenja ili primenjuju eksperimenti pa je od izuzetne važnosti izučavanje slučajnih veličina i njihovih raspodela.

Slučajna veličina X može imati bilo koju vrednost u određenom skupu vrednosti x_1, x_2, \dots, x_n sa odgovarajućim verovatnoćama p_1, p_2, \dots, p_n , pri čemu je verovatnoća celog skupa vrednosti slučajne veličine jednaka 1.

Ako slučajna veličina X ima konačan broj vrednosti, ona se naziva diskretna slučajna veličina, a ako ima beskonačan broj vrednosti, naziva se neprekidna slučajna veličina. U geodeziji se najčešće izučavaju neprekidne slučajne veličine.

Ako se rezultat eksperimenta izražava jednom numeričkom vrednosti, onda se ta klasa naziva jednodimenzionalna slučajna veličina, a ako se rezultat može izraziti sa više numeričkih vrednosti, te klase se nazivaju višedimenzionalne slučajne veličine.

Skup mogućih vrednosti slučajne veličine X_i odgovarajućih verovatnoća naziva se zakon raspodele verovatnoća slučajne veličine. Zakon raspodele verovatnoća diskretne slučajne veličine X u šematskom prikazu glasi:

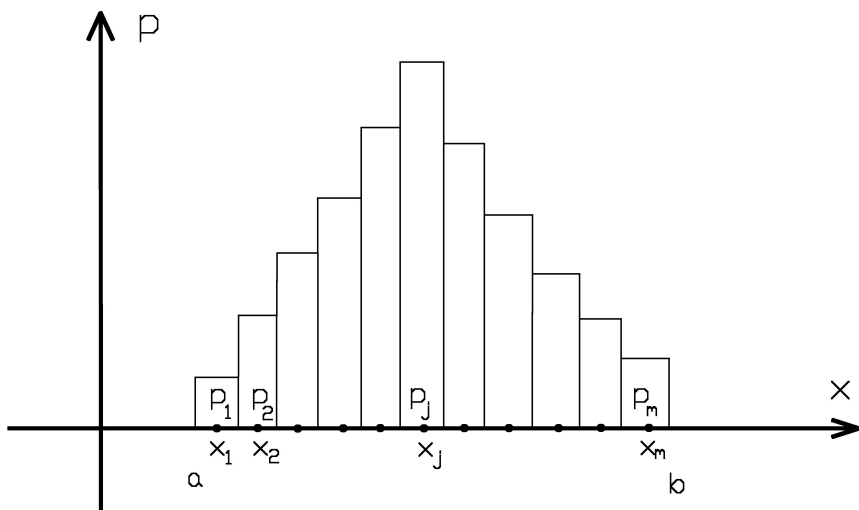
$$X = \begin{Bmatrix} x_1 & x_2 & \dots & x_n \\ p_1 & p_2 & \dots & p_n \end{Bmatrix}, \sum_{i=1}^n p_i = 1 \quad (1.44)$$

ili

$$P(X = x_i) = p_i, i = 1, 2, \dots, n \quad (1.45)$$

odnosno, verovatnoća da će slučajna veličina X imati vrednost x_i iznosi p_i .

Zakon verovatnoća slučajne veličine X predstavlja se grafički u vidu histograma (Slika 1.35). Na x osi su vrednosti slučajne veličine X , a na osi p se konstruišu pravougaonici čija je površina jednaka odgovarajućoj vrednosti verovatnoće.



SLIKA 1.35: Zakon raspodele verovatnoća (funkcija učestalosti)

Kako je zbir verovatnoća slučajne veličine jednak 1, onda je i zbir površina svih pravougaonika na histogramu jednak 1.

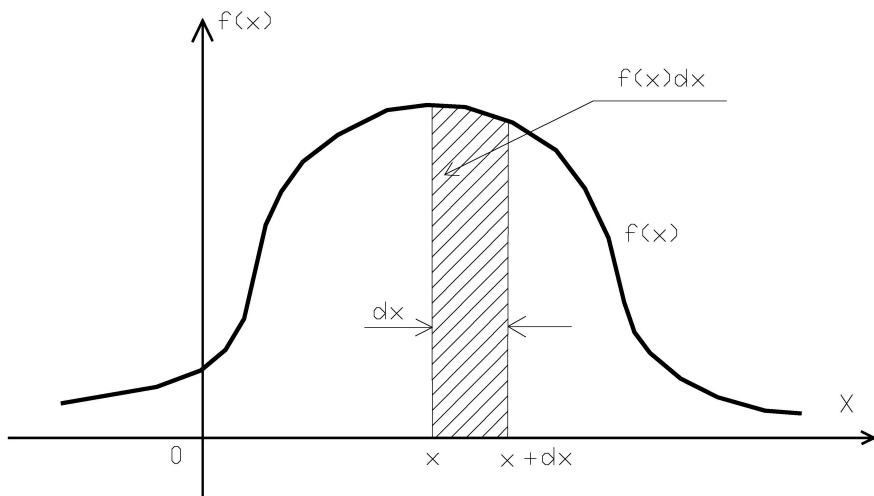
Potpuniju informaciju o diskretnoj slučajnoj promenljivoj X pruža funkcija raspodele verovatnoća, ili kumulativni zakon raspodele verovatnoća koja se označava sa $F(x)$. Funkcija raspodele verovatnoća prikazana je na slici 1.36.

$$F(x) = P(X \leq x) \quad (1.46)$$

gde P označava verovatnoću kojom se može tvrditi da će slučajna promenljiva X biti manja od unapred zadate vrednosti (broja x)

Pod raspodelom slučajne veličine X podrazumeva se poznavanje funkcije raspodele $F(x)$ ili funkcije gustina verovatnoća $f(x)$. Raspodelom slučajne veličine određena je maksimalna količina informacija o eksperimentu ili merenju [57]. Detaljnije objašnjenje funkcije i gustine raspodele dato je u Poglavlju 7.4.

Ukoliko greške nastaju delovanjem velikog broja slučajnih i međusobno nezavisnih uzroka, od kojih svaki od njih izaziva različite, ali veoma male greške, merni rezultati će se rasipati prema normalnoj ili Gausovoj raspodeli. Normalnu

SLIKA 1.36: Funkcija gustine raspodele verovatnoća $f(x)$

raspodelu uveo je nemački matematičar Karl Fridrih Gaus u analizi ocene slučajnih grešaka prilikom obrade rezultata merenja, pa se zato i naziva Gausova raspodela.

Normalna raspodela (Slika 1.37) definisana je kao funkcija verovatnoće:

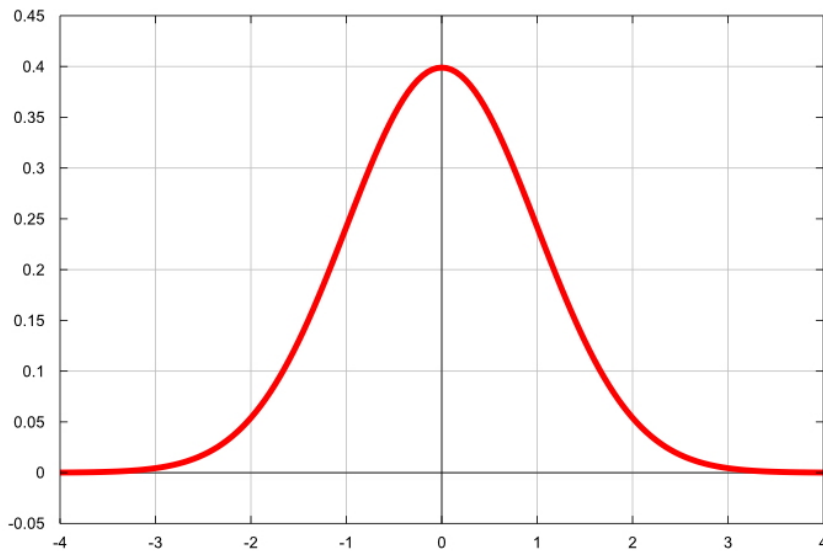
$$y = \frac{1}{\sigma\sqrt{2\pi}} e^{\frac{1}{2}(\frac{x-\bar{x}_0}{\sigma})^2} \quad (1.47)$$

gde je:

\bar{x}_0 – aritmetička sredina beskonačnog skupa,

σ – standardna devijacija beskonačnog skupa.

Skup podataka koji predstavlja upoređenje rezultata generisanih jednom od savremenih metoda prikupljanja podataka i uslovno tačnih vrednosti, biće prikazan tabelarno. Na rezultate su primenjene statističke metode analize podataka. Dobijeni rezultati biće grafički prikazani pomoću histograma apsolutnih frekvencija i Gausove raspodele. Na isti način će se analizirati podaci prikupljeni drugom metodom prikupljanja podataka. Nakon kalibrisanja originalnih podataka i ponovne primene statističkih metoda analize podataka, na osnovu numeričkih i grafičkih interpretacija rezultata mogu se doneti zaključci o uspešnosti primenjene metodologije.



SLIKA 1.37: Normalna raspodela

1.6.4 Izvod iz Teorije grešaka merenja

Prilikom ocene tačnosti pojedinog merenja neke veličine neophodno je definisati, u smislu verovatnoće, moguća odstupanja rezultata merenja te veličine od njene istinite vrednosti. Odstupanja rezultata merenja neke veličine od njene istinite vrednosti mogu se predstaviti dve veličine:

- pomoću njenog odstupanja od matematičkog očekivanja,
- pomoću odstupanja matematičkog očekivanja od istinite vrednosti.

Prvo odstupanje nastaje kao posledica dejstva slučajnih grešaka dok drugo odstupanje nastaje kao posledica delovanja sistematskih grešaka.

Rezultati merenja, dobijeni pod istim mernim uslovima, ponašaju se prema normalnom zakonu rasporeda, pa je njihovo matematičko očekivanje konstantna veličina. Prema tome, konstantno će biti i njegovo odstupanje od istinite vrednosti, pri čemu je to odstupanje rezultat dejstva sistematskih grešaka. Odavde sledi da treba da promenimo i uslove merenja (da izvodimo merenja raznim priborima, pri različitim spoljašnjim prilikama, sa različitim opažaćima i sl.) kako bismo oslabili uticaj sistematskih grešaka.

Odstupanje matematičkog očekivanja od istinite vrednosti merene veličine pri datom kompleksu uslova možemo smatrati konkretnom vrednošću slučajne veličine sa matematičkim očekivanjem bliskim nuli, imajući pri tome u vidu sve moguće promene kompleksa uslova. Na taj način, odstupanja rezultata merenja od istinite vrednosti možemo posmatrati kao vrednost zbiru dveju slučajnih veličina: odstupanja rezultata merenja od njegovog matematičkog očekivanja i odstupanja matematičkog očekivanja od istinite vrednosti.

Sada se mogu definisati mere i kriterijumi tačnosti i preciznosti merenja. Tako se pozitivan broj dobijen kao matematičko očekivanje (MO) veličine (parametra),

kojom se opisuje odstupanje merenja od prave vrednosti, naziva mera tačnosti, a dozvoljena (granična) vrednost eksperimentalnog MO (ocene MO) te veličine – kriterijum tačnosti merenja. Isto tako, pozitivan broj dobijen kao MO veličine (parametra), kojom se opisuje odstupanje merenja od MO, naziva se mera preciznosti, a dozvoljena (granična) vrednost eksperimentalnog MO (ocene MO) te veličine – kriterijum preciznosti merenja.

Ako uvedemo označke:

- A – istinita, prava vrednost veličine koja se meri,
- $A = X - A$ – slučajna veličina koja karakteriše moguće odstupanje rezultata jednog merenja od istinite vrednosti A merene veličine, apsolutna (prava) greška,
- X – slučajna veličina, koja karakteriše moguće rezultate merenja pri nekom kompleksu uslova merenja,
- $M[X] = a$ – matematičko očekivanje slučajne veličine X ,
- $\varepsilon = X - M[X]$ – slučajna veličina, koja karakteriše odstupanja rezultata merenja od matematičkog očekivanja pri istom kompleksu uslova, slučajna greška, i
- $\delta = M[X] - A$ – slučajna veličina, koja karakteriše odstupanje matematičkog očekivanja od istinite vrednosti A – sistematska greška,

onda se može izvesti sledeće:

- $\varepsilon = X - a$ – slučajna greška (odstupanje),
- $\delta = a - A$ – sistematska greška (pomeranje),
- $\Delta = X - A = X - a + a - A = \varepsilon + \delta$ – struktura opažanja.

Jedni izvori proizvode elementarne slučajne greške $\varepsilon^{(1)}, \varepsilon^{(2)}, \dots, \varepsilon^{(n)}$, čija sumarna greška čini slučajnu grešku rezultata merenja ε :

$$\varepsilon = \varepsilon^{(1)}, \varepsilon^{(2)}, \dots, \varepsilon^{(n)} \quad (1.48)$$

pa će, s obzirom na centralnu graničnu teoremu, slučajna greška ε imati normalni raspored.

Sa druge strane, drugi izvori proizvode sistematske greške δ , ali takve da im je matematičko očekivanje različito od nule, osim u nekim specijalnim slučajevima. Pri merenju, sistematske greške δ obično proizvode jedan do tri izvora grešaka, odnosno greška δ najčešće zavisi od jednog do tri parametra; ređi je slučaj da zavisi od četiri ili više parametara. Na primer, pri merenju rastojanja D elektrooptičkim daljinomerom, sistematska greška koja deluje proporcionalno merenom rastojanju potiče od dva izvora:

- od greške frekvencije oscilacije δ_f ,

- i od greške brzine svetlosti u vazduhu δ_ν , tj. $\delta_D = (\delta_f/f)D + (\delta_\nu/\nu)D$. Dakle, po pravilu, matematičko očekivanje sistematske greške nije nula, tj.: $M[\delta] \neq 0$.

U slučaju merenja, elementarnim događajima odgovaraju elementarne greške, pa s obzirom na konstataciju da jedni izvori proizvode slučajne, a drugi sistematske greške merenja, sledi uzajamna nezavisnost slučajnih i sistematskih grešaka. Ta nezavisnost, daje rezultate:

$$M[\varepsilon\delta] = M[\varepsilon] \cdot M[\delta] \quad (1.49)$$

kako je $M[\varepsilon] = 0$, to je:

$$M[\varepsilon\delta] = M[\varepsilon] \cdot M[\delta] = 0 \cdot M[\delta] = 0 \quad (1.50)$$

Prva mera tačnosti jeste srednja kvadratna greška rezultata merenja. Po definiciji to je:

$$\sigma_{\Delta}^2 = M[\Delta^2] = M[(X - A)^2] = M[(\varepsilon + \delta^2)] = M[\varepsilon^2] + 2M[\varepsilon\delta] + M[\delta^2] \quad (1.51)$$

Veličinu:

$$\sigma_2^{\varepsilon} = M[\varepsilon^2] = M[(X - a)^2] = D[X] = D[\varepsilon] \quad (1.52)$$

nazivamo disperzijom rezultata merenja (disperzijom slučajnih grešaka), pa s obzirom na (1.52), imamo da je:

$$\sigma_2^{\Delta} = M[\Delta^2] = \sigma_{\varepsilon}^2 + M[\delta^2] \quad (1.53)$$

Ako smo merenja izveli pod jednim nivoom (vrednošću) faktora koji proizvodi sistematski uticaj (pomeranje) δ , onda će δ biti konstanta, stoga će i δ^2 biti konstanta. Međutim, ako smo merenja izveli pod svim mogućim nivoima (vrednostima) faktora koji proizvodi sistematske uticaje, onda za očekivanu vrednost od δ možemo uzeti da je nula, $M[\delta] = 0$, pa, u tom slučaju, izraz:

$$\sigma_{\delta}^2 = M[(\delta - M[\delta])^2] = M[\delta^2] = D[\delta]; \text{ za } M[\delta] = 0 \quad (1.54)$$

predstavlja disperziju sistematskih grešaka (uticaja).

Zavisno od promene izvora sistematskih grešaka, možemo napisati:

$$M[\delta^2] = \begin{cases} a & \delta^2 - \text{konstantni sistematski uticaj} \\ b & \sigma_{\delta}^2 - \text{randomizirani sistematski uticaj} \end{cases} \quad (1.55)$$

$$\sigma_{\Delta}^2 = \begin{cases} a & \sigma_{\varepsilon}^2 + \delta^2 - \text{konstantni sistematski uticaj} \\ b & \sigma_{\varepsilon}^2 + \sigma_{\delta}^2 - \text{randomizirani sistematski uticaj} \end{cases} \quad (1.56)$$

Izrazi (1.53) i (1.56) jesu srednje kvadratne greške ako je X rezultat merenja, odnosno srednja kvadratna odstupanja slučajne veličine X ako X nije rezultat merenja već neka druga slučajna veličina u kojoj ima sistematskih uticaja δ , i u tom slučaju veličinu (1.52) nazivamo disperzijom slučajne veličine X .

Poželjne su srednje kvadratne greške, odnosno odstupanja sa manjim pomeranjem δ od onih sa većim pomeranjem δ . Prema teoriji grešaka do srednje kvadratne greške σ_{Δ} , koju možemo zvati ukupna standardna greška, dolazimo na sledeći način. Izvodimo merenja X pod raznim kompleksima uslova tako da sistematske uticaje randomiziramo merenjem nivoa faktora koji ih proizvode, ali tako da pri jednom nivou faktora ili pri istim uslovima faktora, sistematski uticaji budu isti ili bar približno isti [66].

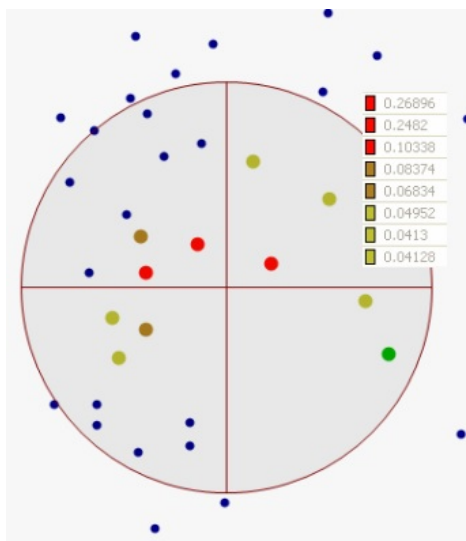
1.6.5 Metode interpolacije

U poglavlju broj 7 ove doktorske disertacije, opisan je postupak kalibracije oblaka tačaka koji je zasnovan na primeni određenih metoda interpolacije. U ovom poglavlju je data definicija i opis glavnih karakteristika najznačajnijih metoda interpolacije kao što su IDW (Inverse Distance Weighted), kriging i *Aerial Interpolation*.

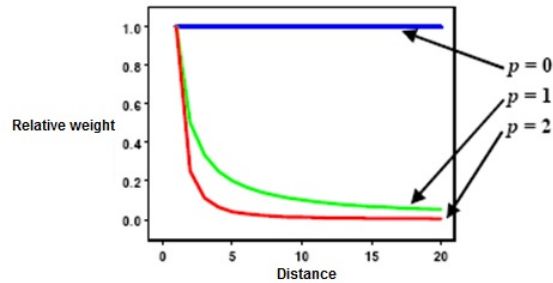
Interpolacija je uopšteno pojam koji se odnosi na postupak umetanja između dve vrednosti. U numeričkoj analizi se ovaj izraz koristi za postupak kojim se između dve poznate vrednosti neke funkcije umeće neka nova, obično jednostavnija funkcija, tako da ova vrednost ne odstupa od date za više od neke željene granice. Osnovni problem interpolacije jeste egzistencija funkcije koja u tačkama x_k ima zadate vrednosti f_k . Tačke (x_k, f_k) nazivamo čvorovima interpolacije, a funkciju f interpolacionom funkcijom. Zbog jednostavnosti polinomske funkcije, pojam interpolacija se najčešće odnosi na interpolaciju realne funkcije algebarskim polinomom. Najjednostavniji oblik interpolacionog polinoma je $P(x) = a_0 + a_1x + \dots + a_mx^m$. Poznati su i Lagranžov interpolacioni polinom, kao i Njutnov interpolacioni polinom [1].

1.6.5.1 Inverse distance weighted (IDW)

IDW metod interpolacije eksplicitno čini pretpostavku da su stvari koje su blizu jedna drugoj sličnije od onih koje su udaljenije. Da bi predvideo vrednost na bilo kojoj lokaciji, IDW metod koristi merene vrednosti koje okružuju lokaciju predviđanja. Merene vrednosti najbliže mestu predviđanja imaju više uticaja na predviđene vrednosti od onih koje se nalaze dalje (Slika 1.38). IDW prepostavlja da svaka merena tačka ima lokalni uticaj, koji opada sa povećanjem udaljenosti. To daje veću težinu tačkama koje se nalaze bliže mestu predviđanja a težine smanjuju kao funkciju udaljenosti. Odavde potiče i naziv ove metode.



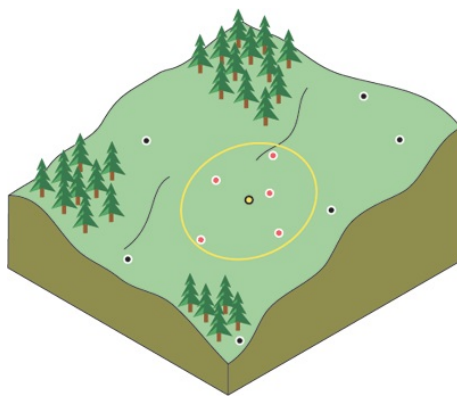
SLIKA 1.38: IDW pretraga susednih tačaka



SLIKA 1.39: IDW smanjenje težina sa smanjenjem udaljenosti

Težine su proporcionalne recipročnoj vrednosti udaljenosti (između tačke i predviđene lokacije) podiže vrednost p. Kao rezultat toga, kako se povećava udaljenost, težine se rapidno smanjuju. Stopa po kojoj se težine smanjuju zavisi od vrednosti p. Ako je $p = 0$, nema smanjenja sa udaljenosću, jer je svaka težina λ ista, predviđanja će biti srednja vrednost svih vrednosti podataka u oblasti pretraživanja. Kako se p povećava, težine za udaljene tačke će se brzo smanjiti. Ako je p vrednost vrlo visoka, samo tačke u neposrednom okruženju će uticati na prognozu (Slika 1.39).

Stvari koje su blizu jedna drugoj sličnije su nego one koje su dalje; što su lokacije dalje jedna od druge i merene vrednosti će imati manju vezu prema vrednostima koje su određene predikcijom. Za brze proračune, isključuje se ili se ne uzima u obzir određeni broj udaljenih tačaka koje će imati mali uticaj na predikciju. Na slici 1.40 pet tačaka će se koristiti za predikciju vrednosti žute tačke.



SLIKA 1.40: IDW predikcija vrednosti tačke

1.6.5.2 *Natural neighbor interpolation*

Natural neighbor interpolation je metoda prostorne interpolacije. Metoda se temelji na Voronoi mozaiku diskretnog skupa prostornih tačaka. U matematici, Voronoi dijagram je podela površi u određenim regijama na temelju udaljenosti tačaka. Taj skup tačaka (naziva se seme) naznačeno je unapred, a za svako seme postoji odgovarajuće područje koje se sastoji od svih tačaka koje se nalaze bliže tom semenu nego bilo koje druge. Te regije nazvane su Voronoi ćelije (Slika 1.41).

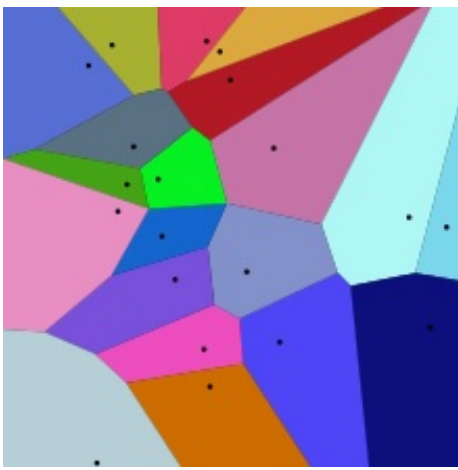
Osnovna 2D jednačina je:

$$G(x, y) = \sum_{i=1}^n \omega_i f(x_i, y_i) \quad (1.57)$$

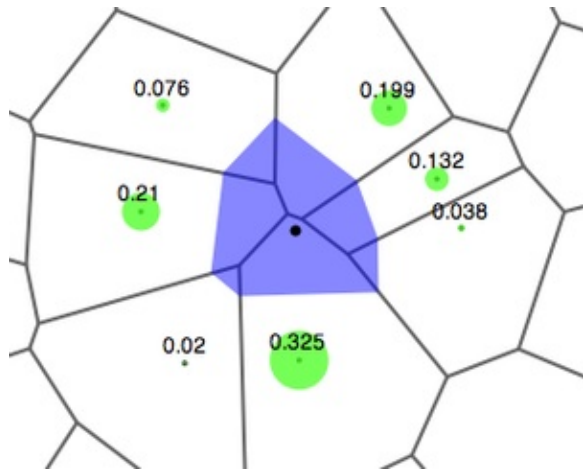
gde je $G(x, y)$ procena na (x,y), ω_i težine a $f(x_i, y_i)$ su poznati podaci na (x_i, y_i) [3].

1.6.5.3 *Kriging*

Postupak kriginga smatra se naprednom metodom interpolacije za procenu vrednosti promenljive u tačkama odabrane mreže ili grida.



SLIKA 1.41: Voronoi mozaik

SLIKA 1.42: *Natural neighbor interpolation*

Kriging je, kao statistička metoda procene, dobila ime po južnoafričkom inženjeru Krigeu, koji ju je prvi upotrebio i opisao prilikom procene koncentracije zlata u rudnicima. Zatim je vremenom usledio dalji teoretski razvoj metode, najvećim delom u Francuskoj.

Procena krigingom temelji se na upotrebi postojećih (tzv. kontrolnih tačaka) čiji je uticaj na procenu izražen odgovarajućim težinskim koeficijentima. Procena načinjena krigingom podrazumeva da su zadovoljeni određeni kriterijumi. Prema njima procena mora biti nepristrasna i napravljena tako da je varijanca razlike između stvarnih i procenjenih vrednosti u odabranim tačkama najmanja moguća. To se naziva još i varijanca kriginga. Nakon završetka procene na odabranom gridu algoritam kriginga računa predviđenu i stvarnu grešku procene. Te vrednosti se mogu porebiti sa merenom vrednošću na kontrolnoj tački koja je upotrebljena kao ulazni podatak. Na taj način se određuje pouzdanost procene kvaliteta odabranog prostornog modela.

Princip rada kriginga najjednostavnije je prikazati nizom jednačina kojima je definisan. Krigingom se procenjuju vrednosti promenljive na odabranoj lokaciji Z_k , a na temelju postojećih okolnih vrednosti Z_i . Svako od tih postojećih vrednosti pridružen je odgovarajući težinski koeficijent λ_i . Način računanja težina je najzahtevniji deo algoritma kriginga.

Vrednost i slučajne promenljive mogu se definisati kao:

$$Z_i = Z(x_i) \quad (1.58)$$

gde je x_i tačka u kojoj je očitana vrednost. Vrednost promenljive procenjene krigingom na osnovu n okolnih kontrolnih tačaka je:

$$Z_k = \sum_{i=1}^n \lambda_i \times Z_i \quad (1.59)$$

gde su:

λ_i – težinski koeficijenti (weights) za svaku lokaciju

Z_i – kontrolne tačke

Z_k – vrednost procenjena krigingom

Sledeći korak kriginga usmeren je na procenu odgovarajućih koeficijenata težina i na kraju na procenu same vrednosti Z_k . Do tih vrednosti dolazi se rešavanjem sistema linearnih jednačina kriginga.

Rezultat matematičkih jednačina kriginga moguće je napisati u obliku matričnih jednačina. Unutar dveju od tih matrica vrednosti su izražene pomoću vrednosti kovarijance, odnosno zavise od udaljenosti poređenih lokacija. Treća matrica sadrži koeficijente težina koji se na kraju procenjuju iz prve dve spomenute matrice.

$$[W] \times [\lambda] = [B] \quad (1.60)$$

Kriging kao metoda sadrži više tehnika. To su jednostavnji kriging (Simple Kriging), obični kriging (Ordinary Kriging), indikatorski kriging (Indicator Kriging), univerzalni kriging (Universal Kriging) i disjunktivni kriging (Disjunctive Kriging) [45]. U daljem tekstu opisana je prva metoda.

Kod jednostavnog kriginga, kao najjednostavnije podvarijante, matrična jednačina napisana u punom obliku glasi:

$$\begin{bmatrix} \gamma(Z_1 - Z_1) & \gamma(Z_1 - Z_2) & \dots \gamma(Z_1 - Z_{n1}) \\ \gamma(Z_2 - Z_1) & \gamma(Z_2 - Z_2) & \dots \gamma(Z_2 - Z_n) \\ \gamma(Z_n - Z_1) & \gamma(Z_n - Z_2) & \dots \gamma(Z_n - Z_n) \end{bmatrix} \times \begin{bmatrix} \lambda_1 \\ \lambda_2 \\ \vdots \\ \lambda_n \end{bmatrix} = \begin{bmatrix} \gamma(x_1 - x) \\ \gamma(x_2 - x) \\ \vdots \\ \gamma(x_n - x) \end{bmatrix} \quad (1.61)$$

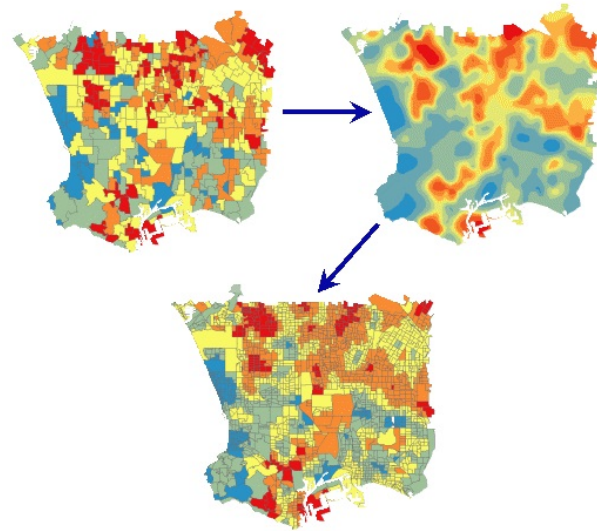
Sve ostale podmetode kriginga imaju dodat neki „faktor ograničenja”. Kod jednostavnog kriginga nije ispunjen uslov da je procena nepristrasna, dok je kod ostalih tehnika taj uslov zadovoljen. Dodatni faktor pomaže kod uključivanja nekog spoljnog ograničenja koje prati ulazni skup podataka. Tako je u tehnici običnog kriginga dodat Lagranžov faktor μ kojim se minimalizuje iznos varijanse kriginga. Time dolazi do promene matrične jednačine [56]:

$$\begin{bmatrix} \gamma(Z_1 - Z_1) & \gamma(Z_1 - Z_2) & \dots \gamma(Z_1 - Z_{n1}) & 1 \\ \gamma(Z_2 - Z_1) & \gamma(Z_2 - Z_2) & \dots \gamma(Z_2 - Z_n) & 1 \\ \gamma(Z_n - Z_1) & \gamma(Z_n - Z_2) & \dots \gamma(Z_n - Z_n) & 1 \\ 1 & 1 & \dots 1 & 0 \end{bmatrix} \times \begin{bmatrix} \lambda_1 \\ \lambda_2 \\ \vdots \\ \lambda_n \\ \mu \end{bmatrix} = \begin{bmatrix} \gamma(x_1 - x) \\ \gamma(x_2 - x) \\ \vdots \\ \gamma(x_n - x) \\ 1 \end{bmatrix} \quad (1.62)$$

1.6.5.4 Aerial interpolacija

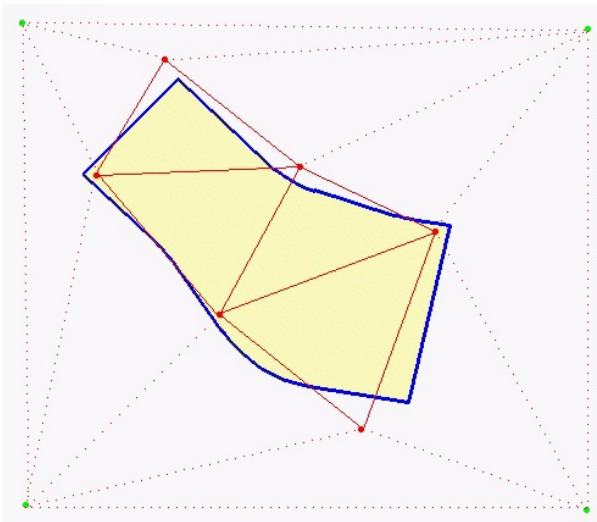
Aerial interpolacija konkretno znači reagregaciju ili pridruživanje podataka iz jednog skupa poligona (izvornih poligona) u drugi skup poligona (ciljne poligone). Ona predstavlja geostatističku interpolacionu tehniku koja proširuje Kriging teoriju.

Reagregacija podataka je proces u dva koraka. Najpre se kreira glatka površ predikcije za pojedine tačke iz izvornih poligona, zatim se površ predikcije pridružuje nazad u ciljne poligone. Jednom kreirana prediktionska površ se pridružuje nazad drugom setu poligona [5]. Na slici 1.43 prikazana je grafička interpretacija toka predikcije *aerial* interpolacije.



SLIKA 1.43: Grafička interpretacija toka predikcije *aerial* interpolacije

Kalibracija oblaka tačaka na osnovu poznatih parametara sprovedena je u okviru softverskog rešenja „TerraSolid“. Na delovima terena koji se nalaze između poznatih tačaka sprovodi se postupak interpolacije (Slika 1.44). Područje prikazano žutom bojom predstavlja područje pokriveno prikupljenim podacima. Crvene tačke predstavljaju tačke sa poznatim Y, X i dZ vrednostima. Zelene tačke predstavljaju interpolirane tačke, a crvene linije model triangulacije [4].



SLIKA 1.44: Prikaz modela interpolacije

1.7 Struktura istraživanja u disertaciji

Savremeni uređaji za akviziciju podataka LiDAR i UAV kao finalni proizvod daju oblak tačaka. U okviru istraživanja, nezavisno će biti analizirani podaci dobijeni sa ova dva sistema. Biće izvršena uporedna analiza podataka generisanih LiDAR sistemom i podataka generisanih metodom precizne elektronske tahimetrije. Na isti način će biti posmatrani podaci generisani UAV sistemom.

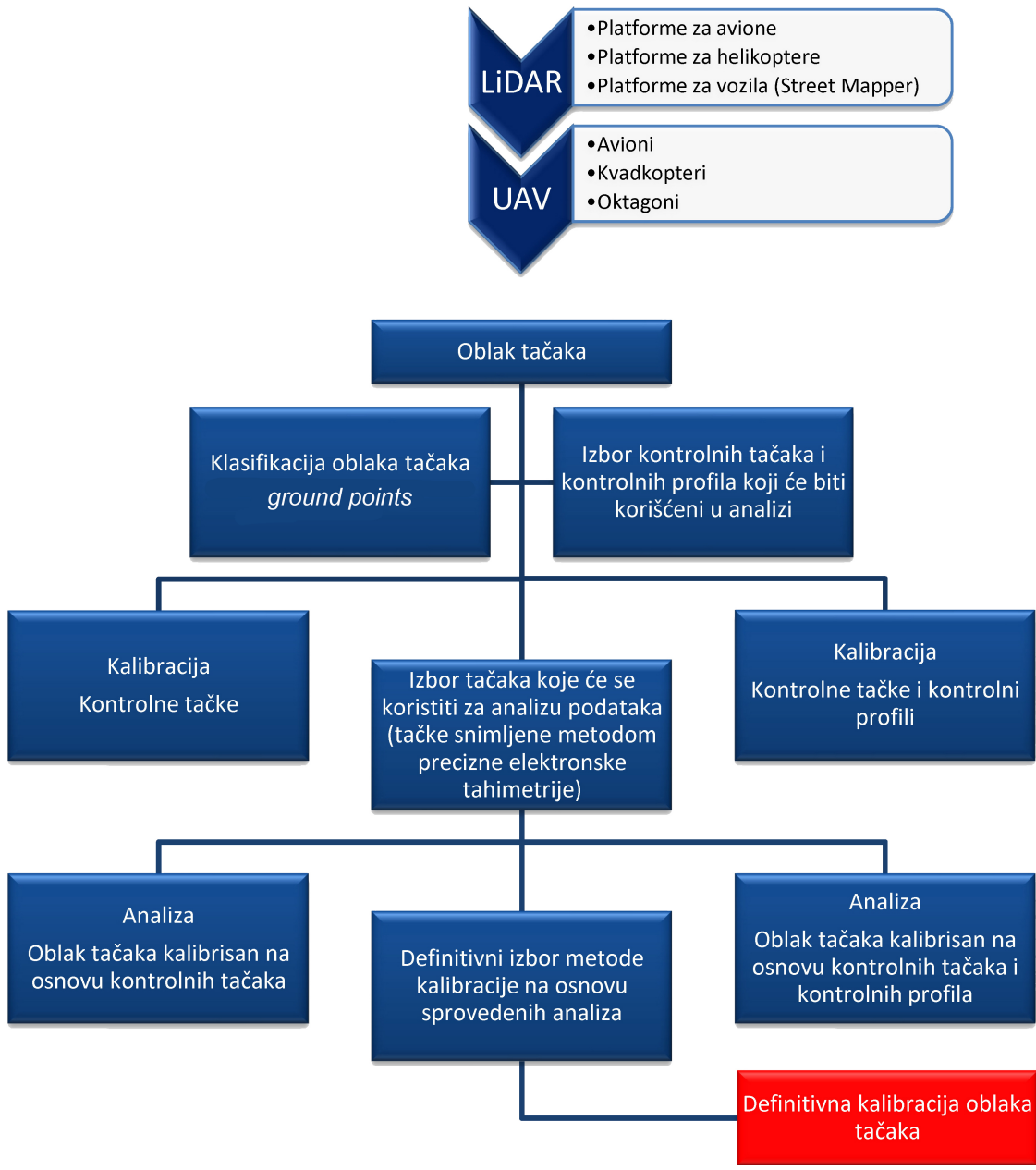
Ideja koja će biti sprovedena zasnovana je na tome da će *raw data* (sirovi oblak tačaka) najpre biti „kalibriran”, pri čemu se pod kalibracijom podrazumeva poboljšanje tačnosti oblaka tačaka na osnovu kontrolnih tačaka, a nakon toga će biti nastavljena dalja obrada. Sirov oblak tačaka se najpre klasificuje, pri čemu primenjujemo samo osnovni algoritam za klasifikaciju *ground points* (tačke terena). Nakon izdvojene klase *ground points*, izvršiće se analiza kontrolnih tačaka na osnovu koje ćemo ustanoviti da li je izabrani broj kontrolnih tačaka dovoljan ili se moraju uključiti dodatne kontrolne tačke. Na osnovu kontrolnih tačaka, ili uz pomoć dopunskih kontrolnih tačaka, izvršiće se konačna kalibracija oblaka tačaka. Upoređenje tačaka snimljenih metodom precizne elektronske tahimetrije sa oblakom tačaka, tačnije sa klasom *ground points* pokazaće kolika su odstupanja na nivou celog uzorka. Izvršiće se nekoliko analiza: analiza oblaka tačaka kalibrisanog samo na osnovu kontrolnih tačaka i analiza oblaka tačaka kalibrisanog na osnovu kontrolnih tačaka i dodatnih kontrolnih profila. Analize će biti realizovane primenom matematičkih modela statističke analize. Na osnovu ovih analiza biće moguće precizno definisati metodologiju analize kvaliteta rezultata kod snimanja terena nekom od savremenih tehnologija snimanja, odstranjivanje grubih grešaka i suočenje grešaka na prihvatljivu vrednost. Kako će se analize vršiti na podacima dobijenim sa dva nezavisna sistema tako će biti moguće definisati izbor sistema za prikupljanje podataka ili kombinaciju sistema. Nakon završenih analiza i konačne kalibracije dobijamo definitivni oblak tačaka koji se može dalje obrađivati u cilju kreiranja korektnog digitalnog modela terena i topografskih podloga. Dalja obrada podrazumeva kreiranje ostalih klasa oblaka tačaka, što će detaljno biti objašnjeno u petom poglavlju disertacije.

Na slici 1.45 dat je šematski prikaz strukture disertacije. U okviru šematskog prikaza po segmentima su razloženi glavni koraci, koji vode do definitivnog određivanja parametara kalibracije, što je detaljnije objašnjeno u tekstu koji sledi.

Postupak kalibracije oblaka tačaka definisan u okviru ove disertacije će biti podeljen u nekoliko faza:

- **Osnovna klasifikacija oblaka tačaka (*ground points*)**

podrazumeva definisanje odgovarajućih algoritama za automatsko odvajanje tačaka terena od ostalih tačaka u oblaku tačaka. Osnova klasifikacija se realizuje na celom oblaku tačaka. Nakon toga se u daljoj analizi tretiraju samo tačke koje se nalaze unutar definisanog poligona, što je objašnjeno u okviru potpoglavlja „Kriterijumi izbora uzorka za eksperiment”. Na slici 1.46 mogu se videti rezultati klasifikacije oblaka tačaka i perspektivni prikaz klase tačaka terena. Za klasifikovanje *ground points* klase primenjuju se postojeći algoritmi, pri čemu se vrše određene korekcije koje zavise od konfiguracije terena i rezolucije snimanja. Nakon automatske klasifikacije tačaka terena sve dalje analize u cilju

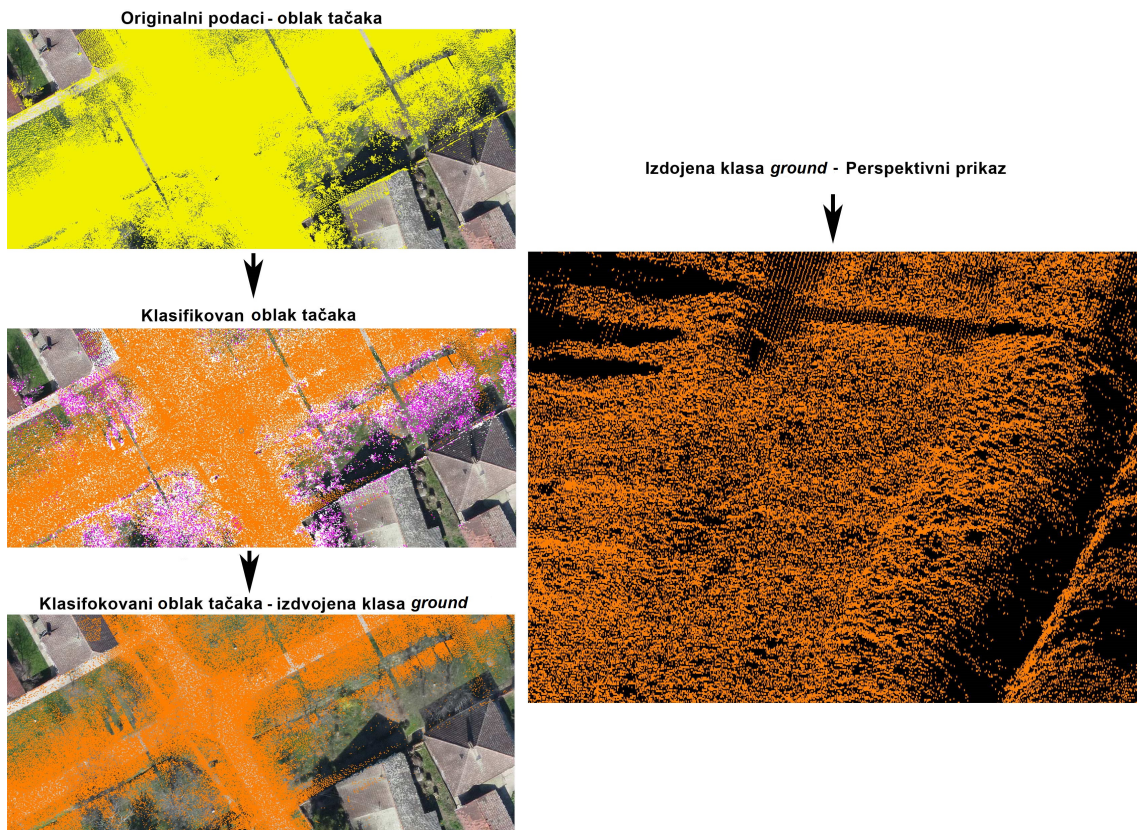


SLIKA 1.45: Šematski prikaz strukture istraživanja

određivanja parametara za kalibraciju sprovode se isključivo analiziranjem ove klase.

• Izbor kontrolnih tačaka za kalibraciju

Tačke korištene kao osnova za kalibraciju su novoodređene poligonske tačke na teritoriji celog naselja (Slika 1.47). Novoodređene poligonske tačke snimane su GNSS metodom sa tačnošću koju ova metoda može obezbediti. Snimanje je izvršeno prema pravilniku za određivanje poligonske mreže u tri epohe od po 30 s, pri čemu su za definitivne vrednosti koordinata tačaka usvojene aritmetičke

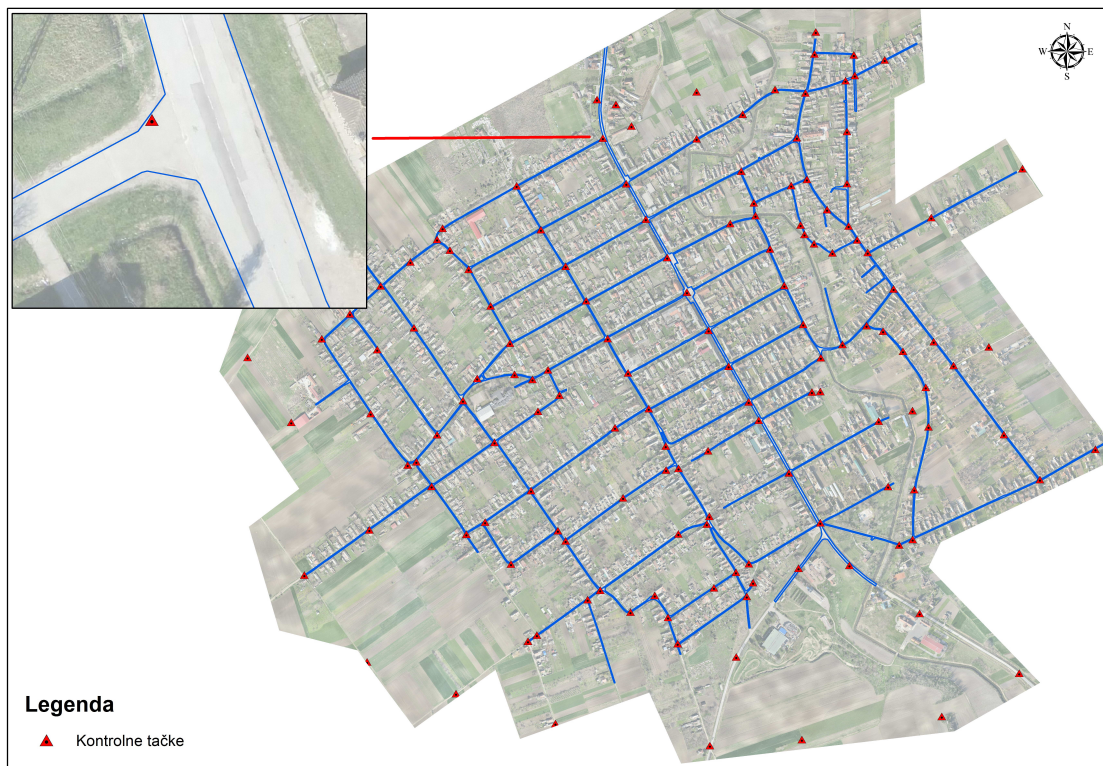


SLIKA 1.46: Postupak klasifikacije tačaka

sredine ova tri merenja. Visine tačaka su određene preciznim nivelmanom, pri čemu su merenja vezana za repere sa poznatim visinama.

Definitivni kriterijumi izbora kontrolnih tačaka za kalibraciju biće definisani nakon završenih analiza u okviru disertacije. Kako su ovde korišćene poligonske tačke nove poligonske mreže koja je razvijena za potrebe premera, to je njihov položaj i raspored prilagođen potrebama premera. Za potrebe pogušćavanja mreže kontrolnih tačaka biraju se tačke na terenu od čvrstog materijala na ravnom i pristupačnom terenu, dalje od visokih objekata ili objekata koji bi mogli uticati na kvalitet snimanja. Definisanje visinskih odstupanja (dZ) kontrolnih tačaka u odnosu na originalni oblak tačaka, realizuje se upoređenjem kontrolnih tačaka i istih tih tačaka u generisanom oblaku tačaka. Kontrolne tačke (tačke poligonske mreže, koju predstavljaju metalne kape) jasno su i nedvosmisleno uočljive u oblaku tačaka. Određivanje razlika (dZ) realizuje se očitavanjem vrednosti Z (kontrolne tačke) na digitalnom modelu terena generisanom od tačaka terena dobijenih automatskom klasifikacijom oblaka tačaka. Zbog brzog i kvalitetnog očitavanja odstupanja (dZ) je bitno da se prethodno realizuje *ground* automatska klasifikacija na celom oblaku tačaka. Pored definisanja visinskih odstupanja, analizirana su odstupanja i u horizontalnom smislu. Izvršeno je upoređenje osnova snimljenih objekata sa istim objektima snimljenim uslovno tačnom metodom.

- Kalibracija oblaka tačaka



SLIKA 1.47: Prikaz kontrolnih tačaka na teritoriji naselja Feketić

Sprovodi se na osnovu određenih razlika dZ. Razlika dZ nastaje upoređenjem kontrolnih tačaka (uslovno tačne vrednosti) i oblaka tačaka.

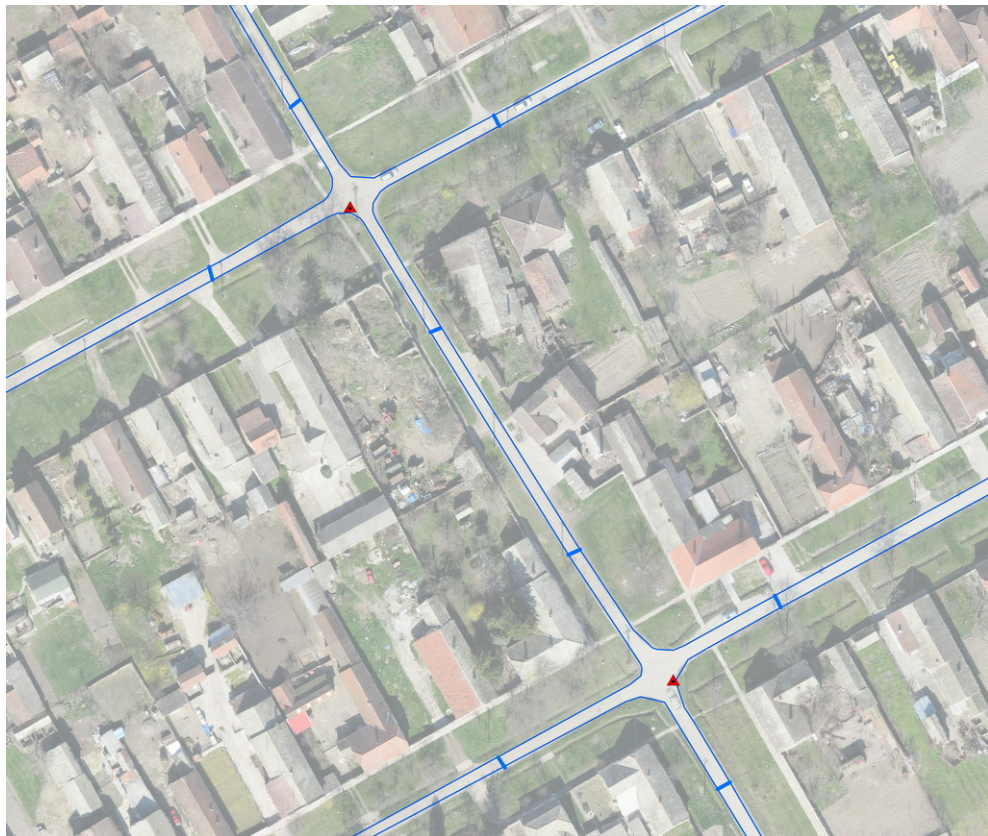
- **Analiza dobijenih podataka**

Realizuje se na uzorku određenom za analizu. Uzorak za analizu dobijenih rezultata definisan je poligonom ulica, što je objašnjeno u prethodnom poglavlju. Analiza podrazumeva definisanje vrednosti odstupanja tačaka određenih za analizu i tačaka generisanih oblakom tačaka. Na osnovu analize možemo doneti neophodne zaključke o tome da li je dovoljan izabrani broj tačaka za kalibraciju ili je neophodno povećati broj tačaka. Definisanjem razlika (odstupanja) tačaka snimljenih metodom precizne elektronske tahimetrije u zoni određenoj za eksperiment, i tačaka generisanih LiDAR i UAV sistemima moguće je definisati kriterijum gustine kontrolnih tačaka neophodnih za kalibraciju. Ukoliko su odstupanja veća nego što je zahtevana tačnost, povećava se gustina kontrolnih tačaka ili uvode kontrolni profili.

- **Poboljšanje kalibracije dodatnim tačkama ili kontrolnim profilima**

Ukoliko je analizom ustanovljeno da je neophodno povećati tačnost, povećava se broj kontrolnih tačaka i definišu se pozicije kontrolnih profila (Slika 1.48). Kontrolni profili su birani na određenim mestima (raskrsnice asfaltnih ulica) kako bi povećali tačnost kalibracije oblaka tačaka.

- **Analiza dobijenih podataka nakon završene kalibracije**



SLIKA 1.48: Šematski prikaz položaja kontrolnih profila

Analiza dobijenih podataka nakon završene kalibracije podrazumeva primenu statističkih metoda analize podataka i teorije grešaka na dobijenim rezultatima u cilju definisanja prirode nastalih odstupanja.

- **Usvajanje definitivnih parametara za kalibraciju**

Usvajanje definitivnih parametara za kalibraciju nastupa nakon završenih analiza, određivanja neophodnog broja kontrolnih tačaka i profila kako bi se zadovoljila tražena tačnost.

- **Kreiranje definitivno kalibriranog oblaka tačaka spremnog za dalju obradu**

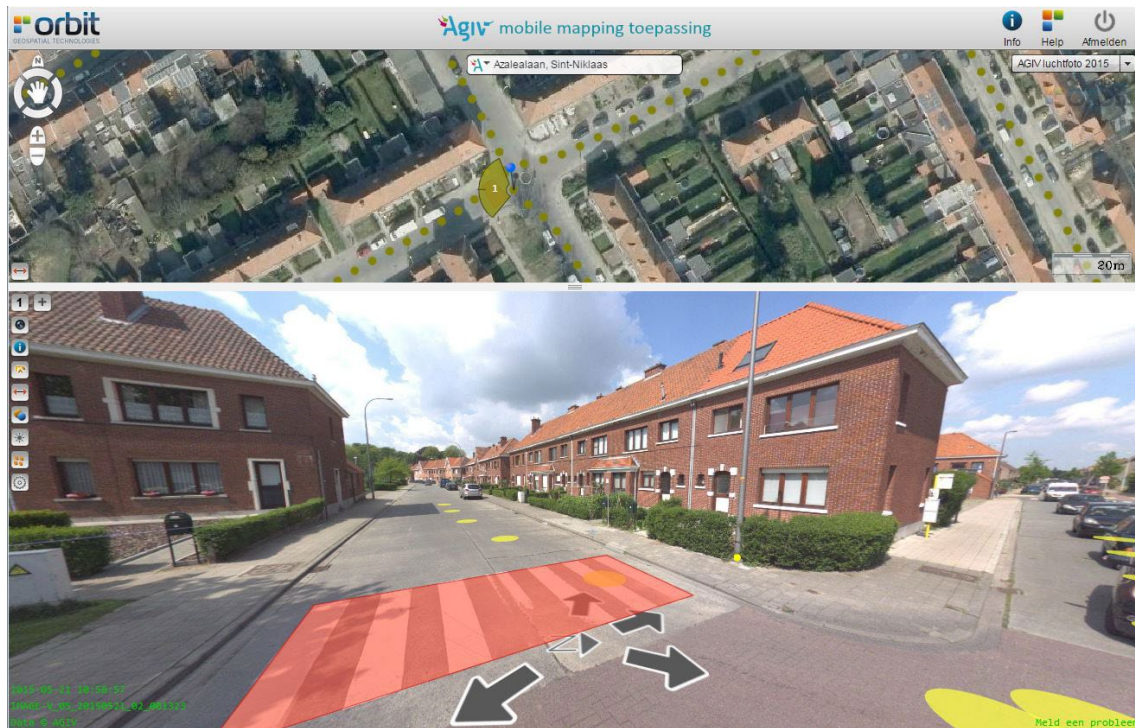
Ako su usvojeni definitivni parametri za kalibraciju, možemo realizovati definitivnu kalibraciju oblaka tačaka, na kome se dalje mogu primenjivati algoritmi klasifikacije i vršiti dalja obrada u cilju generisanja topografskih podloga.

Poglavlje 2

Prethodna istraživanja

Savremene tehnologije premera postale su neizostavan faktor projekata iz oblasti inženjerske geodezije u Evropi i svetu danas, a sa njima i metoda mobilnog laserskog skeniranja iz vozila u pokretu, jedna od najpopularnijih metoda u LiDAR industriji danas.

Jedan od referentnih projekata, u kome je istaknut ceo potencijal primene savremenih tehnologija premera, odigrao se u Belgiji. U januaru 2017. godine objavljeni su poslednji podaci seta 3D LiDAR podataka visoke rezolucije. Projekat prikupljanja i obrade podataka trajao je dve godine. Za to vreme snimljena je cela putna infrastruktura oblasti Flandrija u Belgiji (nešto više od 64.000 km puteva).



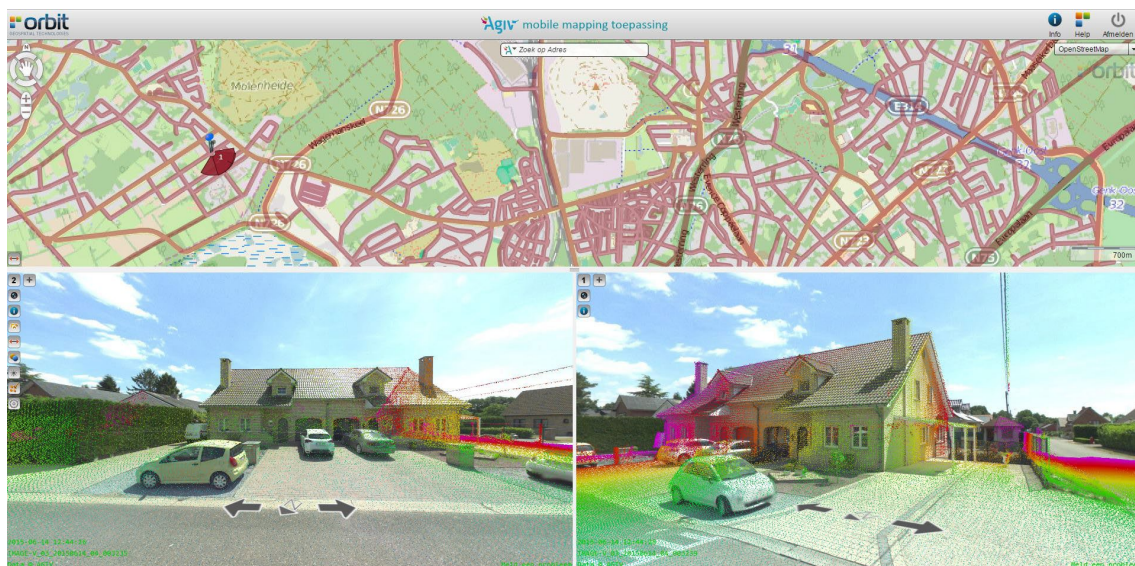
SLIKA 2.1: *Mobile mapping* aplikacija

Pored oblaka tačaka, sistem za mobilno mapiranje opremljen je kamerama visoke rezolucije, pa su dostupne panoramske fotografije. Svi generisani podaci

dostupni su besplatno za lokalne i regionalne vlasti. Kreirane su mrežne aplikacije i GIS softveri koji omogućavaju jednostavan uvid u prikupljene podatke (Slika 2.1).

Kod projekata ovog obima i važnosti do izražaja dolaze organizacija posla i efikasnost prikupljanja i obrade podataka. Za realizaciju je korišćen sistem *Topcon IP-S2 Compact + mobile mapping system*. On je opremljen kamerom od 360° koja snima fotografije na svakih 5 m. Fotografije su obrađene kao panoramske fotografije visoke rezolucije. Sa druge strane sistem poseduje pet skenera i ima mogućnost i brzinu skeniranja od 150.000 tačaka u sekundi.

Onlajn aplikacija omogućava pregled fotografija u bilo kom trenutku putem interneta i kombinuje panoramske fotografije i 3D oblaka tačaka. Softversko rešenje prilagođeno korisnicima (*user-friendly*) daje mogućnost pregleda slike i oblaka tačaka, izvođenje detaljnih merenja i osnovnu ekstrakciju elemenata prostora (Slika 2.2).



SLIKA 2.2: Aplikacija *Mobile mapping* - pregled fotografija i oblaka tačaka

Projekat je koncipiran tako da finalni produkt bude lako dostupan i jednostavan za korišćenje GIS početnicima i inženjerima, ali isto tako i da može obezbediti dovoljan broj kvalitetnih podataka za razne vrste analiza i budućih projekata. Bitno je naglasiti da kreirana aplikacija skladišti podatke mobilnog skeniranja iz prethodnih godina, tako da je moguće izvršiti uvid u stanje pre i posle izgradnje, rekonstrukcije itd. [2]. Slični projekti realizovani su širom Evrope. Nemačka, čija je cela teritorija snimljena ovakvim sistemima, prednjači među razvijenim zemljama.

Primene savremenih tehnologija premera u oblasti snimanja, mapiranja i GIS-a variraju u odnosu na zahteve tačnosti. Što se tiče LiDAR i UAV sistema, uglavnom se postavljaju zahtevi od oko nekoliko centimetara odstupanja. Obradi podataka generisanih nekim od ovih sistema prethodi kalibracija. U daljem tekstu opisana su neka iskustva kod kalibracije LiDAR i UAV sistema.

- Kalibracija LiDAR sistema

Kako bi se ispunili preduslovi definisane tačnosti i da bi se smanjio broj sistematskih grešaka, neophodno je na adekvatan način kalibrirati LiDAR senzor [52]. LiDAR sistemi se mogu kalibrirati u laboratoriji od strane proizvođača, ili na terenu. Međutim, kalibracija od strane proizvođača nije dovoljno stabilna. Usled toga, uobičajena je praksa da se LiDAR sistemi periodično dodatno kalibrišu. Tradicionalne metode podrazumevaju određivanje parametara kalibracije u iterativnom procesu manuelnog izravnjanja parametara. Ovaj postupak zahteva puno vremena i iskusnog i sposobnog operatera, a pored toga lako može doći do pogrešnog tumačenja uzroka nekih sistematskih grešaka. Jedan od najvećih izazova kod podataka LiDAR-a jeste što oblak tačaka ne obezbeđuje redundantnost usled toga što tačke ne padaju na istu lokaciju iako je skeniranje izvršeno više puta [52]. Metode kalibracije LiDAR sistema mogu se podeliti na geometrijske i automatske.

Geometrijske metode kalibracije LiDAR sistema

Geometrijske metode kalibracije LiDAR sistema mogu se podeliti na rigorozne, kvazirigorozne i pojednostavljene. Rigorozne metode kalibracije zahteva sirova opažanja, dok se u pojednostavljenom modelu i kvazirigoroznom ne zahtevaju. Shodno tome, manje se koriste rigorozne metode, a u daljem tekstu predstavljene su druge dve metode. Pojednostavljena metoda sastoji se iz dva koraka: 1. određivanje odstupanja između paralelnih traka pomoću 3D transformacije i 2. procena odstupanja parametara sistema pomoću dobijenih parametara transformacije u prethodnom koraku. Ključan deo ovog postupka jeste definisanje veze između parametara transformacije i parametara LiDAR sistema. U ovoj metodi se prepostavlja nekoliko stvari: linije leta su paralelne, putanja platforme je prava, *roll* i *pitch* uglovi platforme su jednaki 0, *bore sight* uglovi su smatrani jako malim, površina objekata je gotovo ravna u poređenju sa visinom leta. U ovoj metodi se definiše koordinatni sistem u okviru preklapajućeg područja – Y osa je paralelna sa linijama leta, nalazi se na polovini rastojanja između njih i ima pozitivan smer u pravcu leta. X osa je postavljena duž linije skeniranja. Koriste se dva slučaja preklapanja traka: preklapanje 100 sa suprotnim linijama leta i preklapanje traka manje od 100 sa identičnim pravcem leta [13].

U radu [32] je prikazana metoda geometrijske kvazirigorozne kalibracije i radiometrijske korekcije LiDAR podataka, kojim se procenjuju odstupanja parametara sistema. Tačnost korigovanog oblaka tačaka određuje se na osnovu stepena kompatibilnosti između LiDAR kontrolnih površi pre i posle kalibracije. Kako kvazirigorozna metoda kalibracije zahteva samo vremenski definisan oblak tačaka i podatke o poziciji trajektorije, potrebni su samo podaci u preklapajućem delu traka. Ranije definisan matematički model postupka kalibracije zasnovan je na tačkama. Međutim, poklapanje tačke sa tačkom se ne može prepostaviti kod LiDAR-a zbog iregularne prirode oblaka tačaka. Inovacija ove metode se ogleda upravo u tome što su, kao primitivni upareni elementi umesto tačaka, predstavljeni parovi tačke i elementa TIN strukture. Odstupanja parametara sistema računaju se pomoću parova tačka – TIN elemenat i stohastičkog Gaus – Markovljevog modela, i konačno se rekonstruiše oblak tačaka. Usled promene oblaka tačaka, poklapanje između tačaka

i TIN elemenata može se promeniti, pa je potrebno napraviti novi set parova i još jednom primeniti matematički model kako bi se dobile još bolje procene parametara sistema. Postupak se ponavlja sve dok se iz Gaus – Markovljevog modela ne dobije da su odstupanja parametara približno jednak 0 [32].

U pojednostavljenom i kvazirigoroznom modelu kalibracija se vrši pomoću preklapajućih traka. Razlika između pojednostavljenog i kvazirigoroznog modela je u tome što kvazirigorozan model može da radi i sa neparalelnim trakama i linijama leta koje nisu prave, dok pojednostavljeni metod ne može. Takođe, u pojednostavljenom modelu zahtevane su dve različite visine leta kako bi se odredili parametri sistema i nije moguće odrediti odstupanje u lever-arm offsetu duž Z ose [13].

Automatska kalibracija

U radu [52] je prikazana metodologija automatske rektifikacije kalibracije parametara senzora putem ekstrakcije segmenata koji pripadaju ravni iz oblaka tačaka. Ovu metodu razvio je Peter Friess i komercijalno je dostupna u LiDAR Mapping Suite (LMS). Naime, metoda je zasnovana na iterativnoj rektifikaciji parametara kalibracije, kojom se smanjuju odstupanja između ravni u najvećoj mogućoj meri. Kao rezultat, sistematske greške se eliminisu ili im se smanjuje broj.

Laserske tačke se najpre organizuju u grid strukturu koja pokriva celo područje snimanja. Linije leta se pretražuju u cilju pronalaženja elemenata koji odgovaraju jednačini ravni. Svaka ravan određena je lokacijom centralne tačke, nagibom, orijentacijom i greškom uklapanja (definiše vertikalnu udaljenost do određene ravni svih tačaka koje je čine). Pomoću tih atributa testiraju se ravni koje se nalaze u preklapajućim zonama kako bi se uspostavila veza između njih [52].

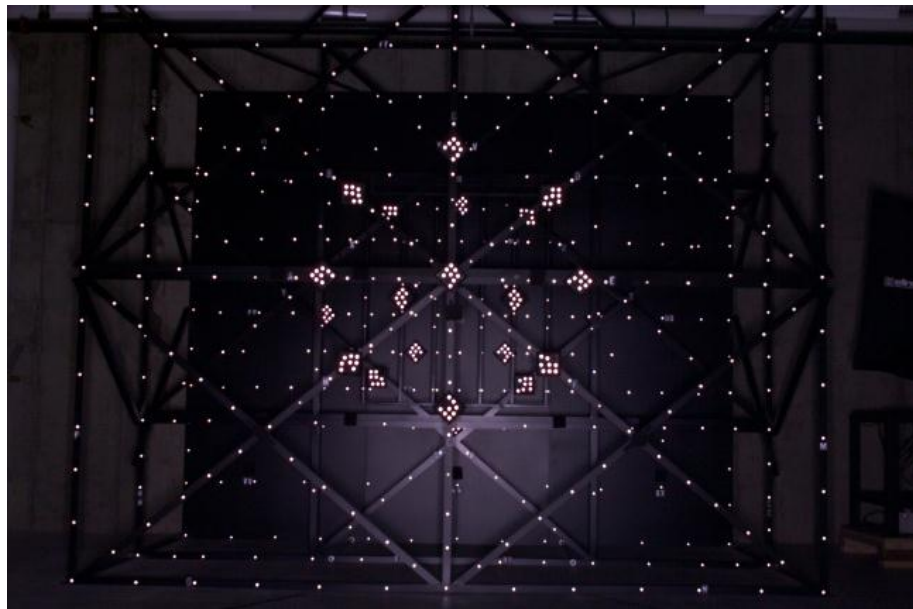
Za kalibraciju se bira samo podskup ravnih, i to one ravnih koje karakteriše glatkost i mala zakriviljenost. Nagnute ravnih sa malom zakriviljenosti definišu se kao krovovi, pri čemu se linija vrha krova definiše dodavanjem iste ravnih sa suprotnom orijentacijom. Ove linije se koriste kao dodatna informacija pri kontroli validnosti dobijenih rezultata [52].

Optimizacija parametara sistema postiže se izravnanjem po blokovima. Time se dobijaju korekcije parametara referentne ravnih i parametri instalacije i senzora. Kako su mnogi parametri visoko povezani, ne preporučuje se procena svih parametara istovremeno. Zaključeno je da grupisanje parametara i procenjivanje grupe parametara pojedinačno daju najbolje rezultate. Na taj način, postupak određivanja parametara može se sprovesti više puta, pri čemu će uvek jedan deo parametara biti fiksani i optimizovani, a drugi parametri izravnati [52].

Na osnovu dobijenih parametara preračunava se laserski oblak tačaka. Procene ravnih i linija krovova su ažurirane i generišu se konačni parametri i grafici u cilju procene kvaliteta. Kontrolne ravnih se mogu iskoristiti da bi se potvrdilo da procenjeni parametri kalibracije obezbeđuju optimalnu unutrašnju tačnost. Udaljenost od tačke do ravnih pre i posle izravnjanja se može koristiti za proveru kvaliteta. Offset vrhova krovova koristi se da bi se odredilo u kojoj se ravni ne uklapaju međusobno. Da bi se sprovedla potpuna procena kvaliteta, potrebne su kontrolne tačke koje se kod LiDAR-a definišu specijalnim metama [52].

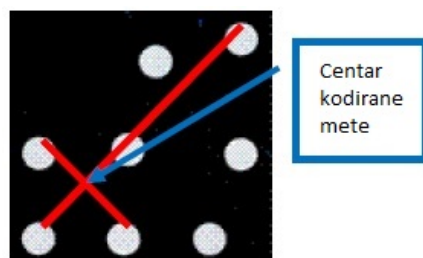
- Kalibracija UAV sistema

Pri bilo kakovom fotogrametrijskom postupku neophodno je tačno poznavanje parametara unutrašnje orientacije senzora, odnosno kamere. USGS EROS u Južnoj Dakoti koristi dve metode kalibracije kamere, i to kamera sa žižnom daljinom između 20 mm i 120 mm. Obe metode uključuju prikupljanje slika meta sa različitih lokacija i orientacija kamere. Istraživanjem je utvrđeno da su kalibracioni parametri dobijeni ovim dvema metodama dosta slični.



SLIKA 2.3: Aluminijumski kavez za kalibraciju

Postupak kalibracije koristi principe samokalibracije i zajedničkog izravnjanja kodiranih meta lociranih na aluminijumskom kavezu. Kavez se sastoји из три paralelna panela koji se sastoјe iz većeg broja cirkularnih reflektujućih meta i nekoliko kodiranih meta (Slika 2.3). Način rasporeda cirkularnih meta je takav da su pozicije kodiranih meta jedinstvene (Slika 2.4).



SLIKA 2.4: Kodirana meta

Svaka kodirana meta ima 5 tačaka pozicioniranih na isti način kao crvena linija na slici 2.4. Presek crvenih linija definiše se kao centar kodirane mete. Pri kalibraciji, udaljenost kamere do prednjeg panela zavisi od žižne duljine kamere i

dubine izabranog fokusa. Nakon što se prikupe slike u kavezu, podaci se obrađuju u softveru „Australis“ koji prepoznae rasporede 12 kodiranih meta i računa njihov centar. Softver zahteva najmanje 4 kodirane mete na svakoj slici koje su zajedničke i za druge slike. Na osnovu njih određuje se inicijalno relativna orientacija kamere. Nakon toga se koriste cirkularne metode kako bi se sprovelo zajedničko izravnanje i da bi se odredila geometrija sistema (sočiva, kamera i mete) [70].



SLIKA 2.5: Kutija za kalibraciju

Druga metoda koristi kodirane mete na maloj rigidnoj kutiji, te pri tome nema potrebe za velikim kalibracionim kavezom. Dizajn kutije dimenzija približno 24 inča (spoljašnja ivica) x 12 (unutrašnja ivica) inča prikazan je na slici 2.4. Unutrašnji zidovi kutije nisu vertikalni već nagnuti za oko 30° . Kodirane mete se nalaze na svim unutrašnjim površinama kutije. Dizajn sistema omogućava jednostavnost izravnanja slobodne mreže, koja ne zahteva spoljašnju kontrolnu strukturu. Prikuplja se ukupno 16 slika, 3 slike sa svake strane i po jedna slika sa sva četiri ugla. Slike se mogu takođe prikupiti u *landscape* i *portrait* modu [70].

U mnogim slučajevima je teško kreirati georeferencirani mozaik od mnogo malih slika dobijenih pomoću UAV sistema usled grešaka sadržanih u ovim jeftinijim senzorima navigacije. U cilju eliminisanja ovih grešaka definisana je metoda inverzne ortorektifikacije seta slika prikupljenih tokom leta pomoću GPA metode. GPA metoda pronalazi matricu transformacije između 3D koordinata kontrolnih tačaka na slici (okvir kamere) i geodetske pozicije istih tačaka na zemlji (navigacioni okvir). Nakon toga se računa centralna tačka skupa tačaka u oba koordinatna sistema i udaljenost svih tačaka do centralne tačke. Merena pozicija i orientacija kamere koriste se kao preduslovi metode. Poređenjem podataka inverzne ortorektifikacije i merenih podataka sa senzora, pronalaze se pozicija, orijentacija i mnoge greške, kao što su kašnjenje GPS-a, kašnjenje skladištenja i odstupanja. Ovom metodom greške ortorektifikacije smanjuju se sa 60 m na manje od 1,5 m [44].

Pri ovom postupku kalibracije, kontrolne tačke se najpre postavljaju na terenu bez neke pravilnosti kako bi se dobilo jedinstveno GPA rešenje. Nakon toga, ove tačke se lociraju pomoću GPS prijemnika. UAV sada preleće preko ovih tačaka sve dok ne dostigne predviđenu udaljenost od tačke. Kada se ta udaljenost dostigne, UAV se okreće i preleće još jednom preko te tačke. Nakon što UAV sleti, automatski se identifikuju mete na svim slikama. Pomoću lokacija mete na slici i na terenu, GPA

računa poziciju i orijentaciju UAV sistema na svakoj slici. Poređenjem ovih podataka sa podacima senzora omogućava se pronalaženje pozicije, orijentacije, odstupanja i kašnjenja [44].

Još jedna metoda primenjena za kalibraciju sistema jeste izrada mozaika od serijskih slika prikupljenih sa UAV sistema. Na osnovu poznatih parametara spoljašnje orijentacije kamere, originalne slike se rektifikuju geometrijski pomoću interpolacije metodom najbližeg suseda. Pri tome se najpre preklapajuće područje dve slike prenosi u binarnu sliku. U tom regionu se zatim pronalaze karakteristike koje se ekstrahuju. Pomoću XOR operacije dobijaju se moguće poklapajuće pozicije buduće slike. NC (Normalized Correlation) metoda koristi se u cilju potvrde validnosti optimalnih poklapajućih pozicija čime se dve uzastopne slike prenose u jednu sliku u vidu mozaika. Funkcija transformacije intenziteta između ove dve slike koristi se kako bi se izglaadio mozaik. Rezultati istraživanja prikazani u radu [33] pokazuju da se ova metoda izrade mozaika može efikasno primeniti u realnom vremenu u slučaju gustog detalja na području snimanja. Međutim, ukoliko se u području preklapanja dve slike ne nalazi puno karakteristika, ova metoda neće dati najbolje rezultate [43].

Poglavlje 3

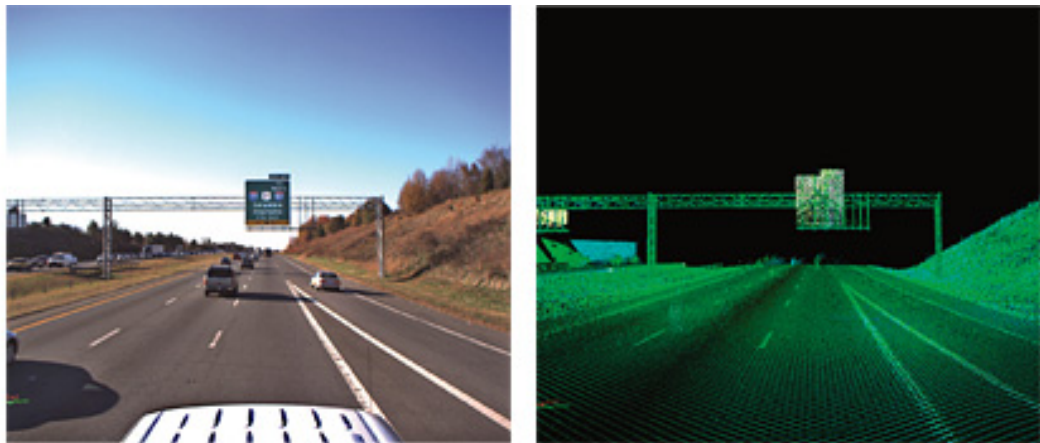
Oblasti primene savremenih tehnologija premera

Savremene tehnologije premera našle su primenu u mnogim oblastima gde su podaci o prostoru od fundamentalne važnosti. Kako bi se ilustrovala široka primena ovih tehnologija dovoljno je pomenuti da se one koriste čak i u kreiranju realističnih 3D okruženja za filmove, video-igre i obuke pilota, simulaciju kretanja uragana i njegovih efekata, simulaciju zagađenja vazduha usled određene havarije i dr. U nastavku rada biće navedene neke od najvažnijih primena savremenih tehnologija premera.

3.1 Primena savremenih tehnologija kod premera urbanih sredina za potrebe izrade topografskih planova državnog premera i inženjerskih projekata

Snimanje saobraćajnica u drumskom i železničkom saobraćaju od velike je važnosti kako za izradu projekata izvedenog stanja, tako i za projekte buduće rekonstrukcije i izgradnje. U tom slučaju LiDAR podaci se mogu koristiti za detektovanje oštećenja kolovoza, odrona, nagiba terena, potrebe projektovanja itd. Na slici 3.1 prikazana je jedna deonica auto-puta snimljena LiDAR sistemom. Sa leve strane nalazi se realna fotografija, a sa desne oblak tačaka.

Postupak prikupljanja podataka o terenu može biti realizovan konvencionalnim geodetskim metodama ili savremenim metodama prikupljanja podataka. Prikupljanje podataka konvencionalnim metodama zahteva značajne investicije u zavisnosti od veličine koridora koji je predmet snimanja i ono je u mnogim slučajevima limitirano ili nemoguće zbog samih aktivnosti na koridoru. Otežavajuće okolnosti za prikupljanje podataka na ovaj način mogu biti doba dana i saobraćajne gužve. Pored toga, tradicionalne metode premera mogu biti i veoma opasne u situacijama kao što su aktivni radovi na izgradnji ili održavanju koridora. Održavanje infrastrukture koridora uključujući i prateću infrastrukturu (trotoari, mostovi, tuneli, petlje, konstrukcije za odvodnjavanje, znakovi i dr.) zahteva

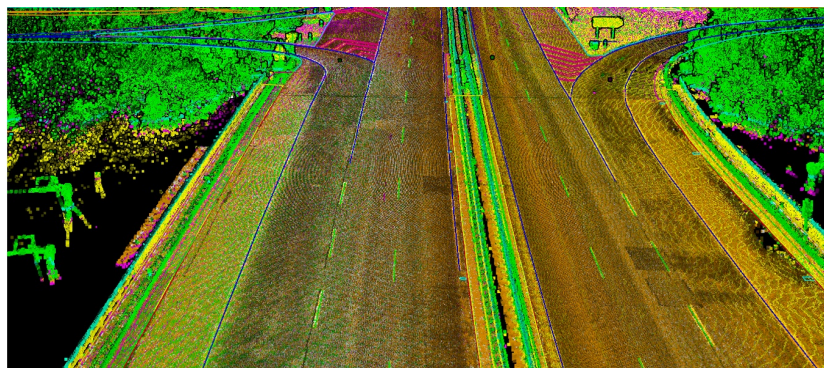


SLIKA 3.1: Mapiranje koridora

periodično praćenje. Aktivnosti na periodičnom prikupljanju takvih podataka koji će služiti za praćenje zahtevaju vreme i velika finansijska sredstva.

Moderne metode daljinske detekcije predstavljaju veoma isplativo i efikasno sredstvo za prikupljanje podataka o terenu i inventaru, kao i za praćenje i održavanje infrastrukture. LiDAR metoda prikupljanja podataka iz vazduha prepoznata je kao metoda koja omogućava brzo i isplativo prikupljanje veoma kvalitetnih podataka za velike površine terena. Ova metoda nudi niže troškove terenskih aktivnosti i troškove obrade podataka u odnosu na tradicionalne metode prikupljanja podataka, što je čini veoma privlačnom za različita istraživanja i obezbeđivanja podataka krajnjim korisnicima koji zahtevaju nižu cenu, visoku gustinu prikupljenih detalja i visoko kvalitetne i tačne proizvode visinske predstave terena i objekata. Sa trenutnim komercijalnim LiDAR sistemima moguće je snimiti preko hiljadu kvadratnih kilometara za manje od 12 sati i obezbediti georeferencirane podatke digitalnog modela terena u roku od 24 sata od završetka leta.

- Ground
- Low vegetation
- Medium vegetation
- High vegetation
- Buildings
- Walls
- Moving objects
- Noise-Low points
- Noise-Isolated points

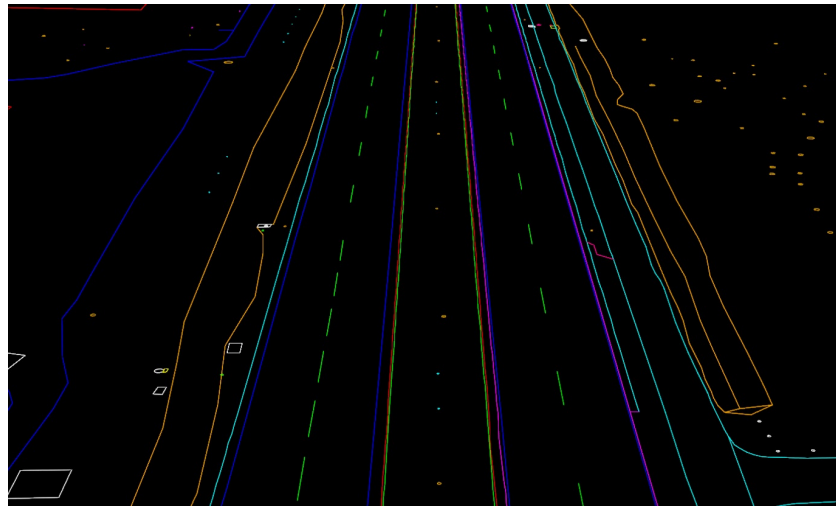


SLIKA 3.2: Klasifikovani oblak tačaka koridora auto-puta

Kao što je već rečeno, za potrebe kartiranja koridora, oblak tačaka je neophodno odrediti sa izuzetnom tačnošću i to sa velikom gustinom, kako bi se teren što detaljnije i tačnije predstavio. U skladu sa tim, LiDAR senzor se najčešće postavlja na helikopter ili sličnu platformu koja omogućava sporiji let, kao i let na nižim visinama.

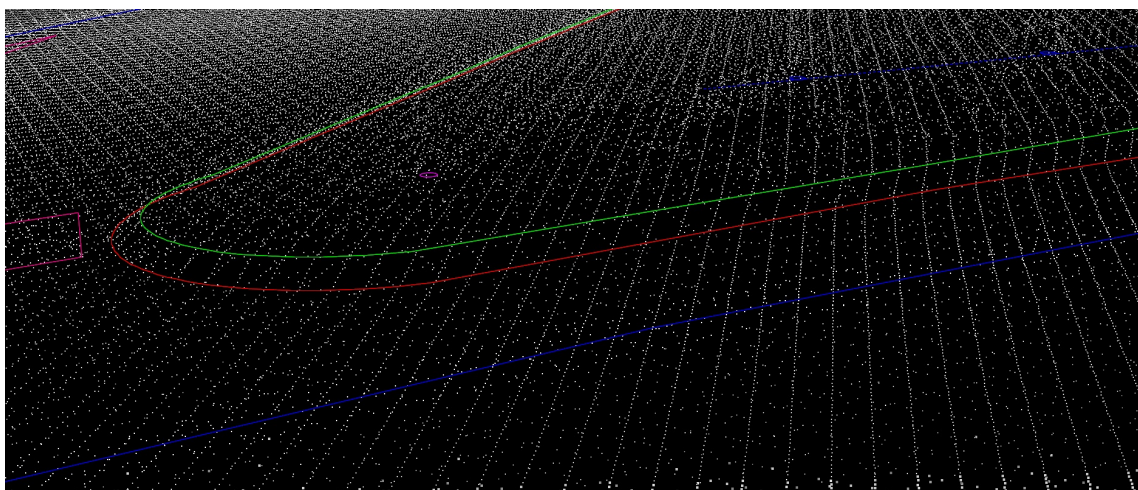
Sa takvim karakteristikama platforme i uz odgovarajuće podešavanje samog LiDAR sistema moguće je prikupiti oblak tačaka izuzetne tačnosti i gustine. Na slici 3.2 prikazan je klasifikovani oblak tačaka jednog dela koridora puta. Prikupljeni podaci su od izuzetne važnosti kod planiranja izgradnje koridora, pri izvođenju radova, pri detektovanju mesta kojima treba popravka i dr. Najčešće se za snimanje koridora puteva koriste LiDAR sistemi montirani na vozilo (*Street Mapper*) pri čemu se snimanje vrši u pokretu. Funkcionisanje ovih sistema je opisano u poglavlju 2.2.3.

Detaljnom obradom prikupljenih podataka vrši se ekstrakcija strukturalnih linija prostora u cilju generisanja preciznih *Cad* modela i podloga za projektovanje 3.3.



SLIKA 3.3: AutoCad model koridora auto-puta

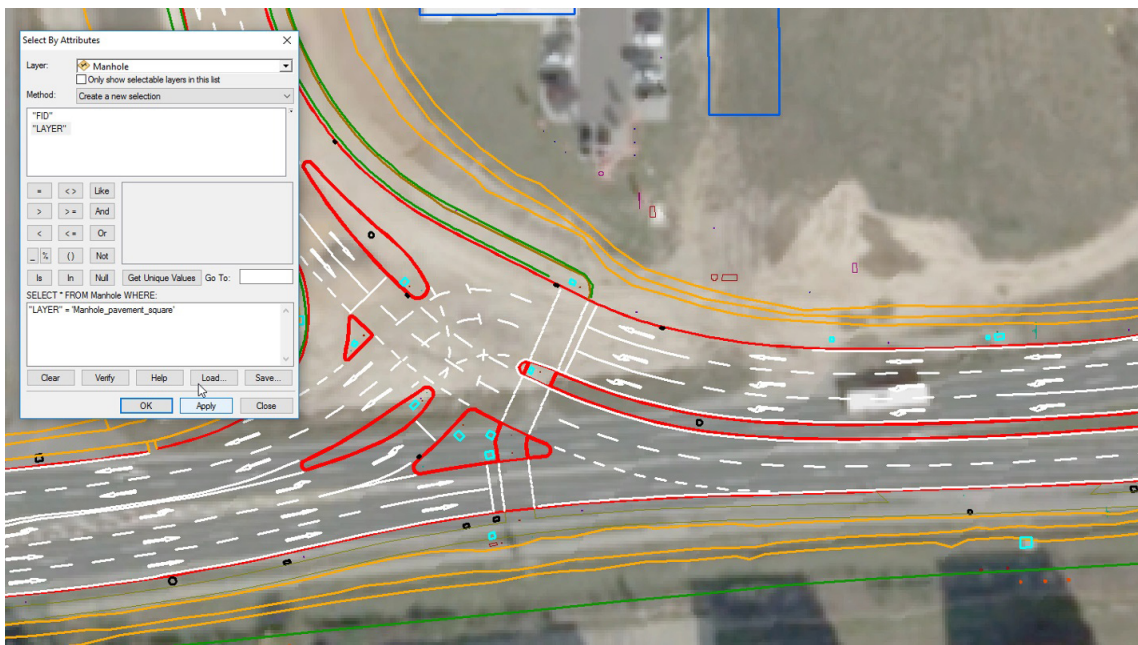
Posebna pažnja u obradi podataka posvećena je ekstrakciji strukturalnih linija ivičnjaka i kanala, za čije potrebe generisani oblak tačaka mora imati neophodnu gustinu tačaka kako bi ekstrakcija bila uspešna.



SLIKA 3.4: Ekstrakcija strukturalnih linija ivičnjaka

Na slici 3.4 dat je perspektivni prikaz jednog dela oblaka tačaka na kojem se vide ekstrakovane linije ivičnjaka.

Radi efikasnijeg i isplativijeg upravljanja infrastrukturom koridora kreiraju se GIS sistemi koji omogućavaju lakše definisanje lokacija, skladištenja atributivnih podataka i njihovo predstavljanje na kartama, razne analize i dr. Na slici 3.5 prikazana je GIS aplikacija koridora puta, na kojoj se vide različiti tipovi prikupljenih podataka i mogućnost kreiranja različitih vrsta upita.

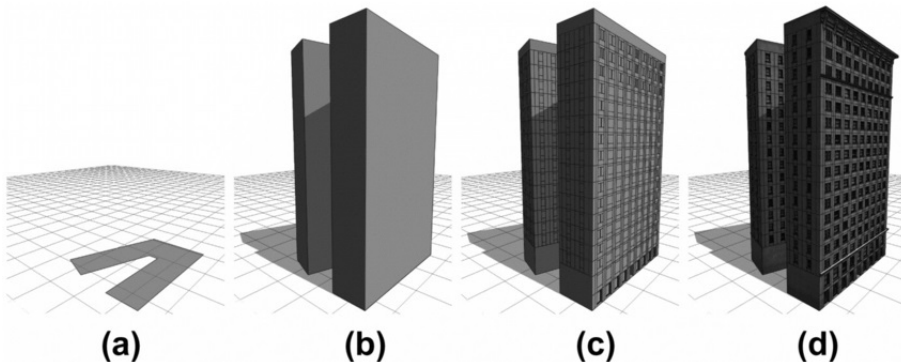


SLIKA 3.5: GIS aplikacija koridora puteva

3.2 Primena savremenih tehnologija premera za potrebe urbanizma i prostornog planiranja

Kreiranje modela urbanih područja ima veoma važnu ulogu u raznim aspektima savremenog života, kao što su upravljanje životnom sredinom, prostorno planiranje, nadzor i kontrola šteta nastalih usled elementarnih nepogoda. Savremene tehnologije prikupljanja 3D podataka, kao dokazano efikasne tehnike, stekle su veliku popularnost u generisanju i rekonstrukciji modela objekata. U poslednjih 15 godina došlo je do ubrzanog razvoja automatskih i poluautomatskih procedura za generisanje 3D modela urbanih područja. Pri generisanju ovakvih modela moguće je koristiti pomoćne podatke, kao što su georeferencirani aviosnimci, digitalni ortofoto, 2D katastarski planovi i dr.

Kreirani 3D model objekata predstavlja generalizovan i umanjen virtualni prikaz realnog objekta. Rezolucija u kojoj će model biti prikazan, predstavlja veličinu aproksimacije modela objekta i stvarnog objekta. Na slici 3.6 prikazan je jedan 3D model objekta u različitim nivoima detaljnosti. Prvi nivo detaljnosti (a) predstavlja jednostavan digitalni model površi sa vidljivom osnovom objekta; nivo detaljnosti



SLIKA 3.6: Modeli objekata – prikaz različitih nivoa detaljnosti modela

pod (b) predstavlja strukturu blokova objekata bez informacija o krovu objekata i ostalim detaljima; nivo detaljnosti pod (c) predstavlja strukturu blokova objekata kombinovanu sa informacijama o krovovima objekata; nivo detaljnosti pod (d) daje detaljne informacije o fasadi objekta.

Ukoliko govorimo o 3D modelima objekata generisanih od podataka dobijenih LiDAR sistemima premera iz vazduha, uglavnom se radi o modelima sa nižim nivoom detaljnosti jer se tačke dobijene ovom metodom uglavnom odnose na krovove objekata pa kreirani modeli vrlo retko sadrže informacije o fasadama. U skladu sa tim, razvoj metoda za automatsko generisanje objekata iz LiDAR podataka je uglavnom fokusiran na razvoj algoritama za ekstrakciju geometrijskih oblika krovova. U kombinaciji sa drugim parametrima kao što su lokalne varijance i morfološke karakteristike i primenjujući specifične algoritme moguće je veoma pouzdano detektovati i generisati objekte [80].

Kreirani modeli urbanih područja koriste se i za potrebe procene vrednosti nepokretnosti, u detekciji promena nastalih usled gradnje novih i uklanjanju postojećih objekata. Svoju primenu nalaze i kod planiranja sistema drenaža i vodova u gradskim područjima. Detaljne i precizne topografske podatke, neophodne za navedene primene gotovo je nemoguće prikupiti konvencionalnim metodama prikupljanja podataka usled neprestanih aktivnosti koje diktira urbani način života. Glavne karakteristike LiDAR metode prikupljanja podataka kao što su tačnost, gustina i brzina prikupljanja su karakteristike koje čine ovu metodu nezaobilaznom u kreiranju geoinformacionih sistema urbanih područja koji služe za vizuelizaciju, planiranje, dr.

3.3 Primena savremenih tehnologija premera kod prikupljanja podataka za izradu DTM-a

Jedna od najbitnijih oblasti primene savremenih tehnologija premera je svakako DTM kao osnova mnogih vrsta projektovanja. Izvori podataka, kao i metode izrade DTM-a, značajno su evoluirale tokom proteklih 20 godina, od premeravanja i konverzije topografskih mapa u digitalni oblik do metoda daljinske detekcije, LIDAR i RADAR podataka. Ustanovljene su tri osnovne klase podataka DMT-a:

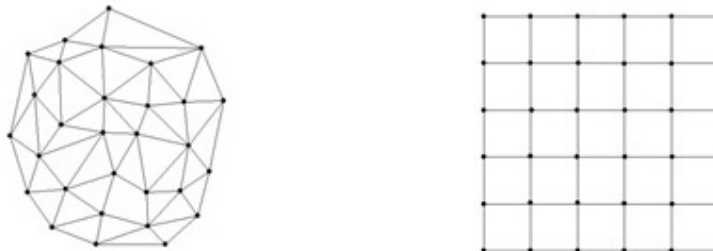
1. podaci prikupljeni metodama premeravanja terena (upotreba elektronskih teodolita, totalnih stanica i GPS uređaja);
2. podaci dobijeni sa postojećih topografskih podloga (digitalizacija i prevodenje topografskih podloga u digitalni oblik);
3. daljinska detekcija (avionska i satelitska fotogrametrija, stereo-metode, laserski sistemi).

Raspolaganje sa potpunim, verodostojnim, jednostavnim za korišćenje i pravovremenim informacijama o geografskim pojavama i činiocima i njihovim uticajima, uslov su donošenja pravilnih odluka prilikom izvršavanja različitih zadataka u različitim situacijama. Dosadašnji pristup prostoru ograničavao se na više ili manje statične informacije, da bi razvojem i uvođenjem GIS tehnologija mnogi, uslovno, neprostorni podaci dobili prostorno značenje. Time je načinjen skokoviti prelaz na kvalitativno viši nivo prikupljanja, čuvanja, analize i prezentacije geografskih informacija. Posebno veliki napredak učinjen je u digitalnom prezentovanju topografske površine i grafičke vizuelizacije njenih morfometrijskih elemenata. Ranije su se skoro svi postupci geomorfometrijskih proračunavanja izvodili manuelno, uglavnom koristeći topografske karte određene razmere. To je zahtevalo dosta vremena i npora, a preciznost i tačnost dobijenih rezultata bila je subjektivno određena. Sada kvantitativna analiza reljefa, na osnovu izrađenih digitalnih modela, omogućava znatno brže, kvalitetnije, kompleksnije i preciznije sagledavanje topografske površine. Kada se posmatra samo vizuelna strana digitalnog modela, njihova prednost jeste u tome da pružaju stvarni doživljaj prostora (vizuelizaciju). Naime, moguće je zumirati i proizvoljno rotirati posmatrani prostor, podešavati pozicije i objekte posmatranja, što omogućava potpuni uvid u situaciju na terenu za samo nekoliko sekundi. Međutim, stvarna namena digitalnog modela je izvođenje brojnih složenih morfometrijskih analiza u okruženju GIS alata: automatskom izračunavanju površina, automatskom iscrtavanju uzdužnih i poprečnih profila, sagledavanju ekspozicije padina, izračunavanju nagiba reljefa, analizi konkavnih površina, analizi dogledanja i drugog. Prednost navedenog načina analize je očigledna. Pre svega, prednost je u uštedi vremena, a takođe i u tačnosti dobijenih podataka.

Osnovni i do sada najširi primenjivani vid prikaza terena je topografska karta. Ona predstavlja bogat izvor podataka o svojstvima reljefa neophodnim za kvantitativnu i kvalitativnu analizu. Topografska karta može se javiti u dva suštinski različita vida. Prvi, konvencionalni način predstavljanja terena obuhvata prikaz reljefa izohipsama i drugi, savremeniji prikaz terena, nastao sa razvojem računarske tehnike, jeste digitalni model terena (DTM). Sam DTM predstavlja matematički definisanu kontinualnu površ u digitalnom obliku koja reprezentuje teren. To podrazumeva da se radi o „modelu“ terena u kojem je površ egzaktno matematički definisana i koji omogućava dobijanje vrednosti površi u svim tačkama terena, a ne samo u tačkama u kojima su izvršena merenja. To se obično izvodi primenom neke od metoda interpolacije. Na ovako definisanom digitalnom modelu terena, korišćenjem standardnog GIS alata, moguće je izvoditi sve željene proračune: visina za datu poziciju u horizontalnom smislu, vrednost nagiba u zadatoj tački, pravac maksimalnog nagiba, krivina (zakrivljenost) površi u zadatoj tački, vizuelizacija

modela terena, geostatistička analiza i drugo. Dakle, DTM predstavlja verno prikazan matematički model površi terena koji omogućava razne analize. Da bi se analize mogle efikasno izvoditi, imajući u vidu da se DTM sastoji od velike količine podataka, potrebna je posebna organizacija i struktura podataka. U suštini, sam proces formiranja DTM-a sastoji se iz izbora i implementacije odgovarajuće strukture i organizacije podataka i odgovarajuće metode interpolacije.

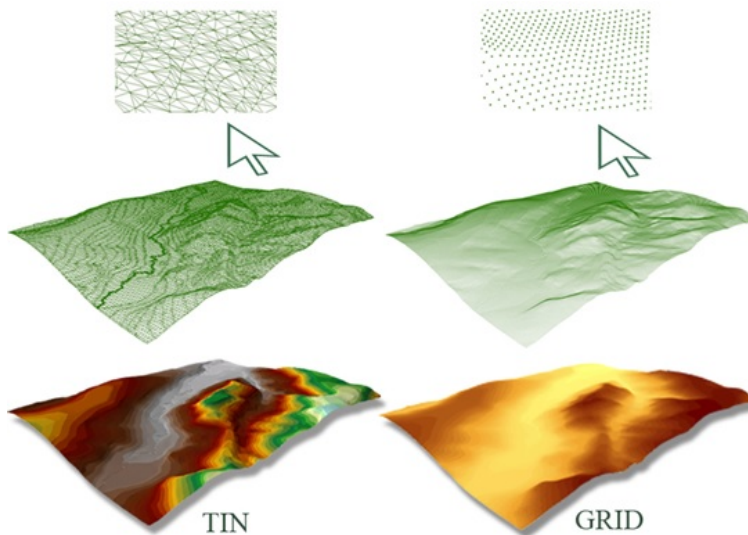
Najpoznatiji i najrasprostranjeniji modeli terena su modeli zasnovani na gridnoj (rasterskoj) strukturi i digitalni modeli bazirani na TIN (Triangulated Irregular Network) strukturi podataka. Grid (pravilna mreža) predstavlja najjednostavniji način i najčešće primenjivani način za predstavljanje površi terena. Predstavljanje terena preko grida sastoji se u tome da se površ terena predstavi preko skupa tačaka sa poznatim visinama uređenim u pravilnu mrežu tačaka. Za razliku od običnog rasterskog formata, gde vrednost piksela prikazuje određenu boju, kod grida svaki piksel ima vrednost nadmorske visine. Prednosti ovakog načina predstavljanja terena jeste da se za manipulaciju DMT-om mogu koristiti jednostavne operacije i formati zapisa podataka koji se standardno primenjuju u oblasti GIS-a. Glavni nedostatak grida je to što nije prilagođen za predstavljanje karakterističnih zemljišnih objekata zadovoljavajućom tačnošću. Naime, prelomne linije terena, vododelnice, vodoslivnice, vrhovi, dna i sitni zemljišni oblici ne mogu se na ovaj način dovoljno tačno modelovati. Zato optimalni izbor veličine elemenata grida (rastera) predstavlja važan faktor, koji u velikoj meri utiče na kasniju obradu podataka i kvaliteta dobijenih podataka. S obzirom na razvoj performansi računarskih komponenti, nedostaci grid DTM modela su sve manje izraženi (Slika 3.7).



SLIKA 3.7: TIN i grid modeli

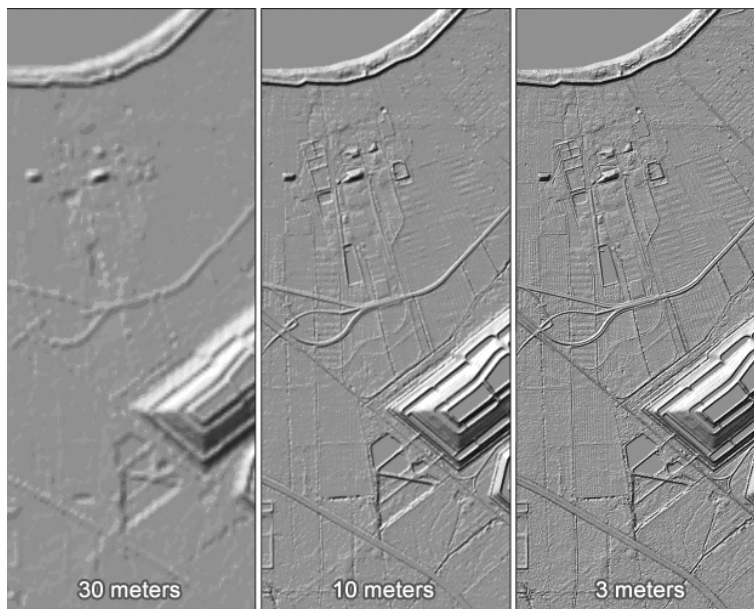
TIN pripada grupi nestrukturiranih mreža, a njihovo korišćenje za modelovanje DTM-a je veoma zastupljeno u brojnim GIS softverskim paketima. Kod ovog modelovanja površi terena čvorovi TIN-a su tačke trouglova sa poznatim visinama. Trouglovi TIN-a su međusobno povezani u kontinuitetu, tako da što bolje aproksimuju površ terena. Glavna prednost TIN strukture podataka, u odnosu na grid, jeste što se TIN vrlo lako prilagođava svim vrstama ulaznih podataka i raznim oblicima terena, dok osnovni nedostatak modelovanja TIN-a, s obzirom na nepravilnu strukturu podataka, jesu komplikovani algoritmi za obradu podataka (Slika 3.8).

Do pojave UAV i LiDAR sistema, primarne metode za prikupljanje podataka bile su tahimetrija i GPS. Te metode se koriste kao primarne metode za prikupljanje podataka, posebno za mikrolokacije i projekte koji zahtevaju visoku tačnost. Nisu



SLIKA 3.8: TIN i grid vizuelizacija

efikasne za premeravanje većih površina i, u poređenju sa savremenim tehnologijama premera, neuporedivo su sporije.



SLIKA 3.9: Prikaz različitih rezolucija DTM-a

Metoda koja se koristila za rapidno prikupljanje podataka na većim površinama je fotogrametrijska metoda koja uz pomoć odgovarajućeg preklopa digitalnih fotogrametrijskih snimaka ima mogućnost generisanja oblaka tačaka velike gustine. Problemi prilikom upotrebe ove metode javljaju se kod snimanja područja koja su obrasla vegetacijom i šumom. Takođe, problemi se javljaju pri obradi podataka koji su pokriveni senkom, gde je automatska i vizuelna identifikacija skoro nemoguća.

Pored ovih problema, koji su razmatrani u prethodnim poglavljima, UAV sistemi su veoma pogodni za mapiranje područja koja nisu obrasla vegetacijom kao što su površinski kopovi rudnika. Na ovaj način se jednostavnim snimanjima u iteracijama između perioda iskopa, može doći do DTM-a iz svake faze napredovanja radova. Analize i mogućnosti koje proizlaze iz ovakvog načina snimanja su višestruke, a jedna od mogućnosti je i računanje kubatura iskopa, za šta se najčešće i koriste ovakvi sistemi.

Sa druge strane, prednost LiDAR sistema je u tome što emitovani laserski zrak može imati višestruku refleksiju signala, što je objašnjeno u potpoglavlju 1.6.1.4.1. Po završetku snimanja dobijamo veoma detaljan oblak tačaka sa već razdvojenim klasama (na primer, tačaka terena i vegetacije). Primenom dodatnih algoritama klasifikacije kreiramo klasu tačaka terena koja je osnova dobijanja korektnog DTM-a. Od gustine snimljenih tačaka, tačnosti klasifikacije i kreiranja ove klase zavisi i rezolucija i tačnost kreiranog DTM-a, što se vidi na slici 3.9, na kojoj su prikazani modeli rezolucije 30 metara, 10 metara i 3 metra.

Jedna od značajnijih oblasti u kojima važnu ulogu igra kvalitet DTM-a je zaštita od poplava. U današnje vreme promena klimatskih uslova na teritoriji cele planete, poplave su postale pitanje od sve većeg značaja širom sveta. One su sve češće, a njihove posledice sve ozbiljnije. Uzrokovane su kao posledica sve većih padavina uslovljenih novim klimatskim promenama. Sa druge strane, rizik od poplava u urbanim područjima je sve veći. Nastaje kao posledica povećane izgradnje na plavnim područjima, kao i zbog kontinualnog razvoja korišćena zemljišta. Zbog gore navedenog, dolazi do oticanja voda u površinskim slivovima i u kanalizacijama čime se značajno povećava rizik od poplava u urbanim sredinama.

Glavni sastavni deo svih hidrauličkih modela i proračuna je DTM koji igra važnu ulogu u automatskoj ekstrakciji hidroloških karakteristika, čime doprinosi efikasnosti procesiranja i povećanoj tačnosti. Bitno je napomenuti da tačnost hidroloških modela direktno zavisi od tačnosti i rezolucije DTM-a. Po svim ovim parametrima LiDAR metoda se izdvaja kao primarna metoda koja obezbeđuje najbolju tačnost i gusinu prikupljenih podataka kao i zbog svoje isplativosti kod snimanja većih površina.

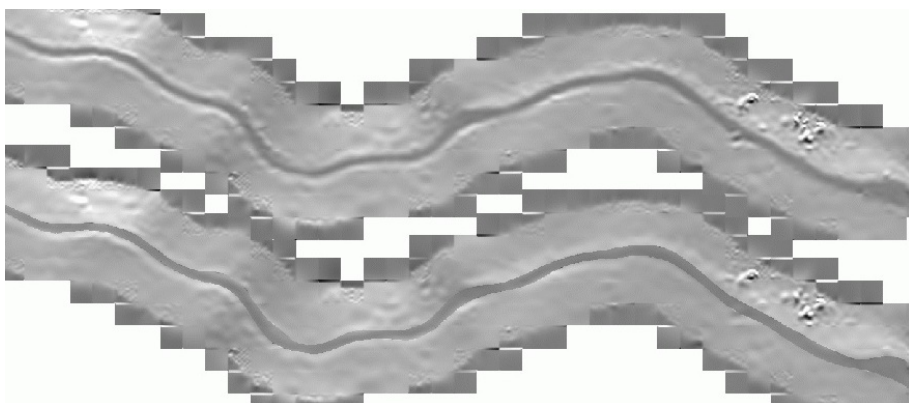
Za potrebe preciznih hidrauličkih proračuna neophodno je imati precizno definisane strukturne linije rečnih korita i nasipa. Georeferencirani ortofoto-planovi područja reka mogu biti iskorišćeni za dobijanje preciznih strukturnih linija rečnih korita i nasipa. Strukturne linije obrađene na ovaj način omogućavaju popravljanje DTM-a u široj zoni projekta i njegovu kalibraciju u zonama očekivanih plavnih površina (Slika 3.10). Na slici 3.11 prikazan je primer integracije strukturnih linija u DTM. U gornjem delu slike 3.11 prikazan je model bez integrisanih strukturnih linija, dok je na slici ispod prikazan model sa integrisanim strukturnim linijama.

Metoda automatizovane digitalne fotogrametrije upotrebom UAV sistema, takođe je primenljiva kod ovakve vrste problema. UAV sistemi se uveliko koriste za potrebe mapiranja, ali je neophodno istaći njihov glavni nedostatak koji dolazi do izražaja kod područja koja su prekrivena vegetacijom. U takvim slučajevima koristi se kombinacija ove i neke druge metode snimanja.

Značajno unapređenje performansi hidroloških modela postiže se implementiranjem koeficijenata trenja na mikrolokacijama. Ovo se postiže integrisanjem objekata i ostale nadzemne infrastrukture koju je moguće obezbediti



SLIKA 3.10: Zona očekivanih plavnih površina



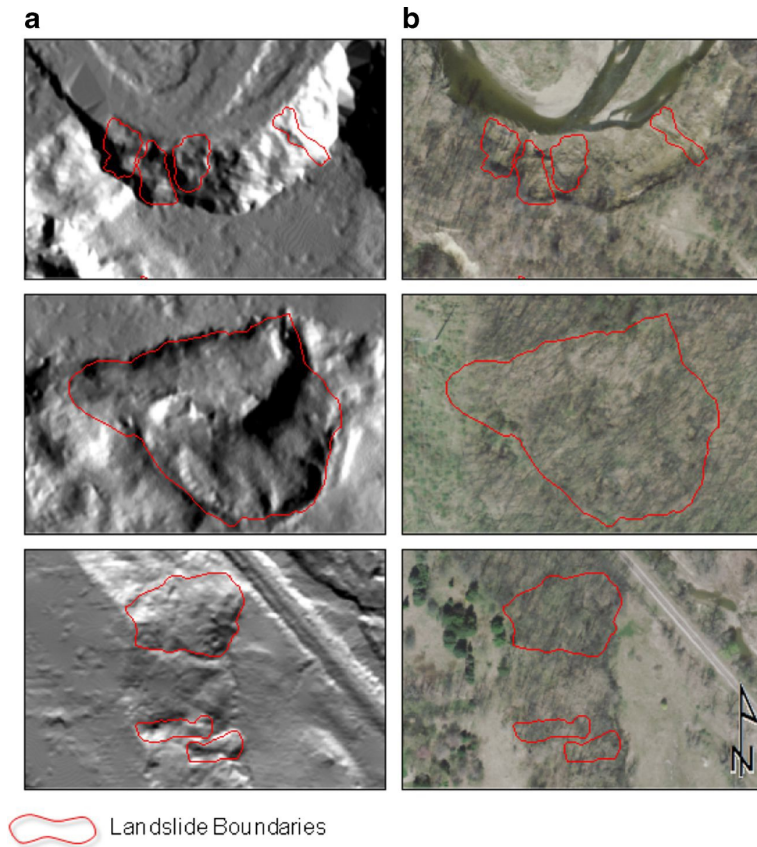
SLIKA 3.11: Integracija strukturnih linija u DTM-u

LiDAR snimanjem. Sa ovakvim podacima i detaljnim DTM-om, imamo mogućnost vršenja simulacija poplava i odbrane od poplava.

Još jedna bitna oblast primene, značaja i važnosti DTM-a je zaštita i saniranje klizišta. Ona predstavljaju izvor čestih i stalnih deformacija na površini Zemlje. Efekat klizišta ima vrlo važne društvene i ekonomski posledice na ljudsko društvo u celini, pa je njihovo kontinuirano praćenje obaveza savremenog društva.

Pre postojanja savremenih tehnologija premera, kao što su LiDAR, UAV, RADAR i fotogrametrija, praćenje klizišta bilo je zasnovano na opažanju pojedinačnih tačaka. Za ove potrebe koristile su se totalne stanice i GPS uređaji. Na taj način se monitoring vršio samo na pojedinačnim tačkama na onim mestima koja su proglašena mestima visokog rizika. Ipak, na taj način nije bilo moguće dobiti kompletну sliku pomeranja koja je od velikog značaja za razumevanje kinematike klizišta i utvrđivanje trenda pomeranja [40].

DTM modeli generisani LiDAR sistemima koriste se za identifikaciju klizišta kroz modele visoke rezolucije (*hillshade*) u kombinaciji sa mapama nagiba i konturama. *Hillshade* je primarni set podataka kada govorimo o mapiranju klizišta i dobija se iz DTM-a sa određenim parametrima osvetljenja. Korišćenjem ovakvih derivata DTM-a, dobija se 3D pseudoslika pejzaža. Osvetljenje i senčenje koriste se za naglašavanje geomorfoloških funkcija klizišta [28].



SLIKA 3.12: Vizuelizacija klizišta

Efikasnost LiDAR izvedenih proizvoda, posebno obojenih mapa reljefa, omogućava veće poverenje u tumačenju klizišta i obezbeđuje više podataka za analiziranje u odnosu na tradicionalne metode i fotogrametrijska tumačenja [28]. Glavna prednost LiDAR sistema kod mapiranja i analiziranja klizišta je vizuelizacija terena kroz više kombinacija, što omogućava bolje razumevanje tih procesa i dovodi do mogućnosti predikcije i sprečavanja šteta većeg obima (Slika 3.12). Sa napretkom tehnologije radi se na poboljšavanju postojeće metode praćenja i saniranja klizišta, ili na uspostavljanju novih, gde je LiDAR tehnologija svakako nezaobilazna.

Sa druge strane, UAV sistemi su se pokazali kao pogodno rešenje za dokumentovanje klizišta, analizu pomeranja i tipova pukotina. U Francuskoj je vršeno snimanje terena pogodeno klizištem Super-Sauze. Pomoću UAV sistema prikupljene su slike i kreiran je ortomozaik visoke rezolucije celog klizišta, kao i digitalni modeli terena. Procenjena je mogućnost korišćenja UAV sistema za predstavljanje pukotina i pomeranja površine klizišta. Za klizište Super-Sauze izmereno je horizontalno pomeranje od 7 m do 55 m na osnovu ortofoto-snimaka iz maja 2007. i ortomozaika dobijenog pomoću UAV sistema oktobra 2008. godine, što daje dnevno pomeranje od oko 0,1 m do 0,01 m. Na osnovu svih informacija identifikovana su područja perzistentnih deformacija [60].

Drugi primer primene UAV sistema kod praćenja klizišta je nestabilno područje u opštini La Guardija na jugu severne pokrajine Alava u Španiji. To područje je snimano od 2012. do 2014. godine. Izvršeno je upoređenje dobijenih podataka

sa podacima prethodnih konvencionalnih, aerofotogrametrijskih i LIDAR snimanja. UAV je opremljen GPS-om i INS jedinicom; visina leta je oko 90 m, što je omogućilo pokrivanje područja od oko 250 m x 100 m sa veličinom piksela 2,5 cm. Orientacija UAV leta sprovedena je pomoću kontrolnih tačaka na zemlji merenih pomoću GPS-a, dok je prethodno snimanje direktno georeferencirano u okviru pozicije leta i podataka inercijalne jedinice. Nekoliko kontrolnih tačaka iskorišćeno je kako bi se svi snimci preveli u isti referentni sistem. Digitalni modeli svih snimanja su napravljeni na osnovu automatske korelacije slike, pa su na osnovu njih sračunati diferencijalni modeli kako bi se odredila horizontalna i vertikalna pomeranja tačaka. Izvršena je i analiza veza razmeštaja i padavina u poslednje vreme na tom području. Na slici 3.13 prikazani su ortofoto-snimci i dobijeni vektori pomeranja tačaka između 2010. i 2012 godine. [25].

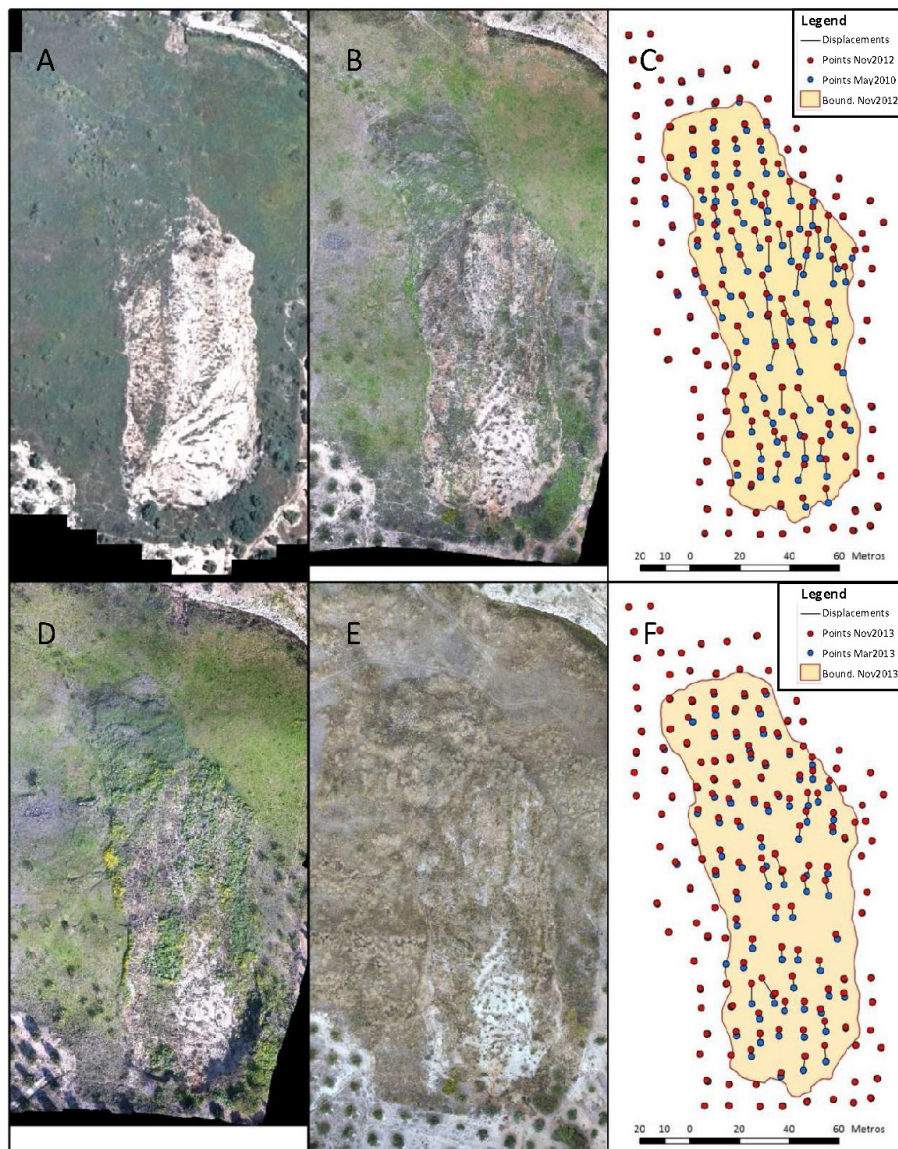
3.4 Primena savremenih tehnologija premera za potrebe izrade topografskih podloga šumskih područja.

Daljinska detekcija predstavlja jedan od primarnih alata za analizu šumskih sistema. Pored savremenih tehnologija premera, postoji mogućnost snimanja konvencionalnim metodama, ali sa neuporedivo manje detalja i za neuporedivo duži vremenski period. Oblak tačaka, kao primarni produkt generisan LiDAR sistemom, bilo na avionskoj ili helikopterskoj platformi, može biti korišćen za potrebe određivanja broja stabala u šumama, merenje prečnika stabala, merenje prečnika krune drveta, određivanje zapremine biomase, razdvajanje zimzelenu i četinarskih šuma itd. (Slika 3.14).

U novije vreme, uz razvijanje senzorske tehnologije koja je napredovala i dobila mogućnost postizanja bolje rezolucije kao i LiDAR sistemi, postalo je moguće detektovati individualna stabla [41]. Kako je opisano u [41], za potrebe određivanja položaja pojedinačnih stabala u mešovitoj šumi četinara korišćeni su vektorski podaci i algoritam za segmentaciju oblaka tačaka, rasterski podaci OBIA (Object-Based Image Analysis) i CHM (Canopy Height Model) (Slika 3.15).

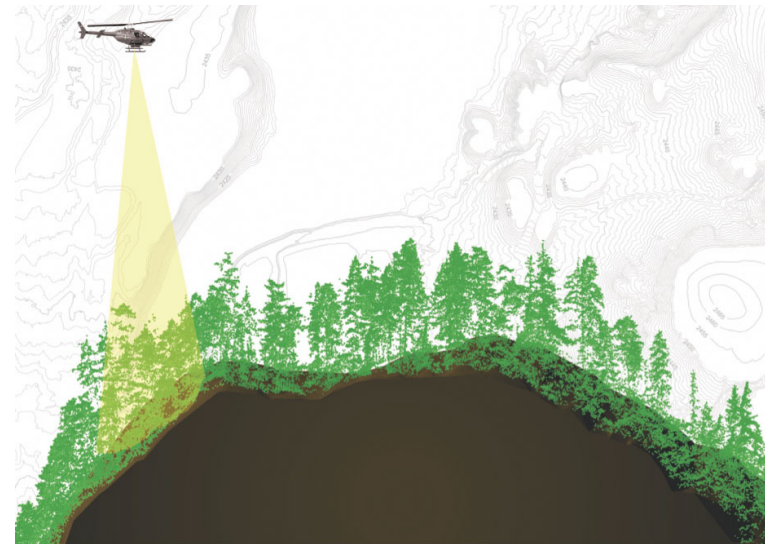
Osnovni principi inventarizacije šumskih prostora zasnovani su na uporednoj analizi oblaka tačaka. Analizom DMT-a i DSM-a (o čemu je bilo reči u potpoglavlju 2.2.2) moguće je odrediti visinu vegetacije u šumskim područjima. Naime, prvi odbitak potiče od krošnje drveta (najviše tačke), dok poslednji potiče od površine zemlje (najniže tačke). Detektovanje zimzelene i četinarske vegetacije moguće je ciljnim snimanjima područja. Ukoliko je LiDAR snimanje izvršeno u zimskom periodu (periodu smanjene vegetacije), moguće je detektovati zimzelene šume zahvaljujući činjenici da se lišće na ovom tipu vegetacije zadržava i u toku zimskog perioda. Kod zimzelenu šuma, u poređenju sa četinarskim, slabija je penetracija lasera usled veće količine lišća, dok je broj tačaka dobijenih iz prvog odbitka znatno veći kod zimzelene nego kod četinarske vegetacije.

Rezultati primene savremenih metoda premera za potrebe inventarizacije šumskih područja direktno zavise od nekoliko parametara. Jedan od glavnih parametara je homogenost podataka. Ukoliko su obezbedene homogenost i dovoljna

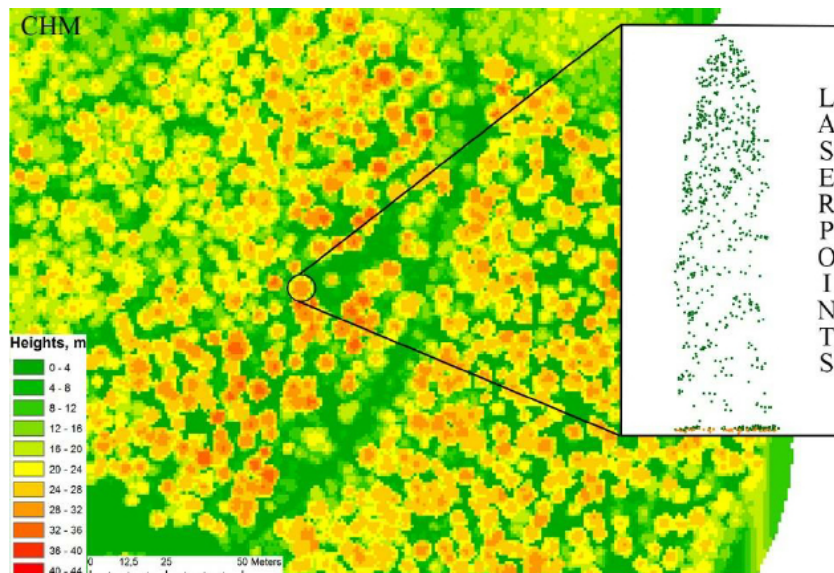


SLIKA 3.13: Ortofoto i detektovana pomeranja klizišta u Španiji: A – maj 2010, B – novembar 2012, C – vektori pomeranja (maj 2010 – novembar 2012), D – mart 2013, E – novembar 2013, F – vektori pomeranja (mart 2013 – novembar 2013)

gustina oblaka tačaka, obezbeđena je i homogenost strukture šuma, pa su procesi automatske obrade uspešniji. Gustina generisanog oblaka tačaka i doba godine u kome je izvršeno prikupljanje podataka imaju vežnu ulogu u inventorizaciji šumskog prostora. Kao primer za to, kvalitet i upotrebljivost generisanih podataka kod snimanja područja pokrivenih četinarskom i zimzelenom šumom direktno zavise od doba godine kada je izvršeno snimanje. Obrada generisanih podataka i klasifikacija oblaka tačaka za potrebe izrade DTM-a i DSM-a direktno utiču na kvalitet modela, od čega zavise i rezultati budućih analiza.



SLIKA 3.14: Snimanje šumskih područja LiDAR sistemom

SLIKA 3.15: *Canopy Height Model*

3.5 Primena savremenih tehnologija premera za potrebe snimanja i projektovanja dalekovoda

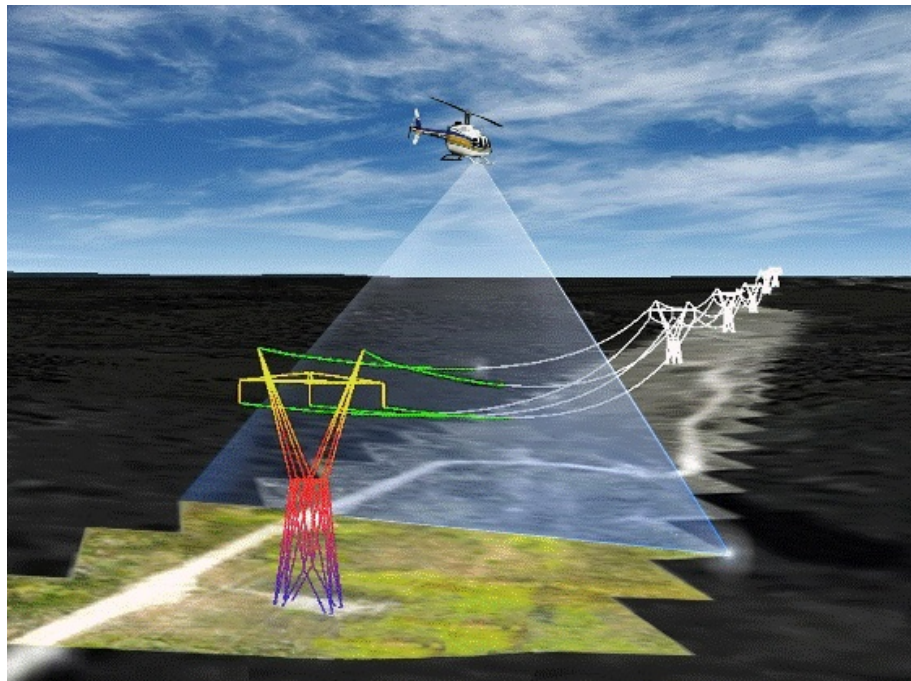
Pod pojmom snimanja nadzemnih instalacija podrazumeva se snimanje dalekovoda, visokonaponske i niskonaponske mreže, snimanje gasnih postrojenja itd.

U slučaju dalekovoda, neophodno je da se vegetacija koja se nalazi u njihovoj blizini redovno nadgleda. Vegetacija može porasti do visine dalekovoda što dovodi do kratkotrajnog preopterećenja i požara. Ovakav scenario, naročito u vetrovitom području, može dovesti do kompletног prekida dalekovoda. Metodologija snimanja i

praćenja stanja dalekovoda, pored snimanja i inspekcije stanja stubova, podrazumeva snimanje i vektorizaciju žica.

U gasnim postrojenjima predmet snimanja su cevi za distribuciju gasa, a u naftnim cevi za distribuciju nafte itd. Konvencionalne metode premera u ovoj oblasti, ili su davale loše rezultate ili nisu bile primenljive, pa je pojava savremenih tehnologija premera, kao što su LiDAR i UAV, uvela i nove standarde.

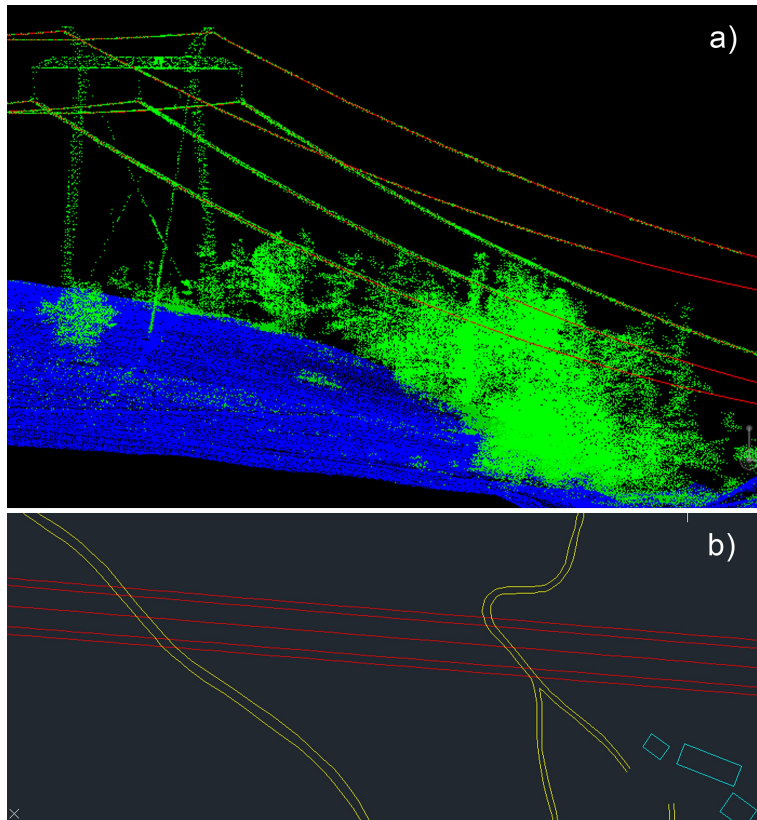
Dalekovodi su često smešteni na najnepristupačnijim terenima što zahteva nisku visinu leta i mogućnosti lakšeg upravljanja letelicom. Za ove potrebe izbor helikoptera kao platforme za LiDAR sistem je pravo rešenje. Korišćenje helikoptera za snimanje nadzemnih vodova pokazalo se kao mnogo efikasnije od aviona ili drugih letelica sa fiksnim krilima. Prednost je u tome što pilot može lako pratiti trasu voda, pozicionirajući se direktno iznad kablova za električno napajanje ili cevovoda (ako su u pitanju gasna ili druga postrojenja) u svakom trenutku i po potrebi izvršiti kruženje oko stuba dalekovoda radi vizuelne ispekcije (Slika 3.16).



SLIKA 3.16: Helikopter kao platforma za snimanje koridora dalekovoda LiDAR sistemom

Nakon završenog snimanja LiDAR sistemom sledi postupak obrade podataka koja podrazumeva klasifikaciju oblaka tačaka i ekstrakciju strukturnih linija prostora. U ovom slučaju, kod snimanja dalekovoda i niskonaponskih mreža, primarni cilj je vektorizacija žica i modelovanje stubova dalekovoda. Postupak klasifikacije započinje odvajanjem klase tačaka terena koja služi za kreiranje DTM-a, ali i kao osnova za dalju klasifikaciju i kreiranje klasa niske, srednje i visoke vegetacije.

Na slici 3.17 a) prikazan je klasifikovani oblak tačaka. Plave tačke predstavljaju tačke terena, dok zelene tačke predstavljaju klasu srednje vegetacije. Na osnovu odvojenih tačaka, koje predstavljaju žice dalekovoda, koriste se algoritmi koji su mogućnosti da vektorizuju žice dalekovoda. Na tržištu postoje razni softveri i

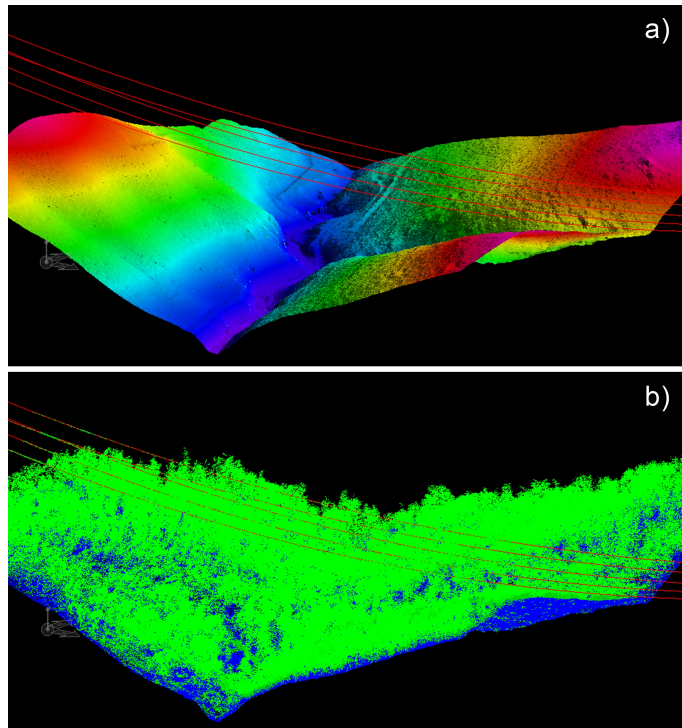


SLIKA 3.17: Klasifikovani oblak tačaka - snimanje dalekovoda: a) klasifikovani oblak tačaka snimljenog dela trase dalekovoda, b) ekstrahovane strukturne linije puteva (žuta boja), konture objekata (plava boja) i vektorizovane žice dalekovoda (crvena boja)

algoritmi specijalizovani za ovu vrstu problematike, ali kod svih su obavezni manuelni rad i inspekcija. Bitnu ulogu u detektovanju žica dalekovoda i kasnije modelovanju stubova igra gustina oblaka tačaka. Što je oblak gušći postoji veće mogućnosti modelovanja i detekcije žica dalekovoda i obratno. Na slici 3.17 b) prikazane su ekstrahovane strukturne linije puteva (žuta boja), konture objekata (plava boja) i vektorizovane žice dalekovoda (crvena boja).

Pored snimanja nadzemnih instalacija, LiDAR sistem dodatno prikuplja informacije o prirodnim i veštačkim objektima koji se nalaze ispod vodova i u njihovoј neposrednoj blizini. Vegetacija je ključan faktor za planiranje nove trase dalekovoda i održavanje postojeće. Klasifikacijom oblaka tačaka i kreiranjem klasa vegetacije po zadatim kriterijumima u zavisnosti od visine žica dalekovoda, postoji mogućnost detektovanja mesta koja predstavljaju potencijalnu opasnost po postojeću infrastrukturu. Nakon obrade podataka lako je detektovati lokacije na kojima eventualno može doći do ugrožavanja nadzemnih vodova, pa se na takvim mestima može blagovremeno reagovati u cilju otklanjanja opasnosti.

Sa druge strane, prikupljeni podaci mogu se iskoristiti za projektovanje moguće buduće trase dalekovoda. Prilikom planiranja i projektovanja trase budućeg dalekovoda, neophodne su precizne informacije o topološkim i geomorfološkim karakteristikama terena. Na osnovu takvih informacija može se veoma brzo proceniti



SLIKA 3.18: a) kreiran DTM oblaka tačaka, b) klasifikovan oblak tačaka

izvodljivost izgradnje u pojedinim nepristupačnim oblastima kao što su doline, jaruge, kanali i slično. Na slici 3.18 a), prikazan je kreirani DTM oblaka tačaka, dok je na istoj slici pod b) prikazan klasifikovan oblak tačaka za isto područje. Plavom bojom su prikazane tačke terena, a zelenom one koje predstavljaju vegetaciju.



SLIKA 3.19: Inspekcija trase dalekovoda UAV sistemom

UAV sistemi (najčešće kvadkopteri) se u poslednje vreme sve češće koriste za snimanje i inspekciju trasa dalekovoda. Posebno su korisni za inspekciju stanja stubova dalekovoda. Stanje stubova se vremenom menja i potrebno je vršiti permanentno praćenje i otklanjanje mogućih oštećenja na vreme, kako bi im se produžio vek trajanja i smanjili ekonomski troškovi u slučaju havarije i većih oštećenja koji mogu nastati ako se ne preduzme ništa da bi se otklonila nastala šteta.

Poglavlje 4

Postojeća pravilnička dokumentacija o topografskom premeru i topografsko-kartografskim proizvodima

4.1 Problemi kod korišćenja postojeće dokumentacije i neusaglašenosti postojećih pravilnika

U okviru ovog poglavlja predstavljeni su postojeći pravilnici i postojeća dokumentacija za definisanje kvaliteta topografskih radova, savremenih tehnologija prikupljanja i obrade podataka u geodeziji i dat je kratak prikaz Pravilnika o topografskom premeru i topografsko-kartografskim proizvodima zakona o državnom premeru i katastru („Službeni glasnik RS”, br. 72/09, 18/10 i 65/13).

Ovim pravilnikom propisani su tehnički normativi, metode i način rada kod topografskog premera, sadržaj topografsko-kartografskih proizvoda, sadržaj tehničke dokumentacije za realizaciju topografskog premera i izradu topografsko-kartografskih proizvoda, kontrola kvaliteta kod topografskog premera i izrade topografsko-kartografskih proizvoda, arhiviranje i distribucija topografsko-kartografskih proizvoda (Prilog 1).

Pravilnik sadrži nekoliko poglavlja, a analizirana su sledeća:

- Prikupljanje podataka aerofotogrametrijskom metodom snimanja,
- Prikupljanje podataka metodom daljinske detekcije,
- Prikupljanje podataka LiDAR metodom.

U nastavku je analiziran deo Pravilnika o prikupljanju podataka LiDAR metodom. Delovi pravilnika koji se odnose na aerofotogrametrijsku metodu snimanja i metodu daljinske detekcije nisu analizirani jer je deo koji se odnosi na LiDAR snimanja direktno vezan za temu ove doktorske disertacije.

4.2 Prikupljanje podataka LiDAR sistemom

U članu 95 ovog pravilnika (Prilog 1) kaže se da LiDAR metoda premera predstavlja postupak kojim se, na osnovu laserskog skeniranja iz vazduha i podataka koji se prikupljaju korišćenjem dodatnih uređaja ugrađenih u LiDAR sistem, dobijaju koordinate za svaku tačku površi od koje se odbio laserski zrak (teren, prirodni i izgrađeni objekti).

Članovi od 96 do 104 (Prilog 1) se odnose na tehničku dokumentaciju i normative, neophodne za prikupljanje podataka ovom metodom. Članovi od 105 do 109 odnose se na planiranje leta i definisanje linija skeniranja u državnom referentnom sistemu i pratećih parametara laserskog skeniranja.

Članovi od 110 do 117 (Prilog 1) odnose se na pripremne rade, članovi od 118 do 123 na realizaciju laserskog skeniranja, članovi od 124 do 129 na obradu prikupljenih podataka i izradu oblaka tačaka, a članovi od 130 do 136 na kontrolu kvaliteta realizovanog laserskog skeniranja.

Pošto je u ovoj doktorskoj disertaciji analizirana problematika obrađena u napred navedenim članovima Pravilnika o topografskom premeru i topografsko-kartografskim proizvodima, deo ovog pravilnika je u daljem tekstu dat u originalnog verziji

Analizom postojećih pravilnika i postojeće dokumentacije za definisanje kvaliteta topografskih rada, proizašlih iz podataka prikupljenih savremenim tehnologijama premera u geodeziji izvedeni su sledeći zaključci: postojeći pravilnici se odnose na metode prikupljanja podataka aerofotogrametrijskom metodom snimanja, metodom daljinske detekcije i LiDAR metodom snimanja. Kod LiDAR metode snimanja obuhvaćeni su postupci i procedure koji se odnose na LiDAR sisteme koji kao platforme koriste letelice. Konkretno se misli na snimanja iz vazduha gde se kao platforma koristi avion. U okviru ove doktorske disertacije kao savremene tehnologije prikupljanja podataka analizirane su metoda automatizovane digitalne fotogrametrije (UAV sistemi) i metoda mobilnog laserskog terestričkog skeniranja.

Iz ovih analiza proističe da se nameće potreba za dopunom postojećih pravilnika, ili izradom novih, koji će prepoznati nove tehnologije prikupljanja i obrade podataka kod projekata premera i izrade topografskih osnova projekata iz oblasti inženjerske geodezije. U daljim poglavljima su prikazane izvršene analize i dati predlozi modela geodetskog premera primenom savremenih akvizicionih tehnologija, konkretno primenom UAV sistema i sistema za mobilno lasersko terestričko skeniranje.

Poglavlje 5

Predlog modela geodetskog premera primenom savremenih akvizicionih tehnologija

5.1 Uvod

Kako je navedeno u prethodnim poglavljima, u okviru ove doktorske disertacije analizirani su podaci prikupljeni savremenim tehnologijama premera, UAV i LiDAR sistemima. Na slici 5.1 prikazani su oblaci tačaka generisani navedenim sistemima u naselju Feketić (poglavlje 5.2). Na slici levo, prikazan je oblak tačaka generisan UAV sistemom, koji zbog svoje velike gustine tačaka, koje se nalaze na rastojanju od 2 cm, izgleda kao ortofoto-snimak. Na slici desno, može se videti oblak tačaka generisan LiDAR sistemom. Te dve metodologije prikupljanja podataka su same po sebi različite, dok su procedure obrade podataka vrlo slične.



SLIKA 5.1: Oblak tačaka – UAV sistem (levo); oblak tačaka – LiDAR sistem (desno)

Postupak obrade podataka u okviru ove doktorske disertacije izvršen je u okviru softverskog paketa „TerraScan“. Za dodatne analize, pored ovog korišćen je

i „LasTools” softverski paket, kao i niz GIS alata među kojima je najzastupljeniji „ArcGIS”.

5.2 Kriterijumi izbora uzorka za eksperiment

Područje na kojem je realizovan eksperiment nalazi se u selu Feketić u Opštini Mali Iđoš u Severnobačkom okrugu u Vojvodini. Feketić je smešten u ravničarskom kraju na Telečkoj visoravni, na nadmorskoj visini od 96 m i površini od 59,3 km².

Premer ovog naselja izvršen je za potrebe komasacije i uređenja zemljišta. Realizovan je metodom precizne elektronske tahimetrije, koja u potpunosti ispunjava kriterijume kvaliteta prostornih podataka, definisane Zakonom o premeru i katastru Republike Srbije. Podatke realizovanog premera predstavljaju 3D koordinate detaljnih tačaka i prostorne pozicije struktturnih entiteta prostora. Ti podaci će se u istraživanjima i analizama ove disertacije koristiti kao „date”, uslovno tačne vrednosti kod upoređivanja sa 3D koordinatama i strukturnim linijama generisanim iz procesa obrade podataka prikupljenih savremenim tehnologijama premera. Za potrebe eksperimentalnih istraživanja disertacije, područje naselja snimljeno je savremenim uređajima za akviziciju podataka. Realizovana su paralelna premeravanja terena mobilnim laserskim skenerom „MDL DynaScan S250” sa 36.000 merenih tačaka u sekundi i fotogrametrijsko snimanje bespilotnom letelicom „SenseFly Ebee”.

Numeričko-grafičkom obradom prikupljenih podataka obezbeđeni su uslovi za ekstrakciju entiteta prostora koji će se koristiti za upoređenje sa datim, uslovno tačnim vrednostima. Definisan je deo na kome će se vršiti dalje analize i na osnovu kojega će se definisati kalibracioni parametri za ceo projekat. Na području naselja određen je poligon, koji obuhvata samo asfaltne ulice naselja, iz razloga što kod betoniranih površina imamo mogućnost jednoznačnog određivanja koordinata sa svakom od analiziranih metoda premera. Kako je detaljna obrada oblaka tačaka veliki i obiman posao i kako je cilj istraživanja definisanje predloga modela geodetskog premera savremenim tehnologijama, jako je bitno da sam postupak kalibracije oblaka tačaka i analize kvaliteta dobijenih podataka ne zahteva detaljnu obradu oblaka tačaka. Tačke korišćene u daljoj analizi izdvojene su kao tačke unutar definisanog poligona (Slika 5.2). Izdvojene tačke snimljene su metodom precizne elektronske tahimetrije i kao uslovno tačne vrednosti upoređivane sa podacima generisanim LiDAR i UAV sistemom. Dakle, unutar definisanog poligona imamo tačke snimljene tahimetrijskom metodom i tačke snimljene LiDAR i UAV sistemima. Na ovom setu podataka će se vršiti analize, definisati kalibracioni parametri oblaka tačaka u cilju definisanja metodologije analize kvaliteta dobijenih podataka.

5.3 Modelovanje objekta istraživanja

U ovom poglavlju opisane su i pojašnjene predradnje i priprema prikupljenih podataka za dalje analiziranje. Objasnjena je inicijalna obrada podataka – obrada oblaka tačaka i izdvajanje određene klase tačaka, definisanje i izbor kontrolnih tačaka koje će predstavljati osnovu za ocenu kvaliteta sprovedenih analiza i izbor kontrolnih profila u cilju poboljšanja kvaliteta kalibracije oblaka tačaka.



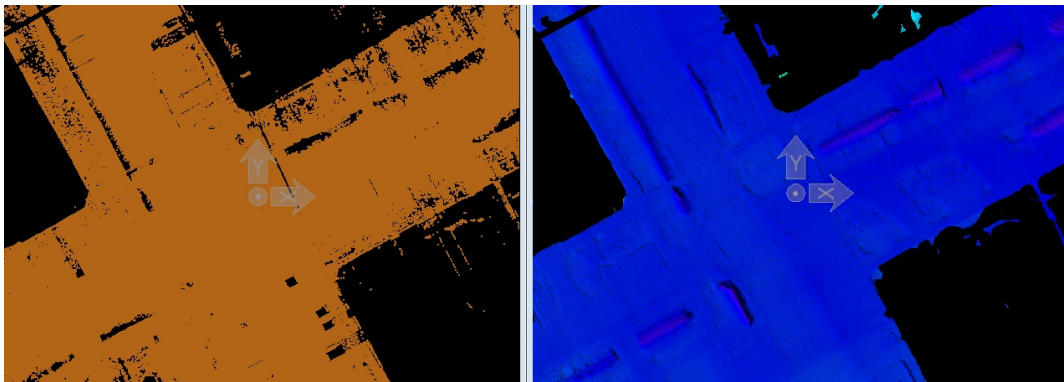
SLIKA 5.2: Postupak definisanja poligona ulica

5.3.1 Osnovna klasifikacija oblaka tačaka

U okviru ovog istraživanja, osnovna klasifikacija primenjuje se na oblake tačaka prikupljene UAV i LiDAR sistemom. Osnovna klasifikacija oblaka tačaka primenjena je na kompletном obliku tačaka na području na kojem je realizovan eksperiment. Podrazumeva definisanje klase tačaka terena u cilju kreiranja preciznog DTM-a.

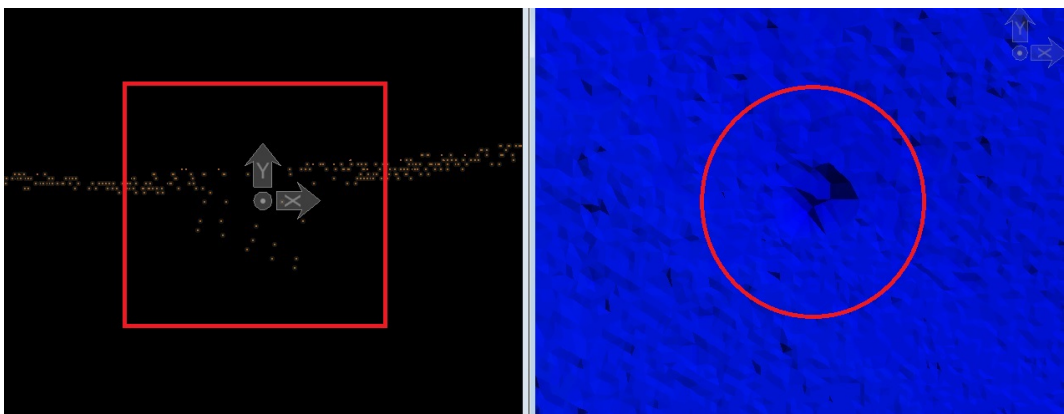
Klasifikacija *ground*, odvaja tačke terena od ostalih tačaka iz oblaka, iterativno gradeći model površi 1.6.2. Zadati parametri zavise pre svega od konfiguracije terena. Iterativni ugao je maksimalni ugao između tačke i njene projekcije na formirani trougao modela dok iterativna dužina obezbeđuje da se ne prave veliki skokovi u slučajevima kada imamo velike trouglove u modelu. Na ovaj način, zadavanjem parametara iteracije obezbeđujemo isključivanje niskih objekata iz modela [77].

Po završenoj automatskoj klasifikaciji, kreira se DTM i vrši se vizuelna inspekcija u cilju otklanjanja nastalih grešaka. Greške nastale u postupku automatske klasifikacije mogu nastati iz nekoliko izvora, pa se i greške mogu otkloniti na nekoliko načina. Jedan deo nastalih grešaka moguće je otkloniti izborom odgovarajućih parametara klasifikacije, dok je drugi moguće otkloniti metodom manuelne klasifikacije. Na slici 5.3 levo može se videti klasifikovan oblik tačaka. Izdvojena je klasa tačaka terena i prikazana narandžastom bojom. Na slici 5.3 desno prikazan je kreiran DTM. Kako je na području naselja Feketić definisan poligon unutar koga se nalaze kontrolne tačke, što je objašnjeno u poglavljiju 5.2, to se vizuelna inspekcija i korekcija kreiranog modela metodama manuelne klasifikacije vrši samo unutar tog poligona.



SLIKA 5.3: Oblak tačaka (levo); kreiran DTM (desno)

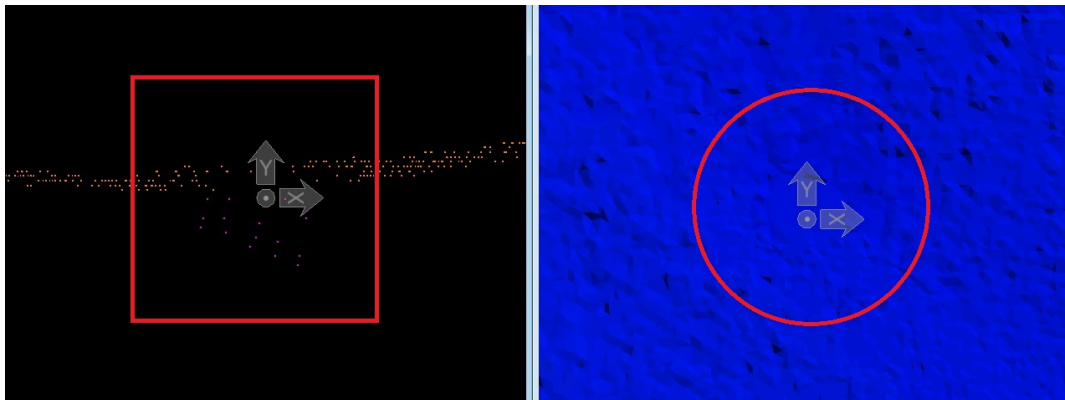
Na slici 5.4 prikazana je jedna od mogućih grešaka automatske klasifikacije. Na slici desno prikazan je kreirani DTM sa markiranim delom u kojem je nastala greška. Slika levo pokazuje oblak tačaka prikazan u poprečnom preseku na mestu na kojem je uočena greška.



SLIKA 5.4: *ground* klasifikacija, profil (levo); kreiran DTM (desno)

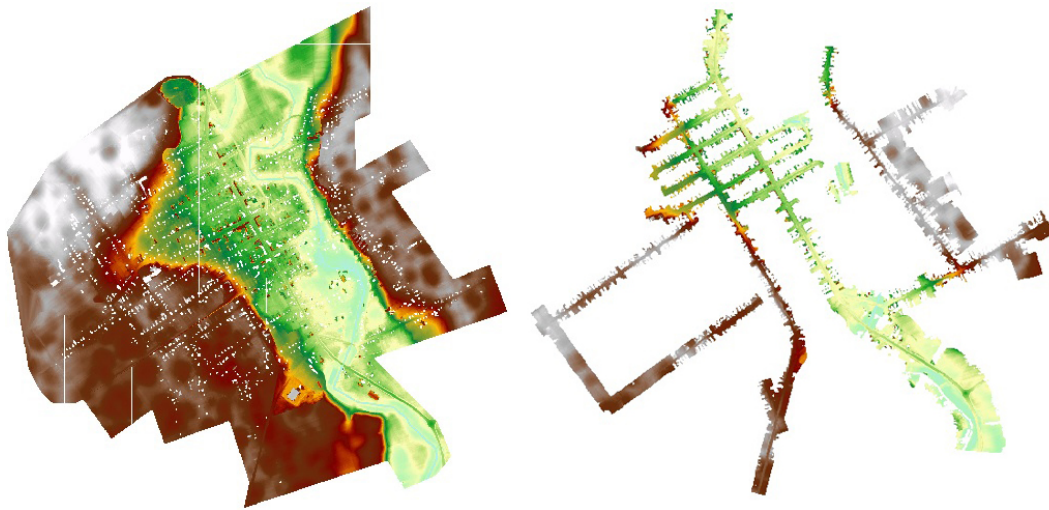
Greška je nastala kao posledica penetracije laserskog zraka između rešetaka slivnika koji se nalazi pored puta. Ona se otklanja postupkom manuelne klasifikacije, na taj način što se tačke, koje ne pripadaju klasi tačaka terena, manuelno premeštaju u drugu klasi. Rezultat manuelne klasifikacije može se videti na slici 5.5. Tačke koje ne pripadaju klasi tačaka terena, preklasifikovane su u drugu klasi i kreiran je novi model terena. Postoji niz faktora koji mogu uzrokovati pogrešnu klasifikaciju. Različite vrste nastalih šumova koji se otklanjaju algoritmima automatske klasifikacije i šumovi koji zapravo nisu greške nego posledica snimljenog faktičkog stanja.

Na slici 5.6 prikazan je rezultat osnovne klasifikacije tačaka terena na području eksperimenta. Slika levo pokazuje DTM kreiran na osnovu obrađenih podataka UAV sistema, dok slika desno pokazuje DTM kreiran na osnovu obrađenih podataka LiDAR sistema. Nakon završene automatske klasifikacije, izvršena je manuelna inspekcija kreiranih modela. Uočene greške su otklonjene u postupku manuelne



SLIKA 5.5: Manuelna klasifikacija, profil (levo); kreiran DTM (desno)

klasifikacije i kao rezultat su dobijeni korektni modeli na kojima se mogu vršiti dalje analize.

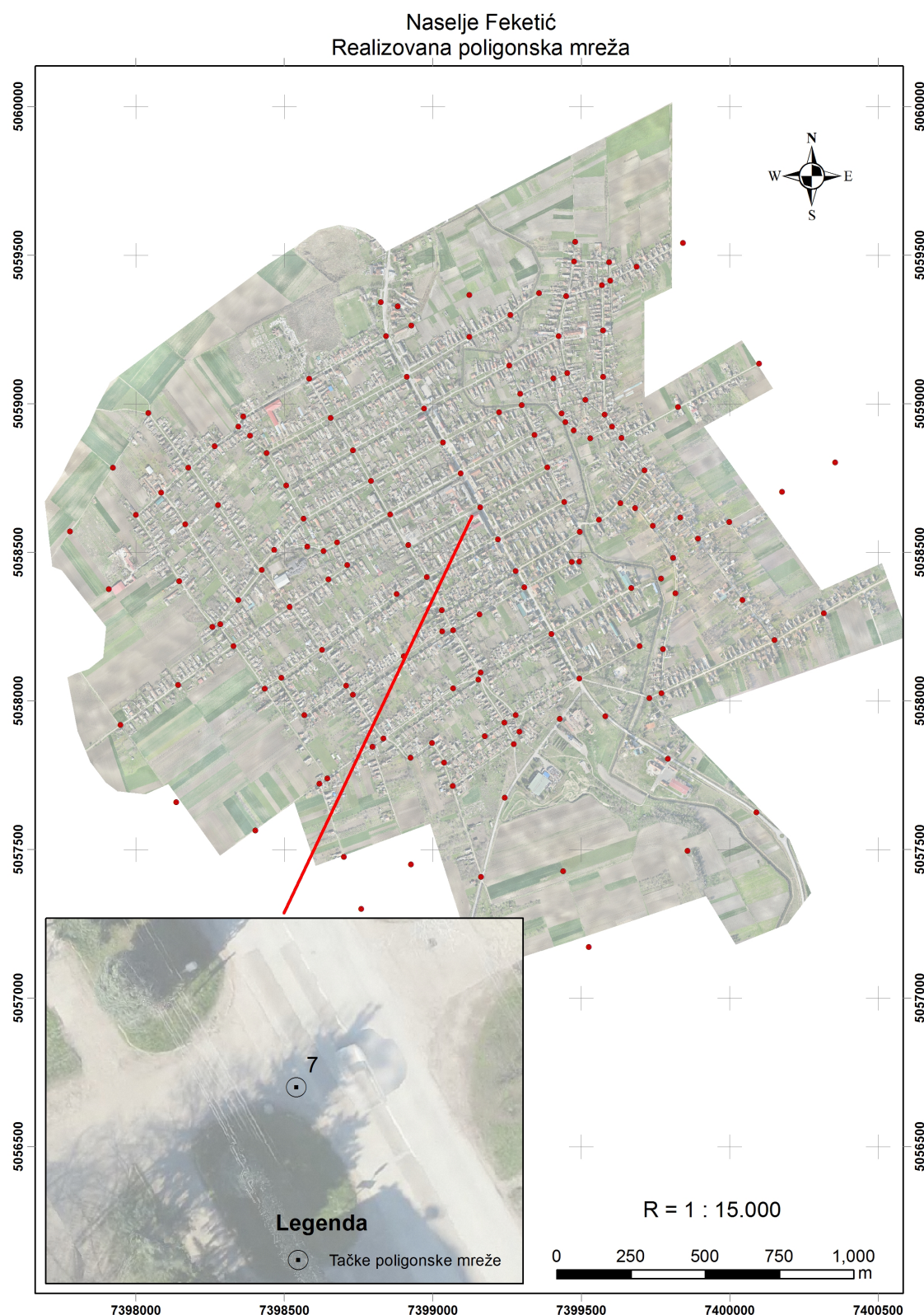


SLIKA 5.6: UAV i LiDAR model

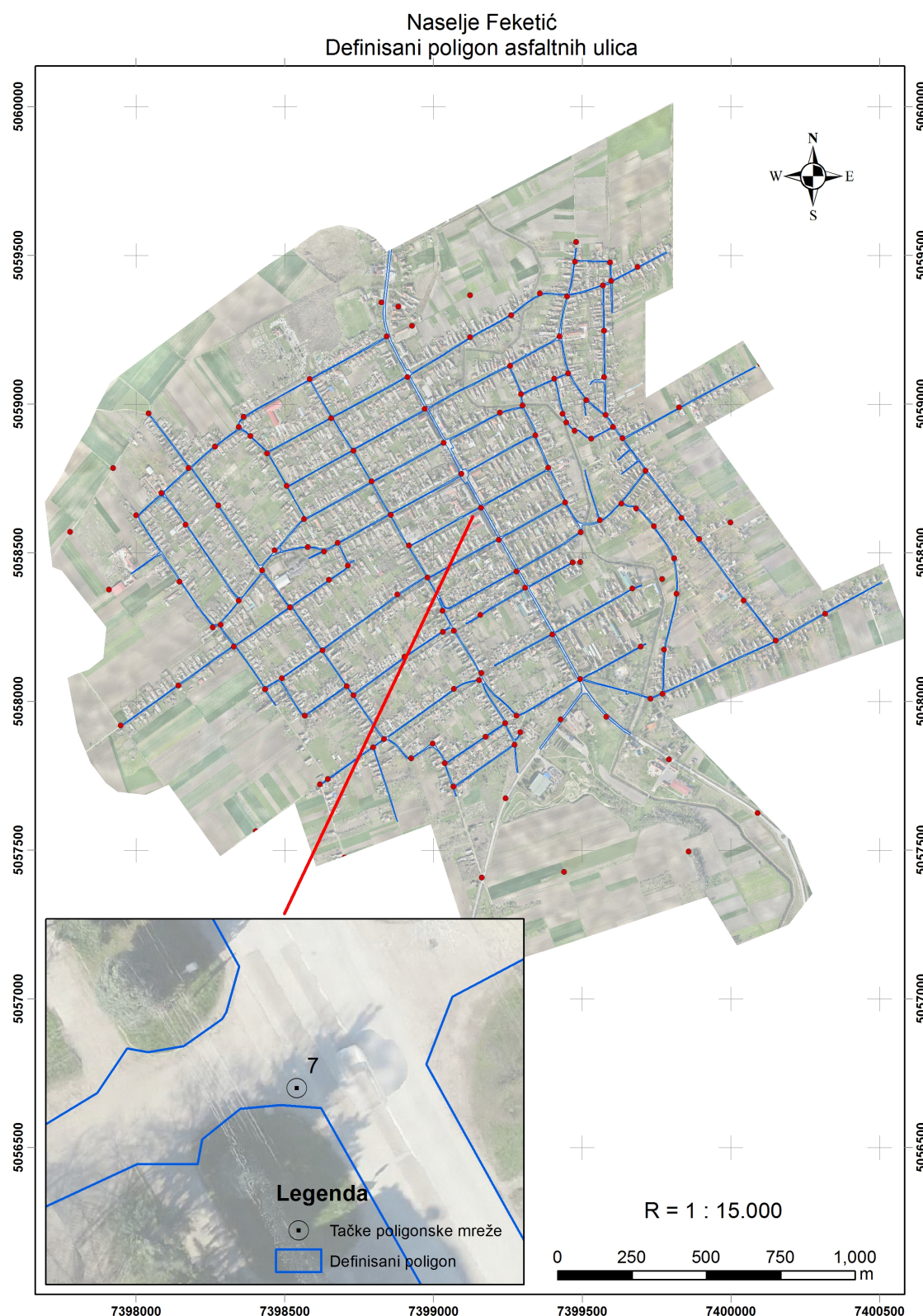
5.3.2 Izbor kontrolnih tačaka za kalibraciju

Tačke korištene kao osnova za kalibraciju su novoodređene tačke poligonske mreže na teritoriji celog naselja. Novoodređene poligonske tačke su snimane GPS metodom. Snimanje je izvršeno prema Pravilniku za određivanje poligonske mreže u tri epohe od po 30 s, pri čemu su za definitivne vrednosti koordinata tačaka usvojene aritmetičke sredine ta tri merenja. Visine tačaka određene su preciznim nivelmanom, pri čemu su merenja vezana za repere sa poznatim visinama 1.7. Na teritoriji naselja Feketić razvijena je poligonska mreža sa ukupno 153 poligonske tačke. Skica realizovane mreže prikazana je na slici 5.7.

Na području naselja određen je poligon koji obuhvata samo asfaltne ulice naselja (Slika 5.8). Izabran je poligon asfaltnih ulica zbog toga što kod betoniranih površina



SLIKA 5.7: Realizovana poligonska mreža na području naselja Feketić



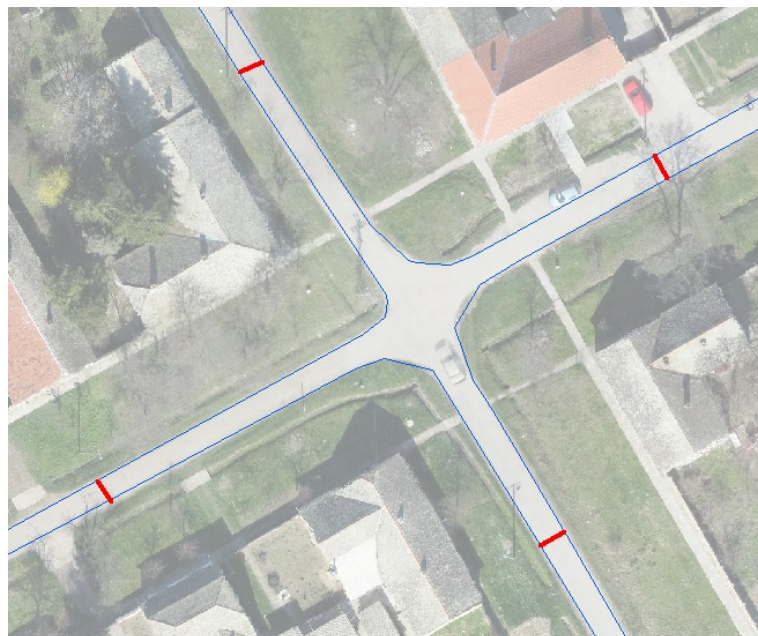
SLIKA 5.8: Definisani poligon ulica na području naselja Feketić

imamo mogućnost jednoznačnog određivanja koordinata sa svakom od analiziranih metoda premera. Kako je detaljna obrada oblaka tačaka velik i obiman posao i kako je cilj istraživanja da definiše predlog metodologije analize kvaliteta rezultata dobijenih primenom savremenih uređaja za akviziciju podataka, veoma je bitno da sam postupak kalibracije oblaka tačaka i analize kvaliteta dobijenih podataka ne zahteva detaljnu obradu oblaka tačaka 1.7. Za kalibraciju oblaka tačaka koriste se samo one tačke poligonske mreže koje se nalaze na području snimljenom LiDAR ili UAV sistemom.

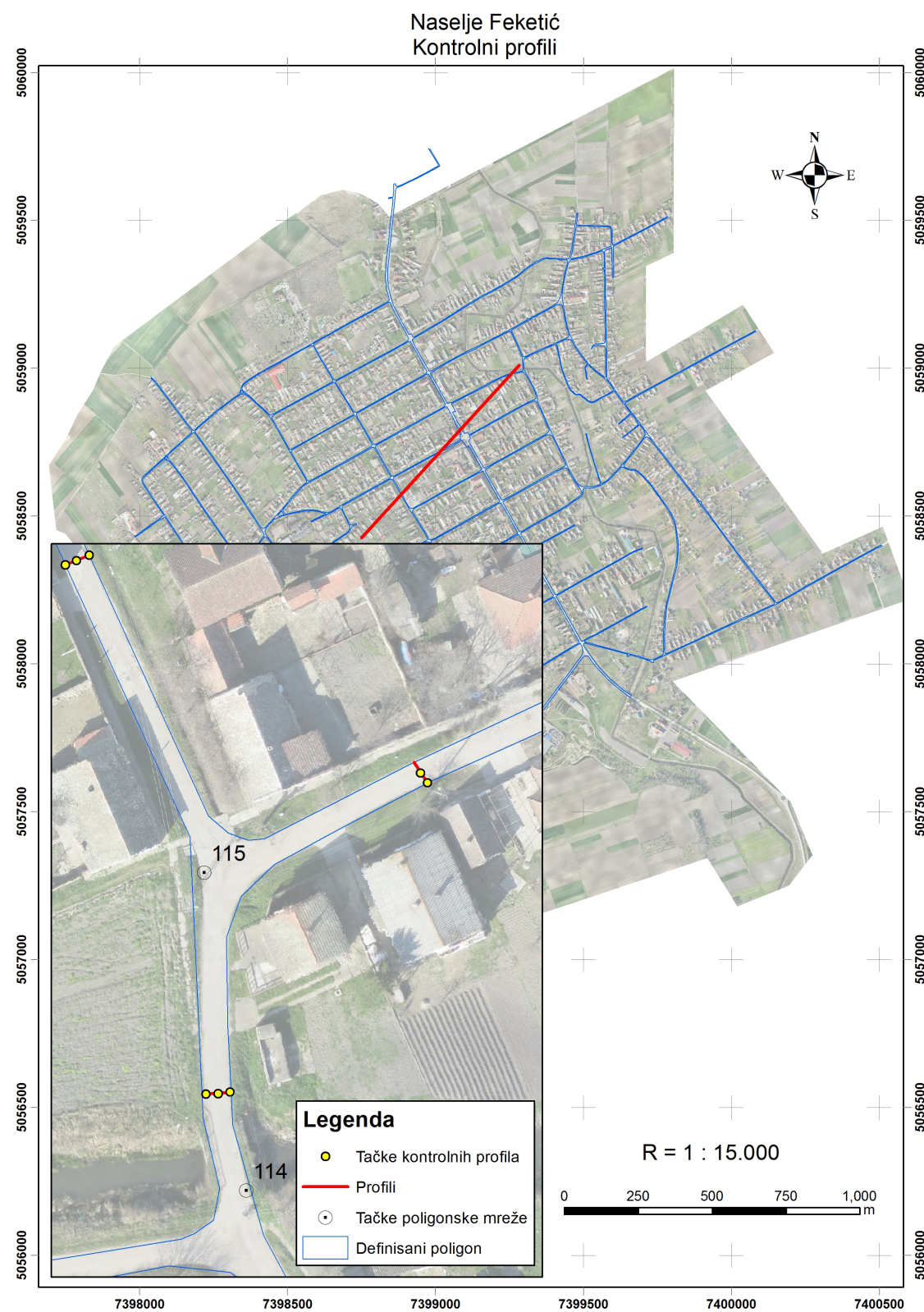
5.3.3 Izbor kontrolnih profila za kalibraciju

Kao dodatni podatak za poboljšanje tačnosti snimljenog oblaka tačaka, mogu se koristiti kontrolni profili. Pored kontrolnih tačaka, u našem slučaju tačke novopostavljene poligonske mreže, mogu se koristiti dodatne kontrolne tačke na kontrolnim profilima snimljenim na unapred definisanim lokacijama. Na slici 5.10 prikazan je raspored kontrolnih profila na jednoj karakterističnoj raskrsnici u naselju Feketić, a na slici 5.11 raspored na području celog naselja.

Kontrolni profili definisani su na svakoj raskrsnici na teritoriji naselja Feketić (u granicama definisanog poligona eksperimenta), i na pravcima većih ulica kako bi teritorija koja je predmet projekta bila pokrivena, a profili i kontrolne tačke ravnomerno raspoređeni. Broj profila na raskrsnicama određen je shodno broju ulica koje se susiće u raskrsnici. Najčešći slučaj jeste susticanje četiri profila na jednoj raskrsnici (Slika 5.9).



SLIKA 5.9: Najčešći slučaj rasporeda kontrolnih profila na jednoj raskrsnici



SLIKA 5.10: Prikaz kontrolnih profila u naselju Feketić na jednoj od raskrsnica.
Na svakom kontrolnom profilu se nalazi određen broj snimljenih tačaka.

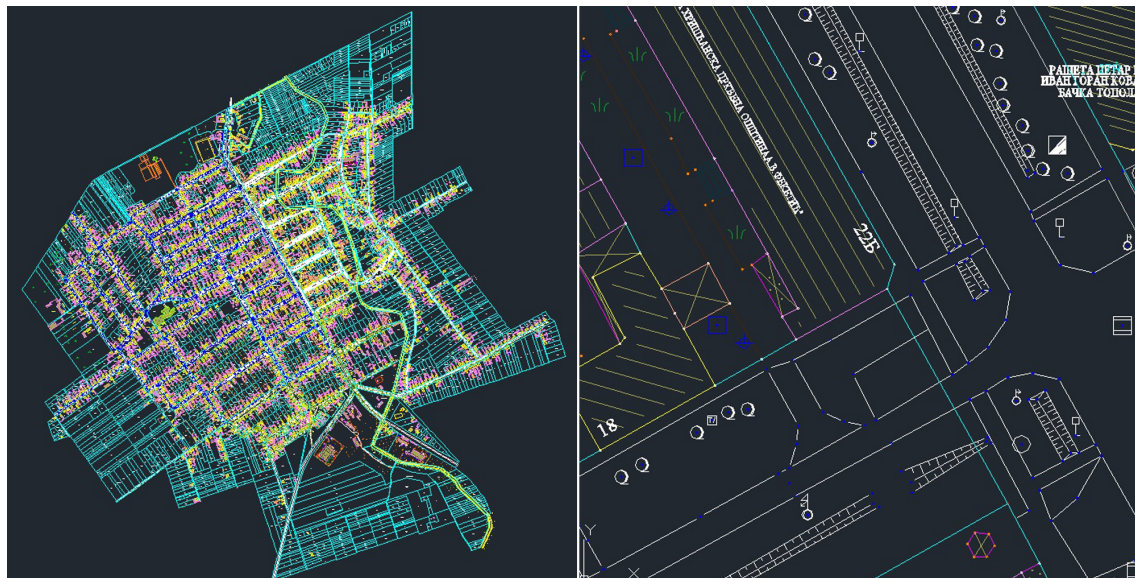


SLIKA 5.11: Prikaz rasporeda kontrolnih profila na području naselja Feketić. Na slici je dat prikaz kontrolnih profila u njegovom centralnom delu.

5.3.4 Definicija i izrada uslovno tačnog modela

Premer naselja Feketić realizovan je metodom precizne elektronske tahimetrije koja u potpunosti ispunjava kriterijume kvaliteta prostornih podataka definisane Zakonom o državnom premeru i katastru Republike Srbije. Ti podaci će u daljim istraživanjima i analizama biti korišćeni kao „dati”, što je detaljnije objašnjeno u poglavlju 5.2.

Na slici 5.12 levo prikazano je područje naselja Feketić snimljeno tahimetrijskom metodom. Na slici desno dat je uvećan prikaz jedne raskrsnice.



SLIKA 5.12: Levo: Područje naselja Feketić snimljeno metodom precizne elektronske tahimetrije. Desno: Izdvojena raskrsnica snimljena metodom precizne elektronske tahimetrije

Za potrebe uporedne analize originalno generisanih i kalibriranih podataka nisu korišćeni svi prikupljeni podaci, već je izvršeno filtriranje. Na slici 5.13 prikazane su snimljene tačke korišćene kao uslovno tačne vrednosti. Te tačke su izdvojene unutar definisanog poligona ulica. Izbor i definicija poligona ulica objašnjen je u poglavlju 5.2. Na teritoriji naselja Feketić unutar definisanog poligona ulica izdvojeno je 3.162 tačke snimljene metodom precizne elektronske tahimetrije.

5.4 Predlog modela geodetskog premera

Realizacija geodetskih projekata primenom savremenih tehnologija premera, kao što su metoda digitalne fotogrametrije primenom UAV sistema i metoda mobilnog laserskog skeniranja primenom LiDAR sistema, odvija se u nekoliko faza. U ovom poglavlju dat je predlog definicije modela, po kome je potrebno raditi kako bi izlazni podatak bio u granicama propisane tačnosti. Definisano je šest glavnih faza:

1. priprema projekta,



SLIKA 5.13: Precizna elektronska tahimetrija, izdvojene tačke unutar definisanog poligona ulica

2. akvizicija podataka,
3. inicijalna obrada podataka,
4. kalibracija,
5. kontrola,
6. finalni oblak tačaka.

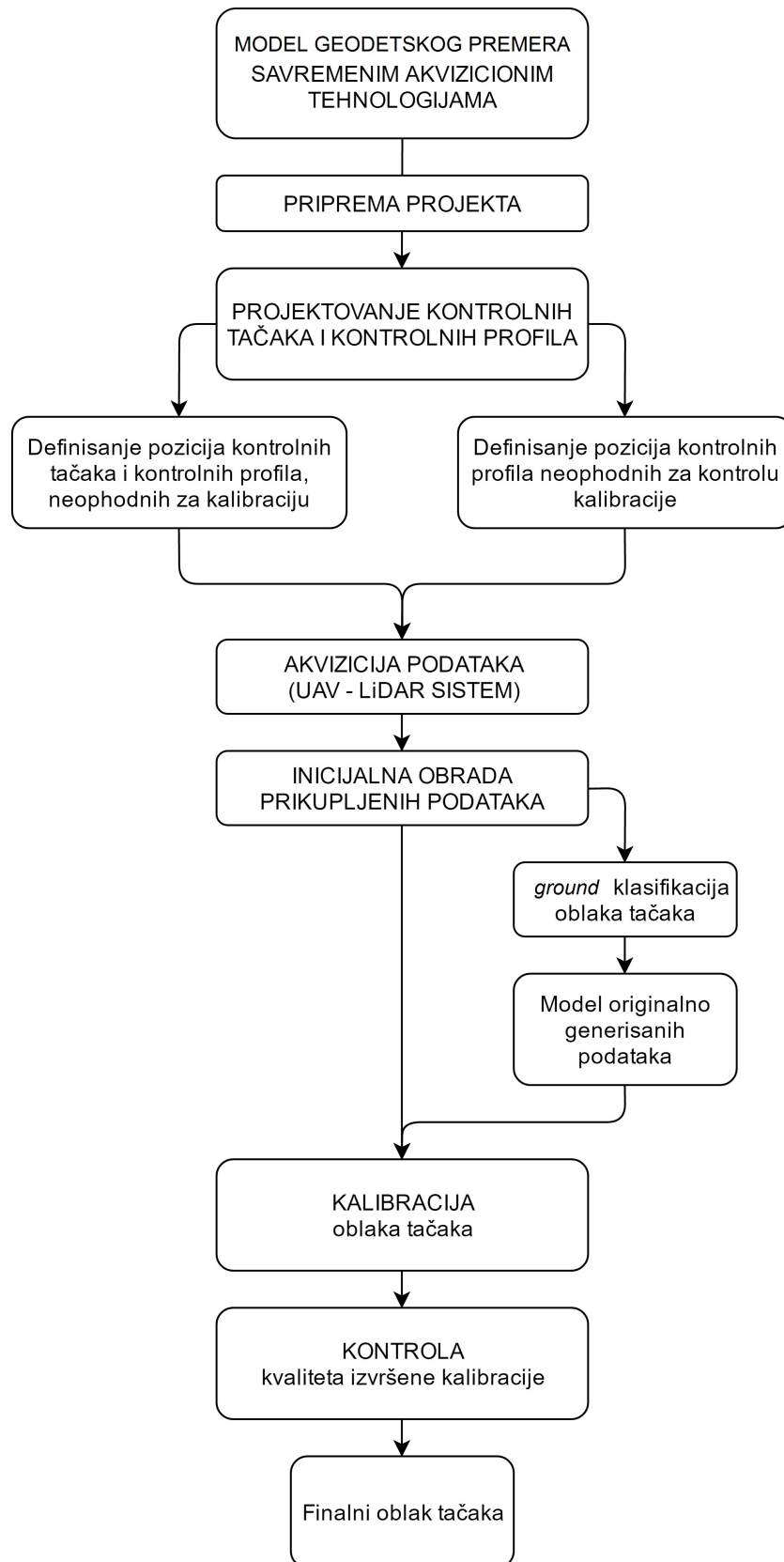
Šematski prikaz faza realizacije projekta prikazan je na slici 5.14.

1. Priprema projekta

Priprema projekta podrazumeva projektovanje pozicija kontrolnih tačaka i kontrolnih profila na teritoriji projekta. Predlog izbora pozicija u direktnoj meri zavisi od konfiguracije terena koji je predmet snimanja.

Preporuka za izbor kontrolnih tačaka i kontrolnih profila je da se oni isključivo biraju na asfaltnim ili betonskim površinama, zato što, kako je objašnjeno u poglavlju u kojem su definisani kriterijumi izbora uzorka za eksperiment, kod betoniranih površina imamo mogućnost jednoznačnog određivanja koordinata sa svakom od analiziranih metoda premera. Rastojanje između izabralih kontrolnih tačaka i kontrolnih profila ne bi trebalo da bude veće od 100 m.

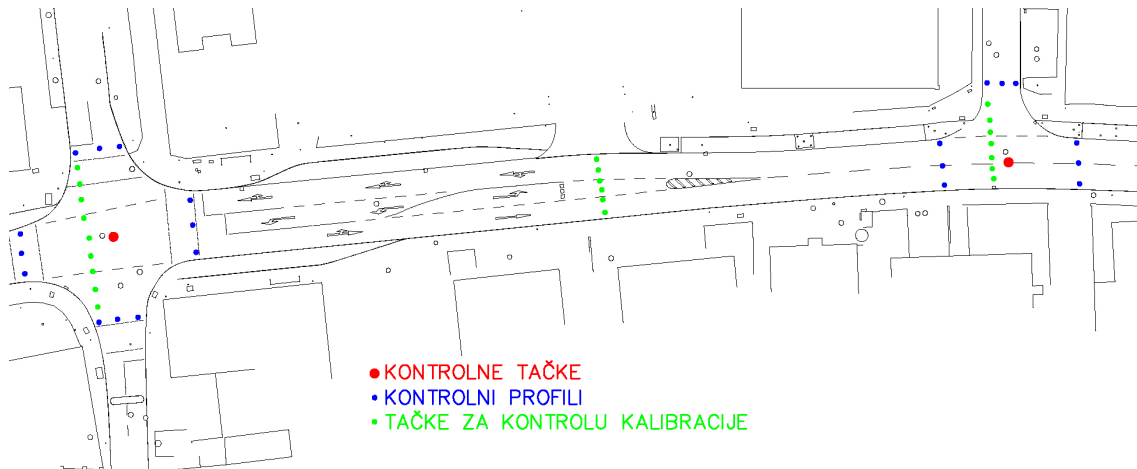
U praksi (kada je u pitanju premer urbanih područja) razlikujemo dva slučaja:



SLIKA 5.14: Model geodetskog premera primenom savremenih akvizicionih tehnologija

- snimanje pojedinačnih ulica,
- snimanje blokova ulica.

Izbor kontrolnih tačaka i kontrolnih profila razlikuje se u ova dva slučaja. Na slici 5.15 prikazan je prvi slučaj, kada je predmet snimanja jedna ulica, gde su kontrolne tačke postavljene na rastojanju od oko 100 m na centrima raskrsnica. Kontrolni profili su postavljeni na istom rastojanju (Slika 5.15). Dodatni profili, koji služe za kontrolu kvaliteta izvršene kalibracije, obeleženi su zelenom bojom.



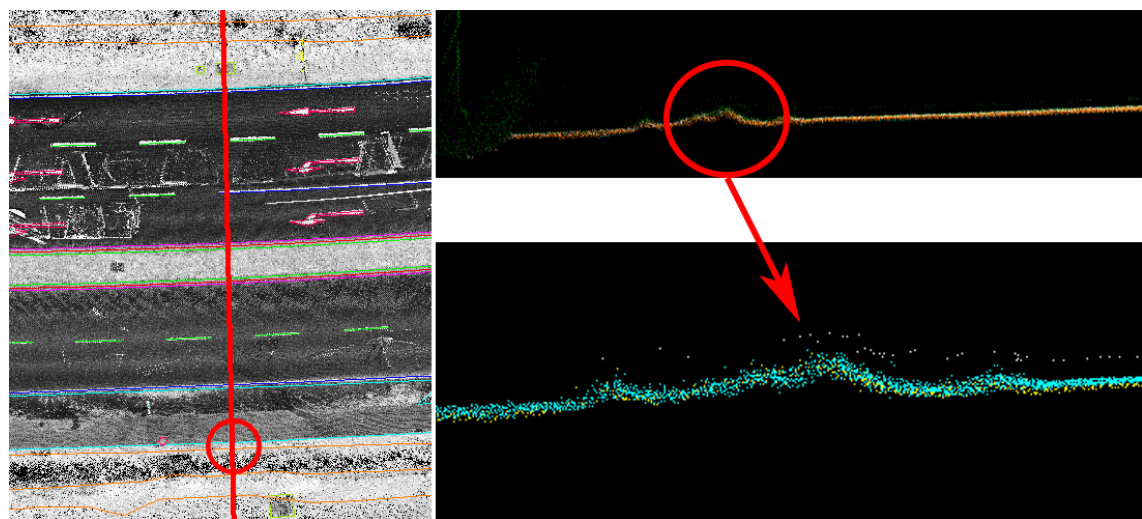
Drugi slučaj predstavlja blok ulica. Na slici je prikazan jedan blok ulica sa rasporedom kontrolnih tačaka, kontrolnih profila i profila za kontrolu kalibracije.

U gradskim sredinama, gde postoje asfaltni putevi, kontrolne tačke i kontrolne profile treba birati isključivo na asfaltnim površinama, zato što je na asfaltnim površinama mogućnost greške klasifikacije oblaka tačaka u cilju određivanja klase *ground* minimalna. Kod drugih tipova površina definisanje te klase zahteva dodatni napor i pažnju, pa i pored dobro definisanih parametara automatske klasifikacije u manuelnom delu postoji mogućnost pogrešno određenih tačaka koje čine klasu *ground*. Ukoliko se kontrolna tačka postavi na zelenu površinu, ili na primer na obod kanala koji je obrastao niskim rastinjem, određivanje klase *ground* će nedvosmisleno biti teže i sa manjom pouzdanošću nego što bi bio slučaj kod betonskih i asfaltnih površina.

Na slici 5.17 levo dat je prikaz profila jedne ulice. U desnom delu se jasno vide tačke koje leže u jednoj ravni i u odnosu na koje se primenom odgovarajućih parametara klasifikacije može dobiti klasa *ground*. Deo na slici zaokružen crvenom bojom je deo koji predstavlja kraj asfalta i početak zelene površine (na slici levo takođe označen crvenom bojom). Ukoliko bi taj deo bio izabran za poziciju kontrolne tačke, jasno je da bi bila napravljena greška. Pozicija snimljene tačke ne bi odgovarala poziciji tačke očitane na kreiranom modelu.



SLIKA 5.16: Raspored kontrolnih tačaka i kontrolnih profila na primeru jedne ulice



SLIKA 5.17: Primer lošeg izbora mesta za kontrolnu tačku ili za tačku kontrolnog profila

Samim tim bi određeni parametri kalibracije oblaka tačaka bili pogrešni.

2. Akvizicija podataka

Nakon izbora pozicija za kontrolne tačke i kontrolne profile, sledi postupak akvizicije podataka nekim od savremenih sistema premera, UAV ili LiDAR sistemom

3. Inicijalna obrada prikupljenih podataka

Nakon završene akvizicije podataka sledi postupak inicijalne obrade i određivanja klase *ground*. Na generisani oblak tačaka se primenjuju algoritmi automatske klasifikacije. Od nastale klase tačaka se kreira DTM i na njemu se izvodi postupak manuelne klasifikacije. Kroz taj postupak otklanjaju se greške automatske klasifikacije.

Od kreiranja klase *ground* direktno zavisi određivanje kvalitetnih parametara kalibracije, tako da se toj fazi projekta mora posvetiti pažnja bez obzira na to što se radi samo osnovna klasifikacija.

4. Kalibracija oblaka tačaka

Definisani parametri kalibracije dobijeni na osnovu kontrolnih tačaka i kontrolnih profila koriste se za definitivnu kalibraciju oblaka tačaka.

5. Kontrola kvaliteta izvršene kalibracije

Za kontrolu kalibracije koriste se profili određeni za kontrolu (Slika 5.16), tačke obojene zelenom bojom. Kontrola podrazumeva upoređivanje Z vrednosti tačaka kontrolnih profila sa modelom kreiranim od *ground* klase tačaka kalibrisanog oblaka tačaka. Na osnovu dobijenih rezultata može se doneti zaključak o kvalitetu generisanog oblaka tačaka.

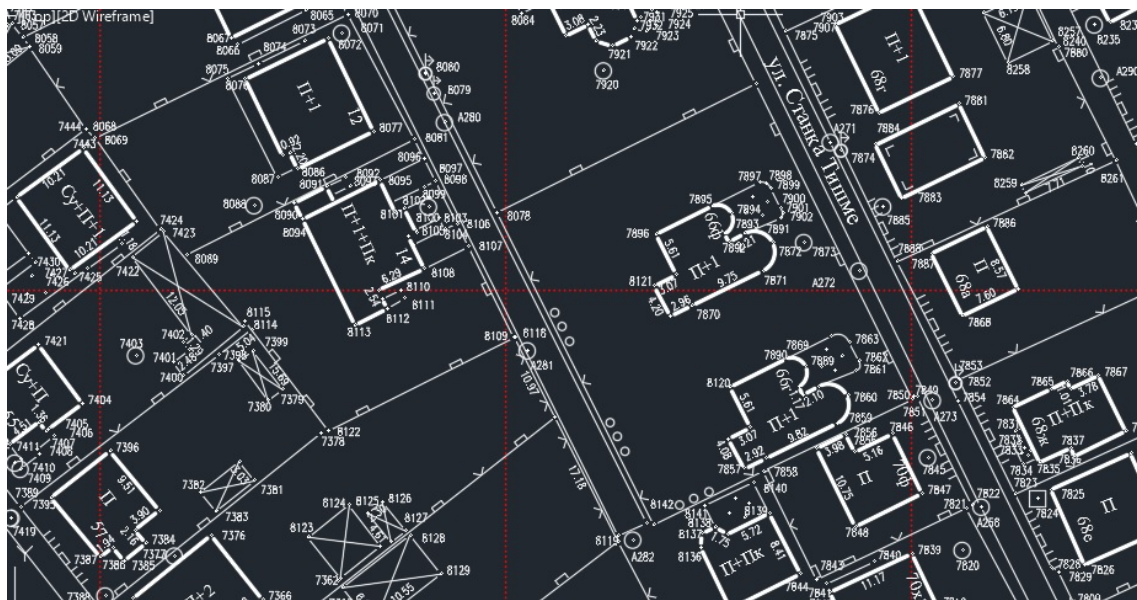
6. Finalni oblak tačaka

Po završenoj kalibraciji, oblak tačaka je spreman za dalju obradu. Dalji postupak obrade i ekstrakcije entiteta prostora iz oblaka tačaka zavisi od namene projekta, a tačnost izlaznih podataka zavisi isključivo od primenjene metodologije rada i iskustva operatera.

Dalja obrada finalnog oblaka tačaka primenom dostupnih softverskih rešenja i procedura obrade, objašnjena je u poglavlju 1.6.2. Opisani su osnovni algoritmi klasifikacije i objašnjeni osnovni postupci ekstrakcije 3D entiteta prostora.

Finalni proizvod predstavljaju 3D podloge za projektovanje. Način prikupljanja podataka, koji služe za kreiranje 3D podloga, može biti klasičan, primenom konvencionalnih metoda i primenom savremenih tehnologija premera. Klasičan način prikupljanja podataka podrazumeva primenu konvencionalnih metoda premera,

iziskuje više vremena i gustina snimljenog detalja zavisi od zahteva ili uslova projekta. Mana te metode je što se gustina jednom snimljenog detalja ne može povećati. Na slici 5.18 dat je primer jednog dela Katastarsko-topografskog plana (KTP) snimljenog klasičnim geodetskim metodama na kome se vidi gustina snimljenog detalja. Detaljne tačke snimane su na rastojanju koje je definisano razmerom snimanja i na onim pozicijama koje su neophodne za definisanje 3D položaja objekta koji je predmet snimanja. Svaka intervencija na kreiranim podlogama, u smislu pogušćavanja detalja ili iscrtavanja nekih dodatnih detalja koji nisu bili neophodni u prvoj fazi snimanja, zahteva naknadni izlazak na teren i ponovno snimanje. Kod snimanja primenom savremenih tehnologija premera situacija je drugačija.



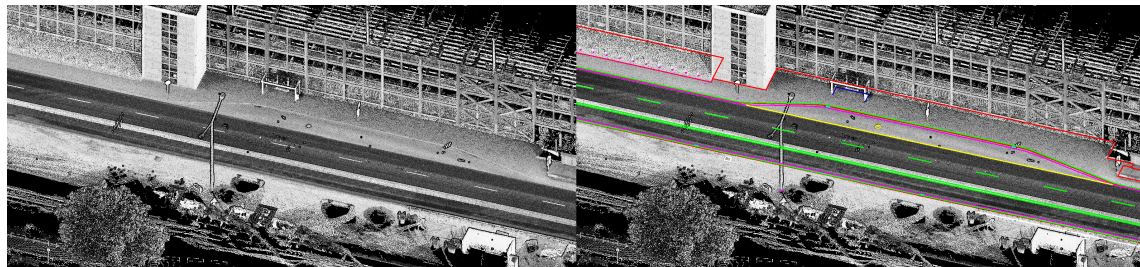
SLIKA 5.18: Prikaz KTP-a snimljenog klasičnim geodetskim metodama

Postupak ekstrakcije entiteta prostora iz oblaka tačaka je uglavnom manuelni. Na nekim delovima oblaka tačaka, ukoliko je kvalitetno realizovan postupak klasifikacije, ekstrakcija nekih strukturalnih linija može biti automatska. Naravno, svaki automatski proces podleže kontroli, dok se ekstrakcija ostalih elemenata vrši manuelno.

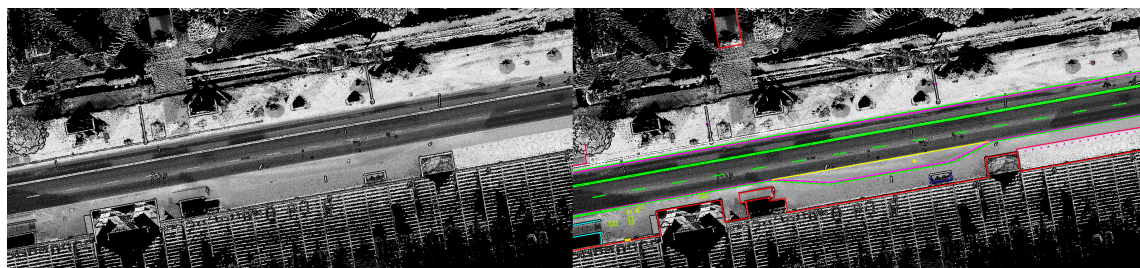
Na slici 5.19 levo prikazan je snimljeni oblak tačaka, dok je sa desne strane dat prikaz istog oblaka sa prekopljenim digitalizovanim sadržajem. Digitalizovane su ivice kolovoza, ivičnjaci, objekti i svi elementi osnovnih strukturalnih linija putne infrastrukture koji bi bili predmet snimanja primenom konvencionalnih metoda premera.

Predmet snimanja su, pored strukturalnih linija i šahtovi, ventili, drveće, ograde, i svi ostali elementi prostora koje je neophodno prikazati na kreiranim 3D topografskim podlogama. Na slici 5.20 dat je prikaz dela puta na kojem je izvršena ekstrakcija ovih elemenata.

Na slici 5.21 prikazan je deo puta na kome se nalazi nadvožnjak. Slika je izdvojena kao ilustracija prednosti primene savremenih tehnologija premera u odnosu na konvencionalne. Prilikom upotrebe konvencionalnih metoda u ovakvoj situaciji,



SLIKA 5.19: Primer preklopljenog KTP-a i oblaka tačaka putne infrastrukture – perspektivni prikaz



SLIKA 5.20: Primer preklopljenog KTP-a i oblaka tačaka putne infrastrukture

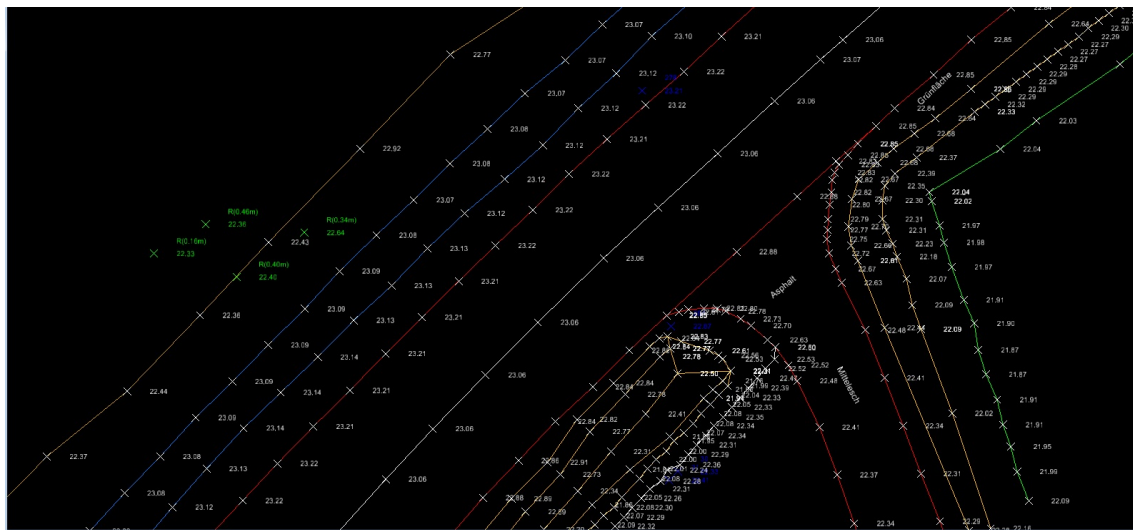
nadvožnjak bi bio snimljen u osnovi sa eventualno prikazanom visinom u jednoj tački. Kod snimanja savremenim metodama imamo znatno veće mogućnosti, pa je i pristup ekstrakciji struktturnih linija drugačiji. Elementi nadvožnjaka su iscrtani u celosti, pa pored podatka o osnovi, imamo celokupne informacije o objektu. Perspektivni prikaz sadržaja dobijenog ekstrakcijom daje mogućnost kompletног sagledavanja situacije na terenu.



SLIKA 5.21: Primer digitalizovanog sadržaja i oblaka tačaka sa prikazanim nadvožnjakom – perspektivni prikaz

Primena savremenih tehnologija premera u odnosu na konvencionalne ima dosta prednosti, što je prikazano kroz nekoliko prethodnih primera, a jedna od bitnijih jeste gustina snimljenog detalja. Kod konvencionalnih metoda premera gustina snimljenog detalja vezana je za zahteve projekta, ali se, recimo pri snimanju ivice kolovoza, retko zahteva da rastojanje između snimljenih tačaka na pravcu bude manje od 5 m. U tom slučaju se kota svake tačke koja upada u taj opseg od 5 m dobija interpolacijom jer stvarni položaj nije snimljen. Kod savremenih tehnologija premera je velika gustina

snimljenog oblaka tačaka, neretko rastojanje između snimljenih tačaka može biti i po nekoliko centimetara, što predstavlja veliku gustinu (Slika 5.22). Prilikom ekstrakcije sadržaja, recimo ivice kolovoza, klikom miša određujemo poziciju jednog verteksa linije. Rastojanje između verteksa može biti 5 m, ali se u kasnijoj obradi broj verteksa može pogustiti i jednostavnim alatima dodeliti kota novonastalim verteksima.



SLIKA 5.22: Prikaz 3D topografske podloge dobijene ekstrakcijom entiteta prostora iz oblaka tačaka

Ukoliko se primenjuje taj način snimanja, zabeleženi oblak tačaka, nakon digitalizacije neophodnih elemenata, ostaje u bazi podataka spreman da da mogućnost ekstrakcije različitog sadržaja i gustine i odgovori različitim zahtevima budućih projekata.

Poglavlje 6

Verifikacija modela

6.1 Kalibracija podataka

U ovom poglavlju analizirani su originalni i kalibrисани подаци generisani savremenim sistemima premera.

U prvom delu poglavlja izvršena je analiza na originalnim podacima generisanim UAV i LiDAR sistemom i izvršeno je njihovo upoređenje sa izabranim kontrolnim tačkama i kontrolnim profilima (kasnije korišćenim za kalibraciju).

U drugom delu poglavlja izvršena je analiza na kalibrисаним UAV i LiDAR podacima i izvršeno je njihovo upoređenje sa izabranim kontrolnim tačkama i kontrolnim profilima (istim kontrolnim tačkama i kontrolnim profilima koji su korišćeni za kalibraciju).

6.1.1 Rezultati analize originalno generisanih UAV i LiDAR podataka

Analiza originalnih UAV i LiDAR podataka podrazumeva ocenu kvaliteta sirovo prikupljenih podataka. Na originalno generisanim podacima sa ova dva sistema izvršena je inicijalna obrada koja podrazumeva izdvajanje onih tačaka koje su neophodne za kreiranje korektnog digitalnog modela terena, što je objašnjeno u poglavlju 5.3.1. Kreirani digitalni model terena Mo (model kreiran od originalnih podataka kreirane klase *ground*) će u daljim analizama biti korišćen kao sredstvo upoređenja sa uslovno tačnim modelom, koji je određen kontrolnim tačkama MCP (model kreiran od kontrolnih tačaka) ili kontrolnim tačkama i kontrolnim profilima MCPP (model kreiran od kontrolnih tačaka i kontrolnih profila). Izbor kontrolnih tačaka i kontrolnih profila, korišćenih u okviru analiza, objašnjen je u poglavljima 5.3.2 i 5.3.3.

Upoređenje originalno generisanih podataka sa kontrolnim tačkama i kontrolnim profilima realizovano je na sledeći način: oblak tačaka je klasifikovan i dobijena je klasa tačaka terena (eng. *ground*). Ova klasa je iskorišćena za generisanje modela Mo koji se koristi za preliminarne analize i definisanje parametara neophodnih za kalibraciju. Izdvojene kontrolne tačke se postavljaju na model i računa im se Z vrednost. Na taj način za svaku tačku imamo dve Z vrednosti, jednu originalnu Zt (Z vrednost kontrolnih tačaka i kontrolnih profila izdvojenih za kalibraciju) vrednost poligonske tačke i drugu ZMo (Z vrednost (kontrolnih tačaka i kontrolnih profila izdvojenih za kalibraciju) očitana na modelu Mo) vrednost očitanu na kreiranom modelu. Na isti način se postupa i sa kontrolnim profilima.

6.1.1.1 Rezultati analize originalno generisanih UAV i LiDAR podataka sprovedene na osnovu kontrolnih tačaka

Kontrolne tačke koje su korišćene u procesu kalibracije oblaka tačaka 5.3.2 su tačke poligonske mreže i prikazane su na slici 5.7. Na području na kojem je realizovano snimanje UAV sistemom, unutar definisanog poligona (Slika 5.8), nalazi se ukupno 133 kontrolne tačke, dok se na području na kojem je snimanje realizovano LiDAR sistemom, unutar definisanog poligona (Slika 5.8), nalazi ukupno 78 kontrolnih tačaka.

Analiza originalnih UAV podataka na osnovu kontrolnih tačaka

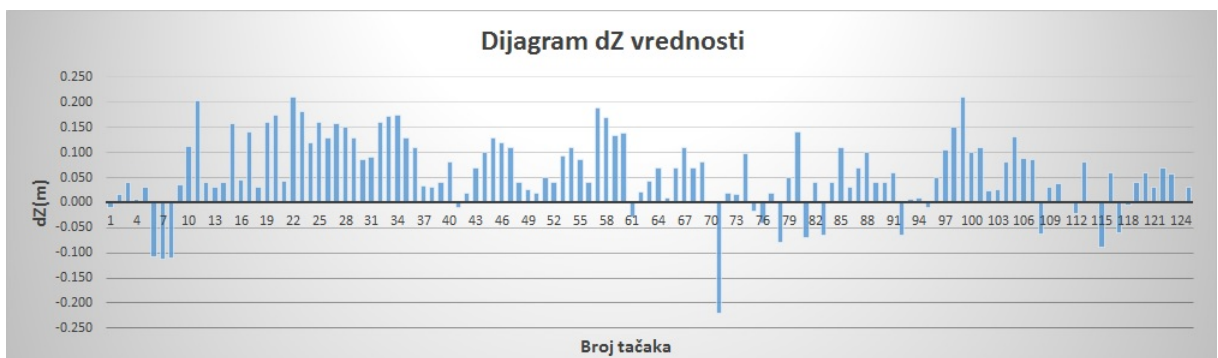
Najpre su analizirani podaci generisani metodom automatizovane digitalne fotogrametrije primenom UAV sistema. U tabeli 10.1 dat je prikaz kontrolnih tačaka čije su Z vrednosti očitane na UAVMo modelu, pri čemu dZ predstavlja razliku Zt vrednosti kontrolne tačke i ZMo iste te tačke očitane na UAVMo modelu. Na osnovu dobijenih vrednosti prikazanih u tabeli 6.1, može se sagledati kvalitet inicijalno generisanih podataka.

Grafička interpretacija analize prikazana je na osnovu dijagrama dobijenih dZ vrednosti i dijagrama broja tačaka po intervalu odstupanja. Na slici 6.1 prikazan je dijagram dobijenih dZ vrednosti. Vertikalnom osom dijagrama predstavljene su dZ vrednosti, a horizontalnom osom broj tačaka. Iz dijagrama se vidi da je trend odstupanja pozitivan. Na slici 6.2 prikazan je dijagram broja tačaka po

TABELA 6.1: Parametri kvaliteta inicijalno generisanih podataka, UAVMo - kontrolne tačke

| | |
|--------------------------|-----------|
| Srednja vrednost dZ | - 0,001 m |
| dZ min | -1,390 m |
| dZ max | + 0,210 m |
| Srednja kvadratna greška | 0,253 m |
| Standardna devijacija | 0,253 m |

intervalu odstupanja na kome se vidi da se najveći broj tačaka (43) nalazi u intervalu odstupanja (-0.012, -0.040).



SLIKA 6.1: Prikaz odstupanja kontrolnih tačaka od kreiranog UAVMo modela



SLIKA 6.2: Prikaz kontrolnih tačaka. Dijagram broja tačaka po intervalu odstupanja od UAVMo modela

Analiza originalnih LiDAR podataka na osnovu kontrolnih tačaka

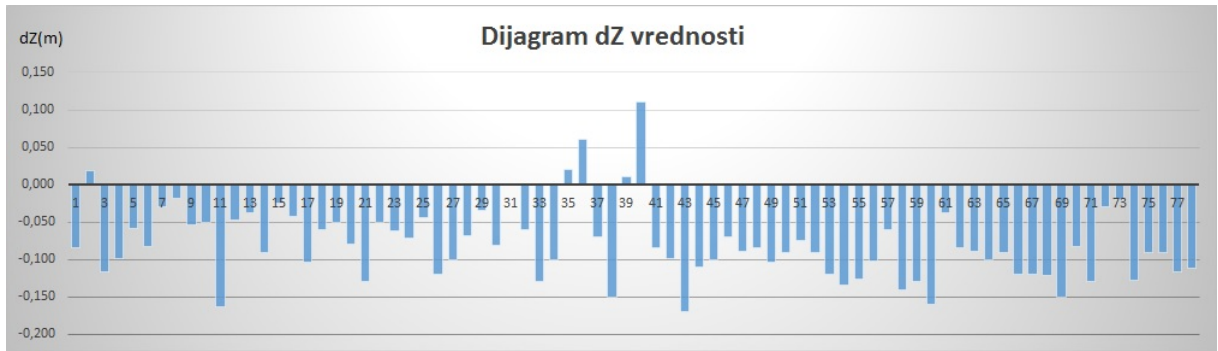
Nakon završene analize UAV podataka, analizirani su podaci generisani LiDAR sistemom. U tabeli 10.2 dat je prikaz kontrolnih tačaka čije su Z vrednosti očitane na modelu LiDARMo, pri čemu dZ predstavlja razliku Z vrednosti kontrolne tačke i iste te tačke očitane na LiDARMo modelu. Na osnovu dobijenih vrednosti prikazanih u tabeli 6.2, može se sagledati kvalitet inicijalno generisanih podataka.

TABELA 6.2: Parametri kvaliteta inicijalno generisanih podataka, LiDARMo - kontrolne tačke

| | |
|--------------------------|-----------|
| Srednja vrednost dZ | - 0,081 m |
| dZ min | - 0,170 m |
| dZ max | + 0,110 m |
| Srednja kvadratna greška | 0,095 m |
| Standardna devijacija | 0,050 m |

Na slici 6.3 prikazan je dijagram dobijenih dZ vrednosti. Vertikalnom osom dijagrama predstavljeno je odstupanje dZ. Iz dijagrama se vidi da je veći deo odstupanja negativan, dok je na slici 6.4 prikazan dijagram broja tačaka po intervalu odstupanja. Na dijagramu se vidi da se najveći broj tačaka (28) nalazi u intervalu odstupanja (-0.129, -0.088).

Daljim analizama i kalibracijom oblaka tačaka biće iskazan trend smanjenja odstupanja po intervalima odstupanja.



SLIKA 6.3: Prikaz odstupanja kontrolnih tačaka od kreiranog LiDARMo modela



SLIKA 6.4: Prikaz kontrolnih tačaka. Dijagram broja tačaka po intervalu odstupanja LiDARMo modela

6.1.1.2 Rezultati analize originalno generisanih UAV i LiDAR podataka sprovedene na osnovu kontrolnih tačaka i kontrolnih profila

Kao dodatni podatak za poboljšanje tačnosti dobijenog oblaka tačaka, pored kontrolnih tačaka izdvojeni su i kontrolni profili. Na teritoriji celog projekta izdvojeni su kontrolni profili sa 514 tačkaka. Skica kontrolnih profila data je na slici 5.11. Tačke kontrolnih profila snimljene su metodom precizne elektronske tahimetrije.

Kao i u slučaju analize sprovedene na osnovu kontrolnih tačaka, ovde su posmatrane tačke izdvojene u kontrolnim profilima, čije su Z vrednosti očitane na modelima kreiranim od podataka generisanih UAV i LiDAR sistemima. Formirane su razlike dZ koje predstavljaju razliku Z vrednosti tačke kontrolnog profila i iste te tačke očitane na generisanom modelu.

Analiza originalnih UAV podataka na osnovu kontrolnih tačaka i kontrolnih profila

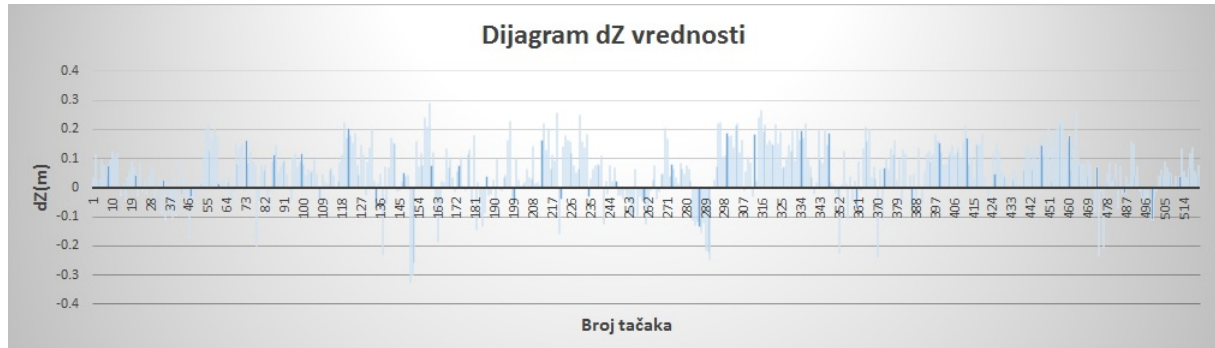
U tabeli 10.3 dat je prikaz kontrolnih tačaka čije su Z vrednosti očitane na modelu UAVMo, pri čemu dZ predstavlja razliku Z vrednosti kontrolne tačke i iste te tačke očitane na UAVMo modelu. Na osnovu dobijenih vrednosti prikazanih u tabeli 6.3, može se sagledati kvalitet inicijalno generisanih podataka.

TABELA 6.3: Parametri kvaliteta inicijalno generisanih podataka, UAVMo - kontrolne tačke i kontrolni profili

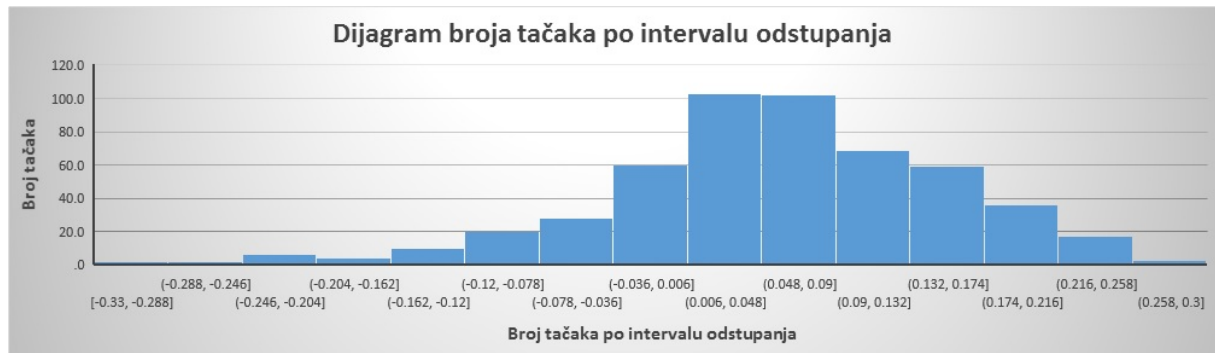
| | |
|--------------------------|-----------|
| Srednja vrednost dZ | + 0,056 m |
| dZ min | - 0,330 m |
| dZ max | + 0,290 m |
| Srednja kvadratna greška | 0,112 m |
| Standardna devijacija | 0,097 m |

Na slici 6.5 prikazan je dijagram dobijenih dZ vrednosti. Vertikalna osa dijagrama predstavljena je rasponom odstupanja Z vrednosti. Iz dijagrama se vidi da je veći deo odstupanja pozitivan, dok je na slici 6.6 prikazan dijagram broja tačaka

po intervalu odstupanja. Na dijagramu se vidi da se najveći broj tačaka (100) nalazi u intervalima odstupanja (0.006, 0.048) i (0.048, 0.090).



SLIKA 6.5: Prikaz odstupanja tačaka kontrolnih profila od kreiranog UAVMo modela



SLIKA 6.6: Dijagram broja tačaka po intervalu odstupanja UAVMo modela

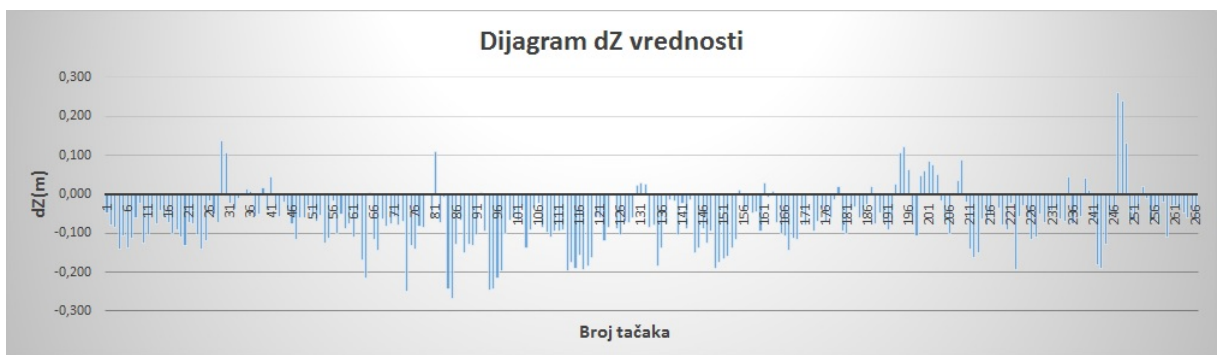
Analiza originalnih LiDAR podataka na osnovu kontrolnih tačaka i kontrolnih profila

Kod analize podataka generisanih LiDAR sistemom izdvojeno je 266 tačke na kontrolnim profilima. Inicijalno je izdvojeno 514 tačaka, ali se skoro polovina nalazi u delovima koji nisu pokriveni LiDAR snimanjem. U tabeli 10.4 dat je prikaz kontrolnih tačaka i kontrolnih profila čije su Z vrednosti očitane na modelu LiDARMo, pri čemu dZ predstavlja razliku Z vrednosti kontrolne tačke i iste te tačke očitane na LiDARMo modelu. Na osnovu dobijenih vrednosti prikazanih u tabeli 6.4, može se sagledati kvalitet inicijalno generisanih podataka.

TABELA 6.4: Parametri kvaliteta inicijalno generisanih podataka, LiDARMo - kontrolne tačke i kontrolni profili

| | |
|--------------------------|-----------|
| Srednja vrednost dZ | - 0,074 m |
| dZ min | -1,487 m |
| dZ max | + 0,260 m |
| Srednja kvadratna greška | 0,127 m |
| Standardna devijacija | 0,104 m |

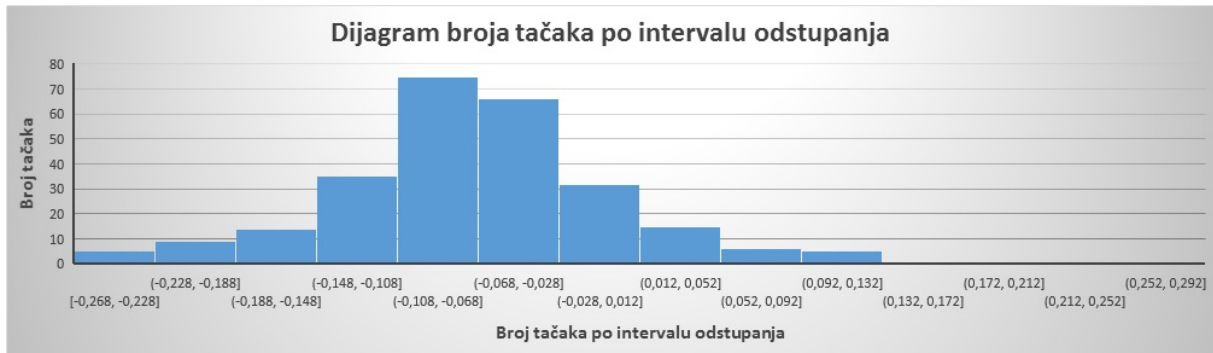
Na slici 6.7 prikazan je dijagram dobijenih dZ vrednosti. Vertikalna osa dijagrama predstavljena je rasponom odstupanja Z vrednosti. Iz dijagrama se vidi da je veći deo odstupanja negativan, dok je na slici 6.8 prikazan dijagram broja tačaka po intervalu odstupanja. Na dijagramu se vidi da se najveći broj tačaka (75) nalazi u intervalu odstupanja (-0,108, -0,068). Daljim analizama i kalibracijom oblaka tačaka biće iskazan trend smanjenja odstupanja po intervalima odstupanja.



SLIKA 6.7: Prikaz odstupanja tačaka kontrolnih profila od kreiranog LiDARMo modela

6.1.2 Rezultati analize kalibriranih UAV i LiDAR podataka

Analiza kalibriranih UAV i LiDAR podataka podrazumeva ocenu kvaliteta definisanog modela kalibracije. Analiziraćemo dva modela: jedan je kreiran na osnovu kontrolnih tačaka, a drugi na osnovu kontrolnih tačaka i kontrolnih profila. Nakon



SLIKA 6.8: Dijagram broja tačaka po intervalu odstupanja LiDARMo modela

izvršenih analiza ustanovljen je stepen odstupanja generisanih podataka u odnosu na definisane uslovno tačne vrednosti koje predstavljaju kontrolne tačke i kontrolni profili.

Na osnovu prikupljenih informacija o evidentiranim odstupanjima originalno prikupljenih podataka, pri poređenju sa kontrolnim tačkama i kontrolnim profilima, sagledana je tačnost i **izvršena kalibracija originalno generisanih podataka**.

Postupak kalibracije podrazumeva modifikaciju originalno prikupljenih podataka prema ustanovljenim odstupanjima ili lokalnom modelu konverzije visina, koji kod većih područja mora biti definisan korišćenjem lokalnih tačaka kod kojih je definisana visinska razlika. Lokalni model visina definisan je kao tekstualni dokument, koji sadrži spisak Y i X koordinata tačaka na osnovu kojih se vrši kalibracija, i dZ vrednost, koja predstavlja odstupanje generisanih laserskih podataka od definisanog uslovno tačnog modela u visinskom smislu.

6.1.2.1 Rezultati analize kalibrisanih UAV i LiDAR podataka sprovedene na osnovu kontrolnih tačaka

Nakon završene kalibracije izvršeno je upoređenje kalibrisanih podataka sa kontrolnim tačkama na osnovu kojih je izvršena kalibracija.

Uvedene su sledeće skraćenice:

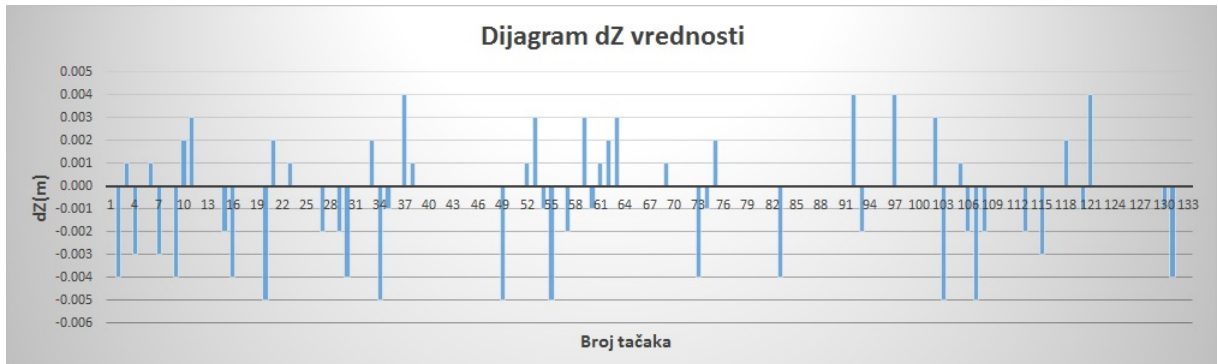
- UAVMmCP – model kreiran od kalibrisanih UAV podataka na osnovu kontrolnih tačaka
- LiDARMmCP – model kreiran od kalibrisanih LiDAR podataka na osnovu kontrolnih tačaka

Analiza kalibrisanih UAV podataka na osnovu kontrolnih tačaka

U tabeli 10.5 dat je prikaz kontrolnih tačaka čije su Z vrednosti očitane na modelu UAVMmCP modelu, pri čemu dZ predstavlja razliku Z vrednosti kontrolne tačke i iste te tačke očitane na UAVMmCP modelu. Na osnovu dobijenih vrednosti prikazanih u tabeli 6.5, može se sagledati kvalitet kalibrisanih podataka.

TABELA 6.5: Parametri kvaliteta kalibriranih podataka, UAVMmC - kontrolne tačke

| | |
|--------------------------|-----------|
| Srednja vrednost dZ | - 0,000 m |
| dZ min | - 0,005 m |
| dZ max | + 0,010 m |
| Srednja kvadratna greška | 0,002 m |
| Standardna devijacija | 0,002 m |



SLIKA 6.9: Prikaz odstupanja kontrolnih tačaka od UAVMmC modela



SLIKA 6.10: Dijagram broja tačaka po intervalu odstupanja od UAVMmC modela

Na slici 6.9 je prikazan dijagram dobijenih dZ vrednosti. Vertikalnom osom dijagrama predstavljeno je odstupanje Z vrednosti. Iz dijagrama se vidi da je sada trend odstupanja i pozitivan i negativan. Na slici 6.10 prikazan je dijagram broja tačaka po intervalu odstupanja na kome se vidi da se najveći broj tačaka (85) nalazi u intervalu odstupanja od (-0,001, -0,000).

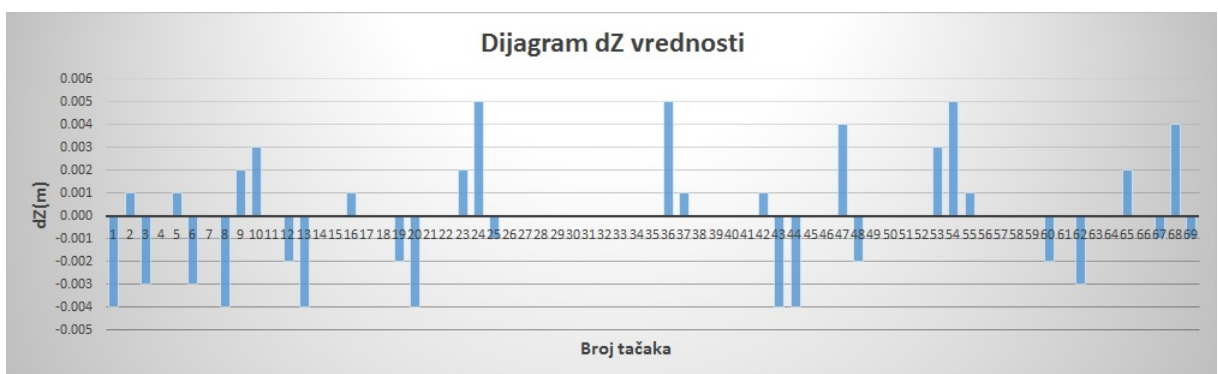
Analiza kalibriranih LiDAR podataka na osnovu kontrolnih tačaka

U tabeli 10.6 dat je prikaz kontrolnih tačaka čije su Z vrednosti očitane na modelu LiDARMmCP modelu, pri čemu dZ predstavlja razliku Z vrednosti kontrolne

tačke i iste te tačke očitane na LiDARMmCP modelu. Na osnovu dobijenih vrednosti prikazanih u tabeli 6.6, može se sagledati kvalitet kalibriranih podataka.

TABELA 6.6: Parametri kvaliteta kalibriranih podataka, LiDARMmC - kontrolne tačke

| | |
|--------------------------|-----------|
| Srednja vrednost dZ | - 0,000 m |
| dZ min | - 0,004 m |
| dZ max | + 0,005 m |
| Srednja kvadratna greška | 0,002 m |
| Standardna devijacija | 0,002 m |



SLIKA 6.11: Prikaz kontrolnih tačaka. Prikaz odstupanja kontrolnih tačaka od LiDARMmC modela



SLIKA 6.12: Dijagram broja tačaka po intervalu odstupanja od LiDARMmC modela

Na slici 6.11 prikazan je dijagram dobijenih dZ vrednosti. Vertikalnom osom dijagrama predstavljeno je odstupanje Z vrednosti. Iz dijagrama se vidi da je sada trend odstupanja i pozitivan i negativan. Na slici 6.12 prikazan je dijagram broja tačaka po intervalu odstupanja na kome se vidi da se najveći broj tačaka (43) nalazi u intervalu odstupanja od (-0.001, 0.001).

6.1.2.2 Rezultati analize kalibriranih UAV i LiDAR podataka sprovedene na osnovu kontrolnih tačaka i kontrolnih profila

Nakon završene kalibracije i upoređenja sa kontrolnim tačkama izvršeno je upoređenje kalibriranih podataka sa kontrolnim tačkama i profilima na osnovu kojih je izvršena kalibracija.

- UAVMmCPP – model kreiran od kalibriranih UAV podataka na osnovu kontrolnih tačaka i kontrolnih profila
- LiDARMmCPP – model kreiran od kalibriranih LiDAR podataka na osnovu kontrolnih tačaka i kontrolnih profila

Analiza kalibriranih UAV podataka na osnovu kontrolnih tačaka i kontrolnih profila

U tabeli 10.7 dat je prikaz kontrolnih tačaka čije su Z vrednosti očitane na modelu LiDARMmCP modelu, pri čemu dZ predstavlja razliku Z vrednosti kontrolne tačke i iste te tačke očitane na LiDARMmCP modelu. Na osnovu dobijenih vrednosti prikazanih u tabeli 6.7, može se sagledati kvalitet kalibriranih podataka.

TABELA 6.7: Parametri kvaliteta kalibriranih podataka, UAVmCP - kontrolne tačke i kontrolni profili

| | |
|--------------------------|-----------|
| Srednja vrednost dZ | - 0,001 m |
| dZ min | - 0,061 m |
| dZ max | + 0,042 m |
| Srednja kvadratna greška | 0,002 m |
| Standardna devijacija | 0,006 m |



SLIKA 6.13: Prikaz odstupanja kontrolnih tačaka od kalibriranog UAVMmCP modela

Na slici 6.13 prikazan je dijagram dobijenih dZ vrednosti. Vertikalnom osom dijagrama predstavljeno je odstupanje Z vrednosti. Iz dijagrama se vidi da je sada trend odstupanja i pozitivan i negativan. Na slici 6.14 prikazan je dijagram broja



SLIKA 6.14: Dijagram broja tačaka po intervalu odstupanja od UAVMmCP modela

tačaka po intervalu odstupanja na kome se vidi da se najveći broj tačaka (235) nalazi u intervalu odstupanja od (-0.001, +0.001).

Analiza kalibriranih LiDAR podataka na osnovu kontrolnih tačaka i kontrolnih profila

U tabeli 10.8 dat je prikaz kontrolnih tačaka čije su Z vrednosti očitane na modelu LiDARMmCP modelu, pri čemu dZ predstavlja razliku Z vrednosti kontrolne tačke i iste te tačke očitane na LiDARMmCPP modelu. Na osnovu dobijenih vrednosti prikazanih u tabeli 6.8, može se sagledati kvalitet kalibriranih podataka.

Pri očitavanju Z vrednosti kontrolnih tačaka na profilima na LiDARMmCP, dobijene su sledeće vrednosti:

TABELA 6.8: Parametri kvaliteta kalibriranih podataka, LiDARMCP - kontrolne tačke i kontrolni profili

| | |
|--------------------------|-----------|
| Srednja vrednost dZ | - 0,000 m |
| dZ min | - 0,009 m |
| dZ max | + 0,022 m |
| Srednja kvadratna greška | 0,002 m |
| Standardna devijacija | 0,003 m |

Na slici 6.15 prikazan je dijagram dobijenih dZ vrednosti. Vertikalnom osom dijagrama predstavljeno je odstupanje Z vrednosti. Iz dijagrama se vidi da je sada trend odstupanja i pozitivan i negativan. Na slici 6.16 prikazan je dijagram broja tačaka po intervalu odstupanja na kome se vidi da se najveći broj tačaka (85) nalazi u intervalu odstupanja od (-0.001, -0.000).



SLIKA 6.15: Prikaz odstupanja kontrolnih tačaka od LiDARMmCP modela



SLIKA 6.16: Dijagram broja tačaka po intervalu odstupanja od LiDARMmCP modela

6.2 Rezultati analize kalibriranih podataka - upoređenje sa uslovno tačnim modelom

Analiza kalibriranih podataka izvršena je na osnovu upoređenja sa uslovno tačnim modelom, kojeg definišu tačke snimljene metodom precizne elektronske tahimetrije. Upoređenje je izvršeno tako što su rezultati posmatrani u intervalima odstupanja koji se smatraju relevantnim za rezultate istraživanja. Posmatrani su intervali od -15 cm do +15 cm. Na osnovu Zakona rasporeda slučajne promenljive, određene su gustina i funkcija raspodele i na osnovu njih su kreirani dijagrami tih funkcija i histogrami apsolutnih frekvencija.

Ako nađemo limes količnika verovatnoće događaja da slučajna veličina X padne na elementarni odsečak od x do $x + \Delta x$ i dužine tog odsečka Δx , kada Δx teži nuli, dobijamo gustinu rasporeda slučajne veličine u tački x sa oznakom $f(x)$,

$$\lim_{\Delta x \rightarrow \infty} \frac{\Delta p}{x} = \lim_{\Delta x \rightarrow \infty} \frac{P(x \leq X < x + \Delta x)}{\Delta x} = f(x), -\infty < x < \infty \quad (6.1)$$

Funkciju $f(x)$ definisanu u 6.1 nazivamo gustinom ili zakonom ili diferencijalnim zakonom rasporeda verovatnoća neprekidne slučajne promenljive X .

Smisao gustine rasporeda je u tome da ukazuje na to koliko se često pojavljuje slučajna veličina X u nekoj okolini tačke x pri ponavljanju opažanja ili merenja.

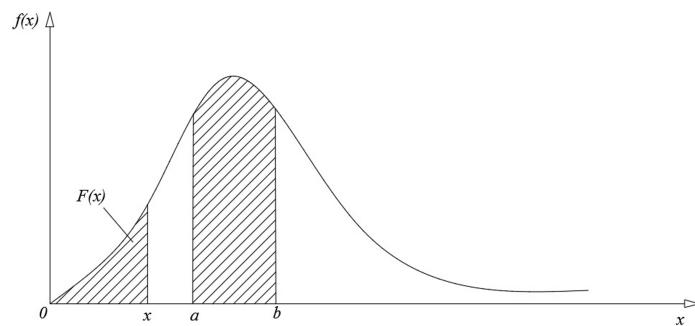
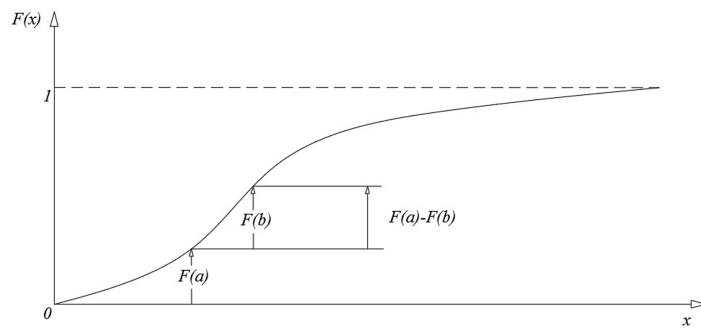
Osobine gustine rasporeda su:

- Gustina rasporeda je nenegativna, $f(x) \geq 0$, za svako x .
- Normiranost. Integral gustine rasporeda u beskonačnim granicama slučajne veličine X jednak je jedinici, $\int_{-\infty}^{+\infty} f(x)dx = 1$.
- Verovatnoća da neprekidna slučajna veličina X padne na odsečak $[a, b]$ jednaka je određenom integralu od gustine rasporeda na tom odsečku, $P[a \leq X \leq b] = \int_a^b f(x)dx$.

Neka je $(X > x)$ događaj takav da slučajna veličina X može dobiti vrednosti manje od određenog broja x . Verovatnoća događaja $(X > x)$ zapisuje se u vidu $P(X > x)$. Ona je funkcija od x i označava se sa $F(x)$, tj:

$$F(x) = P(X < x) \quad (6.2)$$

i naziva se Funkcijom rasporeda ili integralnim zakonom rasporeda slučajne veličine X . Grafik funkcije rasporeda prikazan je na slici 6.17



SLIKA 6.17: Grafik funkcije raspodele $F(X)$ i krive rasporeda $f(x)$ ispod koje šrafirana oblast predstavlja verovatnoću $p(a < X < b)$

Definicija funkcije rasporeda dovodi do zaključka da ona ima jednostavnu geometrijsku interpretaciju.

6.2.1 Analiza kalibriranih UAV podataka na osnovu kontrolnih tačaka i kontrolnih profila – upoređenje sa uslovno tačnim modelom PTM

Nakon završene kalibracije, na osnovu kontrolnih tačaka i kontrolnih profila, dobijeni su UVAVMmC, UAVMmCP kalibrirani oblaci tačaka. U cilju ocene tačnosti tih podataka, izvršeno je njihovo upoređenje sa uslovno tačnim modelom, kojeg reprezentuje detalj snimljen metodom precizne elektronske tahimetrije (Poglavlje 5.3.4) (u daljem tekstu PTM).

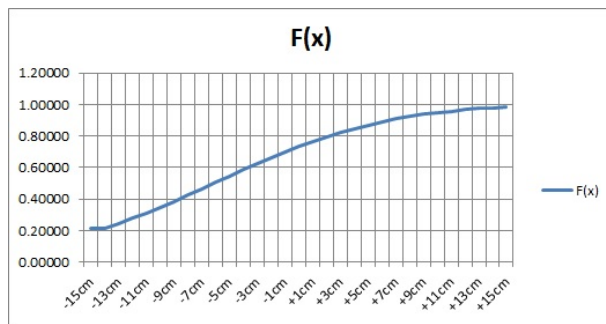
Pre upoređenja kalibriranih podataka izvršeno je upoređenje originalnih podataka sa PTM modelom, što nam u daljim analizama omogućuje uvid u stepen poboljšanja tačnosti kalibriranih podataka u odnosu na originalno generisane podatke.

6.2.1.1 Analiza originalnih UAV podataka – upoređenje sa uslovno tačnim modelom PTM

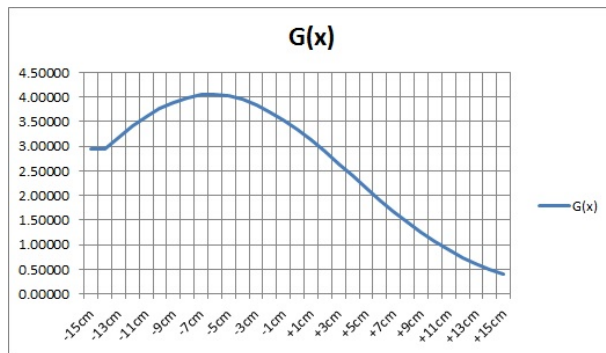
Izvršena je analiza odstupanja originalno generisanih podataka od PTM modela, tačnije analizirane su 3.162 tačke i njihovo odstupanje od originalno generisanih podataka. Za potrebe analize izvršeno je filtriranje i odstranjivanje grubih grešaka, da bi se na kraju analizirali intervali na kojima se očekuju najveća odstupanja. Analizirani su intervali odstupanja od -15 cm do +15 cm. U tabeli 6.9 dat je prikaz intervala odstupanja sa brojem tačaka u svakom od intervala. Na slikama 6.18 i 6.19 prikazane su funkcija i gustina raspodele. Na dijagramu 6.20 vidi se da se najveći broj tačaka nalazi u intervalima odstupanja od -7 cm i od -10 cm.

| Intervali | Broj tačaka | Mediana | F(x) | G(x) |
|-----------|-------------|------------|-----------|-----------|
| -15cm | 89 | -0.1397024 | 0.2121436 | 2.9518745 |
| -14cm | 113 | -0.1397024 | 0.2121436 | 2.9518745 |
| -13cm | 117 | -0.1295532 | 0.2433176 | 3.1888702 |
| -12cm | 123 | -0.1194700 | 0.2765882 | 3.4069470 |
| -11cm | 138 | -0.1095495 | 0.3113593 | 3.5988447 |
| -10cm | 144 | -0.0994831 | 0.3484503 | 3.7651482 |
| -9cm | 128 | -0.0895392 | 0.3865726 | 3.8965730 |
| -8cm | 111 | -0.0797500 | 0.4252058 | 3.9902809 |
| -7cm | 147 | -0.0694464 | 0.4666529 | 4.0476791 |
| -6cm | 131 | -0.0596455 | 0.5064241 | 4.0613511 |
| -5cm | 141 | -0.0493729 | 0.5480336 | 4.0324000 |
| -4cm | 143 | -0.0395130 | 0.5874865 | 3.9638125 |
| -3cm | 129 | -0.0292222 | 0.6277353 | 3.8518464 |
| -2cm | 121 | -0.0193137 | 0.6652177 | 3.7083589 |
| -1cm | 108 | -0.0095909 | 0.7004654 | 3.5375849 |
| 0 | 100 | -0.0000122 | 0.7334453 | 3.3448265 |
| +1cm | 74 | 0.0094561 | 0.7641357 | 3.1351697 |
| +2cm | 74 | 0.0192813 | 0.7938078 | 2.9028333 |
| +3cm | 59 | 0.0296154 | 0.8224971 | 2.6482630 |
| +4cm | 58 | 0.0396818 | 0.8478876 | 2.3961273 |
| +5cm | 39 | 0.0497500 | 0.8707463 | 2.1452988 |
| +6cm | 45 | 0.0595854 | 0.8906638 | 1.9062046 |
| +7cm | 37 | 0.0699643 | 0.9091829 | 1.6645326 |
| +8cm | 31 | 0.0795600 | 0.9241339 | 1.4539298 |
| +9cm | 39 | 0.0892813 | 0.9372904 | 1.2554482 |
| +10cm | 30 | 0.0992083 | 0.9488172 | 1.0698275 |
| +11cm | 26 | 0.1099091 | 0.9592845 | 0.8901117 |
| +12cm | 22 | 0.1204118 | 0.9677983 | 0.7345828 |
| +13cm | 18 | 0.1296923 | 0.9740443 | 0.6140578 |
| +14cm | 10 | 0.1396667 | 0.9795934 | 0.5014594 |
| +15cm | 16 | 0.1499231 | 0.9842165 | 0.4028132 |

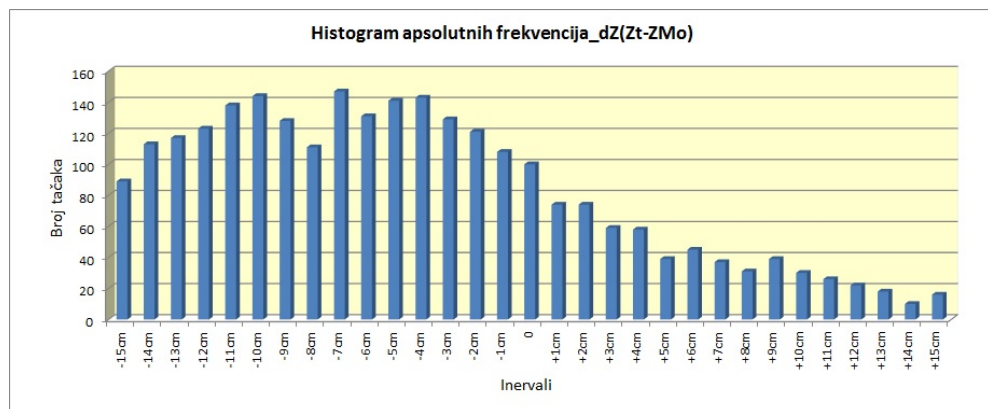
TABELA 6.9: Tabelarni prikaz broja tačaka po intervalu odstupanja originalnih UAV podataka u odnosu na PTM



SLIKA 6.18: Funkcija raspodele originalnih UAV podataka u odnosu na PTM



SLIKA 6.19: Gustina raspodele originalnih UAV podataka u odnosu na PTM



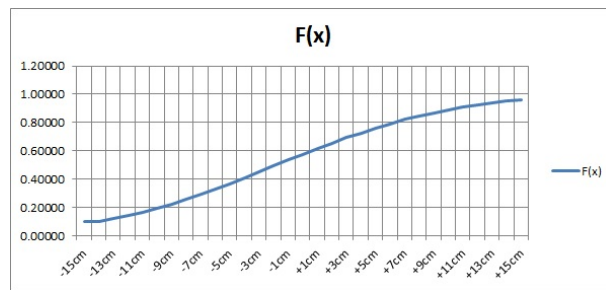
SLIKA 6.20: Histogram apsolutnih frekvencija originalnih UAV podataka u odnosu na PTM

6.2.1.2 Analiza kalibriranih UAV podataka na osnovu kontrolnih tačaka – upoređenje sa uslovno tačnim modelom PTM

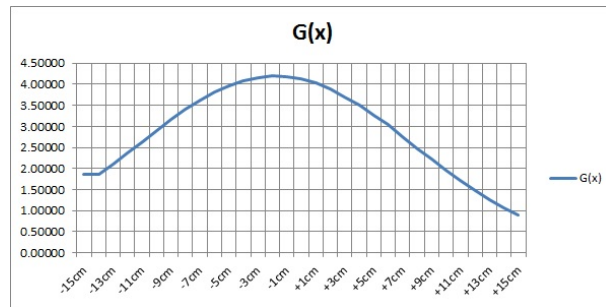
Nakon završene analize originalno generisanih podataka UAV sistemom i njihove kalibracije korišćenjem samo kontrolne tačke, izvršena je analiza kalibriranih podataka. Kao i kod upoređenja originalno generisanih podataka, kreirana su odstupanja originalnih podataka od uslovno tačnog modela podeljena na intervale odstupanja i to je prikazano u tabeli 6.10. Na slikama 6.21 i 6.22 prikazane su funkcija i gustina raspodele. Upoređenjem kalibriranih podataka sa uslovno tačnim modelom ustanovljeno je da se najveći broj tačaka nalazi u intervalu odstupanja od -3 cm, što se može videti na dijagramu 6.23.

| Intervali | Broj tačaka | Mediana | $F(x)$ | $G(x)$ |
|-----------|-------------|------------|-----------|-----------|
| -15cm | 28 | -0.1391563 | 0.1010489 | 1.8602769 |
| -14cm | 39 | -0.1391563 | 0.1010489 | 1.8602769 |
| -13cm | 41 | -0.1295000 | 0.1201940 | 2.1067383 |
| -12cm | 53 | -0.1195625 | 0.1424268 | 2.3688548 |
| -11cm | 61 | -0.1097551 | 0.1669446 | 2.6311540 |
| -10cm | 80 | -0.0992857 | 0.1959502 | 2.9089174 |
| -9cm | 83 | -0.0895238 | 0.2255793 | 3.1595510 |
| -8cm | 110 | -0.0790842 | 0.2598964 | 3.4114847 |
| -7cm | 124 | -0.0697766 | 0.2926180 | 3.6160303 |
| -6cm | 149 | -0.0594758 | 0.3309133 | 3.8138669 |
| -5cm | 182 | -0.0497027 | 0.3689696 | 3.9682558 |
| -4cm | 168 | -0.0394552 | 0.4102957 | 4.0901603 |
| -3cm | 228 | -0.0295632 | 0.4511625 | 4.1652200 |
| -2cm | 207 | -0.0196011 | 0.4928483 | 4.1960310 |
| -1cm | 184 | -0.0096443 | 0.5345903 | 4.1809206 |
| 0 | 209 | -0.0001341 | 0.5741135 | 4.1240763 |
| +1cm | 149 | 0.0097177 | 0.6142810 | 4.0233153 |
| +2cm | 137 | 0.0193652 | 0.6524642 | 3.8863674 |
| +3cm | 120 | 0.0298384 | 0.6922208 | 3.6995821 |
| +4cm | 114 | 0.0396629 | 0.7275783 | 3.4937705 |
| +5cm | 69 | 0.0496042 | 0.7611736 | 3.2615121 |
| +6cm | 77 | 0.0587119 | 0.7898475 | 3.0330502 |
| +7cm | 69 | 0.0696863 | 0.8215631 | 2.7452378 |
| +8cm | 54 | 0.0798182 | 0.8480067 | 2.4743762 |
| +9cm | 47 | 0.0891351 | 0.8699029 | 2.2265165 |
| +10cm | 20 | 0.0993529 | 0.8912903 | 1.9613606 |
| +11cm | 38 | 0.1096129 | 0.9100965 | 1.7069196 |
| +12cm | 19 | 0.1197857 | 0.9262423 | 1.4702341 |
| +13cm | 25 | 0.1301053 | 0.9402553 | 1.2489445 |
| +14cm | 19 | 0.1398824 | 0.9515198 | 1.0585277 |
| +15cm | 20 | 0.1496429 | 0.9610032 | 0.8879751 |

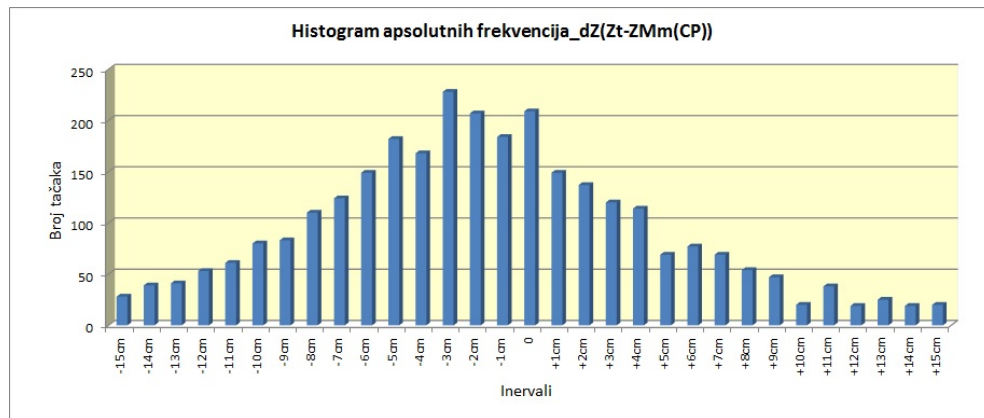
TABELA 6.10: Tabelarni prikaz broja tačaka po intervalu odstupanja UAV kalibriranih podataka na osnovu kontrolnih tačaka



SLIKA 6.21: Funkcija raspodele UAV podataka kalibriranih na osnovu kontrolnih tačaka



SLIKA 6.22: Gustina raspodele UAV podataka kalibriranih na osnovu kontrolnih tačaka



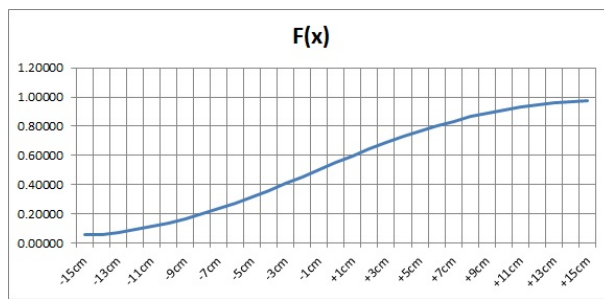
SLIKA 6.23: Histogram apsolutnih frekvencija kalibriranih UAV podataka na osnovu kontrolnih tačaka

6.2.1.3 Analiza kalibriranih UAV podataka na osnovu kontrolnih tačaka i kontrolnih profila – upoređenje sa uslovno tačnim modelom PTM

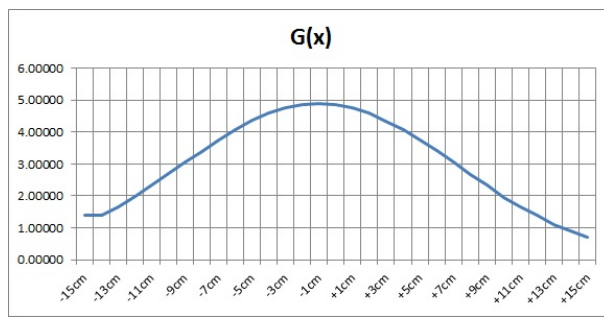
Nakon završene analize podataka kalibriranih samo pomoću kontrolnih tačaka, izvršena je kalibracija podataka pomoću kontrolnih tačaka i kontrolnih profila kako bi se povećala tačnost. U tabeli 6.11 prikazana su odstupanja podataka kalibriranih pomoću kontrolnih tačaka i kontrolnih profila od uslovno tačnog modela. Na slikama 6.24 i 6.25 prikazane su funkcija i gustina raspodele. Upoređenjem kalibriranih podataka sa uslovno tačnim modelom ustanovljeno je da se najveći broj tačaka nalazi u intervalu odstupanja od 0 cm, što se može videti na dijagramu 6.26.

| Intervali | Broj tačaka | Mediana | $F(x)$ | $G(x)$ |
|-----------|-------------|------------|-----------|-----------|
| -15cm | 29 | -0.1398065 | 0.0557551 | 1.3810238 |
| -14cm | 38 | -0.1398065 | 0.0557551 | 1.3810238 |
| -13cm | 40 | -0.1299091 | 0.0707964 | 1.6634378 |
| -12cm | 53 | -0.1194348 | 0.0899207 | 1.9931192 |
| -11cm | 46 | -0.1088108 | 0.1129930 | 2.3541830 |
| -10cm | 59 | -0.0993556 | 0.1368377 | 2.6913757 |
| -9cm | 79 | -0.0889706 | 0.1667488 | 3.0695586 |
| -8cm | 93 | -0.0797308 | 0.1966598 | 3.4036244 |
| -7cm | 105 | -0.0695385 | 0.2331739 | 3.7578987 |
| -6cm | 125 | -0.0594151 | 0.2728877 | 4.0824538 |
| -5cm | 142 | -0.0497739 | 0.3135925 | 4.3545418 |
| -4cm | 156 | -0.0395339 | 0.3594503 | 4.5923593 |
| -3cm | 204 | -0.0296047 | 0.4059479 | 4.7628714 |
| -2cm | 194 | -0.0196500 | 0.4539367 | 4.8669744 |
| -1cm | 202 | -0.0094419 | 0.5038503 | 4.8994435 |
| 0 | 257 | -0.0002121 | 0.5489496 | 4.8627432 |
| +1cm | 185 | 0.0094625 | 0.5955434 | 4.7584773 |
| +2cm | 187 | 0.0193287 | 0.6416980 | 4.5872616 |
| +3cm | 144 | 0.0298707 | 0.6888081 | 4.3401224 |
| +4cm | 129 | 0.0393048 | 0.7285192 | 4.0719785 |
| +5cm | 110 | 0.0495176 | 0.7684561 | 3.7432629 |
| +6cm | 82 | 0.0590323 | 0.8025117 | 3.4122949 |
| +7cm | 59 | 0.0690000 | 0.8347351 | 3.0518794 |
| +8cm | 58 | 0.0794043 | 0.8645144 | 2.6731462 |
| +9cm | 44 | 0.0891471 | 0.8888598 | 2.3265219 |
| +10cm | 36 | 0.0998846 | 0.9118702 | 1.9634974 |
| +11cm | 31 | 0.1094444 | 0.9291883 | 1.6637152 |
| +12cm | 14 | 0.1192308 | 0.9440786 | 1.3842727 |
| +13cm | 26 | 0.1305000 | 0.9580390 | 1.1002508 |
| +14cm | 12 | 0.1399000 | 0.9673951 | 0.8952414 |
| +15cm | 20 | 0.1491875 | 0.9748781 | 0.7207348 |

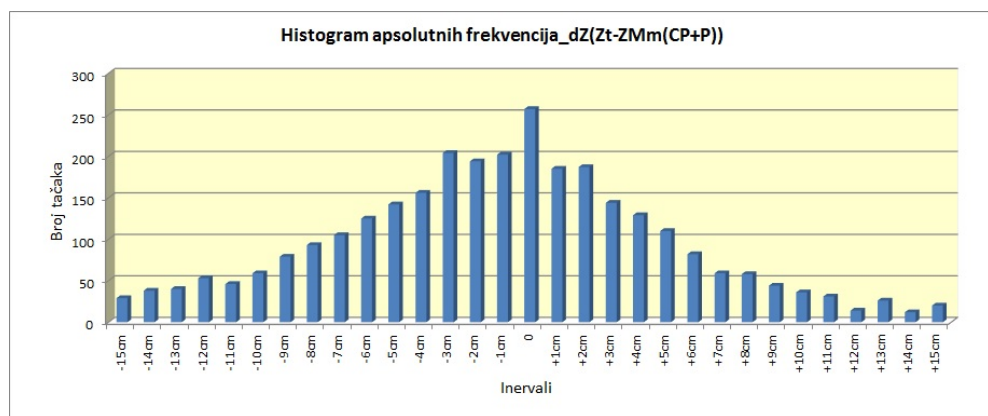
TABELA 6.11: Tabelarni prikaz broja tačaka po intervalu odstupanja UAV kalibriranih podataka na osnovu kontrolnih tačaka i kontrolnih profila



SLIKA 6.24: Funkcija raspodele UAV podataka kalibriranih na osnovu kontrolnih tačaka i kontrolnih profila



SLIKA 6.25: Gustina raspodele UAV podataka kalibriranih na osnovu kontrolnih tačaka i kontrolnih profila



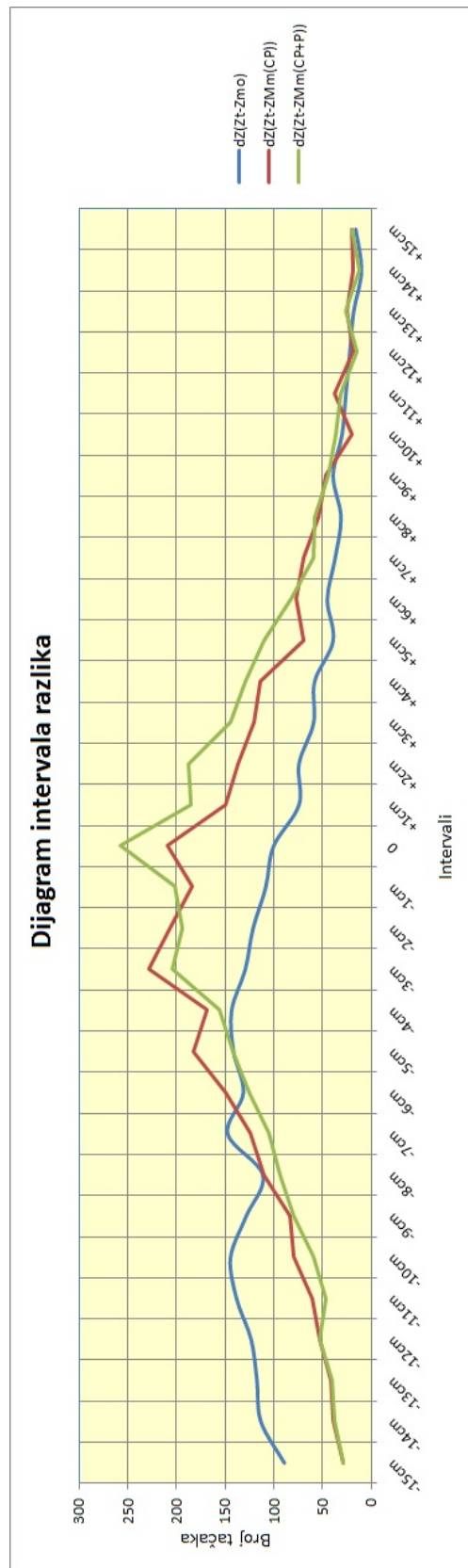
SLIKA 6.26: Histogram apsolutnih frekvencija kalibriranih UAV podataka na osnovu kontrolnih tačaka i kontrolnih profila

6.2.1.4 Analiza originalnih i kalibriranih UAV podataka na osnovu kontrolnih tačaka i kontrolnih profila – upoređenje sa uslovno tačnim modelom PTM

Nakon završene analize originalnih i kalibriranih podataka, definisana su odstupanja od uslovno tačnog modela. Na osnovu analiza ustanovljen je trend poboljšanja tačnosti generisanih podataka primenom metoda kalibracije. U tabeli 6.12 dat je prikaz broja tačaka po intervalu odstupanja originalno generisanih podataka, kalibriranih podataka sa kontrolnim tačkama i kalibriranih podataka sa kontrolnim tačkama i kontrolnim profilima.

| Intervali | dZ(Zt-Zmo) | dZ(Zt-ZMm(CP)) | dZ(Zt-ZMm(CP+P)) |
|-----------|------------|----------------|------------------|
| -15cm | 89 | 28 | 29 |
| -14cm | 113 | 39 | 38 |
| -13cm | 117 | 41 | 40 |
| -12cm | 123 | 53 | 53 |
| -11cm | 138 | 61 | 46 |
| -10cm | 144 | 80 | 59 |
| -9cm | 128 | 83 | 79 |
| -8cm | 111 | 110 | 93 |
| -7cm | 147 | 124 | 105 |
| -6cm | 131 | 149 | 125 |
| -5cm | 141 | 182 | 142 |
| -4cm | 143 | 168 | 156 |
| -3cm | 129 | 228 | 204 |
| -2cm | 121 | 207 | 194 |
| -1cm | 108 | 184 | 202 |
| 0 | 100 | 209 | 257 |
| +1cm | 74 | 149 | 185 |
| +2cm | 74 | 137 | 187 |
| +3cm | 59 | 120 | 144 |
| +4cm | 58 | 114 | 129 |
| +5cm | 39 | 69 | 110 |
| +6cm | 45 | 77 | 82 |
| +7cm | 37 | 69 | 59 |
| +8cm | 31 | 54 | 58 |
| +9cm | 39 | 47 | 44 |
| +10cm | 30 | 20 | 36 |
| +11cm | 26 | 38 | 31 |
| +12cm | 22 | 19 | 14 |
| +13cm | 18 | 25 | 26 |
| +14cm | 10 | 19 | 12 |
| +15cm | 16 | 20 | 20 |

TABELA 6.12: Tabelarni prikaz broja tačaka po intervalu odstupanja UAV originalno generisanih podataka, UAV kalibriranih podataka sa kontrolnim tačkama i UAV kalibriranih podataka sa kontrolnim tačkama i kontrolnim profilima



SLIKA 6.27: Grafički prikaz intervala razlika odstupanja originalnih UAV podataka, UAV podataka kalibriranih kontrolnim tačkama i UAV podataka kalibriranih kontrolnim tačkama i kontrolnim profilima od uslovno tačnog modela PTM

6.2.2 Analiza kalibriranih LiDAR podataka na osnovu kontrolnih tačaka i kontrolnih profila – upoređenje sa uslovno tačnim modelom PTM

Posle završene analize podataka prikupljenih UAV sistemom, po istom principu je realizovana analiza podataka generisanih LiDAR sistemom.

Nakon završene kalibracije na osnovu kontrolnih tačaka i kontrolnih profila dobijeni su LiDARMmC i LiDARMmCP kalibrirani oblaci tačaka. U cilju ocene tačnosti ovih podataka, izvršeno je njihovo upoređenje sa uslovno tačnim modelom PTM.

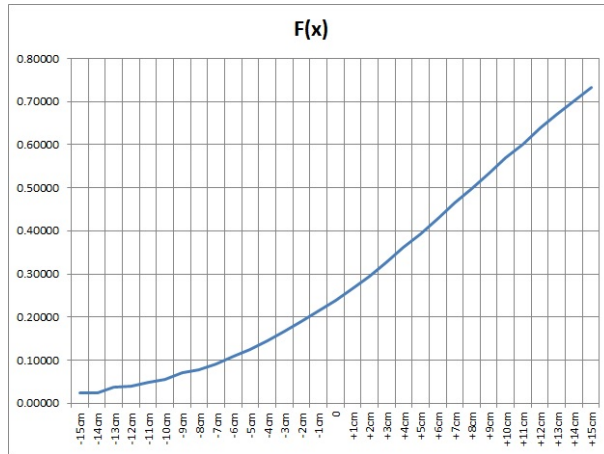
Pre upoređenja kalibriranih podataka izvršeno je upoređenje originalnih podataka sa PTM modelom što nam u daljim analizama omogućuje uvid u stepen poboljšanja tačnosti kalibriranih podataka u odnosu na originalno generisane podatke.

6.2.2.1 Analiza originalnih LiDAR podataka na osnovu kontrolnih tačaka – upoređenje sa uslovno tačnim modelom PTM

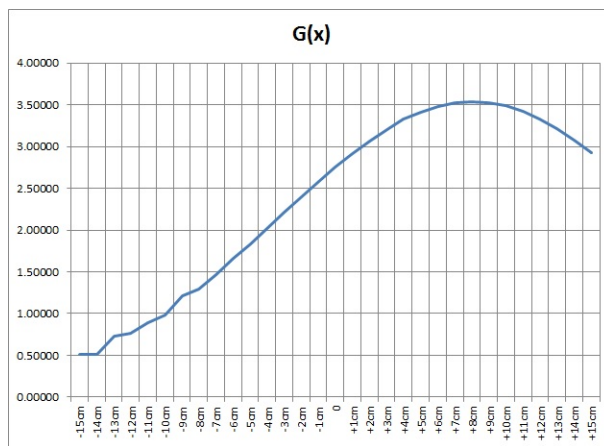
Kao kod analize podataka prikupljenih UAV sistemom i ovde je izvršena analiza odstupanja originalno generisanih podataka od PTM modela. Analizirane su 3.162 tačke i njihovo odstupanje od originalno generisanih podataka. Analizirani su intervali odstupanja od -15 cm do +15 cm. U tabeli 6.13 dat je prikaz intervala odstupanja sa brojem tačaka u svakom od intervala. Na slikama 6.28 i 6.29 prikazane su funkcija i gustina raspodele. Na dijagramu 6.30 se vidi da se najveći broj tačaka nalazi u intervalu odstupanja od +9 cm.

| Intervali | Broj tačaka | Mediana | F(x) | G(x) |
|-----------|-------------|-----------|----------|----------|
| -15cm | 0 | -0.142000 | 0.024330 | 0.507173 |
| -14cm | 3 | -0.142000 | 0.024330 | 0.507173 |
| -13cm | 0 | -0.120000 | 0.037846 | 0.731315 |
| -12cm | 6 | -0.117667 | 0.039584 | 0.758562 |
| -11cm | 2 | -0.107500 | 0.047929 | 0.885188 |
| -10cm | 0 | -0.100000 | 0.054945 | 0.986794 |
| -9cm | 1 | -0.085000 | 0.071389 | 1.210134 |
| -8cm | 6 | -0.079833 | 0.077854 | 1.292916 |
| -7cm | 6 | -0.069667 | 0.091859 | 1.463690 |
| -6cm | 22 | -0.058455 | 0.109375 | 1.662517 |
| -5cm | 13 | -0.049231 | 0.125490 | 1.832513 |
| -4cm | 19 | -0.039632 | 0.143947 | 2.013524 |
| -3cm | 16 | -0.029125 | 0.166153 | 2.213698 |
| -2cm | 35 | -0.019286 | 0.188854 | 2.400156 |
| -1cm | 36 | -0.009250 | 0.213879 | 2.586117 |
| 0 | 50 | 0.000220 | 0.239174 | 2.754664 |
| +1cm | 43 | 0.009535 | 0.265570 | 2.911021 |
| +2cm | 59 | 0.019288 | 0.294709 | 3.061735 |
| +3cm | 73 | 0.029671 | 0.327257 | 3.204257 |
| +4cm | 108 | 0.040111 | 0.361363 | 3.325635 |
| +5cm | 94 | 0.049415 | 0.392726 | 3.412879 |
| +6cm | 101 | 0.059802 | 0.428573 | 3.484788 |
| +7cm | 107 | 0.070121 | 0.464782 | 3.527897 |
| +8cm | 100 | 0.079480 | 0.497881 | 3.541656 |
| +9cm | 109 | 0.089349 | 0.532796 | 3.529732 |
| +10cm | 101 | 0.099525 | 0.568533 | 3.489317 |
| +11cm | 104 | 0.109125 | 0.601746 | 3.425886 |
| +12cm | 80 | 0.119862 | 0.638028 | 3.327547 |
| +13cm | 74 | 0.129639 | 0.670028 | 3.214953 |
| +14cm | 48 | 0.139479 | 0.701023 | 3.081948 |
| +15cm | 56 | 0.149893 | 0.732304 | 2.922780 |

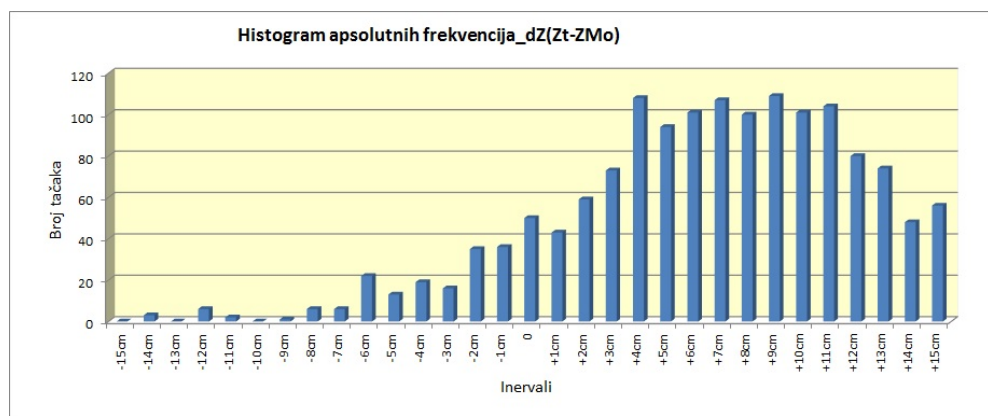
TABELA 6.13: Tabelarni prikaz broja tačaka po intervalu odstupanja originalnih LiDAR podataka na osnovu kontrolnih tačaka



SLIKA 6.28: Funkcija raspodele originalnih LiDAR podataka na osnovu kontrolnih tačaka



SLIKA 6.29: Gustina raspodele originalnih LiDAR podataka na osnovu kontrolnih tačaka



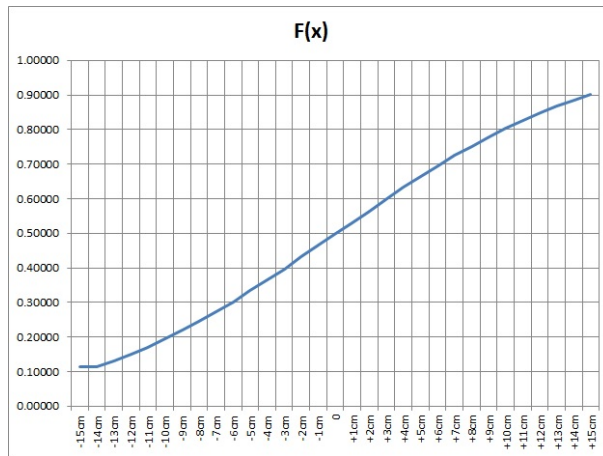
SLIKA 6.30: Histogram apsolutnih frekvencija originalnih LiDAR podataka na osnovu kontrolnih tačaka

6.2.2.2 Analiza kalibriranih LiDAR podataka na osnovu kontrolnih tačaka – upoređenje sa uslovno tačnim modelom PTM

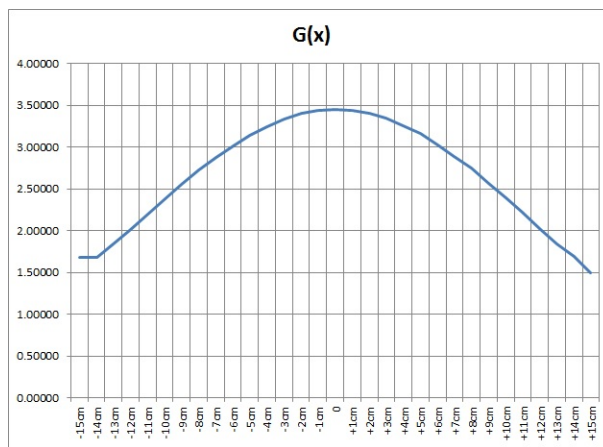
Nakon završene analize originalno generisanih podataka LiDAR sistemom i njihove kalibracije korišćenjem samo kontrolne tačke, izvršena je analiza kalibriranih podataka. Kao i kod upoređenja originalno generisanih podataka, kreirana odstupanja originalnih podataka od uslovno tačnog modela, podeljena su na intervale odstupanja (od -15 cm do +15 cm) i to je prikazano u tabeli 6.14. Na slikama 6.31 i 6.32 prikazane su funkcija i gustina raspodele. Upoređenjem kalibriranih podataka sa uslovno tačnim modelom ustanovljeno je da se najveći broj tačaka nalazi u intervalu odstupanja od 0 cm, što se može videti na dijagramu 6.33.

| Intervali | Broj tačaka | Mediana | $F(x)$ | $G(x)$ |
|-----------|-------------|-----------|----------|----------|
| -15cm | 4 | -0.138333 | 0.114842 | 1.677348 |
| -14cm | 15 | -0.138333 | 0.114842 | 1.677348 |
| -13cm | 16 | -0.129077 | 0.131121 | 1.840771 |
| -12cm | 26 | -0.119385 | 0.149806 | 2.015086 |
| -11cm | 26 | -0.109346 | 0.170946 | 2.196711 |
| -10cm | 31 | -0.098903 | 0.194866 | 2.383894 |
| -9cm | 31 | -0.089065 | 0.219170 | 2.555667 |
| -8cm | 51 | -0.079000 | 0.245745 | 2.723706 |
| -7cm | 54 | -0.069222 | 0.273134 | 2.876578 |
| -6cm | 66 | -0.059439 | 0.301971 | 3.016444 |
| -5cm | 88 | -0.049250 | 0.333379 | 3.145319 |
| -4cm | 106 | -0.039538 | 0.364450 | 3.249697 |
| -3cm | 108 | -0.029565 | 0.397307 | 3.335891 |
| -2cm | 115 | -0.019339 | 0.431769 | 3.400267 |
| -1cm | 111 | -0.009676 | 0.464826 | 3.437440 |
| 0 | 125 | 0.000160 | 0.498722 | 3.450844 |
| +1cm | 97 | 0.009546 | 0.531082 | 3.440383 |
| +2cm | 83 | 0.019108 | 0.563836 | 3.406589 |
| +3cm | 86 | 0.029593 | 0.599245 | 3.343522 |
| +4cm | 71 | 0.039732 | 0.632732 | 3.258053 |
| +5cm | 56 | 0.049143 | 0.662940 | 3.158868 |
| +6cm | 46 | 0.059804 | 0.695927 | 3.025820 |
| +7cm | 38 | 0.069763 | 0.725369 | 2.884362 |
| +8cm | 37 | 0.078676 | 0.750467 | 2.746049 |
| +9cm | 21 | 0.089571 | 0.779412 | 2.565142 |
| +10cm | 23 | 0.099609 | 0.804286 | 2.390191 |
| +11cm | 16 | 0.109188 | 0.826362 | 2.218718 |
| +12cm | 16 | 0.120000 | 0.849295 | 2.023138 |
| +13cm | 16 | 0.130231 | 0.869050 | 1.839107 |
| +14cm | 4 | 0.138500 | 0.883652 | 1.692950 |
| +15cm | 6 | 0.149833 | 0.901731 | 1.498808 |

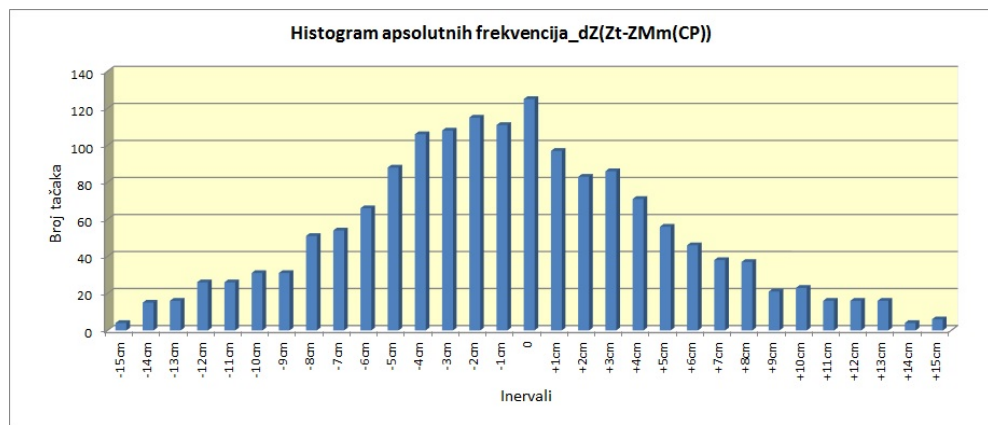
TABELA 6.14: Tabelarni prikaz broja tačaka po intervalu odstupanja LiDAR kalibriranih podataka na osnovu kontrolnih tačaka



SLIKA 6.31: Funkcija raspodele LiDAR podataka kalibrisanih na osnovu kontrolnih tačaka



SLIKA 6.32: Gustina raspodele LiDAR podataka kalibrisanih na osnovu kontrolnih tačaka



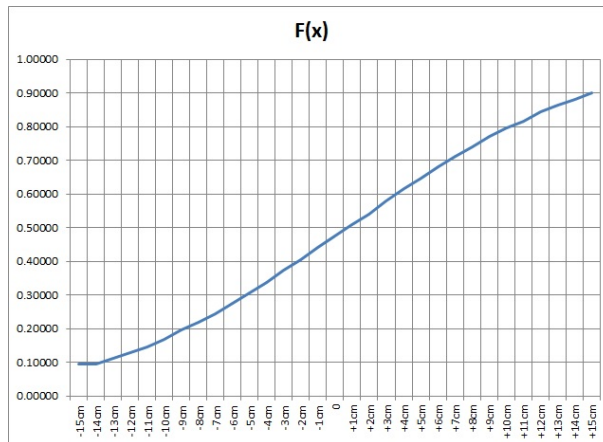
SLIKA 6.33: Histogram apsolutnih frekvencija kalibrisanih LiDAR podataka na osnovu kontrolnih tačaka

6.2.2.3 Analiza kalibriranih LiDAR podataka na osnovu kontrolnih tačaka i kontrolnih profila – upoređenje sa uslovno tačnim modelom PTM

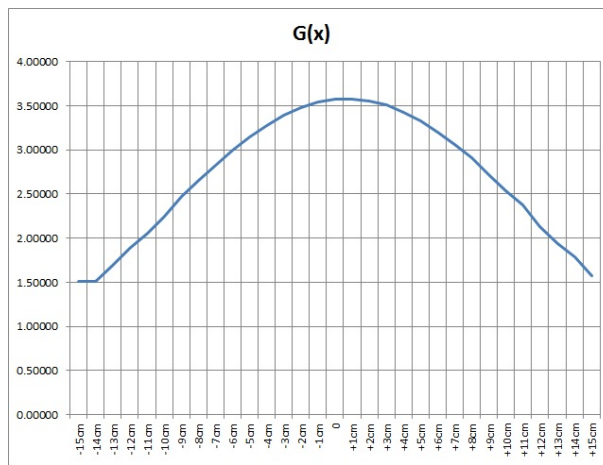
Nakon završene analize podataka kalibriranih samo pomoću kontrolnih tačaka, izvršena je kalibracija podataka pomoću kontrolnih tačaka i kontrolnih profila u cilju povećanja tačnosti. U tabeli 6.15 prikazana su odstupanja podataka kalibriranih pomoću kontrolnih tačaka i kontrolnih profila od uslovno tačnog modela. Na slikama 6.34 i 6.35 prikazane su funkcija i gustina raspodele. Upoređenjem kalibriranih podataka sa uslovno tačnim modelom ustanovljeno je da se najveći broj tačaka nalazi u intervalu odstupanja od 0 cm, što se može videti na dijagramu 6.36.

| Intervali | Broj tačaka | Mediana | $F(x)$ | $G(x)$ |
|-----------|-------------|-----------|----------|----------|
| -15cm | 7 | -0.139455 | 0.094259 | 1.507340 |
| -14cm | 11 | -0.139455 | 0.094259 | 1.507340 |
| -13cm | 7 | -0.129286 | 0.110521 | 1.692368 |
| -12cm | 16 | -0.118937 | 0.129040 | 1.887800 |
| -11cm | 14 | -0.110000 | 0.146681 | 2.060325 |
| -10cm | 18 | -0.100333 | 0.167507 | 2.248392 |
| -9cm | 24 | -0.088625 | 0.195158 | 2.474277 |
| -8cm | 30 | -0.079067 | 0.219670 | 2.653618 |
| -7cm | 47 | -0.069660 | 0.245435 | 2.822479 |
| -6cm | 59 | -0.059136 | 0.276079 | 2.998744 |
| -5cm | 68 | -0.049162 | 0.306756 | 3.149930 |
| -4cm | 100 | -0.039400 | 0.338155 | 3.279762 |
| -3cm | 113 | -0.028991 | 0.372916 | 3.395303 |
| -2cm | 113 | -0.019310 | 0.406213 | 3.479090 |
| -1cm | 141 | -0.009532 | 0.440543 | 3.538620 |
| 0 | 139 | -0.000022 | 0.474371 | 3.571049 |
| +1cm | 127 | 0.009764 | 0.509368 | 3.577450 |
| +2cm | 89 | 0.018787 | 0.541581 | 3.558982 |
| +3cm | 82 | 0.029366 | 0.578991 | 3.508061 |
| +4cm | 86 | 0.039779 | 0.615131 | 3.428368 |
| +5cm | 74 | 0.049405 | 0.647679 | 3.330364 |
| +6cm | 58 | 0.059672 | 0.681235 | 3.202501 |
| +7cm | 33 | 0.069424 | 0.711792 | 3.061464 |
| +8cm | 31 | 0.078710 | 0.739536 | 2.912167 |
| +9cm | 24 | 0.089625 | 0.770297 | 2.721696 |
| +10cm | 20 | 0.099850 | 0.797166 | 2.532471 |
| +11cm | 12 | 0.108000 | 0.817173 | 2.376751 |
| +12cm | 15 | 0.120533 | 0.845439 | 2.133392 |
| +13cm | 16 | 0.130357 | 0.865460 | 1.942954 |
| +14cm | 5 | 0.138400 | 0.880468 | 1.789392 |
| +15cm | 6 | 0.150167 | 0.900232 | 1.571523 |

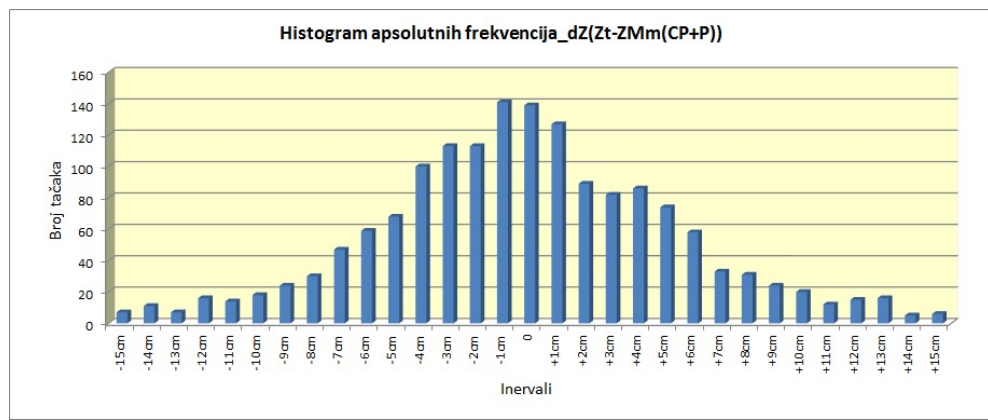
TABELA 6.15: Tabelarni prikaz broja tačaka po intervalu odstupanja LiDAR kalibriranih podataka na osnovu kontrolnih tačaka i kontrolnih profila



SLIKA 6.34: Funkcija raspodele LiDAR podataka kalibrisanih na osnovu kontrolnih tačaka i kontrolnih profila



SLIKA 6.35: Gustina raspodele LiDAR podataka kalibrisanih na osnovu kontrolnih tačaka i kontrolnih profila



SLIKA 6.36: Histogram apsolutnih frekvencija kalibrisanih LiDAR podataka na osnovu kontrolnih tačaka i kontrolnih profila

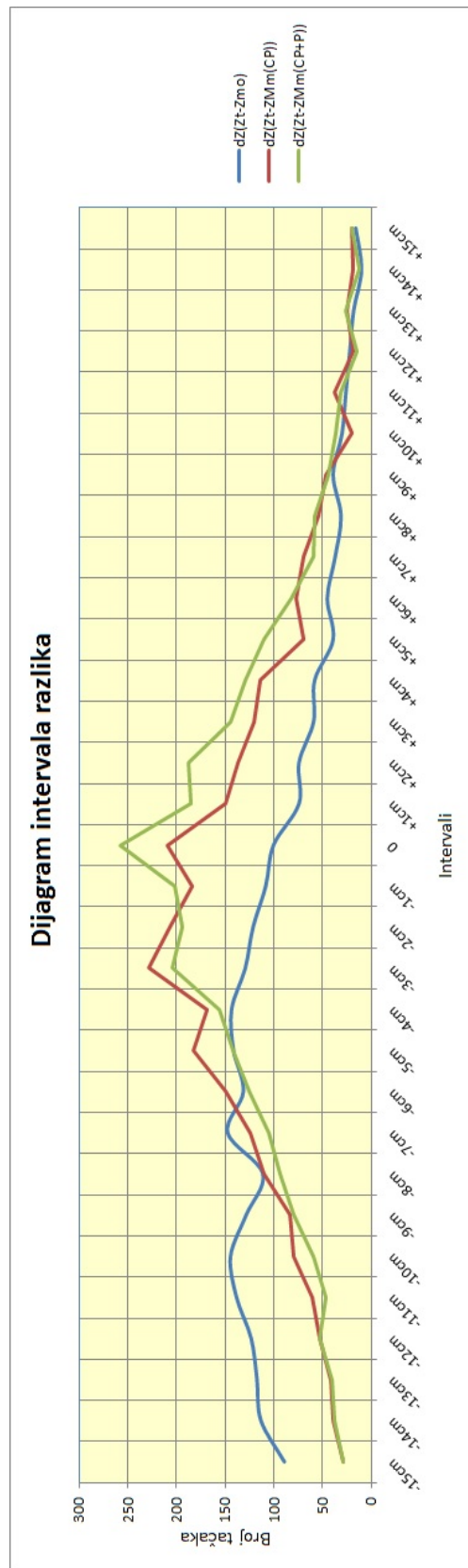
6.2.2.4 Analiza originalnih i kalibriranih LiDAR podataka na osnovu kontrolnih tačaka i kontrolnih profila-upoređenje sa uslovno tačnim modelom PTM

Nakon završene analize originalnih i kalibriranih podataka i uslovno tačnog modela, ustanovljena su odstupanja od uslovno tačnog modela. Na osnovu analiza ustanovljen je trend poboljšanja tačnosti generisanih podataka primenom metoda kalibracije. U tabeli 6.16 dat je prikaz broja tačaka po intervalu odstupanja originalno generisanih podataka, kalibriranih podataka sa kontrolnim tačkama i kalibriranih podataka sa kontrolnim tačkama i kontrolnim profilima.

| Intervali | dZ(Zt-Zmo) | dZ(Zt-ZMm(CP)) | dZ(Zt-ZMm(CP+P)) |
|-----------|------------|----------------|------------------|
| -15cm | 89 | 28 | 29 |
| -14cm | 113 | 39 | 38 |
| -13cm | 117 | 41 | 40 |
| -12cm | 123 | 53 | 53 |
| -11cm | 138 | 61 | 46 |
| -10cm | 144 | 80 | 59 |
| -9cm | 128 | 83 | 79 |
| -8cm | 111 | 110 | 93 |
| -7cm | 147 | 124 | 105 |
| -6cm | 131 | 149 | 125 |
| -5cm | 141 | 182 | 142 |
| -4cm | 143 | 168 | 156 |
| -3cm | 129 | 228 | 204 |
| -2cm | 121 | 207 | 194 |
| -1cm | 108 | 184 | 202 |
| 0 | 100 | 209 | 257 |
| +1cm | 74 | 149 | 185 |
| +2cm | 74 | 137 | 187 |
| +3cm | 59 | 120 | 144 |
| +4cm | 58 | 114 | 129 |
| +5cm | 39 | 69 | 110 |
| +6cm | 45 | 77 | 82 |
| +7cm | 37 | 69 | 59 |
| +8cm | 31 | 54 | 58 |
| +9cm | 39 | 47 | 44 |
| +10cm | 30 | 20 | 36 |
| +11cm | 26 | 38 | 31 |
| +12cm | 22 | 19 | 14 |
| +13cm | 18 | 25 | 26 |
| +14cm | 10 | 19 | 12 |
| +15cm | 16 | 20 | 20 |

TABELA 6.16: Tabelarni prikaz broja tačaka po intervalu odstupanja LiDAR originalno generisanih podataka ($dZ(Zt-Zmo)$), LiDAR kalibriranih podataka sa kontrolnim tačkama ($dZ(Zt-ZMm(CP))$) i LiDAR kalibriranih podataka sa kontrolnim tačkama i kontrolnim profilima ($dZ(Zt-ZMm(CP+P))$)

Na dijagramu 6.37 je dat grafički prikaz intervala razlika odstupanja originalnih podataka, podataka kalibriranih kontrolnim tačkama i podataka kalibriranih kontrolnim tačkama i kontrolnim profilima od uslovno tačnog modela PTM.



SLIKA 6.37: Grafički prikaz intervala razlika odstupanja originalnih LiDAR podataka ($dZ(Zt-Zmo)$), LiDAR podataka kalibriranih kontrolnim tačkama ($dZ(Zt-ZMm(CP))$) i LiDAR podataka kalibriranih kontrolnim tačkama i kontrolnim profilima ($dZ(Zt-ZMm(CP+P))$) od uslovno tačnog modela PTM

Iz tabele 6.12 i dijagrama 6.27 koji predstavlja grafičku interpretaciju postignute tačnosti, jasno se vidi trend poboljšanja tačnosti kalibriranih podataka.

Poglavlje 7

Diskusija rezultata

Tema ove doktorske disertacije je „**Model geodetskog premera savremenim akvizicionim tehnologijama**”, a cilj naučnog istraživanja **definisanje predloga metodologije analize kvaliteta rezultata dobijenih primenom savremenih tehnologija prostornog prikupljanja podataka u premeru, obnovi premera i inženjerskoj geodeziji**. Ovo poglavlje je bazirano na diskusiji postignutih rezultata u cilju definisanja modela geodetskog premera sa optimalno preduzetim radnjama, kako bi se postigao zahtevani kvalitet izlaznog podatka.

U praksi je proces prikupljanja i obrade podataka kod projekata za čiju realizaciju se koriste savremene metodologije premera maksimalno automatizovan. Svi dodatni radovi, koji se odnose na naknadno prikupljanje podataka nekom od konvencionalnih metoda premera, zahtevaju dodatne terenske ekipe i dodatno utrošeno vreme. Primena i smisao savremenih metodologija premera jeste brzo i efikasno prikupljanje podataka, pa je shodno tome u ovoj doktorskoj disertaciji dat predlog postupka po fazama radnji koje moraju biti preduzete kako bi se postigao željeni rezultat.

U cilju definisanja optimalnog modela geodetskog premera savremenim akvizicionim tehnologijama koji će zadovoljiti sve kriterijume (maksimalne automatizacije prikupljanja podataka, minimalne terenske radeove i postizanje zahtevane tačnosti), izvršene su dodatne analize. Dosadašnje analize uključivale su sve dostupne kontrolne tačke i kontrolne profile na teritoriji naselja Feketić. U realnim uslovima nekog projekta to nije izvodljivo, pa je u cilju definisanja minimalno zahtevanih radnji koje je potrebno preduzeti u cilju postizanja zadovoljavajuće tačnosti na nekom projektu, izdvojen deo naselja na kome su izvršene analize.

7.0.1 Kalibracija podataka generisanih UAV sistemom – optimizacija broja kontrolnih tačaka i kontrolnih profila

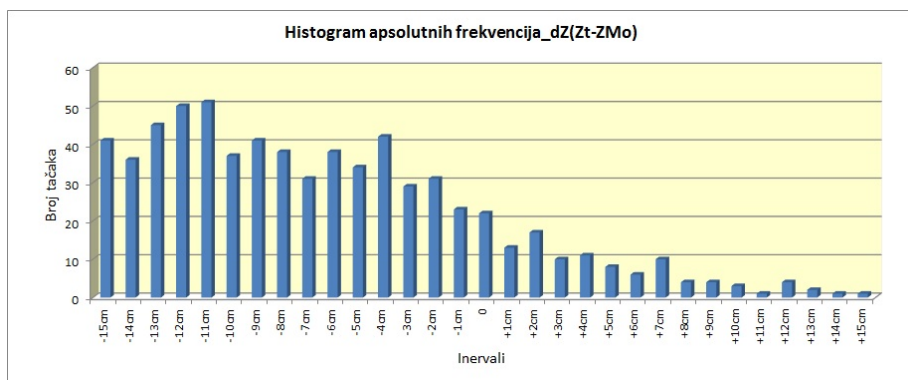
Izdvojeni deo ulica u naselju Feketić, na kojima će biti izvršene neophodne analize, obuhvata centralni deo naselja površine od $0,68 \text{ km}^2$ i ulica dužine 7 km (Slika 7.1). Kao i u prethodnim slučajevima, kod upoređivanja originalnih modela i kalibriranih modela na osnovu kontrolnih tačaka i kontrolnih profila, kao uslovno tačni model korišćene su tačke prikupljene metodom precizne elektronske tahimetrije.



SLIKA 7.1: PTM - izdvojene tačke za potrebe ocene kvaliteta kalibriranih podataka (ukupno 961 tačka)

Za potrebe definisanja modela geodetskog premera primenom savremenih akvizicionih tehnologija sa optimalnim brojem kontrolnih tačaka i kontrolnih profila, izvršena je analiza uticaja njihovog broja i rasporeda na tačnost kalibriranih podataka.

Najpre je izvršena analiza originalno generisanih podataka. Analizirana je ukupno 961 tačka (tačke označene zelenom bojom na slici 7.1). Na slici 7.2 prikazan je histogram apsolutnih frekvencija, a u tabeli 7.1 srednja vrednost razlike dZ, minimalna i maksimalna vrednost dZ, kao i RMS i Std. Na histogramu se vidi da su odstupanja od uslovno tačnog modela značajna. Najveća odstupanja zabeležena su u intervalu od -11 cm do -12 cm.



SLIKA 7.2: Histogram apsolutnih frekvencija originalnih UAV podataka – analiza izvršena na osnovu 961 izdvojene tačke

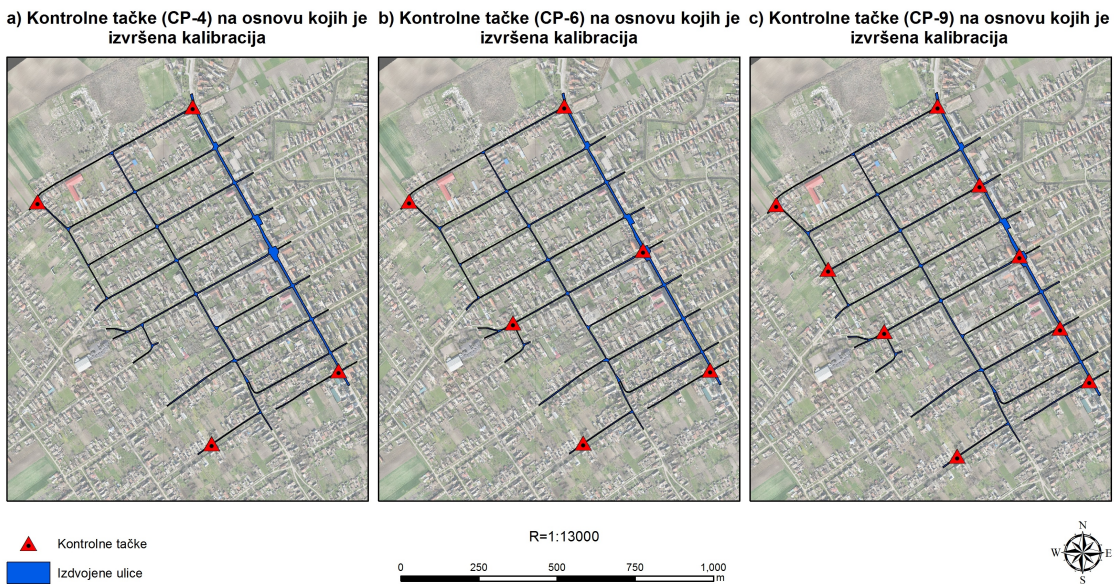
TABELA 7.1: Parametri kvaliteta dobijenih analizom 961 tačke na modelu kreiranom od originalnih UAV podataka – dZ(Zt-ZMo)

| | |
|------------|----------|
| Average dZ | +0.089 m |
| min dZ | -0.303 m |
| max dZ | +0.353 m |
| RMS | +0.124 m |
| Std | +0.086 m |

7.0.1.1 Kalibracija izdvojenih podataka generisanih UAV sistemom na osnovu 4, 6 i 9 kontrolnih tačaka

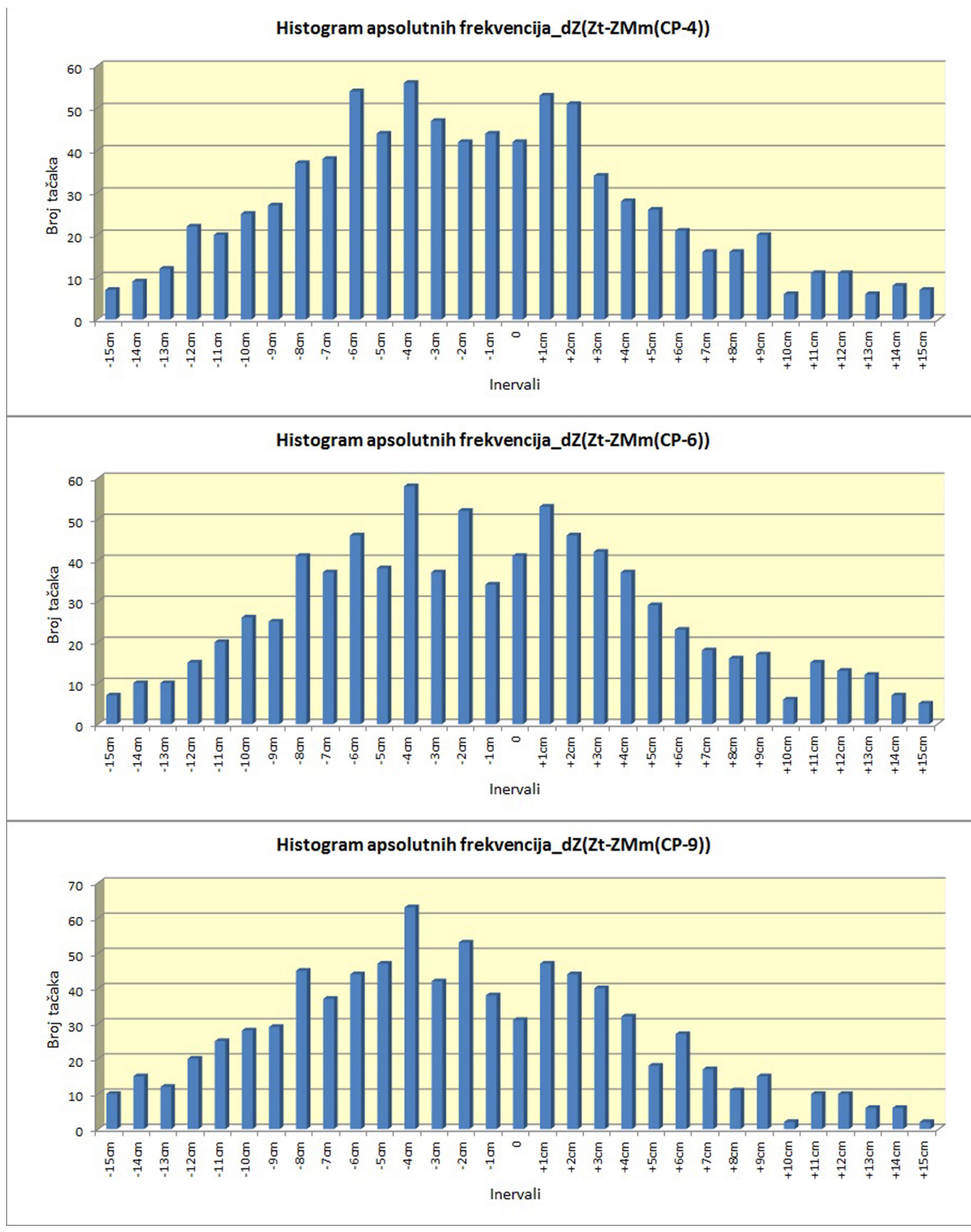
Analiza poboljšanja kvaliteta generisanih podataka na osnovu kontrolnih tačaka i kontrolnih profila, najpre je izvršena sa minimalnim brojem kontrolnih tačaka raspoređenih po obodu područja predviđenog za kalibraciju. Korišćene su četri, zatim šest i devet kontrolnih tačaka čiji je raspored prikazan na slici 7.3.

U slučaju prikazanom pod a), gde su korišćene samo četiri tačke, rastojanje između njih je 580 m i 1000 m; u slučaju prikazanom pod b) rastojanja između tačaka određenih za kalibraciju su oko 500 m, dok je u trećem slučaju, pod c), rastojanje između nekih tačaka smanjeno i iznosi 500 m i 250 m.



SLIKA 7.3: Raspored kontrolnih tačaka na osnovu kojih je izvršena kalibracija

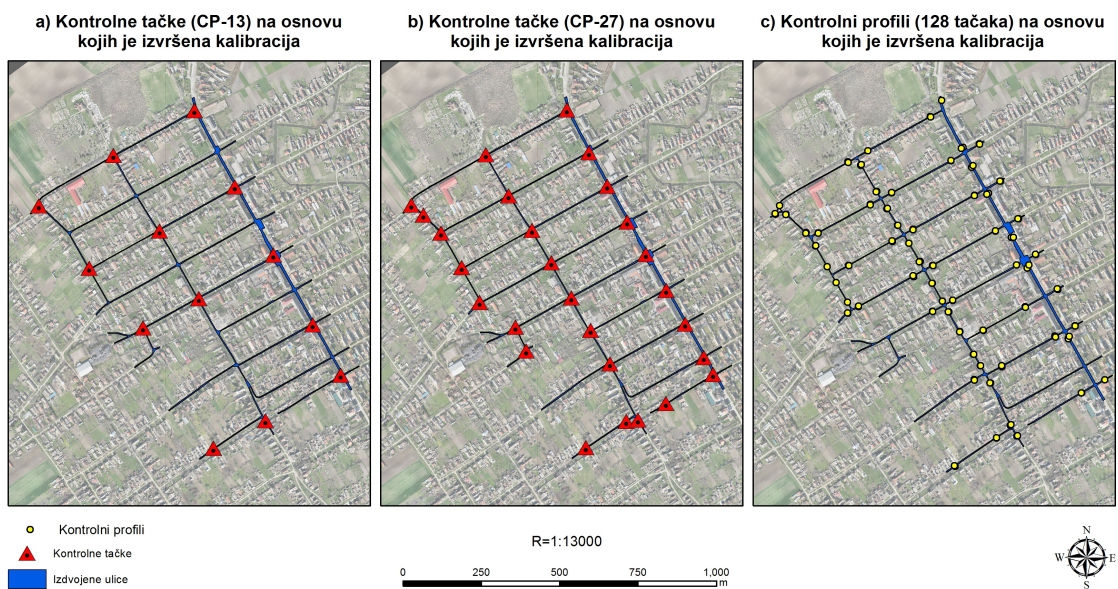
Na osnovu histograma apsolutnih frekvencija vidi se da se povećanjem broja kontrolnih tačaka na području na kojem se izvodi kalibracija, povećava i tačnost kalibriranih podataka, ali ne u onoj meri u kojoj je to bilo očekivano. Dalje analize pokazaće da u velikoj meri, pored broja kontrolnih tačaka, na tačnost kalibriranih podataka utiče i njihov raspored.



SLIKA 7.4: Histogrami apsolutnih frekvencija nastali na osnovu podataka dobijenih kalibracijom originalnih podataka pomoću 4, 6 i 9 kontrolnih tačaka

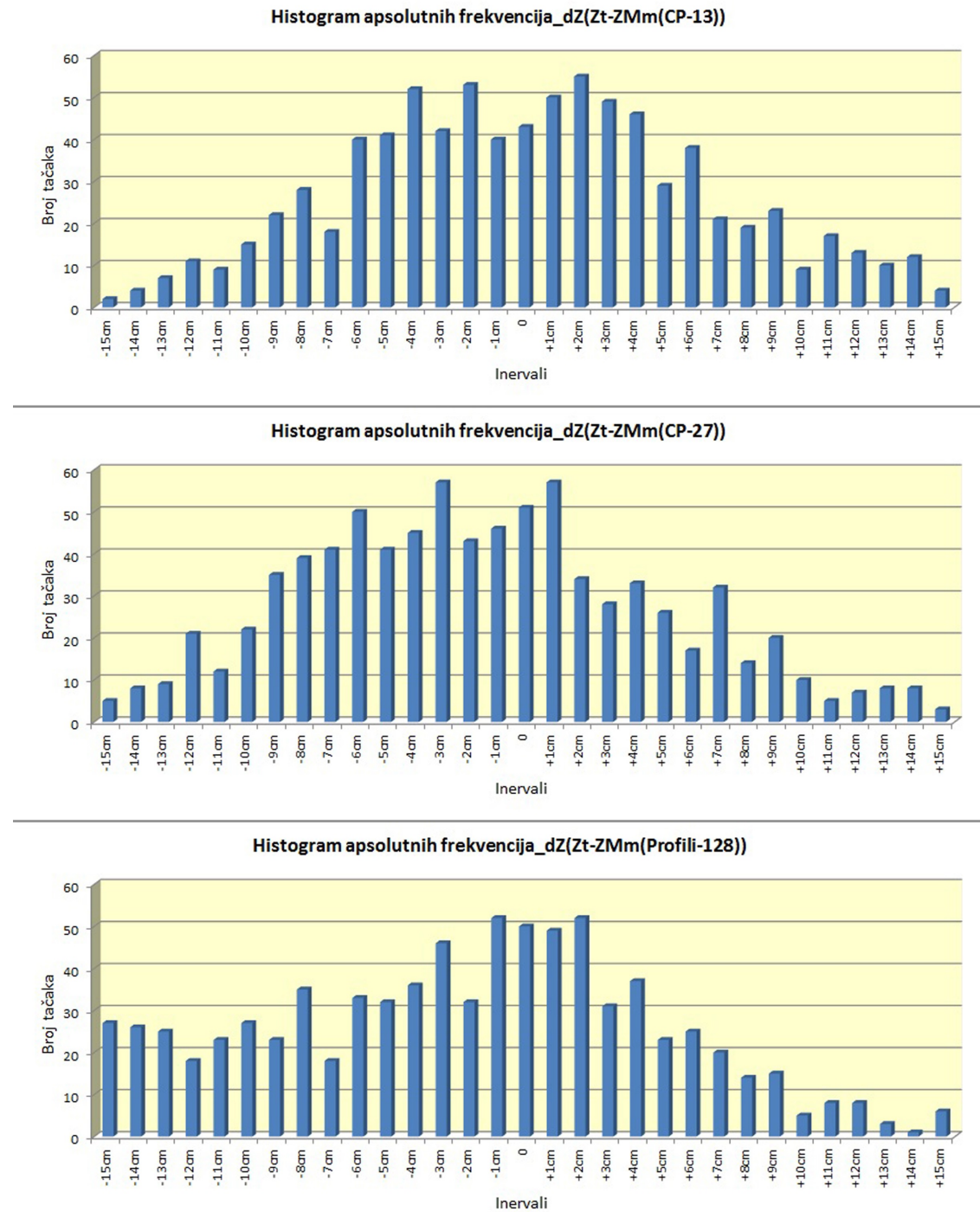
7.0.1.2 Kalibracija izdvojenih podataka generisanih UAV sistemom na osnovu 13 i 27 kontrolnih tačaka i kontrolnih profila

Kako kalibracija na osnovu 4, 6 i 9 kontrolnih tačaka nije u značajnoj meri uticala na kvalitet izlaznih podataka, u ovom poglavlju je izvršeno povećanje broja kontrolnih tačaka. Na slici 7.5 pod a) prikazano je 13 kontrolnih tačaka raspoređenih tako da rastojanja između njih budu oko 280 m. Na istoj slici pod c) prikazano je 27 kontrolnih tačaka raspoređenih tako da rastojanje između njih bude oko 150 m i 250 m. Na istoj slici pod c) prikazani su kontrolni profili raspoređeni na rastojanjima od 150 m.



SLIKA 7.5: Raspored kontrolnih tačaka i kontrolnih profila na osnovu kojih je izvršena kalibracija

Na slici 7.6 su prikazani histogrami apsolutnih frekvencija za slučajevе kalibracije na osnovu 13 i 27 kontrolnih tačaka i 27 kontrolnih tačaka i kontrolnih profila.



SLIKA 7.6: Histogrami apsolutnih frekvencija nastali na osnovu podataka dobijenih kalibracijom originalnih podataka pomoću 13 i 27 kontrolnih tačaka i 27 kontrolnih tačaka i kontrolnih profila

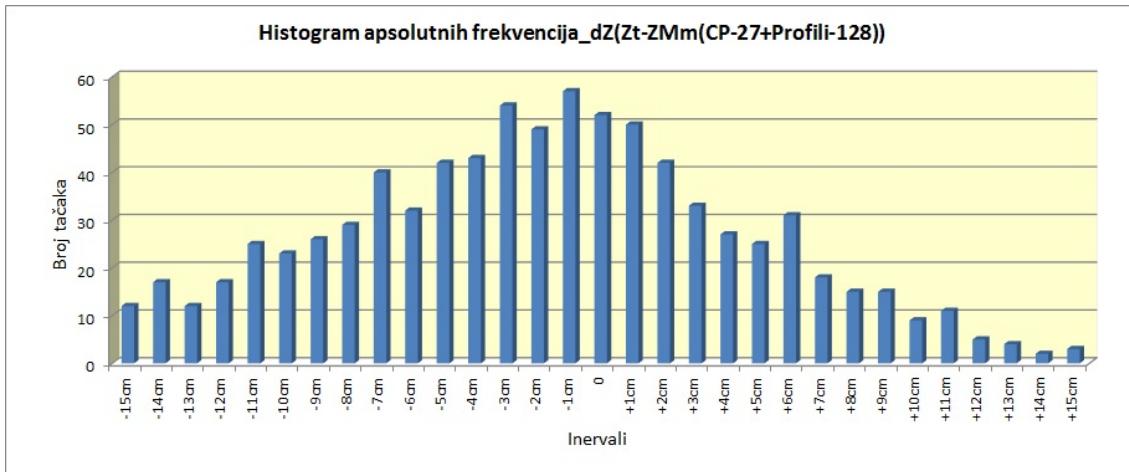
7.0.1.3 Kalibracija izdvojenih podataka generisanih UAV sistemom na osnovu 27 kontrolnih tačaka i kontrolnih profila

Daljim analizama se pokazalo da kombinacija kontrolnih tačkaka i kontrolnih profila, raspoređenih na mestima gde se nalaze i kontrolne tačke (Slika 7.7) donosi najbolje rezultate.



SLIKA 7.7: Histogrami apsolutnih frekvencija nastali na osnovu podataka dobijenih kalibracijom originalnih podataka pomoću 13 i 27 kontrolnih tačaka i 27 kontrolnih tačaka i kontrolnih profila

Na histogramu apsolutnih frekvencija (Slika 7.8) vidi se da se posle primenjene kalibracije i analize dobijenih podataka sprovedene na osnovu uslovno tačnog modela, koncentracija najvećeg broja tačaka nalazi oko intervala odstupanja nula.



SLIKA 7.8: Histogrami apsolutnih frekvencija – podaci dobijeni kalibracijom originalnih podataka pomoću 27 kontrolnih tačaka i kontrolnih profila

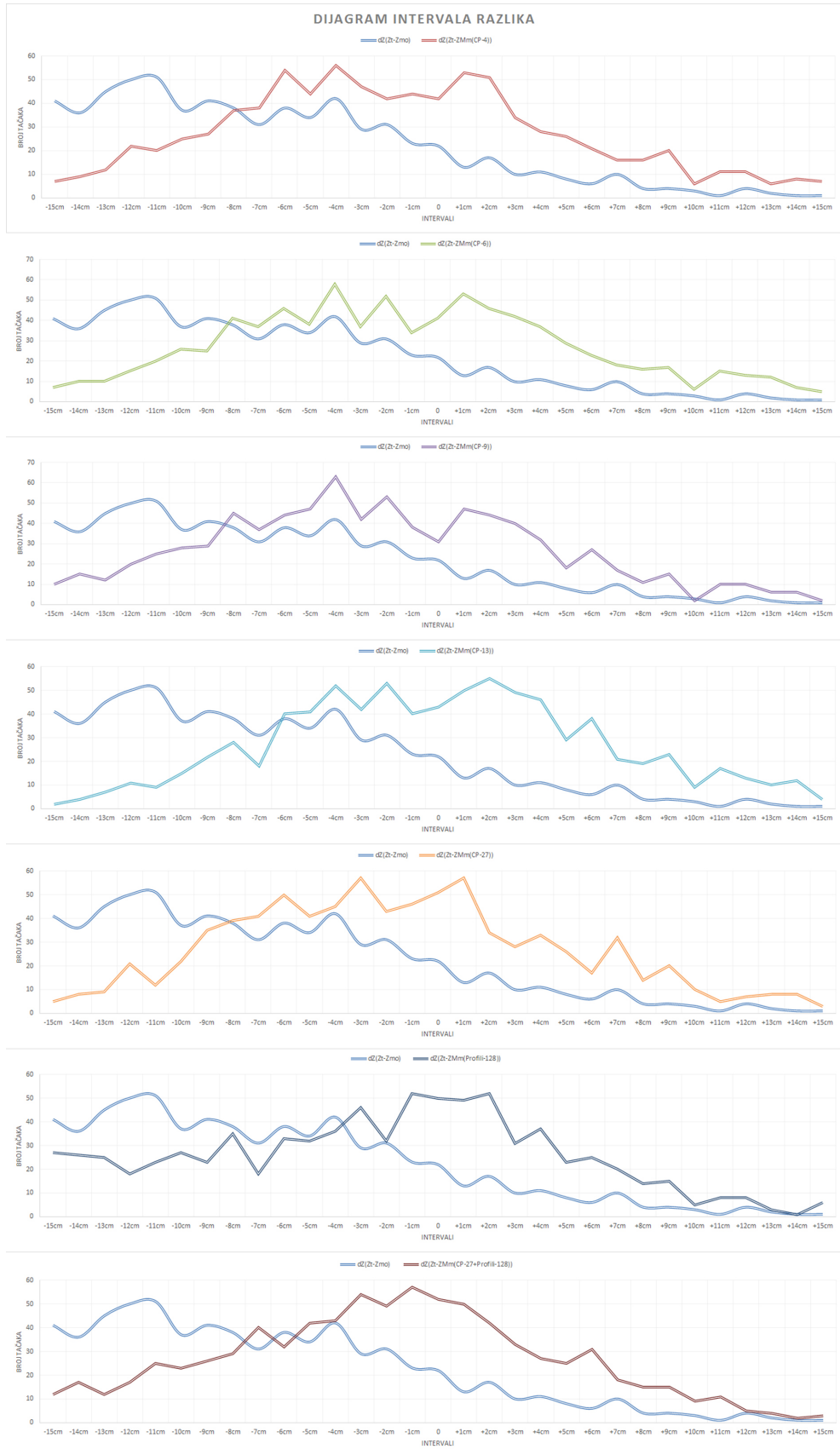
7.0.2 Sumarni prikaz analize kalibriranih podataka sa 4, 6, 9, 13 i 27 kontrolnih tačaka i kontrolnih profila

TABELA 7.2: Vrednosti dobijene analizom 961 tačke. Kao osnova za upoređenje korišćeni su modeli kreirani na osnovu kalibriranih podataka sa 4, 6, 9, 13, 27 kontrolnih tačaka, kontrolnih profila i 27 kontrolnih tačaka + profili.

| | Broj kontrolnih tačaka i kontrolnih profila | | | | | | |
|------------|---|--------|--------|--------|--------|--------|--------|
| | 4 | 6 | 9 | 13 | 27 | KP | 27+KP |
| Average dZ | +0.011 | +0.006 | +0.019 | -0.011 | +0.010 | +0.026 | +0.017 |
| min dZ | -0.402 | -0.392 | -0.392 | -0.442 | -0.412 | -0.382 | -0.382 |
| max dZ | +0.243 | +0.243 | +0.243 | +0.220 | +0.223 | +0.330 | +0.340 |
| RMS | +0.082 | +0.083 | +0.085 | +0.082 | +0.081 | +0.089 | +0.081 |
| Std | +0.081 | +0.083 | +0.083 | +0.082 | +0.080 | +0.085 | +0.079 |

Izvod iz pravilnika o topografskom premeru i topografsko-kartografskim proizvodima:

„Ovim pravilnikom propisani su tehnički normativi, metode i način rada kod topografskog premera, sadržaj topografsko-kartografskih proizvoda, sadržaj tehničke dokumentacije za realizaciju topografskog premera i izradu topografsko-kartografskih proizvoda, kontrola kvaliteta kod topografskog premera i izrade topografsko-kartografskih proizvoda, arhiviranje i distribucija topografsko-kartografskih proizvoda.“



SLIKA 7.9: Sumarni prikaz dijagrama intervala razlika

Poglavlje 8

Zaključna razmatranja i pravci daljih istraživanja

Geodetski premer se danas u projektima premera, različitim projektima iz oblasti inženjerske geodezije, realizuje konvencionalnim metodama, koje najčešće obezbeđuju traženu tačnost izlaznih podataka. Pod konvencionalnim metodama se podrazumevaju, pre svega, metoda precizne elektronske tahimetrije i GPS metoda premera. Te dve metode su primarne za prikupljanje podataka o prostoru i uvek će postojati potreba za njima. Sa druge strane, razvojem novih tehnologija i uređaja za prikupljanje podataka nameću se i nove metode prikupljanja podataka, koje su ne samo efikasnije nego, po tačnosti prikupljenih podataka, ne odstupaju značajno od konvencionalnih metoda. Neažurnost geodetskih podloga i oštećenost planova koji se koriste u pojedinim katastarskim opštinama u Srbiji, kao i neefikasnost konvencionalnih metoda premera na većim površinama, nameću neophodnost savremenih tehnologija premera.

Implementacija tih metoda u Srbiji i njihovo uključivanje u redovne metode prikupljanja podataka nailazi na određene probleme. Postoje pravilnici za definisanje kvaliteta topografskih radova koji se odnose na savremene metode prikupljanja podataka: aerofotogrametrijskom metodom snimanja, metodom daljinske detekcije i LiDAR metodom snimanja. Izvod iz tih pravilnika dat je u Poglavlju 4. Analiza tih pravilnika i postojeće dokumentacije za definisanje kvaliteta topografskih radova pokazala je da je neophodno da se oni dopune i koriguju. Kod LiDAR metode snimanja obuhvaćeni su postupci i procedure koji se odnose na LiDAR sisteme koji kao platforme koriste letelice, a nedostaju postupci i procedure koji se odnose na LiDAR metode snimanja koje kao platforme koriste vozila, kao i postupci i procedure za upotrebu UAV sistema.

U okviru ove doktorske disertacije, geodetska istraživanja zasnovana su na analizi rada savremenih sistema premera, pre svega UAV sistema i *Street Mapper* sistema i pokazala su direktnu zavisnost kvaliteta izlaznih podataka, broja kontrolnih tačaka i kontrolnih profila dobijenih metodom GPS/GNSS pozicioniranja, uključenih u proces kalibracije podataka.

Analiza dobijenih rezultata realizovana je na području naselja Feketić i sprovedena je kroz nekoliko faza:

- Analiza originalno generisanih UAV i LiDAR podataka;

- Analiza originalno generisanih UAV i LiDAR podataka na osnovu kontrolnih tačaka;
- Analiza originalno generisanih UAV i LiDAR podataka na osnovu kontrolnih tačaka i kontrolnih profila;
- Analiza kalibrисаних UAV i LiDAR podataka;
- Analiza kalibrисаних UAV i LiDAR podataka na osnovu kontrolnih tačaka;
- Analiza kalibrисаних UAV i LiDAR podataka na osnovu kontrolnih tačaka i kontrolnih profila;
- Analiza kalibrисаних UAV i LiDAR podataka – upoređenje sa uslovno tačnim modelom (PTM);
- Analiza originalnih UAV podataka – upoređenje sa uslovno tačnim modelom (PTM);
- Analiza kalibrисаних UAV podataka na osnovu kontrolnih tačaka – upoređenje sa uslovno tačnim modelom (PTM);
- Analiza kalibrисаних UAV podataka na osnovu kontrolnih tačaka i kontrolnih profila – upoređenje sa uslovno tačnim modelom (PTM);
- Analiza originalnih i kalibrисаних UAV podataka na osnovu kontrolnih tačaka i kontrolnih profila – upoređenje sa uslovno tačnim modelom (PTM);
- Analiza originalnih LiDAR podataka na osnovu kontrolnih tačaka – upoređenje sa uslovno tačnim modelom (PTM);
- Analiza kalibrисаних LiDAR podataka na osnovu kontrolnih tačaka – upoređenje sa uslovno tačnim modelom (PTM);
- Analiza kalibrисаних LiDAR podataka na osnovu kontrolnih tačaka i kontrolnih profila – upoređenje sa uslovno tačnim modelom (PTM);
- Analiza originalnih i kalibrисаних LiDAR podataka na osnovu kontrolnih tačaka i kontrolnih profila – upoređenje sa uslovno tačnim modelom (PTM).

Na osnovu dobijenih rezultata, koji se odnose na analizu prikupljenih podataka i kontrolu kvaliteta istih, u disertaciji je dat predlog modela geodetskog premera primenom savremenih tehnologija premera, u okviru koga su definisane procedure i postupci koje je neophodno poštovati kako bi se postigao zadovoljavajući kvalitet izlaznih podataka. Istaknuta je neophodnost donošenja pravilnika i procedura u okviru kojih je jasno definisan model geodetskog premera, a predlog za to dat je u Poglavlju 5 ove doktorske disertacije.

Finalni proizvod geodetskog premera jesu 3D topografske podloge, koje mogu biti sa različitim zahtevima u pogledu tačnosti i gustine snimljenog detalja. Prikupljanje podataka za njihovu izradu konvencionalnim metodama premera ima svoje prednosti i mane. Prednosti se definitivno odnose na postignutu tačnost, pa

su zato konvencionalne metode i korišćene kao metode za kontrolu kvaliteta izlaznih podataka u okviru ovog istraživanja. Za snimanje većih površina dolaze do izražaja mane tih metoda, kao što su neuporedivo duži vremenski period neophodan za prikupljanje podataka, potreba za angažovanjem većeg broja stručnjaka i, pored svega, nedovoljna gustina snimljenog detalja.

Savremene tehnologije premera nametnule su se kao rapidne metode za prikupljanje podataka i kasnije kreiranje 3D topografskih podloga. Istaknuta je njihova prednost u odnosu na konvencionalne metode premera i data je ilustracija kroz konkretne primere. Prikazano je da su kreirane 3D topografske podloge kreirane po istim principima, sa većim nivoom detaljnosti, istom tačnošću i za neuporedivo kraće vreme nego što bi to bio slučaj kod konvencionalnih metoda, istaknute su prednosti nivoa detaljnosti kreiranih podloga i dato pojašnjenje kasnije eksploracije prikupljenih podataka.

U cilju jasnijeg razumevanja primene savremenih tehnologija premera u poslovima geodetskog premera i inženjerske geodezije, pravci budućih istraživanja odnosili bi se na dodatna istraživanja implementacije ovih savremenih tehnologija u standardne procedure rada. Dodatna istraživanja bi bila fokusirana na razumevanju upotrebe kombinacije više uređaja. Za poslove geodetskog premera, obnove premera i inženjerske geodezije, neophodno je izraditi model geodetskog premera kod upotrebe kombina-

Poglavlje 9

Literatura

- [1] Interpolacija — vikipedija, slobodna enciklopedija. <https://sr.wikipedia.org/sr-el/>, month = , year = , note = (Accessed on 02/20/2017).
- [2] LiDAR magazine - large scale mobile mapping project in belgium combines images and LiDAR. <http://www.lidarmag.com/content/view/12138/198/>. (Accessed on 05/15/2017).
- [3] Natural neighbor interpolation - wikipedia. https://en.wikipedia.org/wiki/Natural_neighbor_interpolation. (Accessed on 02/20/2017).
- [4] Terrascan users' guide. <https://www.terrasolid.com/download/tscan.pdf>. (Accessed on 02/20/2017).
- [5] What is areal interpolation?—help | arcgis desktop. <http://desktop.arcgis.com/en/arcmap/latest/extensions/geostatistical-analyst/what-is-areal-interpolation>. (Accessed on 02/23/2017).
- [6] www.lidar-uk.com/a-brief-history-of-lidar/. <http://www.lidar-uk.com/a-brief-history-of-lidar/>. (Accessed on 03/14/2017).
- [7] AL-BAYARI, O., AL-HANBALI, N., BARBARELLA, M., AND NASHWAN, A. Quality assessment of DTM and orthophoto generated by Airborne laser scanning system using automated digital photogrammetry. *International Archives of Photogrammetry Remote Sensing and Spatial Information Sciences* 34, 3/B (2002), 7–11.
- [8] AL-BAYARI, O., AND AL-ZOUBI, A. Preliminary study of the gravimetric local geoid model in Jordan: case study (GeoJordan Model).
- [9] AL-ROUSAN, N., CHENG, P., PETRIE, G., TOUTIN, T., AND ZOEJ, M. V. Automated DEM extraction and orthoimage generation from SPOT level 1B imagery. *Photogrammetric Engineering and Remote Sensing* 63, 8 (1997), 965–974.
- [10] ALEKSIĆ, IVAN., K. M. Koncepti mreža u geodetskom premeru.

- [11] AXELSSON, P. DEM generation from laser scanner data using adaptive TIN models. *International Archives of Photogrammetry and Remote Sensing* 33, B4/1; PART 4 (2000), 111–118.
- [12] BALTSAVIAS, E. P. Airborne laser scanning: existing systems and firms and other resources. *ISPRS Journal of Photogrammetry and Remote Sensing* 54, 2 (1999), 164–198.
- [13] BANG, K. I., HABIB, A. F., AND MÜLLER, M. LiDAR system calibration using overlapping strips. *Boletim de Ciências Geodésicas* 15, 5 (2009).
- [14] BUCK, A. L. B., SILVA, M. N., LINGNAU, C., MACHADO, Á. M. L., NETO, M., AND PEREIRA, R. Algorithm for filtering the trunk in terrestrial laser point cloud of Pinus spp. trees. *Boletim de Ciências Geodésicas* 20, 4 (2014), 806–829.
- [15] BULATOVIĆ, V., NINKOV, T., SUŠIĆ, Z., AND DEJAN, V. Inertial navigation system in survey. In *XXIV Meeting of Serbian Surveyors* (2011), pp. 144–147.
- [16] BULATOVIĆ, V., SUŠIĆ, Z., AND NINKOV, T. Estimate of the ASTER GDEM regional systematic errors and their removal. *International Journal of Remote Sensing* 33, 18 (2012), 5915–5926.
- [17] BULATOVIĆ, V., VASIĆ, D., AND NINKOV, T. Method for generating natural colour from false colour images based on Normalized Difference Vegetation Index clustering. *Advanced Science Letters* 19, 1 (2013), 207–211.
- [18] CHANG, Y., HABIB, A., LEE, D., AND YOM, J. Automatic classification of LiDAR data into ground and non - ground points. *International archives of Photogrammetry and Remote Sensing* 37 (2008), 463–468.
- [19] COLLINSON, R. P. G., AND COLLINSON, R. P. G. I. T. A. *Introduction to avionics systems*, 2nd ed ed. Dordrecht : Springer, 2006.
- [20] DONEUS, M., BRIESE, C., AND STUDNICKA, N. *Analysis of full-waveform ALS data by simultaneously acquired TLS data: Towards an advanced DTM generation in wooded areas*. na, 2010.
- [21] EISENBEISS, H. A mini unmanned aerial vehicle (UAV): system overview and image acquisition. *International Archives of Photogrammetry. Remote Sensing and Spatial Information Sciences* 36, 5/W1 (2004).
- [22] EISENBEISS, H., AND ZHANG, L. Comparison of DSMs generated from mini UAV imagery and terrestrial laser scanner in a cultural heritage application. *International Archives of Photogrammetry, Remote Sensing and Spatial Information Sciences* 36, 5 (2006), 90–96.
- [23] EVERAERTS, J., ET AL. The use of unmanned aerial vehicles (UAVs) for remote sensing and mapping. *The International Archives of the Photogrammetry, Remote Sensing and Spatial Information Sciences* 37, 2008 (2008), 1187–1192.

- [24] FABRIS, M., AND PESCI, A. Automated DEM extraction in digital aerial photogrammetry: precisions and validation for mass movement monitoring. *Annals of Geophysics* 48, 6 (2005).
- [25] FERNÁNDEZ, T., PÉREZ, J., CARDENAL, F., LÓPEZ, A., GÓMEZ, J., COLOMO, C., DELGADO, J., AND SÁNCHEZ, M. Use of a light UAV and photogrammetric techniques to study the evolution of a landslide in jaén (Southern Spain). *The International Archives of Photogrammetry, Remote Sensing and Spatial Information Sciences* 40, 3 (2015), 241.
- [26] FITZGIBBON, A. W., AND ZISSERMAN, A. Automatic camera recovery for closed or open image sequences. In *European Conference on Computer Vision* (1998), Springer, pp. 311–326.
- [27] FRITZ, A., KATTENBORN, T., AND KOCH, B. UAV - based photogrammetric point clouds—Tree stem mapping in open stands in comparison to terrestrial laser scanner point clouds. *Int. Arch. Photogramm. Remote Sens. Spat. Inf. Sci* 40 (2013), 141–146.
- [28] GORSEVSKI, P. V., BROWN, M. K., PANTER, K., ONASCH, C. M., SIMIC, A., AND SNYDER, J. Landslide detection and susceptibility mapping using LiDAR and an artificial neural network approach: a case study in the Cuyahoga Valley National Park, Ohio. *Landslides* 13, 3 (2016), 467–484.
- [29] GUPTA, S. G., GHONGE, M. M., AND JAWANDHIYA, P. Review of unmanned aircraft system (UAS). *International Journal of Advanced Research in Computer Engineering & Technology (IJARCET)* 2, 4 (2013), pp–1646.
- [30] HAALA, N., CRAMER, M., AND ROTHERMEL, M. Quality of 3D point clouds from highly overlapping UAV imagery. *ISPRS-International Archives of the Photogrammetry, Remote Sensing and Spatial Information Sciences XL-1 W 2* (2013), 183–188.
- [31] HAARBRINK, R., AND EISENBEISS, H. Accurate DSM production from unmanned helicopter systems. *Int. Arch. Photogramm. Remote Sens. Spat. Inf. Sci* 37 (2008), 1259–1264.
- [32] HABIB, A. F., KERSTING, A. P., SHAKER, A., AND YAN, W.-Y. Geometric calibration and radiometric correction of LiDAR data and their impact on the quality of derived products. *Sensors* 11, 9 (2011), 9069–9097.
- [33] HAN, X., ZHAO, H., YAN, L., AND YANG, S. An approach of fast mosaic for serial remote sensing images from UAV. In *Fuzzy Systems and Knowledge Discovery, 2007. FSKD 2007. Fourth International Conference on* (2007), vol. 4, IEEE, pp. 11–15.
- [34] HARWIN, S., AND LUCIEER, A. An accuracy assessment of georeferenced point clouds produced via multi - view stereo techniques applied to imagery acquired via unmanned aerial vehicle. 475–480.

- [35] HARWIN, S., AND LUCIEER, A. Assessing the accuracy of georeferenced point clouds produced via multi - view stereopsis from unmanned aerial vehicle (UAV) imagery. *Remote Sensing* 4, 6 (2012), 1573–1599.
- [36] HONG, S., PARK, I., LEE, J., LIM, K., CHOI, Y., AND SOHN, H.-G. Utilization of a terrestrial laser scanner for the calibration of mobile mapping systems. *Sensors* 17, 3 (2017), 474.
- [37] HOPKINSON, C., PIETRONIRO, A., AND POMEROY, J. W. Hydroscan: Airborne laser mapping of hydrological features and resources. *Environment Canada and the Canadian Water Resources Association* (2008).
- [38] HUNDLEY, R. O. Past Revolutions, Future Transformations. What Can the History of Revolutions in Military Affairs Tell us about Transforming the US Military? Tech. rep., DTIC Document, 1999.
- [39] HYYPÄÄ, H., YU, X., HYYPÄÄ, J., KAARTINEN, H., KAASALAINEN, S., HONKAVAARA, E., AND RÖNNHOLM, P. Factors affecting the quality of DTM generation in forested areas. *International Archives of Photogrammetry, Remote Sensing and Spatial Information Sciences* 36, 3/W19 (2005), 85–90.
- [40] JABOYEDOFF, M., OPPIKOFER, T., ABELLÁN, A., DERRON, M.-H., LOYE, A., METZGER, R., AND PEDRAZZINI, A. Use of LiDAR in landslide investigations: a review. *Natural Hazards* 61, 1 (2012), 5–28.
- [41] JAKUBOWSKI, M. K., LI, W., GUO, Q., AND KELLY, M. Delineating individual trees from LiDAR data: a comparison of vector-and raster-based segmentation approaches. *Remote Sensing* 5, 9 (2013), 4163–4186.
- [42] JAWAK, S., PANDITRAO, S., AND LUIS, A. Airborne LIDAR and high resolution satellite data for rapid 3D feature extraction. *The International Archives of Photogrammetry, Remote Sensing and Spatial Information Sciences* 40, 8 (2014), 573.
- [43] JENSEN, A. M., HAN, Y., AND CHEN, Y. Using aerial images to calibrate the inertial sensors of a low-cost multispectral autonomous remote sensing platform (AggieAir). In *Geoscience and Remote Sensing Symposium, 2009 IEEE International, IGARSS 2009* (2009), vol. 2, IEEE, pp. II–555.
- [44] JENSEN, A. M., WILDMANN, N., CHEN, Y., AND VOOS, H. In-situ unmanned aerial vehicle (UAV) sensor calibration to improve automatic image orthorectification. In *Geoscience and Remote Sensing Symposium (IGARSS), 2010 IEEE International* (2010), IEEE, pp. 596–599.
- [45] JENSEN, J. L. *Statistics for petroleum engineers and geoscientists*, vol. 2. Gulf Professional Publishing, 2000.
- [46] JOKSIMOVIĆ, D. *Poslovna statistika*. Megatrend univerzitet primenjenih nauka, 2006.

- [47] KEMENY, J. *Ground-based LiDAR: rock slope mapping and assessment*. Central Federal Lands Highway Division, 2008.
- [48] KRAUS, K., AND PFEIFER, N. Advanced DTM generation from LiDAR data. *International Archives Of Photogrammetry Remote Sensing And Spatial Information Sciences 34*, 3/W4 (2001), 23–30.
- [49] KRAUS, K., WALDHÄUSL, P., AND JOKSIĆ, D. *Fotogrametrija: osnove i standardni postupci*. No. bk. 1. Naučna knjiga, 1987.
- [50] LI, Y., SASAGAWA, T., AND GONG, P. A system of the shadow detection and shadow removal for high resolution city aerial photo. vol. 35, pp. 802–807.
- [51] LI, Z., ZHU, C., AND GOLD, C. *Digital terrain modeling: principles and methodology*. CRC Press, 2010.
- [52] LINDENTHAL, S., USSYSHKIN, V., WANG, J., AND POKORNY, M. Airborne lidar: a fully-automated self-calibration procedure. *ISPRS Achieves, ISPRS Calgary 2011 Workshop* (2011), 29–31.
- [53] LINDER, W. *Digital photogrammetry*. Springer, 2009.
- [54] LINDER, W. *Digital photogrammetry*. Springer, 2009.
- [55] LUETHYA, J., AND STENGELEB, R. 3D mapping of Switzerland - challenges and experiences. *Foot 3000* (2005), 4900.
- [56] MALVIĆ, T. Kriging, geostatistička interpolacijska metoda. 2. izdanje. zagreb, 2005.
- [57] MIHAILOVIĆ, K., AND ALEKSIĆ, I. R. *Koncepti mreža u geodetskom premeru: monografija*. Geokarta, 2008.
- [58] MINH, L., CENTER, V. R. S., AND KE, L. C. DEM accuracy generated by LiDAR technology for Cuu Long River Delta in Vietnam.
- [59] NEX, F., AND RINAUDO, F. Multi-image matching: An “Old and New” photogrammetric answer to LiDAR techniques. *Proceedings of the International Archives of the Photogrammetry, Remote Sensing and Spatial Information Sciences 37* (2008), 621–626.
- [60] NIETHAMMER, U., JAMES, M., ROTHMUND, S., TRAVELLETTI, J., AND JOSWIG, M. UAV-based remote sensing of the super-sauze landslide: evaluation and results. *Engineering Geology 128* (2012), 2–11.
- [61] NILSSON, M. Estimation of tree heights and stand volume using an Airborne LiDAR system. *Remote Sensing of Environment 56*, 1 (1996), 1–7.
- [62] NINKOV, T., BULATOVIĆ, V., SUŠIĆ, Z., AND VASIĆ, D. Savremene tehnologije izrade 3D topografskih podloga i modela kao osnova urbanističkog planiranja i projektovanja. 51–60.

- [63] NINKOV, T., BULATOVIĆ, V., VASIĆ, D., AND SUŠIĆ, Z. Modern methods of data collecting and treating in projects of hydraulic engineering. In *FIG Working Week* (2013), p. 12.
- [64] OSTROWSKI, S., JOZKOW, G., TOTH, C., AND VANDER JAGT, B. Analysis of point cloud generation from UAS images. *ISPRS Annals of the Photogrammetry, Remote Sensing and Spatial Information Sciences* 2, 1 (2014), 45.
- [65] PAMADI, B., AND PERFORMANCE, S. Dynamics, and control of airplanes, ser. *AIAA Education Series*. AIAA Reston VA (1998).
- [66] PEROVIĆ, G. Teorija grešaka merenja, Monografija 3.
- [67] PETRIE, G., AND TOTH, C. K. Terrestrial laser scanners. *Topographic Laser Ranging and Scanning Principles and Processing* (2009), 87–128.
- [68] REMONDINO, F., AND FRASER, C. Digital camera calibration methods: considerations and comparisons. *International Archives of Photogrammetry, Remote Sensing and Spatial Information Sciences* 36, 5 (2006), 266–272.
- [69] ROSNELL, T., AND HONKAVAARA, E. Point cloud generation from aerial image data acquired by a quadrocopter type micro unmanned aerial vehicle and a digital still camera. *Sensors* 12, 1 (2012), 453–480.
- [70] SAMPATH, A., MOE, D., AND CHRISTOPHERSON, J. Two methods for self calibration of digital camera. *International Archives of the Photogrammetry, Remote Sensing and Spatial Information Sciences* 39 (2012), B1.
- [71] SCHENK, T. Introduction to photogrammetry. *The Ohio State University, Columbus* (2005).
- [72] SCHMID, K., WATERS, K., DINGERSON, L., HADLEY, B., MATAOSKY, R., CARTER, J., AND DARE, J. LiDAR 101: an introduction to LiDAR technology, data, and applications. *National Oceanic and Atmospheric Administration (NOAA) Coastal Services Center* (2008).
- [73] SERNA, A., AND MARCOTEGUI, B. Detection, segmentation and classification of 3D urban objects using mathematical morphology and supervised learning. *ISPRS Journal of Photogrammetry and Remote Sensing* 93 (2014), 243–255.
- [74] SIEBERT, S., AND TEIZER, J. Mobile 3D mapping for surveying earthwork projects using an Unmanned Aerial Vehicle (UAV) system. *Automation in Construction* 41 (2014), 1–14.
- [75] TOLA, E., LEPESTIT, V., AND FUÀ, P. Daisy: An efficient dense descriptor applied to wide-baseline stereo. *IEEE Transactions on Pattern Analysis and Machine Intelligence* 32, 5 (2010), 815–830.
- [76] TOLA, E., STRECHA, C., AND FUÀ, P. Efficient large-scale multi-view stereo for ultra high-resolution image sets. *Machine Vision and Applications* 23, 5 (2012), 903–920.

- [77] VASIĆ, D., NINKOV, T., BULATOVIĆ, V., SUŠIĆ, Z., AND MARKOVIĆ, M. Metodologija klasifikacije vegetacije urbanih sredina primenom bespilotnih letelica. 154–162.
- [78] VASIĆ, D., NINKOV, T., BULATOVIĆ, V., SUŠIĆ, Z., AND MARKOVIĆ, M. Terrain mapping by applying unmanned aerial vehicle and LiDAR system for the purpose of designing in serbia. vol. 6, pp. 217–222.
- [79] VASOVIĆ, O., AND GUČEVIĆ, J. Praktična geodezija. 324.
- [80] WANG, Y., WEINACKER, H., AND KOCH, B. Automatic non-ground objects extraction based on multi-returned LiDAR data. *Photogrammetrie Fernerkundung Geoinformation 2006*, 2 (2006), 127.
- [81] WU, J., AND BAUER, M. E. Evaluating the effects of shadow detection on QuickBird image classification and spectroradiometric restoration. *Remote Sensing* 5, 9 (2013), 4450–4469.
- [82] XIE, W., AND ZHOU, G. Experimental realization of urban large-scale true orthoimage generation. *International Archives of the Photogrammetry, Remote Sensing and Spatial Information Sciences* 37 (2008).
- [83] YUNFEI, B., GUOPING, L., CHUNXIANG, C., XIAOWEN, L., HAO, Z., QISHENG, H., LINYAN, B., AND CHAOYI, C. Classification of LiDAR point cloud and generation of DTM from LiDAR height and intensity data in forested area. *The International Archives of the Photogrammetry, Remote Sensing and Spatial Information Sciences* 37, 7 (2008), 313–318.
- [84] ZHANG, L., AND GRUEN, A. Multi-image matching for DSM generation from IKONOS imagery. *ISPRS Journal of Photogrammetry and Remote Sensing* 60, 3 (2006), 195–211.
- [85] ZHOU, W., HUANG, G., TROY, A., AND CADENASSO, M. Object-based land cover classification of shaded areas in high spatial resolution imagery of urban areas: a comparison study. *Remote Sensing of Environment* 113, 8 (2009), 1769–1777.

Poglavlje 10

Prilozi

10.0.1 Prilog 1 - Izvod iz Pravilnika o topografskom premeru i topografsko-kartografskim proizvodima

Član 110

Pripremni radovi koji se obavljaju pre početka laserskog skeniranja izvode se u skladu sa utvrđenim planom određivanja kontrolnih tačaka i obuhvataju prikupljanje podataka neophodnih za definisanje položaja kontrolnih tačaka, pripremu terena i određivanje kontrolnih tačaka.

Član 111

Za potrebe kontrole apsolutne visinske tačnosti podataka prikupljenih LiDAR metodom na terenu meri se grid (mreža) kontrolnih tačaka na definisanim lokacijama u okviru područja skeniranja.

Član 112

Plan određivanja kontrolnih tačaka obuhvata:

- definisanje broja i rasporeda gridova kontrolnih tačaka u okviru područja skeniranja;
- definisanje dimenzija gridova i rastojanje tačaka u gridovima;
- definisanje tačnosti, metode i načina određivanja koordinata kontrolnih tačaka;
- izradu pregledne skice rasporeda gridova kontrolnih tačaka.

U izuzetnim slučajevima može se definisati skup kontrolnih tačaka duž linijskih objekata od stabilnog materijala (asfaltni put, pruga i sl.).

Član 113

Broj i raspored gridova kontrolnih tačaka zavisi od karakteristika područja obuhvaćenog skeniranjem i karakteristika proizvoda koji se izrađuje na osnovu skeniranja. Gridovi kontrolnih tačaka moraju biti ravnomerno raspoređeni na području skeniranja i ne smeju biti u blizini visokih objekata. Ukoliko se na području skeniranja nalazi oblast sa posebnim topografskim karakteristikama postavlja se dodatni broj gridova kontrolnih tačaka u toj oblasti ili njenoj neposrednoj blizini. Radi efektivnije kontrole prikupljenih podataka, lokacije gridova kontrolnih tačaka biraju se tako da budu na području preklopa skeniranja ukoliko fizičke karakteristike područja to dozvoljavaju.

Član 114

Teren na kome se nalaze tačke kontrolnog grida mora biti od čvrstog materijala (beton, asfalt i sl.) sa ravnomernim nagibom manjim od 20° . Krajnje tačke grida moraju biti udaljene najmanje 0,5 m od ivica površina čije karakteristike utiču na kvalitet prikupljanja podataka (travnate, vodene i druge površine) i od mesta gde teren naglo menja pad. Broj tačaka u gridu kontrolnih tačaka ne sme biti manji od 25.

Član 115

Pregledna skica rasporeda gridova kontrolnih tačaka izrađuje se na odgovarajućim geodetskim podlogama i naročito sadrži:

- granicu područja skeniranja;
- linije skeniranja sa oznakama linija;
- planiran položaj gridova kontrolnih tačaka;
- jedinstvene oznake svih lokacija gridova kontrolnih tačaka.

Član 116

Tačke kontrolnog grida određuju se neposredno pre skeniranja. Određivanje tačaka kontrolnog grida može se vršiti i neposredno posle skeniranja radi otklanjanja eventualnih odstupanja utvrđenih prilikom kontrole relativne tačnosti prikupljenih podataka. Koordinate kontrolnih tačaka grida moraju biti određene sa najmanje trostruko većom tačnošću od položajne i visinske tačnosti podataka prikupljenih LiDAR metodom.

Član 117

Posle završenih pripremних radova izrađuje se izveštaj o izvršenim pripremnim radovima, koji naročito sadrži:

- osnovne informacije o vrsti, obimu i načinu realizacije pripremnih radova;
- elaborat o izvršenom određivanju kontrolnih tačaka grida sa spiskom koordinata i ocenom tačnosti;

- preglednu skicu realizovanog rasporeda gridova kontrolnih tačaka.

Član 118

Neposredno pre početka laserskog skeniranja vrši se provera opreme, sistema za globalno pozicioniranje i vremenskih uslova, o čemu se izrađuje izveštaj.

Član 119

O realizaciji laserskog skeniranja izrađuje se izveštaj koji naročito sadrži:

- osnovne informacije o području skeniranja i korišćenoj opremi;
- oznake linija skeniranja;
- vreme početka i završetka skeniranja za svaku liniju;
- informacije o kvalitetu GPS podataka (GDOP, broj satelita).

Član 120

Ukoliko u toku laserskog skeniranja dođe do pojava koje onemogućavaju njegovu adekvatnu realizaciju na većem delu ili u potpunosti, skeniranje se prekida uz navođenje razloga za njegovo prekidanje u izveštaju iz člana 119. ovog pravilnika.

Član 121

Neposredno posle realizacije laserskog skeniranja vrši se preliminarna kontrola podataka GPS/INS sistema i podataka prikupljenih laserskim skeniranjem. Preliminarna kontrola podataka GPS/INS sistema obuhvata:

- kontrolu intervala prikupljanja podataka;
- proveru postojanja prekida u prikupljanju podataka;
- kontrolu pokrivenosti područja od interesa podacima;
- proveru da Rinex fajl sadrži podatak o visini antene;
- proveru da Rinex fajl sadrži zvanične koordinate permanentne GNSS stanice;
- proveru minimalnog broja satelita pri laserskom skeniranju i vrednost GDOP.

Preliminarna kontrola podataka prikupljenih laserskim skeniranjem obuhvata:

- proveru pokrivenosti područja podacima;
- proveru kompletnosti i ispravnosti prikupljenih podataka;
- proveru gustine prikupljenog oblaka tačaka.

Član 122

Posle realizovanog laserskog skeniranja izrađuje se grafički deo realizovanog plana leta koji naročito sadrži:

- granicu područja skeniranja;
- linije skeniranja sa oznakama i realizovanim pravcima leta;
- realizovanu absolutnu visinu leta za svaku liniju skeniranja.

Grafički deo realizovanog plana leta izrađuje se na geodetskim podlogama koje imaju iste karakteristike kao i geodetske podloge korišćene za izradu grafičkog dela plana leta.

Član 123

Ako se preliminarnom kontrolom podataka realizovanog laserskog skeniranja utvrde propusti, greške ili nedostaci, isti se moraju otkloniti ponovnim skeniranjem. O izvršenoj preliminarnoj kontroli podataka GPS/INS sistema i podataka laserskog skeniranja izrađuje se izveštaj koji sadrži i grafički deo realizovanog plana leta iz člana 122. ovog pravilnika.

Član 124

Posle obavljene preliminarne kontrole podataka GPS-INS sistema računa se optimalna trajektorija laserskog skeniranja. Za potrebe kontrole pouzdanosti izračunate trajektorije vrši se nezavisno računanje trajektorije korišćenjem podataka druge permanentne GNSS stanice na odabranom delu područja obuhvaćenog laserskim skeniranjem. Posle određivanja optimalne trajektorije laserskog skeniranja izrađuje se izveštaj o računanju optimalne trajektorije koji predstavlja sastavni deo izveštaja o obradi prikupljenih podataka.

Član 125

Na osnovu izračunate optimalne trajektorije laserskog skeniranja i drugih neophodnih podataka (nagib laserskog zraka, vrednosti odstojanja za svaku tačku i dr.) formira se oblak prikupljenih tačaka za svaku liniju skeniranja.

Član 126

Podaci koji su prikupljeni na području preklopa linija skeniranja koriste se za relativno izravnjanje prikupljenih podataka radi otklanjanja sistematskih grešaka LiDAR sistema.

Član 127

Ako se u postupku obrade podataka prikupljenih LiDAR metodom utvrdi da nije postignuta zadata visinska tačnost proizvoda, koristi se grid tačaka veće tačnosti za ponovnu obradu podataka.

Član 128

Format prikupljenog i obrađenog oblaka tačaka je LAS format. Za svaki skup podataka iz stava 1. ovog člana, koji imaju identične karakteristike, izrađuje se fajl koji sadrži metapodatke.

Član 129

O obradi prikupljenih podataka laserskog skeniranja izrađuje se izveštaj.

Član 130

Kontrola kvaliteta realizovanog laserskog skeniranja obuhvata:

- kontrolu parametara realizovanog laserskog skeniranja;
- kontrolu podataka GPS/INS sistema;
- kontrolu prikupljenih podataka (oblak tačaka).

O izvršenim kontrolama iz stava 1. ovog člana izrađuju se izveštaji koji naročito sadrže:

- predmet kontrole;
- obim kontrole (veličina uzorka ili kompletno);
- način sprovođenja kontrole;
- činjenice utvrđene prilikom kontrole;
- ispunjenost kriterijuma prihvatljivosti;
- mere za otklanjanje nedostataka;
- datum kontrole;
- podatke o licu koje je izvršilo kontrolu.

Član 131

Kontrola parametara realizovanog laserskog skeniranja naročito obuhvata:

- kontrolu uslova realizovanog laserskog skeniranja (atmosferski uslovi, stanje terena, i dr.);
- kontrolu izveštaja o izvršenoj kalibraciji korišćenog LiDAR senzora;
- kontrolu realizovanih linija skeniranja;
- kontrolu realizovane visine leta;
- kontrolu realizovanog poprečnog preklopa skeniranja.

Član 132

Kontrola podataka GPS/INS sistema naročito obuhvata:

- kontrolu uslova prilikom prikupljanja podataka (vrsta opreme, prijem signala u letelici i na GNSS permanentnoj stanici, konstelacija satelita i dr.);
- kontrolu izveštaja o izvršenoj kalibraciji korišćenog GPS/INS sistema;
- kontrolu kompletnosti i tačnosti podataka GPS/INS sistema;
- kontrolu procesa određivanja i kvaliteta optimalne trajektorije.

Član 133

Kontrola kvaliteta prikupljenih podataka naročito obuhvata:

- kontrolu pokrivenosti područja skeniranja;
- kontrolu kompletnosti podataka skeniranja;
- kontrolu gustine prikupljenog oblaka tačaka;
- kontrolu relativne visinske tačnosti prikupljenog oblaka tačaka;
- kontrolu apsolutne visinske tačnosti prikupljenog oblaka tačaka.

Član 134

Gustina prikupljenog oblaka tačaka izražava se brojem tačaka po kvadratnom metru. Srednja gustina prikupljenog oblaka tačaka računa se na osnovu tačaka prvog povratnog signala iz centralnih delova područja zahvaćenih skeniranjem za svaku liniju skeniranja. Srednja gustina prikupljenog oblaka tačaka mora da bude u skladu sa vrednostima definisanim glavnim projektom. Srednje rastojanje tačaka u pravcu linije leta (dx) i srednje rastojanje tačaka u pravcu upravnom na liniju leta (dy) treba da budu približno jednaki.

Član 135

Kontrola relativne visinske tačnosti prikupljenog oblaka tačaka vrši se upoređenjem visina tačaka iz dve linije skeniranja na području preklopa skeniranja. Izbor lokacija za kontrolu relativne visinske tačnosti mora biti na terenu od čvrstog materijala (beton, asfalt i sl.) sa ravnomernim nagibom manjim od 20° . Srednja kvadratna greška odstupanja visina mora biti manja ili jednaka vrednosti definisanoj glavnim projektom.

Član 136

Kontrola apsolutne visinske tačnosti obrađenog oblaka tačaka vrši se upoređenjem interpolovanih visina iz obrađenog oblaka tačaka i visina grida kontrolnih tačaka. Srednja kvadratna greška odstupanja visina obrađenog oblaka tačaka ne sme biti veća od vrednosti definisane projektnim zadatkom.

Pravilnikom o topografskom premeru i topografsko-kartografskim proizvodima propisani su tehnički normativi, metode i način rada kod topografskog premera, sadržaj topografsko-kartografskih proizvoda, sadržaj tehničke dokumentacije za realizaciju topografskog premera i izradu topografsko-kartografskih proizvoda, kontrola kvaliteta kod topografskog premera i izrade topografsko-kartografskih proizvoda, arhiviranje i distribucija topografsko-kartografskih proizvoda nastalih od podataka prikupljenih LiDAR metodom premera.

10.0.2 Prilog 2

| Br.T. | Yt | Xt | Zt | Zmo | dZ | Br.T. | Yt | Xt | Zt | Zmo | dZ |
|-------|-------------|-------------|--------|--------|--------|-------|-------------|-------------|---------|---------|--------|
| 1 | 7398825.640 | 5059343.760 | 86.710 | 86.700 | -0.010 | 66 | 7397948.760 | 5057920.020 | 100.150 | 100.220 | 0.070 |
| 2 | 7398843.460 | 5059228.410 | 87.264 | 87.280 | 0.016 | 67 | 7398136.770 | 5057659.850 | 99.300 | 99.410 | 0.110 |
| 3 | 7399095.220 | 5058767.350 | 87.559 | 87.600 | 0.041 | 68 | 7398403.550 | 5057565.070 | 98.460 | 98.530 | 0.070 |
| 4 | 7399160.430 | 5058652.980 | 87.653 | 87.660 | 0.007 | 69 | 7398618.990 | 5057721.940 | 98.319 | 98.400 | 0.081 |
| 5 | 7399220.510 | 5058545.440 | 87.690 | 87.720 | 0.030 | 70 | 7398567.990 | 5057953.250 | 99.280 | 99.280 | 0.000 |
| 6 | 7399280.340 | 5058438.450 | 87.479 | 87.370 | -0.109 | 71 | 7398708.830 | 5058052.920 | 98.720 | 98.500 | -0.220 |
| 7 | 7399310.170 | 5058383.870 | 87.113 | 87.000 | -0.113 | 72 | 7398731.820 | 5058022.230 | 98.410 | 98.430 | 0.020 |
| 8 | 7399400.900 | 5058226.000 | 87.020 | 86.910 | -0.110 | 73 | 7398797.940 | 5057846.680 | 97.534 | 97.550 | 0.016 |
| 9 | 7399495.070 | 5058076.460 | 86.704 | 86.740 | 0.036 | 74 | 7398998.650 | 5057859.250 | 95.431 | 95.530 | 0.099 |
| 10 | 7399582.380 | 5057949.040 | 87.048 | 87.160 | 0.112 | 75 | 7399038.820 | 5057793.240 | 95.758 | 95.740 | -0.018 |
| 11 | 7399792.720 | 5057805.490 | 87.417 | 87.620 | 0.203 | 76 | 7399067.890 | 5057714.650 | 98.060 | 98.020 | -0.040 |
| 12 | 7400091.130 | 5057625.870 | 87.470 | 87.510 | 0.040 | 77 | 7398701.550 | 5057475.430 | 98.530 | 98.550 | 0.020 |
| 13 | 7399858.780 | 5057496.670 | 95.410 | 95.440 | 0.030 | 78 | 7398929.320 | 5059264.920 | 86.280 | 86.200 | -0.080 |
| 14 | 7399439.770 | 5057427.580 | 97.740 | 97.780 | 0.040 | 79 | 7399124.110 | 5059366.800 | 87.250 | 87.300 | 0.050 |
| 15 | 7399163.960 | 5057409.270 | 98.052 | 98.210 | 0.158 | 80 | 7399124.410 | 5059226.430 | 86.380 | 86.520 | 0.140 |
| 16 | 7399243.000 | 5057674.920 | 95.674 | 95.720 | 0.046 | 81 | 7399262.310 | 5059299.990 | 86.880 | 86.810 | -0.070 |
| 17 | 7399429.370 | 5057940.700 | 89.420 | 89.560 | 0.140 | 82 | 7399359.510 | 5059373.780 | 87.100 | 87.140 | 0.040 |
| 18 | 7399274.510 | 5057856.050 | 95.750 | 95.780 | 0.030 | 83 | 7399450.420 | 5059363.800 | 88.524 | 88.460 | -0.064 |
| 19 | 7399293.280 | 5057897.290 | 94.250 | 94.410 | 0.160 | 84 | 7399477.350 | 5059480.500 | 89.470 | 89.510 | 0.040 |
| 20 | 7399280.770 | 5057953.860 | 91.435 | 91.610 | 0.175 | 85 | 7399481.350 | 5059546.280 | 87.970 | 88.080 | 0.110 |
| 21 | 7399176.060 | 5057882.090 | 98.338 | 98.380 | 0.042 | 86 | 7399595.210 | 5059477.410 | 95.160 | 95.190 | 0.030 |
| 22 | 7399069.710 | 5058043.320 | 97.340 | 97.550 | 0.210 | 87 | 7399570.750 | 5059400.230 | 95.300 | 95.370 | 0.070 |
| 23 | 7399154.890 | 5058073.030 | 98.089 | 98.270 | 0.181 | 88 | 7399598.380 | 5059416.090 | 96.760 | 96.860 | 0.100 |
| 24 | 7399162.460 | 5058096.110 | 96.510 | 96.630 | 0.120 | 89 | 7399687.930 | 5059462.550 | 100.190 | 100.230 | 0.040 |
| 25 | 7398903.840 | 5058151.250 | 97.700 | 97.860 | 0.160 | 90 | 7400100.450 | 5059136.630 | 101.250 | 101.290 | 0.040 |
| 26 | 7399032.820 | 5058234.870 | 97.670 | 97.800 | 0.130 | 91 | 7399827.630 | 5058990.650 | 100.890 | 100.950 | 0.060 |
| 27 | 7399070.000 | 5058239.260 | 96.852 | 97.010 | 0.158 | 92 | 7399605.270 | 5058923.730 | 97.956 | 97.890 | -0.066 |
| 28 | 7399158.870 | 5058292.220 | 87.750 | 87.900 | 0.150 | 93 | 7399579.990 | 5058965.460 | 98.862 | 98.870 | 0.008 |
| 29 | 7398879.660 | 5058361.280 | 97.892 | 98.020 | 0.128 | 94 | 7399574.780 | 5059092.130 | 101.240 | 101.250 | 0.010 |
| 30 | 7398981.130 | 5058418.420 | 91.984 | 92.070 | 0.086 | 95 | 7399574.990 | 5059248.170 | 100.920 | 100.910 | -0.010 |
| 31 | 7398918.930 | 5058525.330 | 89.580 | 89.670 | 0.090 | 96 | 7399424.610 | 5059229.160 | 88.150 | 88.200 | 0.050 |
| 32 | 7398857.690 | 5058628.310 | 88.940 | 89.100 | 0.160 | 97 | 7399258.220 | 5059129.590 | 87.076 | 87.180 | 0.104 |
| 33 | 7398793.240 | 5058741.400 | 88.048 | 88.220 | 0.172 | 98 | 7399225.010 | 5058972.610 | 86.720 | 86.870 | 0.150 |
| 34 | 7398732.020 | 5058844.590 | 87.875 | 88.050 | 0.175 | 99 | 7399300.710 | 5058996.360 | 86.350 | 86.560 | 0.210 |

| | | | | | | | | | | | |
|----|-------------|-------------|---------|---------|--------|-----|-------------|-------------|---------|---------|--------|
| 35 | 7398657.520 | 5058953.930 | 90.141 | 90.270 | 0.129 | 100 | 7399295.650 | 5059034.680 | 86.040 | 86.140 | 0.100 |
| 36 | 7398584.900 | 5059085.470 | 93.450 | 93.560 | 0.110 | 101 | 7399407.730 | 5059086.570 | 87.600 | 87.710 | 0.110 |
| 37 | 7398363.110 | 5058958.390 | 101.246 | 101.280 | 0.034 | 102 | 7399454.670 | 5059104.820 | 92.437 | 92.460 | 0.023 |
| 38 | 7398346.620 | 5058924.880 | 101.749 | 101.780 | 0.031 | 103 | 7399515.370 | 5059014.210 | 98.345 | 98.370 | 0.025 |
| 39 | 7398385.080 | 5058893.290 | 101.550 | 101.590 | 0.040 | 104 | 7399435.740 | 5058968.430 | 86.360 | 86.440 | 0.080 |
| 40 | 7398441.350 | 5058835.620 | 95.520 | 95.600 | 0.080 | 105 | 7399344.460 | 5058896.710 | 87.099 | 87.230 | 0.131 |
| 41 | 7398507.240 | 5058725.870 | 91.050 | 91.040 | -0.010 | 106 | 7399447.350 | 5058940.020 | 86.102 | 86.190 | 0.088 |
| 42 | 7398565.150 | 5058614.640 | 90.510 | 90.530 | 0.020 | 107 | 7399475.940 | 5058911.910 | 87.455 | 87.540 | 0.085 |
| 43 | 7398467.060 | 5058508.790 | 92.390 | 92.460 | 0.070 | 108 | 7399531.280 | 5058884.630 | 90.392 | 90.330 | -0.062 |
| 44 | 7398578.720 | 5058521.080 | 91.730 | 91.830 | 0.100 | 109 | 7399387.000 | 5058786.940 | 87.520 | 87.550 | 0.030 |
| 45 | 7398632.630 | 5058505.830 | 91.310 | 91.440 | 0.130 | 113 | 7399714.470 | 5058777.000 | 98.382 | 98.420 | 0.038 |
| 46 | 7398678.910 | 5058534.770 | 90.880 | 91.000 | 0.120 | 114 | 7399834.790 | 5058618.950 | 99.700 | 99.700 | 0.000 |
| 47 | 7398713.240 | 5058458.820 | 93.460 | 93.570 | 0.110 | 115 | 7399894.430 | 5058547.520 | 99.543 | 99.520 | -0.023 |
| 48 | 7398649.000 | 5058410.450 | 97.070 | 97.110 | 0.040 | 116 | 7399999.860 | 5058603.380 | 100.410 | 100.490 | 0.080 |
| 49 | 7398518.480 | 5058317.720 | 99.245 | 99.270 | 0.025 | 117 | 7400319.290 | 5058296.590 | 99.510 | 99.510 | 0.000 |
| 50 | 7398424.360 | 5058442.330 | 94.310 | 94.330 | 0.020 | 118 | 7400152.760 | 5058205.820 | 93.028 | 92.940 | -0.088 |
| 51 | 7398277.250 | 5058660.650 | 96.240 | 96.290 | 0.050 | 119 | 7400044.890 | 5058340.750 | 98.650 | 98.710 | 0.060 |
| 52 | 7398266.680 | 5058857.790 | 102.479 | 102.520 | 0.041 | 120 | 7399771.840 | 5058026.690 | 86.561 | 86.500 | -0.061 |
| 53 | 7398177.510 | 5058786.160 | 100.537 | 100.630 | 0.093 | 121 | 7399731.580 | 5058010.490 | 86.206 | 86.200 | -0.006 |
| 54 | 7398085.570 | 5058702.140 | 101.621 | 101.730 | 0.109 | 124 | 7399810.820 | 5058482.460 | 90.670 | 90.710 | 0.040 |
| 55 | 7398001.010 | 5058627.440 | 101.885 | 101.970 | 0.085 | 125 | 7399742.710 | 5058590.250 | 94.090 | 94.150 | 0.060 |
| 56 | 7398167.260 | 5058595.330 | 99.430 | 99.470 | 0.040 | 126 | 7399682.900 | 5058650.200 | 92.600 | 92.630 | 0.030 |
| 57 | 7398147.470 | 5058403.900 | 98.652 | 98.840 | 0.188 | 130 | 7399241.990 | 5057928.440 | 97.331 | 97.400 | 0.069 |
| 58 | 7398346.660 | 5058340.330 | 95.710 | 95.880 | 0.170 | 131 | 7398042.780 | 5058969.810 | 101.114 | 101.170 | 0.056 |
| 59 | 7398258.280 | 5058249.870 | 98.387 | 98.520 | 0.133 | 132 | 7397922.870 | 5058785.850 | 104.520 | 104.520 | 0.000 |
| 60 | 7398284.710 | 5058259.310 | 98.131 | 98.270 | 0.139 | 133 | 7397778.880 | 5058571.740 | 100.220 | 100.250 | 0.030 |
| 61 | 7398330.210 | 5058185.910 | 97.899 | 97.870 | -0.029 | | | | | | |
| 62 | 7398434.460 | 5058042.100 | 97.858 | 97.880 | 0.022 | | | | | | |
| 63 | 7398627.960 | 5058173.280 | 99.127 | 99.170 | 0.043 | | | | | | |
| 64 | 7397909.490 | 5058377.590 | 99.780 | 99.850 | 0.070 | | | | | | |
| 65 | 7398143.500 | 5058055.340 | 97.810 | 97.820 | 0.010 | | | | | | |

TABELA 10.1: Očitane Z vrednosti koordinata kontrolnih tačaka izabranih za kalibraciju na UAVMo modelu

| Br.T. | Yt | Xt | Zt | Zmo | dZ | Br.T. | Yt | Xt | Zt | Zmo | dZ |
|-------|-------------|-------------|--------|--------|--------|-------|-------------|-------------|---------|---------|--------|
| 1 | 7398843.460 | 5059228.410 | 87.264 | 87.180 | -0.084 | 51 | 7399450.420 | 5059363.800 | 88.524 | 88.450 | -0.074 |
| 2 | 7398913.380 | 5059091.580 | 87.012 | 87.030 | 0.018 | 52 | 7400100.450 | 5059136.630 | 101.250 | 101.160 | -0.090 |
| 3 | 7398972.020 | 5058985.490 | 87.107 | 86.990 | -0.117 | 53 | 7399827.630 | 5058990.650 | 100.890 | 100.770 | -0.120 |
| 4 | 7399036.000 | 5058870.700 | 87.319 | 87.220 | -0.099 | 54 | 7399636.780 | 5058885.650 | 98.045 | 97.910 | -0.135 |
| 5 | 7399095.220 | 5058767.350 | 87.559 | 87.500 | -0.059 | 55 | 7399605.270 | 5058923.730 | 97.956 | 97.830 | -0.126 |
| 6 | 7399160.430 | 5058652.980 | 87.653 | 87.570 | -0.083 | 56 | 7399579.990 | 5058965.460 | 98.862 | 98.760 | -0.102 |
| 7 | 7399220.510 | 5058545.440 | 87.690 | 87.660 | -0.030 | 57 | 7399424.610 | 5059229.160 | 88.150 | 88.090 | -0.060 |
| 8 | 7399280.340 | 5058438.450 | 87.479 | 87.460 | -0.019 | 58 | 7399225.010 | 5058972.610 | 86.720 | 86.580 | -0.140 |
| 9 | 7399310.170 | 5058383.870 | 87.113 | 87.060 | -0.053 | 59 | 7399300.710 | 5058996.360 | 86.350 | 86.220 | -0.130 |
| 10 | 7399400.900 | 5058226.000 | 87.020 | 86.970 | -0.050 | 60 | 7399295.650 | 5059034.680 | 86.040 | 85.880 | -0.160 |
| 11 | 7399495.070 | 5058076.460 | 86.704 | 86.540 | -0.164 | 61 | 7399454.670 | 5059104.820 | 92.437 | 92.400 | -0.037 |
| 12 | 7399582.380 | 5057949.040 | 87.048 | 87.000 | -0.048 | 62 | 7399515.370 | 5059014.210 | 98.345 | 98.260 | -0.085 |
| 13 | 7399792.720 | 5057805.490 | 87.417 | 87.380 | -0.037 | 63 | 7399344.460 | 5058896.710 | 87.099 | 87.010 | -0.089 |
| 14 | 7400091.130 | 5057625.870 | 87.470 | 87.380 | -0.090 | 64 | 7399387.000 | 5058786.940 | 87.520 | 87.420 | -0.100 |
| 15 | 7399073.210 | 5057015.620 | 97.694 | 97.670 | -0.024 | 65 | 7399443.790 | 5058670.630 | 86.790 | 86.700 | -0.090 |

| |
|---|
| 16 7399163.960 5057409.270 98.052 98.010 -0.042 66 7399496.650 5058570.780 85.930 85.810 -0.120 |
| 17 7399243.000 5057674.920 95.674 95.570 -0.104 67 7399561.510 5058610.410 86.590 86.470 -0.120 |
| 18 7399274.510 5057856.050 95.750 95.690 -0.060 68 7399714.470 5058777.000 98.382 98.260 -0.122 |
| 19 7399069.710 5058043.320 97.340 97.290 -0.050 69 7399834.790 5058618.950 99.700 99.550 -0.150 |
| 20 7399154.890 5058073.030 98.089 98.010 -0.079 70 7399894.430 5058547.520 99.543 99.460 -0.083 |
| 21 7399162.460 5058096.110 96.510 96.380 -0.130 71 7399999.860 5058603.380 100.410 100.280 -0.130 |
| 22 7399032.820 5058234.870 97.670 97.620 -0.050 72 7400613.410 5058462.420 96.720 96.690 -0.030 |
| 23 7399070.000 5058239.260 96.852 96.790 -0.062 73 7400319.290 5058296.590 99.510 99.490 -0.020 |
| 24 7399031.570 5058306.170 95.142 95.070 -0.072 74 7400152.760 5058205.820 93.028 92.900 -0.128 |
| 25 7398981.130 5058418.420 91.984 91.940 -0.044 75 7400044.890 5058340.750 98.650 98.560 -0.090 |
| 26 7398918.930 5058525.330 89.580 89.460 -0.120 76 7399771.840 5058026.690 86.561 86.470 -0.091 |
| 27 7398857.690 5058628.310 88.940 88.840 -0.100 77 7399731.580 5058010.490 86.206 86.090 -0.116 |
| 28 7398793.240 5058741.400 88.048 87.980 -0.068 78 7399241.990 5057928.440 97.331 97.220 -0.111 |
| 29 7398732.020 5058844.590 87.875 87.840 -0.035 |
| 30 7398657.520 5058953.930 90.141 90.060 -0.081 |
| 31 7398584.900 5059085.470 93.450 93.450 0.000 |
| 32 7398441.350 5058835.620 95.520 95.460 -0.060 |
| 33 7398507.240 5058725.870 91.050 90.920 -0.130 |
| 34 7398565.150 5058614.640 90.510 90.410 -0.100 |
| 35 7398467.060 5058508.790 92.390 92.410 0.020 |
| 36 7398578.720 5058521.080 91.730 91.790 0.060 |
| 37 7398632.630 5058505.830 91.310 91.240 -0.070 |
| 38 7398678.910 5058534.770 90.880 90.730 -0.150 |
| 39 7398713.240 5058458.820 93.460 93.470 0.010 |
| 40 7398649.000 5058410.450 97.070 97.180 0.110 |
| 41 7398518.480 5058317.720 99.245 99.160 -0.085 |
| 42 7398330.210 5058185.910 97.899 97.800 -0.099 |
| 43 7398143.500 5058055.340 97.810 97.640 -0.170 |
| 44 7397948.760 5057920.020 100.150 100.040 -0.110 |
| 45 7398136.770 5057659.850 99.300 99.200 -0.100 |
| 46 7398403.550 5057565.070 98.460 98.390 -0.070 |
| 47 7398618.990 5057721.940 98.319 98.230 -0.089 |
| 48 7398645.500 5057740.620 99.224 99.140 -0.084 |
| 49 7398797.940 5057846.680 97.534 97.430 -0.104 |
| 50 7398835.440 5057874.420 96.141 96.050 -0.091 |

TABELA 10.2: Očitane Z vrednosti koordinata kontrolnih tačaka izabranih za kalibraciju na LiDARMo modelu

| Br.T. | Yt | Xt | Zt | Zmo | dZ | Br.T. | Yt | Xt | Zt | Zmo | dZ |
|--|----|----|----|-----|----|-------|----|----|----|-----|----|
| 1 7399752.119 5058572.420 93.724 93.760 0.036 262 7400131.413 5058192.704 92.405 92.330 -0.075 | | | | | | | | | | | |
| 2 7399753.324 5058573.553 93.739 93.850 0.111 263 7400179.450 5058217.038 93.890 93.880 -0.010 | | | | | | | | | | | |
| 3 7399726.700 5058608.443 94.258 94.280 0.022 264 7400296.690 5058284.699 99.142 99.170 0.028 | | | | | | | | | | | |
| 4 7399725.578 5058607.666 94.254 94.280 0.026 265 7400295.964 5058285.868 99.183 99.260 0.077 | | | | | | | | | | | |
| 5 7399676.030 5058654.360 91.934 92.030 0.096 266 7400338.368 5058307.904 99.459 99.420 -0.039 | | | | | | | | | | | |
| 6 7399698.324 5058640.615 93.314 93.390 0.076 267 7400337.554 5058309.124 99.516 99.500 -0.016 | | | | | | | | | | | |
| 7 7399697.355 5058639.522 93.300 93.340 0.040 268 7400029.689 5058360.966 99.094 99.140 0.046 | | | | | | | | | | | |
| 8 7399696.244 5058638.343 93.236 93.310 0.074 269 7400062.435 5058323.017 98.142 98.190 0.048 | | | | | | | | | | | |
| 9 7399675.712 5058655.897 91.919 92.010 0.091 270 7400060.933 5058322.181 98.168 98.370 0.202 | | | | | | | | | | | |
| 10 7399649.625 5058695.278 90.939 91.060 0.121 271 7400059.771 5058321.448 98.162 98.330 0.168 | | | | | | | | | | | |
| 11 7399650.136 5058695.923 90.997 91.100 0.103 272 7400032.681 5058361.959 99.102 99.140 0.038 | | | | | | | | | | | |
| 12 7399651.347 5058695.078 91.094 91.210 0.116 273 7400030.203 5058360.255 99.100 99.180 0.080 | | | | | | | | | | | |

| | | | | | | | | | | | |
|----|-------------|-------------|---------|---------|--------|-----|-------------|-------------|--------|--------|--------|
| 13 | 7399814.707 | 5058333.594 | 87.115 | 87.120 | 0.005 | 274 | 7399736.218 | 5058749.878 | 98.917 | 98.980 | 0.063 |
| 14 | 7399813.400 | 5058333.926 | 87.068 | 87.040 | -0.028 | 275 | 7399201.027 | 5058677.349 | 87.564 | 87.600 | 0.036 |
| 15 | 7399816.990 | 5058380.001 | 87.725 | 87.740 | 0.015 | 276 | 7399199.507 | 5058680.159 | 87.574 | 87.590 | 0.016 |
| 16 | 7399818.663 | 5058379.838 | 87.809 | 87.760 | -0.049 | 277 | 7399382.993 | 5058796.748 | 87.594 | 87.680 | 0.086 |
| 17 | 7399815.341 | 5058441.776 | 89.365 | 89.400 | 0.035 | 278 | 7399371.955 | 5058776.209 | 87.437 | 87.500 | 0.063 |
| 18 | 7399813.885 | 5058441.542 | 89.344 | 89.400 | 0.056 | 279 | 7399384.306 | 5058796.824 | 87.675 | 87.720 | 0.045 |
| 19 | 7399797.659 | 5058506.626 | 91.263 | 91.350 | 0.087 | 280 | 7399358.549 | 5058858.971 | 87.546 | 87.620 | 0.074 |
| 20 | 7399796.167 | 5058506.013 | 91.252 | 91.320 | 0.068 | 281 | 7399357.018 | 5058854.812 | 87.675 | 87.740 | 0.065 |
| 21 | 7399909.456 | 5058522.206 | 99.579 | 99.620 | 0.041 | 282 | 7399358.070 | 5058855.729 | 87.667 | 87.690 | 0.023 |
| 22 | 7399910.915 | 5058523.415 | 99.599 | 99.570 | -0.029 | 283 | 7399399.982 | 5058767.435 | 87.453 | 87.340 | -0.113 |
| 23 | 7399882.960 | 5058559.798 | 99.444 | 99.530 | 0.086 | 284 | 7399398.683 | 5058766.809 | 87.469 | 87.340 | -0.129 |
| 24 | 7399854.903 | 5058598.531 | 99.530 | 99.520 | -0.010 | 285 | 7399397.127 | 5058766.172 | 87.410 | 87.290 | -0.120 |
| 25 | 7399823.396 | 5058639.495 | 99.927 | 99.950 | 0.023 | 286 | 7399431.882 | 5058698.606 | 86.956 | 86.820 | -0.136 |
| 26 | 7399822.063 | 5058638.551 | 99.909 | 99.890 | -0.019 | 287 | 7399253.677 | 5058566.808 | 87.695 | 87.540 | -0.155 |
| 27 | 7399820.925 | 5058637.749 | 99.883 | 99.920 | 0.037 | 288 | 7399254.488 | 5058565.495 | 87.651 | 87.530 | -0.121 |
| 28 | 7399706.897 | 5058764.556 | 96.942 | 97.010 | 0.068 | 289 | 7399345.050 | 5058400.715 | 86.799 | 86.580 | -0.219 |
| 29 | 7399705.321 | 5058767.777 | 97.035 | 97.100 | 0.065 | 290 | 7399441.011 | 5058251.414 | 86.590 | 86.370 | -0.220 |
| 30 | 7399706.159 | 5058791.949 | 98.437 | 98.360 | -0.077 | 291 | 7399440.649 | 5058252.569 | 86.541 | 86.290 | -0.251 |
| 31 | 7399704.711 | 5058791.093 | 98.385 | 98.380 | -0.005 | 292 | 7399358.193 | 5058203.789 | 87.053 | 87.050 | -0.003 |
| 32 | 7399646.702 | 5058867.742 | 98.111 | 98.140 | 0.029 | 293 | 7399357.756 | 5058204.950 | 87.055 | 87.080 | 0.025 |
| 33 | 7399647.921 | 5058868.456 | 98.137 | 98.050 | -0.087 | 294 | 7399356.954 | 5058206.469 | 87.070 | 87.140 | 0.070 |
| 34 | 7399649.194 | 5058869.416 | 98.113 | 98.140 | 0.027 | 295 | 7399229.442 | 5058136.574 | 89.311 | 89.530 | 0.219 |
| 35 | 7399684.781 | 5058910.300 | 98.551 | 98.440 | -0.111 | 296 | 7399229.550 | 5058133.435 | 89.455 | 89.680 | 0.225 |
| 36 | 7399683.997 | 5058911.572 | 98.544 | 98.560 | 0.016 | 297 | 7399151.683 | 5058101.074 | 97.764 | 97.870 | 0.106 |
| 37 | 7399619.652 | 5058905.463 | 97.982 | 97.940 | -0.042 | 298 | 7399152.745 | 5058101.809 | 97.792 | 97.900 | 0.108 |
| 38 | 7399620.956 | 5058906.242 | 97.981 | 97.880 | -0.101 | 299 | 7399075.672 | 5058227.377 | 97.023 | 97.210 | 0.187 |
| 39 | 7399592.656 | 5058943.823 | 98.260 | 98.290 | 0.030 | 300 | 7399076.946 | 5058228.644 | 97.014 | 97.190 | 0.176 |
| 40 | 7399594.035 | 5058944.708 | 98.283 | 98.190 | -0.093 | 301 | 7399055.011 | 5058260.855 | 96.400 | 96.580 | 0.180 |
| 41 | 7399584.653 | 5058914.866 | 96.405 | 96.500 | 0.095 | 302 | 7399057.174 | 5058263.127 | 96.373 | 96.510 | 0.137 |
| 42 | 7399585.392 | 5058913.875 | 96.375 | 96.340 | -0.035 | 303 | 7399041.997 | 5058288.427 | 95.647 | 95.860 | 0.213 |
| 43 | 7399578.031 | 5058982.019 | 99.433 | 99.410 | -0.023 | 304 | 7399043.365 | 5058289.184 | 95.631 | 95.850 | 0.219 |
| 44 | 7399579.344 | 5058982.047 | 99.425 | 99.460 | 0.035 | 305 | 7399023.601 | 5058324.454 | 94.617 | 94.740 | 0.123 |
| 45 | 7399569.240 | 5058968.471 | 98.985 | 98.950 | -0.035 | 306 | 7399026.255 | 5058326.026 | 94.637 | 94.800 | 0.163 |
| 46 | 7399570.012 | 5058969.724 | 99.051 | 98.880 | -0.171 | 307 | 7399894.242 | 5058391.083 | 92.701 | 92.690 | -0.011 |
| 47 | 7399570.744 | 5058971.020 | 99.071 | 99.040 | -0.031 | 308 | 7398992.816 | 5058390.435 | 92.703 | 92.760 | 0.057 |
| 48 | 7399574.943 | 5059065.296 | 100.948 | 100.960 | 0.012 | 309 | 7399032.532 | 5058329.770 | 93.304 | 93.410 | 0.106 |
| 49 | 7399576.367 | 5059065.201 | 100.958 | 100.910 | -0.048 | 310 | 7399258.047 | 5058426.793 | 87.534 | 87.620 | 0.086 |
| 50 | 7399577.503 | 5059065.204 | 100.909 | 100.920 | 0.011 | 311 | 7399256.851 | 5058429.580 | 87.473 | 87.440 | -0.033 |
| 51 | 7399575.704 | 5059109.977 | 101.420 | 101.430 | 0.010 | 312 | 7399274.318 | 5058359.872 | 87.058 | 87.240 | 0.182 |
| 52 | 7399576.688 | 5059109.870 | 101.408 | 101.430 | 0.022 | 313 | 7399272.900 | 5058360.377 | 87.087 | 87.110 | 0.023 |
| 53 | 7399073.870 | 5058752.603 | 87.696 | 87.810 | 0.114 | 314 | 7399178.724 | 5058303.699 | 87.448 | 87.690 | 0.242 |
| 54 | 7398816.344 | 5058697.263 | 88.312 | 88.510 | 0.198 | 315 | 7399179.366 | 5058302.629 | 87.413 | 87.680 | 0.267 |
| 55 | 7398815.163 | 5058696.512 | 88.334 | 88.560 | 0.226 | 316 | 7399147.138 | 5058284.894 | 87.887 | 88.080 | 0.193 |
| 56 | 7398866.460 | 5058609.206 | 89.144 | 89.270 | 0.126 | 317 | 7399147.747 | 5058283.782 | 87.862 | 88.080 | 0.218 |
| 57 | 7398864.919 | 5058608.558 | 89.143 | 89.310 | 0.167 | 318 | 7399171.554 | 5058061.678 | 97.918 | 98.070 | 0.152 |
| 58 | 7398900.917 | 5058548.441 | 89.635 | 89.840 | 0.205 | 319 | 7399167.565 | 5058059.905 | 98.136 | 98.300 | 0.164 |
| 59 | 7398899.491 | 5058547.696 | 89.670 | 89.850 | 0.180 | 320 | 7399264.616 | 5057968.056 | 92.289 | 92.440 | 0.151 |
| 60 | 7399572.446 | 5059218.647 | 101.147 | 101.160 | 0.013 | 321 | 7399265.927 | 5057969.108 | 92.182 | 92.330 | 0.148 |
| 61 | 7399573.646 | 5059218.638 | 101.198 | 101.190 | -0.008 | 322 | 7399293.717 | 5057958.271 | 90.793 | 91.010 | 0.217 |
| 62 | 7399574.918 | 5059218.645 | 101.180 | 101.210 | 0.030 | 323 | 7399294.052 | 5057957.029 | 90.808 | 90.960 | 0.152 |
| 63 | 7399571.717 | 5059266.648 | 100.625 | 100.610 | -0.015 | 324 | 7399378.302 | 5058006.014 | 89.569 | 89.760 | 0.191 |
| 64 | 7399572.894 | 5059266.602 | 100.651 | 100.670 | 0.019 | 325 | 7399447.891 | 5058045.829 | 87.132 | 87.200 | 0.068 |

| | | | | | | | | | | | |
|-----|-------------|-------------|---------|---------|--------|-----|-------------|-------------|--------|--------|--------|
| 65 | 7399574.186 | 5059266.586 | 100.640 | 100.680 | 0.040 | 326 | 7399447.230 | 5058047.206 | 87.109 | 87.180 | 0.071 |
| 66 | 7399571.071 | 5059379.405 | 95.979 | 95.940 | -0.039 | 327 | 7399446.567 | 5058048.466 | 87.116 | 87.220 | 0.104 |
| 67 | 7399569.829 | 5059379.331 | 95.931 | 95.910 | -0.021 | 328 | 7399481.433 | 5058005.430 | 87.536 | 87.680 | 0.144 |
| 68 | 7399596.138 | 5059410.537 | 96.510 | 96.660 | 0.150 | 329 | 7399483.489 | 5058003.549 | 87.473 | 87.600 | 0.127 |
| 69 | 7399595.918 | 5059410.940 | 96.572 | 96.650 | 0.078 | 330 | 7399392.103 | 5057881.266 | 90.893 | 91.090 | 0.197 |
| 70 | 7399529.792 | 5059388.983 | 93.114 | 93.250 | 0.136 | 331 | 7399390.002 | 5057883.204 | 90.937 | 91.030 | 0.093 |
| 71 | 7399593.689 | 5059413.313 | 96.509 | 96.660 | 0.151 | 332 | 7399144.970 | 5058074.554 | 98.398 | 98.600 | 0.202 |
| 72 | 7399595.494 | 5059442.470 | 96.429 | 96.410 | -0.019 | 333 | 7399145.613 | 5058073.376 | 98.448 | 98.610 | 0.162 |
| 73 | 7399596.776 | 5059442.706 | 96.396 | 96.560 | 0.164 | 334 | 7399087.094 | 5058053.785 | 97.614 | 97.810 | 0.196 |
| 74 | 7399595.712 | 5059463.496 | 95.866 | 95.950 | 0.084 | 335 | 7399087.672 | 5058052.079 | 97.558 | 97.730 | 0.172 |
| 75 | 7399594.193 | 5059463.610 | 95.855 | 95.980 | 0.125 | 336 | 7399047.709 | 5058024.003 | 97.060 | 97.280 | 0.220 |
| 76 | 7399594.869 | 5059411.957 | 96.528 | 96.620 | 0.092 | 337 | 7399046.956 | 5058025.113 | 97.152 | 97.250 | 0.098 |
| 77 | 7399622.397 | 5059425.186 | 97.940 | 98.020 | 0.080 | 338 | 7398861.679 | 5057865.084 | 95.827 | 95.900 | 0.073 |
| 78 | 7399621.692 | 5059426.302 | 97.951 | 97.750 | -0.201 | 339 | 7398860.351 | 5057862.396 | 95.876 | 95.910 | 0.034 |
| 79 | 7399620.971 | 5059427.686 | 97.968 | 97.920 | -0.048 | 340 | 7398827.036 | 5057886.572 | 96.062 | 96.040 | -0.022 |
| 80 | 7399664.596 | 5059448.677 | 99.821 | 99.900 | 0.079 | 341 | 7398825.981 | 5057885.823 | 96.132 | 96.150 | 0.018 |
| 81 | 7399664.095 | 5059450.147 | 99.842 | 99.900 | 0.058 | 342 | 7399012.988 | 5058221.916 | 98.514 | 98.710 | 0.196 |
| 82 | 7399665.119 | 5059447.478 | 99.809 | 99.890 | 0.081 | 343 | 7399012.514 | 5058223.077 | 98.573 | 98.670 | 0.097 |
| 83 | 7399704.843 | 5059469.811 | 100.392 | 100.300 | -0.092 | 344 | 7398934.579 | 5058170.936 | 97.745 | 97.830 | 0.085 |
| 84 | 7399704.110 | 5059471.166 | 100.403 | 100.390 | -0.013 | 345 | 7398885.292 | 5058134.351 | 97.759 | 97.960 | 0.201 |
| 85 | 7399577.654 | 5059480.471 | 93.681 | 93.770 | 0.089 | 346 | 7398884.779 | 5058135.583 | 97.784 | 97.930 | 0.146 |
| 86 | 7399492.029 | 5059484.455 | 90.026 | 90.140 | 0.114 | 347 | 7398884.107 | 5058136.953 | 97.781 | 97.970 | 0.189 |
| 87 | 7399478.475 | 5059504.390 | 88.915 | 89.060 | 0.145 | 348 | 7398770.347 | 5058050.659 | 97.693 | 97.710 | 0.017 |
| 88 | 7399476.678 | 5059504.614 | 88.863 | 88.920 | 0.057 | 349 | 7398716.300 | 5058037.146 | 98.661 | 98.670 | 0.009 |
| 89 | 7399472.350 | 5059458.355 | 89.825 | 89.900 | 0.075 | 350 | 7398718.851 | 5058038.887 | 98.572 | 98.550 | -0.022 |
| 90 | 7399470.553 | 5059457.415 | 89.823 | 89.910 | 0.087 | 351 | 7398702.261 | 5058057.630 | 98.811 | 98.780 | -0.031 |
| 91 | 7399472.169 | 5059457.325 | 89.814 | 89.910 | 0.096 | 352 | 7398703.279 | 5058058.407 | 98.830 | 98.600 | -0.230 |
| 92 | 7399440.975 | 5059369.210 | 88.272 | 88.320 | 0.048 | 353 | 7398704.453 | 5058059.384 | 98.702 | 98.710 | 0.008 |
| 93 | 7399440.718 | 5059367.707 | 88.261 | 88.250 | -0.011 | 354 | 7398604.451 | 5058157.564 | 99.214 | 99.340 | 0.126 |
| 94 | 7399458.104 | 5059391.358 | 88.945 | 88.900 | -0.045 | 355 | 7398602.759 | 5058160.054 | 99.314 | 99.330 | 0.016 |
| 95 | 7399476.518 | 5059372.250 | 89.884 | 89.990 | 0.106 | 356 | 7398497.954 | 5058085.127 | 98.479 | 98.370 | -0.109 |
| 96 | 7399476.233 | 5059373.752 | 89.894 | 90.010 | 0.116 | 357 | 7398461.569 | 5058064.281 | 98.161 | 98.200 | 0.039 |
| 97 | 7399444.018 | 5059343.738 | 88.847 | 88.920 | 0.073 | 358 | 7398462.329 | 5058062.965 | 98.158 | 98.110 | -0.048 |
| 98 | 7399445.538 | 5059343.397 | 88.860 | 88.950 | 0.090 | 359 | 7398462.977 | 5058061.517 | 98.107 | 98.130 | 0.023 |
| 99 | 7399424.025 | 5059247.872 | 88.092 | 88.210 | 0.118 | 360 | 7398440.692 | 5058051.677 | 97.831 | 97.760 | -0.071 |
| 100 | 7399425.303 | 5059247.564 | 88.161 | 88.240 | 0.079 | 361 | 7398497.845 | 5058053.347 | 98.010 | 98.100 | 0.090 |
| 101 | 7399396.510 | 5059211.142 | 87.747 | 87.790 | 0.043 | 362 | 7398496.764 | 5058052.422 | 98.050 | 98.040 | -0.010 |
| 102 | 7399432.753 | 5059211.856 | 88.346 | 88.410 | 0.064 | 363 | 7398495.613 | 5058051.657 | 98.026 | 98.160 | 0.134 |
| 103 | 7399431.277 | 5059211.632 | 88.308 | 88.360 | 0.052 | 364 | 7399298.780 | 5059008.238 | 86.230 | 86.440 | 0.210 |
| 104 | 7399429.822 | 5059211.259 | 88.230 | 88.290 | 0.060 | 365 | 7399297.344 | 5059008.072 | 86.242 | 86.400 | 0.158 |
| 105 | 7399428.312 | 5059247.091 | 88.204 | 88.300 | 0.096 | 366 | 7399295.899 | 5059008.018 | 86.221 | 86.420 | 0.199 |
| 106 | 7399426.550 | 5059247.354 | 88.205 | 88.250 | 0.045 | 367 | 7399340.387 | 5059360.323 | 87.084 | 87.120 | 0.036 |
| 107 | 7399450.702 | 5059118.996 | 91.836 | 91.790 | -0.046 | 368 | 7399339.821 | 5059361.252 | 87.028 | 87.100 | 0.072 |
| 108 | 7399452.429 | 5059119.500 | 91.860 | 91.820 | -0.040 | 369 | 7399341.050 | 5059359.101 | 87.040 | 87.070 | 0.030 |
| 109 | 7399462.406 | 5059098.158 | 93.082 | 93.130 | 0.048 | 370 | 7399341.737 | 5059357.631 | 86.953 | 86.710 | -0.243 |
| 110 | 7399459.895 | 5059096.368 | 92.990 | 93.010 | 0.020 | 371 | 7399274.689 | 5059311.915 | 86.878 | 86.940 | 0.062 |
| 111 | 7399461.189 | 5059097.131 | 93.068 | 93.080 | 0.012 | 372 | 7399275.608 | 5059310.761 | 86.858 | 86.750 | -0.108 |
| 112 | 7399508.838 | 5059023.360 | 97.741 | 97.800 | 0.059 | 373 | 7398116.562 | 5058035.994 | 97.573 | 97.640 | 0.067 |
| 113 | 7399510.103 | 5059024.336 | 97.763 | 97.830 | 0.067 | 374 | 7398115.874 | 5058037.035 | 97.629 | 97.730 | 0.101 |
| 114 | 7399526.151 | 5059004.883 | 98.916 | 98.960 | 0.044 | 375 | 7398115.207 | 5058038.020 | 97.636 | 97.700 | 0.064 |
| 115 | 7399527.268 | 5059005.971 | 98.943 | 98.950 | 0.007 | 376 | 7398336.662 | 5058184.587 | 97.827 | 97.960 | 0.133 |
| 116 | 7399509.535 | 5059006.354 | 98.498 | 98.520 | 0.022 | 377 | 7398339.439 | 5058191.301 | 97.827 | 97.940 | 0.113 |

| | | | | | | | | | | | |
|-----|-------------|-------------|--------|--------|--------|-----|-------------|-------------|---------|---------|--------|
| 117 | 7399268.145 | 5058982.998 | 85.981 | 86.070 | 0.089 | 378 | 7398338.888 | 5058194.600 | 97.839 | 98.000 | 0.161 |
| 118 | 7399101.601 | 5059208.666 | 86.355 | 86.470 | 0.115 | 379 | 7398181.358 | 5058083.331 | 97.802 | 97.830 | 0.028 |
| 119 | 7399100.883 | 5059209.903 | 86.356 | 86.580 | 0.224 | 380 | 7398334.472 | 5058182.133 | 97.855 | 97.950 | 0.095 |
| 120 | 7399321.704 | 5059046.687 | 86.251 | 86.420 | 0.169 | 381 | 7398180.333 | 5058084.666 | 97.885 | 97.830 | -0.055 |
| 121 | 7399322.603 | 5059045.517 | 86.208 | 86.410 | 0.202 | 382 | 7398298.041 | 5058167.353 | 98.279 | 98.410 | 0.131 |
| 122 | 7399278.931 | 5059071.807 | 86.252 | 86.430 | 0.178 | 383 | 7398297.021 | 5058168.447 | 98.301 | 98.420 | 0.119 |
| 123 | 7399280.282 | 5059072.295 | 86.296 | 86.450 | 0.154 | 384 | 7398287.548 | 5058247.814 | 98.255 | 98.250 | -0.005 |
| 124 | 7399281.806 | 5059072.981 | 86.281 | 86.470 | 0.189 | 385 | 7398286.271 | 5058247.094 | 98.377 | 98.420 | 0.043 |
| 125 | 7399311.539 | 5058971.869 | 86.196 | 86.270 | 0.074 | 386 | 7398495.266 | 5058302.430 | 99.391 | 99.310 | -0.081 |
| 126 | 7399267.832 | 5058984.503 | 86.079 | 86.120 | 0.041 | 387 | 7397970.154 | 5057934.278 | 99.905 | 99.950 | 0.045 |
| 127 | 7399310.167 | 5058971.005 | 86.135 | 86.280 | 0.145 | 388 | 7397971.084 | 5057932.841 | 99.911 | 99.830 | -0.081 |
| 128 | 7399147.613 | 5059239.853 | 86.509 | 86.620 | 0.111 | 389 | 7398193.838 | 5058773.600 | 100.273 | 100.410 | 0.137 |
| 129 | 7399242.188 | 5059289.693 | 86.926 | 86.900 | -0.026 | 390 | 7398263.001 | 5058679.967 | 96.954 | 96.960 | 0.006 |
| 130 | 7399241.045 | 5059290.987 | 86.970 | 87.060 | 0.090 | 391 | 7398261.755 | 5058679.103 | 96.966 | 96.910 | -0.056 |
| 131 | 7399381.460 | 5059075.364 | 87.021 | 87.160 | 0.139 | 392 | 7398260.625 | 5058678.252 | 96.943 | 97.000 | 0.057 |
| 132 | 7399382.176 | 5059072.526 | 86.912 | 87.110 | 0.198 | 393 | 7398144.631 | 5058752.221 | 100.461 | 100.580 | 0.119 |
| 133 | 7399025.090 | 5059009.998 | 86.948 | 86.970 | 0.022 | 394 | 7398143.956 | 5058753.590 | 100.506 | 100.630 | 0.124 |
| 134 | 7399022.980 | 5059010.527 | 87.034 | 86.960 | -0.074 | 395 | 7398163.792 | 5058807.055 | 100.413 | 100.500 | 0.087 |
| 135 | 7399080.571 | 5058894.184 | 87.156 | 87.170 | 0.014 | 396 | 7398165.147 | 5058807.813 | 100.382 | 100.500 | 0.118 |
| 136 | 7399200.462 | 5058958.395 | 87.085 | 87.130 | 0.045 | 397 | 7398197.378 | 5058798.686 | 100.788 | 100.970 | 0.182 |
| 137 | 7399314.742 | 5058885.062 | 87.023 | 86.790 | -0.233 | 398 | 7398197.006 | 5058800.672 | 100.829 | 100.990 | 0.161 |
| 138 | 7399275.097 | 5059312.302 | 86.859 | 86.930 | 0.071 | 399 | 7398198.014 | 5058799.393 | 100.797 | 100.950 | 0.153 |
| 139 | 7399267.106 | 5059102.200 | 86.776 | 86.720 | -0.056 | 400 | 7398290.159 | 5058879.444 | 101.788 | 101.910 | 0.122 |
| 140 | 7399378.069 | 5059371.623 | 87.281 | 87.350 | 0.069 | 401 | 7398291.137 | 5058878.154 | 101.818 | 101.900 | 0.082 |
| 141 | 7399292.554 | 5059152.100 | 87.190 | 87.360 | 0.170 | 402 | 7398291.951 | 5058877.029 | 101.799 | 101.880 | 0.081 |
| 142 | 7399292.808 | 5059150.503 | 87.167 | 87.320 | 0.153 | 403 | 7398246.747 | 5058845.522 | 102.323 | 102.430 | 0.107 |
| 143 | 7399228.693 | 5059115.793 | 87.200 | 87.350 | 0.150 | 404 | 7398247.765 | 5058844.414 | 102.363 | 102.490 | 0.127 |
| 144 | 7399078.694 | 5058894.985 | 87.185 | 87.170 | -0.015 | 405 | 7398248.730 | 5058843.239 | 102.343 | 102.490 | 0.147 |
| 145 | 7399337.961 | 5058915.116 | 87.182 | 87.170 | -0.012 | 406 | 7398053.429 | 5058953.850 | 101.219 | 101.330 | 0.111 |
| 146 | 7399133.384 | 5058784.742 | 87.207 | 87.230 | 0.023 | 407 | 7398052.252 | 5058952.842 | 101.218 | 101.340 | 0.122 |
| 147 | 7399132.724 | 5058785.899 | 87.187 | 87.240 | 0.053 | 408 | 7398260.740 | 5058246.393 | 98.484 | 98.620 | 0.136 |
| 148 | 7399398.230 | 5059208.630 | 87.693 | 87.730 | 0.037 | 409 | 7398275.260 | 5058257.131 | 98.035 | 98.140 | 0.105 |
| 149 | 7399397.677 | 5059210.050 | 87.746 | 87.790 | 0.044 | 410 | 7398274.466 | 5058260.359 | 98.063 | 98.220 | 0.157 |
| 150 | 7399327.853 | 5058469.886 | 87.670 | 87.340 | -0.330 | 411 | 7398296.684 | 5058278.006 | 97.663 | 97.880 | 0.217 |
| 151 | 7399328.784 | 5058468.633 | 87.630 | 87.330 | -0.300 | 412 | 7398295.557 | 5058279.056 | 97.719 | 97.890 | 0.171 |
| 152 | 7399397.011 | 5059211.327 | 88.049 | 87.790 | -0.259 | 413 | 7398327.945 | 5058364.662 | 95.190 | 95.270 | 0.080 |
| 153 | 7398878.678 | 5058643.931 | 88.652 | 88.810 | 0.158 | 414 | 7398337.989 | 5058326.948 | 96.047 | 96.150 | 0.103 |
| 154 | 7398878.036 | 5058645.340 | 88.680 | 88.750 | 0.070 | 415 | 7398336.817 | 5058327.990 | 95.980 | 96.010 | 0.030 |
| 155 | 7398816.157 | 5058611.219 | 89.483 | 89.600 | 0.117 | 416 | 7398402.092 | 5058405.200 | 94.589 | 94.740 | 0.151 |
| 156 | 7398816.602 | 5058609.906 | 89.465 | 89.540 | 0.075 | 417 | 7398399.178 | 5058406.624 | 94.655 | 94.800 | 0.145 |
| 157 | 7399614.528 | 5057928.265 | 87.031 | 87.270 | 0.239 | 418 | 7398368.745 | 5058365.375 | 95.219 | 95.370 | 0.151 |
| 158 | 7399612.805 | 5057926.002 | 87.071 | 87.280 | 0.209 | 419 | 7398367.639 | 5058366.478 | 95.192 | 95.380 | 0.188 |
| 159 | 7399560.684 | 5057975.399 | 86.790 | 87.080 | 0.290 | 420 | 7398405.065 | 5058469.689 | 93.961 | 94.000 | 0.039 |
| 160 | 7399524.160 | 5058021.244 | 86.864 | 86.940 | 0.076 | 421 | 7398403.821 | 5058468.936 | 94.022 | 94.010 | -0.012 |
| 161 | 7399521.897 | 5058019.572 | 86.809 | 86.930 | 0.121 | 422 | 7398305.165 | 5058617.750 | 94.873 | 94.810 | -0.063 |
| 162 | 7399009.854 | 5058856.629 | 87.482 | 87.380 | -0.102 | 423 | 7398304.055 | 5058616.836 | 94.859 | 94.860 | 0.001 |
| 163 | 7399009.063 | 5058858.047 | 87.528 | 87.340 | -0.188 | 424 | 7399233.795 | 5057941.702 | 97.592 | 97.710 | 0.118 |
| 164 | 7398756.129 | 5058862.733 | 87.920 | 87.840 | -0.080 | 425 | 7399252.801 | 5057903.807 | 96.622 | 96.670 | 0.048 |
| 165 | 7398756.849 | 5058861.313 | 87.838 | 87.860 | 0.022 | 426 | 7398972.418 | 5057841.219 | 95.405 | 95.560 | 0.155 |
| 166 | 7398692.574 | 5058825.307 | 88.580 | 88.600 | 0.020 | 427 | 7398973.543 | 5057839.783 | 95.363 | 95.490 | 0.127 |
| 167 | 7398691.663 | 5058826.676 | 88.568 | 88.700 | 0.132 | 428 | 7399026.329 | 5057822.431 | 95.512 | 95.570 | 0.058 |
| 168 | 7398558.776 | 5058751.701 | 90.303 | 90.370 | 0.067 | 429 | 7399024.079 | 5057820.352 | 95.485 | 95.530 | 0.045 |

| | | | | | | | | | | | |
|-----|-------------|-------------|---------|---------|--------|-----|-------------|-------------|---------|---------|--------|
| 169 | 7398559.327 | 5058750.701 | 90.223 | 90.320 | 0.097 | 430 | 7399009.459 | 5057839.577 | 95.334 | 95.370 | 0.036 |
| 170 | 7398520.391 | 5058699.202 | 90.717 | 90.750 | 0.033 | 431 | 7399013.153 | 5057841.363 | 95.392 | 95.410 | 0.018 |
| 171 | 7398555.245 | 5058638.894 | 90.474 | 90.460 | -0.014 | 432 | 7399011.737 | 5057840.481 | 95.404 | 95.400 | -0.004 |
| 172 | 7398778.520 | 5058763.348 | 88.205 | 88.260 | 0.055 | 433 | 7398949.928 | 5057827.346 | 95.414 | 95.440 | 0.026 |
| 173 | 7398777.275 | 5058762.696 | 88.204 | 88.280 | 0.076 | 434 | 7398950.807 | 5057826.314 | 95.392 | 95.460 | 0.068 |
| 174 | 7398776.167 | 5058761.969 | 88.207 | 88.310 | 0.103 | 435 | 7398905.378 | 5057819.516 | 95.403 | 95.450 | 0.047 |
| 175 | 7398743.670 | 5058820.026 | 88.156 | 88.160 | 0.004 | 436 | 7398904.429 | 5057818.529 | 95.433 | 95.450 | 0.017 |
| 176 | 7398816.889 | 5058751.908 | 87.761 | 87.750 | -0.011 | 437 | 7398802.792 | 5057850.320 | 97.250 | 97.260 | 0.010 |
| 177 | 7398817.515 | 5058750.520 | 87.716 | 87.830 | 0.114 | 438 | 7398800.876 | 5057852.640 | 97.282 | 97.340 | 0.058 |
| 178 | 7398758.308 | 5058717.355 | 88.961 | 89.090 | 0.129 | 439 | 7398804.704 | 5057819.677 | 98.385 | 98.480 | 0.095 |
| 179 | 7398757.518 | 5058718.769 | 89.058 | 89.000 | -0.058 | 440 | 7398805.658 | 5057820.196 | 98.356 | 98.500 | 0.144 |
| 180 | 7398756.779 | 5058720.162 | 89.060 | 89.240 | 0.180 | 441 | 7398096.047 | 5058711.141 | 101.373 | 101.510 | 0.137 |
| 181 | 7398589.473 | 5058625.147 | 90.358 | 90.210 | -0.148 | 442 | 7398097.014 | 5058709.979 | 101.355 | 101.420 | 0.065 |
| 182 | 7398589.309 | 5058626.707 | 90.381 | 90.400 | 0.019 | 443 | 7398097.835 | 5058708.951 | 101.325 | 101.450 | 0.125 |
| 183 | 7398556.625 | 5058604.674 | 90.619 | 90.580 | -0.039 | 444 | 7398077.073 | 5058689.704 | 101.492 | 101.630 | 0.138 |
| 184 | 7398555.920 | 5058605.567 | 90.646 | 90.510 | -0.136 | 445 | 7398076.030 | 5058690.689 | 101.527 | 101.610 | 0.083 |
| 185 | 7398445.178 | 5058480.200 | 93.229 | 93.140 | -0.089 | 446 | 7398156.983 | 5058615.323 | 100.005 | 100.190 | 0.185 |
| 186 | 7398433.575 | 5058428.455 | 94.742 | 94.780 | 0.038 | 447 | 7398108.912 | 5058675.120 | 101.363 | 101.510 | 0.147 |
| 187 | 7398432.385 | 5058427.563 | 94.788 | 94.760 | -0.028 | 448 | 7398109.958 | 5058675.877 | 101.362 | 101.470 | 0.108 |
| 188 | 7398431.539 | 5058426.596 | 94.825 | 94.800 | -0.025 | 449 | 7398154.794 | 5058613.401 | 100.010 | 100.160 | 0.150 |
| 189 | 7398944.573 | 5058967.103 | 87.195 | 87.220 | 0.025 | 450 | 7398156.177 | 5058614.023 | 100.002 | 100.200 | 0.198 |
| 190 | 7398872.667 | 5059073.264 | 86.925 | 86.830 | -0.095 | 451 | 7398181.458 | 5058576.234 | 98.611 | 98.630 | 0.019 |
| 191 | 7398691.218 | 5058974.054 | 89.034 | 89.130 | 0.096 | 452 | 7398250.456 | 5058266.756 | 98.019 | 98.210 | 0.191 |
| 192 | 7398690.638 | 5058975.037 | 89.068 | 89.060 | -0.008 | 453 | 7398249.218 | 5058265.798 | 98.056 | 98.190 | 0.134 |
| 193 | 7398465.106 | 5058851.423 | 94.370 | 94.360 | -0.010 | 454 | 7398140.067 | 5058421.012 | 98.760 | 98.960 | 0.200 |
| 194 | 7398465.653 | 5058850.436 | 94.284 | 94.320 | 0.036 | 455 | 7398138.922 | 5058420.289 | 98.764 | 98.980 | 0.216 |
| 195 | 7398493.414 | 5058747.130 | 91.447 | 91.490 | 0.043 | 456 | 7398137.519 | 5058419.376 | 98.772 | 99.000 | 0.228 |
| 196 | 7398457.165 | 5058811.015 | 94.097 | 94.260 | 0.163 | 457 | 7398163.815 | 5058384.990 | 98.123 | 98.360 | 0.237 |
| 197 | 7398458.085 | 5058811.767 | 94.081 | 94.310 | 0.229 | 458 | 7398066.211 | 5058489.576 | 99.927 | 100.030 | 0.103 |
| 198 | 7398428.929 | 5058852.793 | 97.174 | 97.140 | -0.034 | 459 | 7398077.978 | 5058508.653 | 99.499 | 99.660 | 0.161 |
| 199 | 7398427.211 | 5058850.658 | 97.182 | 97.130 | -0.052 | 460 | 7398093.871 | 5058490.027 | 99.261 | 99.440 | 0.179 |
| 200 | 7398334.269 | 5058908.521 | 101.701 | 101.800 | 0.099 | 461 | 7398092.752 | 5058489.380 | 99.311 | 99.370 | 0.059 |
| 201 | 7398346.650 | 5058934.646 | 101.644 | 101.670 | 0.026 | 462 | 7398091.457 | 5058488.516 | 99.269 | 99.400 | 0.131 |
| 202 | 7398384.942 | 5058970.008 | 100.553 | 100.560 | 0.007 | 463 | 7398018.127 | 5058636.034 | 101.200 | 101.460 | 0.260 |
| 203 | 7398384.317 | 5058971.078 | 100.561 | 100.570 | 0.009 | 464 | 7398013.081 | 5058608.217 | 101.308 | 101.410 | 0.102 |
| 204 | 7398353.981 | 5058948.171 | 101.393 | 101.410 | 0.017 | 465 | 7398424.302 | 5058060.625 | 97.575 | 97.650 | 0.075 |
| 205 | 7398595.787 | 5059059.135 | 93.388 | 93.450 | 0.062 | 466 | 7398422.119 | 5058058.527 | 97.629 | 97.710 | 0.081 |
| 206 | 7398596.968 | 5059059.774 | 93.394 | 93.430 | 0.036 | 467 | 7398423.123 | 5058059.496 | 97.631 | 97.710 | 0.079 |
| 207 | 7398598.141 | 5059060.429 | 93.431 | 93.460 | 0.029 | 468 | 7398455.548 | 5058009.850 | 97.732 | 97.770 | 0.038 |
| 208 | 7398676.011 | 5058924.927 | 90.248 | 90.390 | 0.142 | 469 | 7398454.103 | 5058008.938 | 97.713 | 97.810 | 0.097 |
| 209 | 7398677.147 | 5058925.532 | 90.284 | 90.300 | 0.016 | 470 | 7398552.133 | 5057967.060 | 99.185 | 99.260 | 0.075 |
| 210 | 7398678.368 | 5058925.880 | 90.253 | 90.270 | 0.017 | 471 | 7398587.539 | 5057968.499 | 98.743 | 98.740 | -0.003 |
| 211 | 7398625.447 | 5058938.678 | 90.683 | 90.690 | 0.007 | 472 | 7398588.205 | 5057967.072 | 98.742 | 98.660 | -0.082 |
| 212 | 7398625.799 | 5058936.978 | 90.599 | 90.760 | 0.161 | 473 | 7398666.787 | 5058023.722 | 98.749 | 98.820 | 0.071 |
| 213 | 7398645.884 | 5058978.624 | 90.661 | 90.880 | 0.219 | 474 | 7398667.818 | 5058022.953 | 99.055 | 98.820 | -0.235 |
| 214 | 7398644.731 | 5058977.817 | 90.759 | 90.890 | 0.131 | 475 | 7398756.006 | 5057820.485 | 98.612 | 98.600 | -0.012 |
| 215 | 7398643.772 | 5058976.863 | 90.725 | 90.930 | 0.205 | 476 | 7398757.269 | 5057819.753 | 98.623 | 98.420 | -0.203 |
| 216 | 7398617.824 | 5059102.671 | 91.227 | 91.290 | 0.063 | 477 | 7398686.578 | 5057768.487 | 98.971 | 98.990 | 0.019 |
| 217 | 7398556.576 | 5059069.354 | 94.575 | 94.690 | 0.115 | 478 | 7398685.649 | 5057769.669 | 98.975 | 99.020 | 0.045 |
| 218 | 7398557.122 | 5059068.622 | 94.597 | 94.690 | 0.093 | 479 | 7398622.851 | 5057723.726 | 98.416 | 98.500 | 0.084 |
| 219 | 7398557.818 | 5059067.061 | 94.453 | 94.710 | 0.257 | 480 | 7398622.146 | 5057724.899 | 98.420 | 98.440 | 0.020 |
| 220 | 7398367.492 | 5058908.911 | 102.341 | 102.180 | -0.161 | 481 | 7398858.932 | 5057892.507 | 96.129 | 96.160 | 0.031 |

| | | | | | | | | | | | |
|-----|-------------|-------------|---------|---------|--------|-----|-------------|-------------|--------|--------|--------|
| 221 | 7398366.339 | 5058907.636 | 102.269 | 102.230 | -0.039 | 482 | 7398837.970 | 5059394.540 | 86.960 | 87.040 | 0.080 |
| 222 | 7398972.023 | 5058551.501 | 88.709 | 88.850 | 0.141 | 483 | 7398843.810 | 5059388.510 | 86.930 | 86.860 | -0.070 |
| 223 | 7398971.407 | 5058552.883 | 88.713 | 88.890 | 0.177 | 484 | 7398844.250 | 5059257.440 | 86.990 | 87.060 | 0.070 |
| 224 | 7399100.955 | 5058624.624 | 87.719 | 87.880 | 0.161 | 485 | 7398910.300 | 5059114.090 | 87.010 | 86.990 | -0.020 |
| 225 | 7399101.498 | 5058623.807 | 87.733 | 87.890 | 0.157 | 486 | 7398904.850 | 5059110.470 | 87.040 | 87.020 | -0.020 |
| 226 | 7399102.041 | 5058622.745 | 87.741 | 87.860 | 0.119 | 487 | 7398936.210 | 5059052.850 | 87.030 | 87.070 | 0.040 |
| 227 | 7399192.084 | 5058534.530 | 88.056 | 88.130 | 0.074 | 488 | 7398940.900 | 5059057.410 | 87.020 | 87.030 | 0.010 |
| 228 | 7399192.719 | 5058533.360 | 88.060 | 88.110 | 0.050 | 489 | 7398988.380 | 5058972.960 | 87.030 | 87.190 | 0.160 |
| 229 | 7399193.546 | 5058531.939 | 88.035 | 88.100 | 0.065 | 490 | 7398982.930 | 5058969.820 | 87.070 | 87.220 | 0.150 |
| 230 | 7399029.663 | 5058442.292 | 89.882 | 90.130 | 0.248 | 491 | 7399057.700 | 5058837.170 | 87.370 | 87.410 | 0.040 |
| 231 | 7399028.988 | 5058443.519 | 90.000 | 90.160 | 0.160 | 492 | 7399064.480 | 5058837.790 | 87.390 | 87.460 | 0.070 |
| 232 | 7398962.924 | 5058443.296 | 91.384 | 91.520 | 0.136 | 493 | 7399112.670 | 5058752.810 | 87.610 | 87.600 | -0.010 |
| 233 | 7398964.339 | 5058443.772 | 91.448 | 91.630 | 0.182 | 494 | 7399232.810 | 5058525.920 | 87.760 | 87.730 | -0.030 |
| 234 | 7398941.554 | 5058478.250 | 90.573 | 90.540 | -0.033 | 495 | 7399235.570 | 5058533.910 | 87.770 | 87.690 | -0.080 |
| 235 | 7398942.406 | 5058478.984 | 90.559 | 90.590 | 0.031 | 496 | 7399280.920 | 5058453.280 | 87.520 | 87.460 | -0.060 |
| 236 | 7398944.327 | 5058401.359 | 93.807 | 93.870 | 0.063 | 497 | 7399275.800 | 5058449.860 | 87.500 | 87.470 | -0.030 |
| 237 | 7398945.097 | 5058399.797 | 93.735 | 93.810 | 0.075 | 498 | 7399406.740 | 5058217.490 | 86.980 | 86.980 | 0.000 |
| 238 | 7398641.184 | 5058184.233 | 99.108 | 99.190 | 0.082 | 499 | 7399393.690 | 5058253.600 | 87.010 | 86.900 | -0.110 |
| 239 | 7398640.365 | 5058185.162 | 99.125 | 99.200 | 0.075 | 500 | 7399412.140 | 5058220.770 | 86.970 | 86.940 | -0.030 |
| 240 | 7398639.570 | 5058186.280 | 99.131 | 99.240 | 0.109 | 501 | 7399472.520 | 5058113.480 | 86.840 | 86.830 | -0.010 |
| 241 | 7398606.511 | 5058198.988 | 98.887 | 98.760 | -0.127 | 502 | 7399469.170 | 5058106.870 | 86.780 | 86.820 | 0.040 |
| 242 | 7398544.243 | 5058291.412 | 99.416 | 99.440 | 0.024 | 503 | 7399500.890 | 5058063.380 | 86.740 | 86.800 | 0.060 |
| 243 | 7398542.814 | 5058290.716 | 99.473 | 99.450 | -0.023 | 504 | 7399495.920 | 5058059.600 | 86.710 | 86.750 | 0.040 |
| 244 | 7398542.937 | 5058333.748 | 99.665 | 99.740 | 0.075 | 505 | 7399250.257 | 5057842.251 | 96.600 | 96.690 | 0.090 |
| 245 | 7398542.178 | 5058334.936 | 99.758 | 99.780 | 0.022 | 506 | 7399250.552 | 5057840.321 | 96.592 | 96.660 | 0.068 |
| 246 | 7398541.384 | 5058336.120 | 99.693 | 99.760 | 0.067 | 507 | 7399275.249 | 5057831.410 | 95.277 | 95.330 | 0.053 |
| 247 | 7399673.599 | 5058170.946 | 85.508 | 85.530 | 0.022 | 508 | 7399276.852 | 5057831.450 | 95.302 | 95.350 | 0.048 |
| 248 | 7399715.428 | 5058015.344 | 86.729 | 86.700 | -0.029 | 509 | 7399054.497 | 5057739.533 | 98.029 | 98.030 | 0.001 |
| 249 | 7399716.025 | 5058016.705 | 86.679 | 86.650 | -0.029 | 510 | 7399089.781 | 5057726.135 | 97.320 | 97.360 | 0.040 |
| 250 | 7399740.778 | 5058013.352 | 86.128 | 86.090 | -0.038 | 511 | 7399088.983 | 5057727.231 | 97.351 | 97.350 | -0.001 |
| 251 | 7399739.934 | 5058014.680 | 86.157 | 86.150 | -0.007 | 512 | 7399041.722 | 5057781.186 | 96.242 | 96.280 | 0.038 |
| 252 | 7399739.332 | 5058016.046 | 86.114 | 86.080 | -0.034 | 513 | 7399043.210 | 5057781.730 | 96.228 | 96.360 | 0.132 |
| 253 | 7399771.795 | 5058058.563 | 86.299 | 86.250 | -0.049 | 514 | 7399026.015 | 5057822.963 | 95.525 | 95.580 | 0.055 |
| 254 | 7399761.649 | 5058023.065 | 86.340 | 86.240 | -0.100 | 515 | 7399074.972 | 5057815.498 | 95.866 | 95.900 | 0.034 |
| 255 | 7399760.967 | 5058024.428 | 86.355 | 86.270 | -0.085 | 516 | 7399075.770 | 5057814.522 | 95.851 | 95.920 | 0.069 |
| 256 | 7399803.060 | 5058043.683 | 86.855 | 86.920 | 0.065 | 517 | 7399221.648 | 5057912.148 | 97.773 | 97.890 | 0.117 |
| 257 | 7399802.499 | 5058045.075 | 86.829 | 86.730 | -0.099 | 518 | 7399220.745 | 5057913.241 | 97.811 | 97.950 | 0.139 |
| 258 | 7399771.920 | 5058058.317 | 86.280 | 86.250 | -0.030 | 519 | 7399177.139 | 5057885.565 | 98.384 | 98.440 | 0.056 |
| 259 | 7399773.312 | 5058058.332 | 86.347 | 86.300 | -0.047 | 520 | 7399177.666 | 5057884.439 | 98.366 | 98.410 | 0.044 |
| 260 | 7399774.280 | 5058058.407 | 86.343 | 86.300 | -0.043 | 521 | 7399178.441 | 5057883.413 | 98.346 | 98.420 | 0.074 |
| 261 | 7400130.800 | 5058194.088 | 92.428 | 92.300 | -0.128 | | | | | | |

TABELA 10.3: Očitane Z vrednosti koordinata kontrolnih tačaka i kontrolnih profila izabranih za kalibraciju na UAVMo modelu

| Br.T. | Yt | Xt | Zt | ZMo | dZ | Br.T. | Yt | Xt | Zt | ZMo | dZ |
|-------|-------------|-------------|--------|--------|--------|-------|-------------|-------------|--------|--------|--------|
| 1 | 7399909.456 | 5058522.206 | 99.579 | 99.530 | -0.049 | 134 | 7398964.339 | 5058443.772 | 91.448 | 91.370 | -0.078 |
| 2 | 7399910.915 | 5058523.415 | 99.599 | 99.520 | -0.079 | 135 | 7398941.554 | 5058478.250 | 90.573 | 90.390 | -0.183 |
| 3 | 7399882.960 | 5058559.798 | 99.444 | 99.360 | -0.084 | 136 | 7398942.406 | 5058478.984 | 90.559 | 90.420 | -0.139 |
| 4 | 7399854.903 | 5058598.531 | 99.530 | 99.390 | -0.140 | 137 | 7398944.327 | 5058401.359 | 93.807 | 93.730 | -0.077 |
| 5 | 7399823.396 | 5058639.495 | 99.927 | 99.820 | -0.107 | 138 | 7398945.097 | 5058399.797 | 93.735 | 93.720 | -0.015 |
| 6 | 7399822.063 | 5058638.551 | 99.909 | 99.770 | -0.139 | 139 | 7398544.243 | 5058291.412 | 99.416 | 99.400 | -0.016 |

| | | | | | | | | | | | |
|----|-------------|-------------|--------|--------|--------|-----|-------------|-------------|--------|--------|--------|
| 7 | 7399820.925 | 5058637.749 | 99.883 | 99.770 | -0.113 | 140 | 7398542.814 | 5058290.716 | 99.473 | 99.370 | -0.103 |
| 8 | 7399706.897 | 5058764.556 | 96.942 | 96.880 | -0.062 | 141 | 7398542.937 | 5058333.748 | 99.665 | 99.640 | -0.025 |
| 9 | 7399705.321 | 5058767.777 | 97.035 | 97.010 | -0.025 | 142 | 7398542.178 | 5058334.936 | 99.758 | 99.670 | -0.088 |
| 10 | 7399706.159 | 5058791.949 | 98.437 | 98.310 | -0.127 | 143 | 7398541.384 | 5058336.120 | 99.693 | 99.680 | -0.013 |
| 11 | 7399704.711 | 5058791.093 | 98.385 | 98.280 | -0.105 | 144 | 7399715.428 | 5058015.344 | 86.729 | 86.580 | -0.149 |
| 12 | 7399646.702 | 5058867.742 | 98.111 | 98.060 | -0.051 | 145 | 7399716.025 | 5058016.705 | 86.679 | 86.540 | -0.139 |
| 13 | 7399647.921 | 5058868.456 | 98.137 | 98.060 | -0.077 | 146 | 7399740.778 | 5058013.352 | 86.128 | 86.040 | -0.088 |
| 14 | 7399649.194 | 5058869.416 | 98.113 | 98.070 | -0.043 | 147 | 7399739.934 | 5058014.680 | 86.157 | 86.030 | -0.127 |
| 15 | 7399684.781 | 5058910.300 | 98.551 | 98.490 | -0.061 | 148 | 7399739.332 | 5058016.046 | 86.114 | 86.020 | -0.094 |
| 16 | 7399683.997 | 5058911.572 | 98.544 | 98.470 | -0.074 | 149 | 7399761.649 | 5058023.065 | 86.340 | 86.150 | -0.190 |
| 17 | 7399619.652 | 5058905.463 | 97.982 | 97.880 | -0.102 | 150 | 7399760.967 | 5058024.428 | 86.355 | 86.180 | -0.175 |
| 18 | 7399620.956 | 5058906.242 | 97.981 | 97.890 | -0.091 | 151 | 7399803.060 | 5058043.683 | 86.855 | 86.690 | -0.165 |
| 19 | 7399592.656 | 5058943.823 | 98.260 | 98.150 | -0.110 | 152 | 7399802.499 | 5058045.075 | 86.829 | 86.670 | -0.159 |
| 20 | 7399594.035 | 5058944.708 | 98.283 | 98.150 | -0.133 | 153 | 7400130.800 | 5058194.088 | 92.428 | 92.290 | -0.138 |
| 21 | 7399578.031 | 5058982.019 | 99.433 | 99.360 | -0.073 | 154 | 7400131.413 | 5058192.704 | 92.405 | 92.290 | -0.115 |
| 22 | 7399579.344 | 5058982.047 | 99.425 | 99.350 | -0.075 | 155 | 7400179.450 | 5058217.038 | 93.890 | 93.900 | 0.010 |
| 23 | 7399569.240 | 5058968.471 | 98.985 | 98.880 | -0.105 | 156 | 7400296.690 | 5058284.699 | 99.142 | 99.100 | -0.042 |
| 24 | 7399570.012 | 5058969.724 | 99.051 | 98.910 | -0.141 | 157 | 7400295.964 | 5058285.868 | 99.183 | 99.150 | -0.033 |
| 25 | 7399570.744 | 5058971.020 | 99.071 | 98.950 | -0.121 | 158 | 7400338.368 | 5058307.904 | 99.459 | 99.410 | -0.049 |
| 26 | 7399073.870 | 5058752.603 | 87.696 | 87.680 | -0.016 | 159 | 7400337.554 | 5058309.124 | 99.516 | 99.470 | -0.046 |
| 27 | 7398816.344 | 5058697.263 | 88.312 | 88.260 | -0.052 | 160 | 7400029.689 | 5058360.966 | 99.094 | 99.000 | -0.094 |
| 28 | 7398815.163 | 5058696.512 | 88.334 | 88.260 | -0.074 | 161 | 7400062.435 | 5058323.017 | 98.142 | 98.170 | 0.028 |
| 29 | 7398866.460 | 5058609.206 | 89.144 | 89.280 | 0.136 | 162 | 7400060.933 | 5058322.181 | 98.168 | 98.160 | -0.008 |
| 30 | 7398864.919 | 5058608.558 | 89.143 | 89.250 | 0.107 | 163 | 7400059.771 | 5058321.448 | 98.162 | 98.170 | 0.008 |
| 31 | 7398900.917 | 5058548.441 | 89.635 | 89.610 | -0.025 | 164 | 7400032.681 | 5058361.959 | 99.102 | 99.030 | -0.072 |
| 32 | 7398899.491 | 5058547.696 | 89.670 | 89.630 | -0.040 | 165 | 7400030.203 | 5058360.255 | 99.100 | 99.000 | -0.100 |
| 33 | 7399440.975 | 5059369.210 | 88.272 | 88.260 | -0.012 | 166 | 7399736.218 | 5058749.878 | 98.917 | 98.810 | -0.107 |
| 34 | 7399440.718 | 5059367.707 | 88.261 | 88.260 | -0.001 | 167 | 7399201.027 | 5058677.349 | 87.564 | 87.420 | -0.144 |
| 35 | 7399458.104 | 5059391.358 | 88.945 | 88.960 | 0.015 | 168 | 7399199.507 | 5058680.159 | 87.574 | 87.460 | -0.114 |
| 36 | 7399476.518 | 5059372.250 | 89.884 | 89.890 | 0.006 | 169 | 7399371.955 | 5058776.209 | 87.437 | 87.320 | -0.117 |
| 37 | 7399444.018 | 5059343.738 | 88.847 | 88.790 | -0.057 | 170 | 7399399.982 | 5058767.435 | 87.453 | 87.410 | -0.043 |
| 38 | 7399445.538 | 5059343.397 | 88.860 | 88.810 | -0.050 | 171 | 7399398.683 | 5058766.809 | 87.469 | 87.390 | -0.079 |
| 39 | 7399424.025 | 5059247.872 | 88.092 | 88.110 | 0.018 | 172 | 7399397.127 | 5058766.172 | 87.410 | 87.410 | 0.000 |
| 40 | 7399425.303 | 5059247.564 | 88.161 | 88.120 | -0.041 | 173 | 7399253.677 | 5058566.808 | 87.695 | 87.600 | -0.095 |
| 41 | 7399396.510 | 5059211.142 | 87.747 | 87.790 | 0.043 | 174 | 7399254.488 | 5058565.495 | 87.651 | 87.580 | -0.071 |
| 42 | 7399432.753 | 5059211.856 | 88.346 | 88.320 | -0.026 | 175 | 7399345.050 | 5058400.715 | 86.799 | 86.760 | -0.039 |
| 43 | 7399431.277 | 5059211.632 | 88.308 | 88.250 | -0.058 | 176 | 7399441.011 | 5058251.414 | 86.590 | 86.520 | -0.070 |
| 44 | 7399429.822 | 5059211.259 | 88.230 | 88.210 | -0.020 | 177 | 7399440.649 | 5058252.569 | 86.541 | 86.480 | -0.061 |
| 45 | 7399428.312 | 5059247.091 | 88.204 | 88.160 | -0.044 | 178 | 7399357.756 | 5058204.950 | 87.055 | 87.040 | -0.015 |
| 46 | 7399426.550 | 5059247.354 | 88.205 | 88.130 | -0.075 | 179 | 7399356.954 | 5058206.469 | 87.070 | 87.090 | 0.020 |
| 47 | 7399450.702 | 5059118.996 | 91.836 | 91.720 | -0.116 | 180 | 7399151.683 | 5058101.074 | 97.764 | 97.670 | -0.094 |
| 48 | 7399452.429 | 5059119.500 | 91.860 | 91.800 | -0.060 | 181 | 7399152.745 | 5058101.809 | 97.792 | 97.690 | -0.102 |
| 49 | 7399462.406 | 5059098.158 | 93.082 | 93.020 | -0.062 | 182 | 7399075.672 | 5058227.377 | 97.023 | 96.980 | -0.043 |
| 50 | 7399459.895 | 5059096.368 | 92.990 | 92.960 | -0.030 | 183 | 7399076.946 | 5058228.644 | 97.014 | 96.980 | -0.034 |
| 51 | 7399461.189 | 5059097.131 | 93.068 | 93.010 | -0.058 | 184 | 7399055.011 | 5058260.855 | 96.400 | 96.340 | -0.060 |
| 52 | 7399508.838 | 5059023.360 | 97.741 | 97.670 | -0.071 | 185 | 7399057.174 | 5058263.127 | 96.373 | 96.320 | -0.053 |
| 53 | 7399510.103 | 5059024.336 | 97.763 | 97.710 | -0.053 | 186 | 7399041.997 | 5058288.427 | 95.647 | 95.620 | -0.027 |
| 54 | 7399526.151 | 5059004.883 | 98.916 | 98.790 | -0.126 | 187 | 7399043.365 | 5058289.184 | 95.631 | 95.650 | 0.019 |
| 55 | 7399527.268 | 5059005.971 | 98.943 | 98.830 | -0.113 | 188 | 7399023.601 | 5058324.454 | 94.617 | 94.540 | -0.077 |
| 56 | 7399509.535 | 5059006.354 | 98.498 | 98.480 | -0.018 | 189 | 7399026.255 | 5058326.026 | 94.637 | 94.590 | -0.047 |
| 57 | 7399268.145 | 5058982.998 | 85.981 | 85.880 | -0.101 | 190 | 7398994.242 | 5058391.083 | 92.701 | 92.630 | -0.071 |
| 58 | 7399321.704 | 5059046.687 | 86.251 | 86.200 | -0.051 | 191 | 7398992.816 | 5058390.435 | 92.703 | 92.610 | -0.093 |

| | | | | | | | | | | | |
|-----|-------------|-------------|--------|--------|--------|-----|-------------|-------------|--------|--------|--------|
| 59 | 7399322.603 | 5059045.517 | 86.208 | 86.120 | -0.088 | 192 | 7399032.532 | 5058329.770 | 93.304 | 93.240 | -0.064 |
| 60 | 7399311.539 | 5058971.869 | 86.196 | 86.120 | -0.076 | 193 | 7399258.047 | 5058426.793 | 87.534 | 87.560 | 0.026 |
| 61 | 7399267.832 | 5058984.503 | 86.079 | 85.970 | -0.109 | 194 | 7399256.851 | 5058429.580 | 87.473 | 87.580 | 0.107 |
| 62 | 7399310.167 | 5058971.005 | 86.135 | 86.070 | -0.065 | 195 | 7399274.318 | 5058359.872 | 87.058 | 87.180 | 0.122 |
| 63 | 7399025.090 | 5059009.998 | 86.948 | 86.780 | -0.168 | 196 | 7399272.900 | 5058360.377 | 87.087 | 87.150 | 0.063 |
| 64 | 7399022.980 | 5059010.527 | 87.034 | 86.820 | -0.214 | 197 | 7399171.554 | 5058061.678 | 97.918 | 97.860 | -0.058 |
| 65 | 7399080.571 | 5058894.184 | 87.156 | 87.160 | 0.004 | 198 | 7399167.565 | 5058059.905 | 98.136 | 98.030 | -0.106 |
| 66 | 7399200.462 | 5058958.395 | 87.085 | 86.970 | -0.115 | 199 | 7399447.891 | 5058045.829 | 87.132 | 87.180 | 0.048 |
| 67 | 7399314.742 | 5058885.062 | 87.023 | 86.880 | -0.143 | 200 | 7399447.230 | 5058047.206 | 87.109 | 87.170 | 0.061 |
| 68 | 7399078.694 | 5058894.985 | 87.185 | 87.120 | -0.065 | 201 | 7399446.567 | 5058048.466 | 87.116 | 87.200 | 0.084 |
| 69 | 7399337.961 | 5058915.116 | 87.182 | 87.100 | -0.082 | 202 | 7399481.433 | 5058005.430 | 87.536 | 87.610 | 0.074 |
| 70 | 7399133.384 | 5058784.742 | 87.207 | 87.130 | -0.077 | 203 | 7399144.970 | 5058074.554 | 98.398 | 98.450 | 0.052 |
| 71 | 7399132.724 | 5058785.899 | 87.187 | 87.130 | -0.057 | 204 | 7399145.613 | 5058073.376 | 98.448 | 98.430 | -0.018 |
| 72 | 7399327.853 | 5058469.886 | 87.670 | 87.590 | -0.080 | 205 | 7399047.709 | 5058024.003 | 97.060 | 96.990 | -0.070 |
| 73 | 7399328.784 | 5058468.633 | 87.630 | 87.560 | -0.070 | 206 | 7399046.956 | 5058025.113 | 97.152 | 97.050 | -0.102 |
| 74 | 7399397.011 | 5059211.327 | 88.049 | 87.800 | -0.249 | 207 | 7398861.679 | 5057865.084 | 95.827 | 95.830 | 0.003 |
| 75 | 7398878.678 | 5058643.931 | 88.652 | 88.520 | -0.132 | 208 | 7398860.351 | 5057862.396 | 95.876 | 95.910 | 0.034 |
| 76 | 7398878.036 | 5058645.340 | 88.680 | 88.540 | -0.140 | 209 | 7398827.036 | 5057886.572 | 96.062 | 96.150 | 0.088 |
| 77 | 7398816.157 | 5058611.219 | 89.483 | 89.400 | -0.083 | 210 | 7398825.981 | 5057885.823 | 96.132 | 96.110 | -0.022 |
| 78 | 7398816.602 | 5058609.906 | 89.465 | 89.380 | -0.085 | 211 | 7399298.780 | 5059008.238 | 86.230 | 86.090 | -0.140 |
| 79 | 7399614.528 | 5057928.265 | 87.031 | 87.030 | -0.001 | 212 | 7399297.344 | 5059008.072 | 86.242 | 86.080 | -0.162 |
| 80 | 7399612.805 | 5057926.002 | 87.071 | 87.010 | -0.061 | 213 | 7399295.899 | 5059008.018 | 86.221 | 86.070 | -0.151 |
| 81 | 7399560.684 | 5057975.399 | 86.790 | 86.900 | 0.110 | 214 | 7398116.562 | 5058035.994 | 97.573 | 97.510 | -0.063 |
| 82 | 7399524.160 | 5058021.244 | 86.864 | 86.790 | -0.074 | 215 | 7398115.874 | 5058037.035 | 97.629 | 97.550 | -0.079 |
| 83 | 7399521.897 | 5058019.572 | 86.809 | 86.800 | -0.009 | 216 | 7398115.207 | 5058038.020 | 97.636 | 97.580 | -0.056 |
| 84 | 7399009.854 | 5058856.629 | 87.482 | 87.240 | -0.242 | 217 | 7398336.662 | 5058184.587 | 97.827 | 97.830 | 0.003 |
| 85 | 7399009.063 | 5058858.047 | 87.528 | 87.260 | -0.268 | 218 | 7398339.439 | 5058191.301 | 97.827 | 97.790 | -0.037 |
| 86 | 7398756.129 | 5058862.733 | 87.920 | 87.790 | -0.130 | 219 | 7398338.888 | 5058194.600 | 97.839 | 97.760 | -0.079 |
| 87 | 7398756.849 | 5058861.313 | 87.838 | 87.770 | -0.068 | 220 | 7398181.358 | 5058083.331 | 97.802 | 97.710 | -0.092 |
| 88 | 7398692.574 | 5058825.307 | 88.580 | 88.430 | -0.150 | 221 | 7398334.472 | 5058182.133 | 97.855 | 97.830 | -0.025 |
| 89 | 7398691.663 | 5058826.676 | 88.568 | 88.440 | -0.128 | 222 | 7398180.333 | 5058084.666 | 97.885 | 97.690 | -0.195 |
| 90 | 7398558.776 | 5058751.701 | 90.303 | 90.170 | -0.133 | 223 | 7398298.041 | 5058167.353 | 98.279 | 98.220 | -0.059 |
| 91 | 7398559.327 | 5058750.701 | 90.223 | 90.120 | -0.103 | 224 | 7398297.021 | 5058168.447 | 98.301 | 98.270 | -0.031 |
| 92 | 7398520.391 | 5058699.202 | 90.717 | 90.720 | 0.003 | 225 | 7398495.266 | 5058302.430 | 99.391 | 99.330 | -0.061 |
| 93 | 7398555.245 | 5058638.894 | 90.474 | 90.380 | -0.094 | 226 | 7397970.154 | 5057934.278 | 99.905 | 99.790 | -0.115 |
| 94 | 7398778.520 | 5058763.348 | 88.205 | 87.960 | -0.245 | 227 | 7397971.084 | 5057932.841 | 99.911 | 99.800 | -0.111 |
| 95 | 7398777.275 | 5058762.696 | 88.204 | 87.960 | -0.244 | 228 | 7399233.795 | 5057941.702 | 97.592 | 97.540 | -0.052 |
| 96 | 7398776.167 | 5058761.969 | 88.207 | 87.990 | -0.217 | 229 | 7399252.801 | 5057903.807 | 96.622 | 96.550 | -0.072 |
| 97 | 7398743.670 | 5058820.026 | 88.156 | 87.960 | -0.196 | 230 | 7398802.792 | 5057850.320 | 97.250 | 97.200 | -0.050 |
| 98 | 7398816.889 | 5058751.908 | 87.761 | 87.660 | -0.101 | 231 | 7398800.876 | 5057852.640 | 97.282 | 97.240 | -0.042 |
| 99 | 7398817.515 | 5058750.520 | 87.716 | 87.650 | -0.066 | 232 | 7398756.006 | 5057820.485 | 98.612 | 98.580 | -0.032 |
| 100 | 7398758.308 | 5058717.355 | 88.961 | 88.900 | -0.061 | 233 | 7398757.269 | 5057819.753 | 98.623 | 98.560 | -0.063 |
| 101 | 7398757.518 | 5058718.769 | 89.058 | 88.990 | -0.068 | 234 | 7398686.578 | 5057768.487 | 98.971 | 98.900 | -0.071 |
| 102 | 7398756.779 | 5058720.162 | 89.060 | 89.030 | -0.030 | 235 | 7398685.649 | 5057769.669 | 98.975 | 99.020 | 0.045 |
| 103 | 7398589.473 | 5058625.147 | 90.358 | 90.220 | -0.138 | 236 | 7398622.851 | 5057723.726 | 98.416 | 98.340 | -0.076 |
| 104 | 7398589.309 | 5058626.707 | 90.381 | 90.290 | -0.091 | 237 | 7398622.146 | 5057724.899 | 98.420 | 98.380 | -0.040 |
| 105 | 7398944.573 | 5058967.103 | 87.195 | 87.160 | -0.035 | 238 | 7398858.932 | 5057892.507 | 96.129 | 96.070 | -0.059 |
| 106 | 7398872.667 | 5059073.264 | 86.925 | 86.900 | -0.025 | 239 | 7398837.970 | 5059394.540 | 86.960 | 87.000 | 0.040 |
| 107 | 7398691.218 | 5058974.054 | 89.034 | 88.950 | -0.084 | 240 | 7398843.810 | 5059388.510 | 86.930 | 86.940 | 0.010 |
| 108 | 7398690.638 | 5058975.037 | 89.068 | 88.970 | -0.098 | 241 | 7398844.250 | 5059257.440 | 86.990 | 86.920 | -0.070 |
| 109 | 7398465.106 | 5058851.423 | 94.370 | 94.260 | -0.110 | 242 | 7398910.300 | 5059114.090 | 87.010 | 86.830 | -0.180 |
| 110 | 7398465.653 | 5058850.436 | 94.284 | 94.190 | -0.094 | 243 | 7398904.850 | 5059110.470 | 87.040 | 86.850 | -0.190 |

| | | | | | | | | | | | |
|-----|-------------|-------------|--------|-------------|-------------|--------|-------------|-------------|--------|--------|--------|
| 111 | 7398428.929 | 5058852.793 | 97.174 | 97.080 | -0.094 | 244 | 7398940.900 | 5059057.410 | 87.020 | 86.890 | -0.130 |
| 112 | 7398427.211 | 5058850.658 | 97.182 | 97.090 | -0.092 | 245 | 7398988.380 | 5058972.960 | 87.030 | 86.970 | -0.060 |
| 113 | 7398595.787 | 5059059.135 | 93.388 | 93.190 | -0.198 | 246 | 7398982.930 | 5058969.820 | 87.070 | 87.020 | -0.050 |
| 114 | 7398596.968 | 5059059.774 | 93.394 | 93.220 | -0.174 | 247 | 7399057.700 | 5058837.170 | 87.370 | 87.630 | 0.260 |
| 115 | 7398598.141 | 5059060.429 | 93.431 | 93.240 | -0.191 | 248 | 7399064.480 | 5058837.790 | 87.390 | 87.630 | 0.240 |
| 116 | 7398676.011 | 5058924.927 | 90.248 | 90.090 | -0.158 | 249 | 7399112.670 | 5058752.810 | 87.610 | 87.740 | 0.130 |
| 117 | 7398677.147 | 5058925.532 | 90.284 | 90.090 | -0.194 | 250 | 7399232.810 | 5058525.920 | 87.760 | 87.690 | -0.070 |
| 118 | 7398678.368 | 5058925.880 | 90.253 | 90.070 | -0.183 | 251 | 7399235.570 | 5058533.910 | 87.770 | 87.700 | -0.070 |
| 119 | 7398625.447 | 5058938.678 | 90.683 | 90.520 | -0.163 | 252 | 7399280.920 | 5058453.280 | 87.520 | 87.490 | -0.030 |
| 120 | 7398625.799 | 5058936.978 | 90.599 | 90.540 | -0.059 | 253 | 7399275.800 | 5058449.860 | 87.500 | 87.520 | 0.020 |
| 121 | 7398645.884 | 5058978.624 | 90.661 | 90.600 | -0.061 | 254 | 7399406.740 | 5058217.490 | 86.980 | 86.970 | -0.010 |
| 122 | 7398644.731 | 5058977.817 | 90.759 | 90.640 | -0.119 | 255 | 7399393.690 | 5058253.600 | 87.010 | 86.940 | -0.070 |
| 123 | 7398643.772 | 5058976.863 | 90.725 | 90.640 | -0.085 | 256 | 7399412.140 | 5058220.770 | 86.970 | 86.930 | -0.040 |
| 125 | 7398972.023 | 5058551.501 | 88.709 | 88.620 | -0.089 | 257 | 7399472.520 | 5058113.480 | 86.840 | 86.760 | -0.080 |
| 126 | 7398971.407 | 5058552.883 | 88.713 | 88.610 | -0.103 | 258 | 7399469.170 | 5058106.870 | 86.780 | 86.760 | -0.020 |
| 127 | 7399100.955 | 5058624.624 | 87.719 | 87.650 | -0.069 | 259 | 7399500.890 | 5058063.380 | 86.740 | 86.630 | -0.110 |
| 128 | 7399101.498 | 5058623.807 | 87.733 | 87.660 | -0.073 | 260 | 7399495.920 | 5058059.600 | 86.710 | 86.680 | -0.030 |
| 129 | 7399102.041 | 5058622.745 | 87.741 | 87.680 | -0.061 | 261 | 7399250.257 | 5057842.251 | 96.600 | 96.570 | -0.030 |
| 130 | 7399192.084 | 5058534.530 | 88.056 | 88.080 | 0.024 | 262 | 7399250.552 | 5057840.321 | 96.592 | 96.560 | -0.032 |
| 131 | 7399192.719 | 5058533.360 | 88.060 | 88.090 | 0.030 | 263 | 7399275.249 | 5057831.410 | 95.277 | 95.230 | -0.047 |
| 132 | 7399193.546 | 5058531.939 | 88.035 | 88.060 | 0.025 | 264 | 7399276.852 | 5057831.450 | 95.302 | 95.240 | -0.062 |
| 133 | 7398962.924 | 5058443.296 | 91.384 | 91.300 | -0.084 | 265 | 7399221.648 | 5057912.148 | 97.773 | 97.730 | -0.043 |
| | | | 266 | 7399220.745 | 5057913.241 | 97.811 | 97.740 | | -0.071 | | |

TABELA 10.4: Očitane Z vrednosti koordinata kontrolnih tačaka i kontrolnih profila izabranih za kalibraciju na LiDARMo modelu

| Br.T. | Yt | Xt | Zt | ZMmCP | dZ | Br.T. | Yt | Xt | Zt | ZMmCP | dZ |
|-------|-------------|-------------|--------|--------|--------|-------|-------------|-------------|---------|---------|--------|
| 1 | 7398825.640 | 5059343.760 | 86.710 | 86.710 | 0.000 | 79 | 7398708.830 | 5058052.920 | 98.720 | 98.720 | 0.000 |
| 2 | 7398843.460 | 5059228.410 | 87.264 | 87.260 | -0.004 | 80 | 7398731.820 | 5058022.230 | 98.410 | 98.410 | 0.000 |
| 6 | 7399095.220 | 5058767.350 | 87.559 | 87.560 | 0.001 | 81 | 7398797.940 | 5057846.680 | 97.534 | 97.530 | -0.004 |
| 7 | 7399160.430 | 5058652.980 | 87.653 | 87.650 | -0.003 | 84 | 7398998.650 | 5057859.250 | 95.431 | 95.430 | -0.001 |
| 8 | 7399220.510 | 5058545.440 | 87.690 | 87.690 | 0.000 | 85 | 7399038.820 | 5057793.240 | 95.758 | 95.760 | 0.002 |
| 9 | 7399280.340 | 5058438.450 | 87.479 | 87.480 | 0.001 | 86 | 7399067.890 | 5057714.650 | 98.060 | 98.060 | 0.000 |
| 10 | 7399310.170 | 5058383.870 | 87.113 | 87.110 | -0.003 | 89 | 7398701.550 | 5057475.430 | 98.530 | 98.530 | 0.000 |
| 11 | 7399400.900 | 5058226.000 | 87.020 | 87.020 | 0.000 | 91 | 7398929.320 | 5059264.920 | 86.280 | 86.280 | 0.000 |
| 12 | 7399495.070 | 5058076.460 | 86.704 | 86.700 | -0.004 | 92 | 7399124.110 | 5059366.800 | 87.250 | 87.250 | 0.000 |
| 13 | 7399582.380 | 5057949.040 | 87.048 | 87.050 | 0.002 | 93 | 7399124.410 | 5059226.430 | 86.380 | 86.380 | 0.000 |
| 14 | 7399792.720 | 5057805.490 | 87.417 | 87.420 | 0.003 | 94 | 7399262.310 | 5059299.990 | 86.880 | 86.880 | 0.000 |
| 15 | 7400091.130 | 5057625.870 | 87.470 | 87.470 | 0.000 | 95 | 7399359.510 | 5059373.780 | 87.100 | 87.100 | 0.000 |
| 16 | 7399858.780 | 5057496.670 | 95.410 | 95.410 | 0.000 | 96 | 7399450.420 | 5059363.800 | 88.524 | 88.520 | -0.004 |
| 18 | 7399439.770 | 5057427.580 | 97.740 | 97.740 | 0.000 | 97 | 7399477.350 | 5059480.500 | 89.470 | 89.470 | 0.000 |
| 20 | 7399163.960 | 5057409.270 | 98.052 | 98.050 | -0.002 | 98 | 7399481.350 | 5059546.280 | 87.970 | 87.970 | 0.000 |
| 21 | 7399243.000 | 5057674.920 | 95.674 | 95.670 | -0.004 | 99 | 7399595.210 | 5059477.410 | 95.160 | 95.160 | 0.000 |
| 23 | 7399274.510 | 5057856.050 | 95.750 | 95.750 | 0.000 | 100 | 7399570.750 | 5059400.230 | 95.300 | 95.300 | 0.000 |
| 24 | 7399293.280 | 5057897.290 | 94.250 | 94.250 | 0.000 | 101 | 7399598.380 | 5059416.090 | 96.760 | 96.760 | 0.000 |
| 25 | 7399280.770 | 5057953.860 | 91.435 | 91.430 | -0.005 | 102 | 7399687.930 | 5059462.550 | 100.190 | 100.190 | 0.000 |
| 26 | 7399176.060 | 5057882.090 | 98.338 | 98.340 | 0.002 | 104 | 7400100.450 | 5059136.630 | 101.250 | 101.250 | 0.000 |
| 27 | 7399069.710 | 5058043.320 | 97.340 | 97.340 | 0.000 | 105 | 7399827.630 | 5058990.650 | 100.890 | 100.890 | 0.000 |
| 28 | 7399154.890 | 5058073.030 | 98.089 | 98.090 | 0.001 | 107 | 7399605.270 | 5058923.730 | 97.956 | 97.960 | 0.004 |
| 29 | 7399162.460 | 5058096.110 | 96.510 | 96.510 | 0.000 | 108 | 7399579.990 | 5058965.460 | 98.862 | 98.860 | -0.002 |

| | | | | | | | | | | | |
|----|-------------|-------------|---------|---------|--------|-----|-------------|-------------|---------|---------|--------|
| 30 | 7398903.840 | 5058151.250 | 97.700 | 97.700 | 0.000 | 109 | 7399574.780 | 5059092.130 | 101.240 | 101.240 | 0.000 |
| 31 | 7399032.820 | 5058234.870 | 97.670 | 97.670 | 0.000 | 110 | 7399574.990 | 5059248.170 | 100.920 | 100.920 | 0.000 |
| 32 | 7399070.000 | 5058239.260 | 96.852 | 96.850 | -0.002 | 111 | 7399424.610 | 5059229.160 | 88.150 | 88.150 | 0.000 |
| 33 | 7399158.870 | 5058292.220 | 87.750 | 87.750 | 0.000 | 112 | 7399258.220 | 5059129.590 | 87.076 | 87.080 | 0.004 |
| 35 | 7398879.660 | 5058361.280 | 97.892 | 97.890 | -0.002 | 113 | 7399225.010 | 5058972.610 | 86.720 | 86.720 | 0.000 |
| 36 | 7398981.130 | 5058418.420 | 91.984 | 91.980 | -0.004 | 114 | 7399300.710 | 5058996.360 | 86.350 | 86.350 | 0.000 |
| 37 | 7398918.930 | 5058525.330 | 89.580 | 89.580 | 0.000 | 115 | 7399295.650 | 5059034.680 | 86.040 | 86.040 | 0.000 |
| 38 | 7398857.690 | 5058628.310 | 88.940 | 88.940 | 0.000 | 116 | 7399407.730 | 5059086.570 | 87.600 | 87.600 | 0.000 |
| 39 | 7398793.240 | 5058741.400 | 88.048 | 88.050 | 0.002 | 117 | 7399454.670 | 5059104.820 | 92.437 | 92.440 | 0.003 |
| 40 | 7398732.020 | 5058844.590 | 87.875 | 87.870 | -0.005 | 118 | 7399515.370 | 5059014.210 | 98.345 | 98.340 | -0.005 |
| 41 | 7398657.520 | 5058953.930 | 90.141 | 90.140 | -0.001 | 119 | 7399435.740 | 5058968.430 | 86.360 | 86.360 | 0.000 |
| 42 | 7398584.900 | 5059085.470 | 93.450 | 93.450 | 0.000 | 120 | 7399344.460 | 5058896.710 | 87.099 | 87.100 | 0.001 |
| 43 | 7398363.110 | 5058958.390 | 101.246 | 101.250 | 0.004 | 121 | 7399447.350 | 5058940.020 | 86.102 | 86.100 | -0.002 |
| 44 | 7398346.620 | 5058924.880 | 101.749 | 101.750 | 0.001 | 122 | 7399475.940 | 5058911.910 | 87.455 | 87.450 | -0.005 |
| 45 | 7398385.080 | 5058893.290 | 101.550 | 101.550 | 0.000 | 123 | 7399531.280 | 5058884.630 | 90.392 | 90.390 | -0.002 |
| 46 | 7398441.350 | 5058835.620 | 95.520 | 95.520 | 0.000 | 124 | 7399387.000 | 5058786.940 | 87.520 | 87.520 | 0.000 |
| 47 | 7398507.240 | 5058725.870 | 91.050 | 91.050 | 0.000 | 125 | 7399443.790 | 5058670.630 | 86.790 | 86.790 | 0.000 |
| 48 | 7398565.150 | 5058614.640 | 90.510 | 90.510 | 0.000 | 126 | 7399496.650 | 5058570.780 | 85.930 | 85.930 | 0.000 |
| 49 | 7398467.060 | 5058508.790 | 92.390 | 92.390 | 0.000 | 127 | 7399561.510 | 5058610.410 | 86.590 | 86.590 | 0.000 |
| 50 | 7398578.720 | 5058521.080 | 91.730 | 91.730 | 0.000 | 129 | 7399714.470 | 5058777.000 | 98.382 | 98.380 | -0.002 |
| 51 | 7398632.630 | 5058505.830 | 91.310 | 91.310 | 0.000 | 130 | 7399834.790 | 5058618.950 | 99.700 | 99.700 | 0.000 |
| 52 | 7398678.910 | 5058534.770 | 90.880 | 90.880 | 0.000 | 131 | 7399894.430 | 5058547.520 | 99.543 | 99.540 | -0.003 |
| 53 | 7398713.240 | 5058458.820 | 93.460 | 93.460 | 0.000 | 132 | 7399999.860 | 5058603.380 | 100.410 | 100.410 | 0.000 |
| 54 | 7398649.000 | 5058410.450 | 97.070 | 97.070 | 0.000 | 136 | 7400319.290 | 5058296.590 | 99.510 | 99.510 | 0.000 |
| 55 | 7398518.480 | 5058317.720 | 99.245 | 99.240 | -0.005 | 137 | 7400152.760 | 5058205.820 | 93.028 | 93.030 | 0.002 |
| 56 | 7398424.360 | 5058442.330 | 94.310 | 94.310 | 0.000 | 138 | 7400044.890 | 5058340.750 | 98.650 | 98.650 | 0.000 |
| 57 | 7398277.250 | 5058660.650 | 96.240 | 96.240 | 0.000 | 139 | 7399771.840 | 5058026.690 | 86.561 | 86.560 | -0.001 |
| 58 | 7398266.680 | 5058857.790 | 102.479 | 102.480 | 0.001 | 140 | 7399731.580 | 5058010.490 | 86.206 | 86.210 | 0.004 |
| 59 | 7398177.510 | 5058786.160 | 100.537 | 100.540 | 0.003 | 141 | 7399776.690 | 5058175.920 | 86.750 | 86.750 | 0.000 |
| 60 | 7398085.570 | 5058702.140 | 101.621 | 101.620 | -0.001 | 142 | 7399698.220 | 5058185.040 | 84.870 | 84.870 | 0.000 |
| 61 | 7398001.010 | 5058627.440 | 101.885 | 101.880 | -0.005 | 145 | 7399810.820 | 5058482.460 | 90.670 | 90.670 | 0.000 |
| 62 | 7398167.260 | 5058595.330 | 99.430 | 99.430 | 0.000 | 146 | 7399742.710 | 5058590.250 | 94.090 | 94.090 | 0.000 |
| 63 | 7398147.470 | 5058403.900 | 98.652 | 98.650 | -0.002 | 147 | 7399682.900 | 5058650.200 | 92.600 | 92.600 | 0.000 |
| 64 | 7398346.660 | 5058340.330 | 95.710 | 95.710 | 0.000 | 148 | 7399469.770 | 5058468.180 | 86.990 | 86.990 | 0.000 |
| 65 | 7398258.280 | 5058249.870 | 98.387 | 98.390 | 0.003 | 149 | 7399494.940 | 5058469.400 | 86.030 | 86.030 | 0.000 |
| 66 | 7398284.710 | 5058259.310 | 98.131 | 98.130 | -0.001 | 150 | 7399669.850 | 5058380.940 | 86.980 | 86.980 | 0.000 |
| 67 | 7398330.210 | 5058185.910 | 97.899 | 97.900 | 0.001 | 151 | 7399241.990 | 5057928.440 | 97.331 | 97.330 | -0.001 |
| 68 | 7398434.460 | 5058042.100 | 97.858 | 97.860 | 0.002 | 152 | 7398042.780 | 5058969.810 | 101.114 | 101.110 | -0.004 |
| 70 | 7398627.960 | 5058173.280 | 99.127 | 99.130 | 0.003 | 153 | 7397922.870 | 5058785.850 | 104.520 | 104.520 | 0.000 |
| 71 | 7397909.490 | 5058377.590 | 99.780 | 99.780 | 0.000 | 154 | 7397778.880 | 5058571.740 | 100.220 | 100.220 | 0.000 |
| 72 | 7398143.500 | 5058055.340 | 97.810 | 97.810 | 0.000 | | | | | | |
| 73 | 7397948.760 | 5057920.020 | 100.150 | 100.150 | 0.000 | | | | | | |
| 74 | 7398136.770 | 5057659.850 | 99.300 | 99.300 | 0.000 | | | | | | |
| 75 | 7398403.550 | 5057565.070 | 98.460 | 98.460 | 0.000 | | | | | | |
| 76 | 7398618.990 | 5057721.940 | 98.319 | 98.320 | 0.001 | | | | | | |
| 78 | 7398567.990 | 5057953.250 | 99.280 | 99.280 | 0.000 | | | | | | |

TABELA 10.5: Očitane Z vrednosti koordinata kontrolnih tačaka izabranih za kalibraciju na UAVMmCP modelu

| Br.T. | Yt | Xt | Zt | ZMmCP | dZ | Br.T. | Yt | Xt | Zt | ZMmCP | dZ |
|-------|-------------|-------------|--------|--------|--------|-------|-------------|-------------|--------|--------|-------|
| 2 | 7398843.460 | 5059228.410 | 87.264 | 87.260 | -0.004 | 76 | 7398618.990 | 5057721.940 | 98.319 | 98.320 | 0.001 |

| | | | | | | | | | | | |
|----|-------------|-------------|---------|---------|--------|-----|-------------|-------------|---------|---------|--------|
| 6 | 7399095.220 | 5058767.350 | 87.559 | 87.560 | 0.001 | 81 | 7398797.940 | 5057846.680 | 97.534 | 97.530 | -0.004 |
| 7 | 7399160.430 | 5058652.980 | 87.653 | 87.650 | -0.003 | 96 | 7399450.420 | 5059363.800 | 88.524 | 88.520 | -0.004 |
| 8 | 7399220.510 | 5058545.440 | 87.690 | 87.690 | 0.000 | 104 | 7400100.450 | 5059136.630 | 101.250 | 101.250 | 0.000 |
| 9 | 7399280.340 | 5058438.450 | 87.479 | 87.480 | 0.001 | 105 | 7399827.630 | 5058990.650 | 100.890 | 100.890 | 0.000 |
| 10 | 7399310.170 | 5058383.870 | 87.113 | 87.110 | -0.003 | 107 | 7399605.270 | 5058923.730 | 97.956 | 97.960 | 0.004 |
| 11 | 7399400.900 | 5058226.000 | 87.020 | 87.020 | 0.000 | 108 | 7399579.990 | 5058965.460 | 98.862 | 98.860 | -0.002 |
| 12 | 7399495.070 | 5058076.460 | 86.704 | 86.700 | -0.004 | 111 | 7399424.610 | 5059229.160 | 88.150 | 88.150 | 0.000 |
| 13 | 7399582.380 | 5057949.040 | 87.048 | 87.050 | 0.002 | 113 | 7399225.010 | 5058972.610 | 86.720 | 86.720 | 0.000 |
| 14 | 7399792.720 | 5057805.490 | 87.417 | 87.420 | 0.003 | 114 | 7399300.710 | 5058996.360 | 86.350 | 86.350 | 0.000 |
| 15 | 7400091.130 | 5057625.870 | 87.470 | 87.470 | 0.000 | 115 | 7399295.650 | 5059034.680 | 86.040 | 86.040 | 0.000 |
| 20 | 7399163.960 | 5057409.270 | 98.052 | 98.050 | -0.002 | 117 | 7399454.670 | 5059104.820 | 92.437 | 92.440 | 0.003 |
| 21 | 7399243.000 | 5057674.920 | 95.674 | 95.670 | -0.004 | 118 | 7399515.370 | 5059014.210 | 98.345 | 98.350 | 0.005 |
| 23 | 7399274.510 | 5057856.050 | 95.750 | 95.750 | 0.000 | 120 | 7399344.460 | 5058896.710 | 87.099 | 87.100 | 0.001 |
| 27 | 7399069.710 | 5058043.320 | 97.340 | 97.340 | 0.000 | 124 | 7399387.000 | 5058786.940 | 87.520 | 87.520 | 0.000 |
| 28 | 7399154.890 | 5058073.030 | 98.089 | 98.090 | 0.001 | 125 | 7399443.790 | 5058670.630 | 86.790 | 86.790 | 0.000 |
| 29 | 7399162.460 | 5058096.110 | 96.510 | 96.510 | 0.000 | 126 | 7399496.650 | 5058570.780 | 85.930 | 85.930 | 0.000 |
| 31 | 7399032.820 | 5058234.870 | 97.670 | 97.670 | 0.000 | 127 | 7399561.510 | 5058610.410 | 86.590 | 86.590 | 0.000 |
| 32 | 7399070.000 | 5058239.260 | 96.852 | 96.850 | -0.002 | 129 | 7399714.470 | 5058777.000 | 98.382 | 98.380 | -0.002 |
| 36 | 7398981.130 | 5058418.420 | 91.984 | 91.980 | -0.004 | 130 | 7399834.790 | 5058618.950 | 99.700 | 99.700 | 0.000 |
| 37 | 7398918.930 | 5058525.330 | 89.580 | 89.580 | 0.000 | 131 | 7399894.430 | 5058547.520 | 99.543 | 99.540 | -0.003 |
| 38 | 7398857.690 | 5058628.310 | 88.940 | 88.940 | 0.000 | 132 | 7399999.860 | 5058603.380 | 100.410 | 100.410 | 0.000 |
| 39 | 7398793.240 | 5058741.400 | 88.048 | 88.050 | 0.002 | 136 | 7400319.290 | 5058296.590 | 99.510 | 99.510 | 0.000 |
| 40 | 7398732.020 | 5058844.590 | 87.875 | 87.880 | 0.005 | 137 | 7400152.760 | 5058205.820 | 93.028 | 93.030 | 0.002 |
| 41 | 7398657.520 | 5058953.930 | 90.141 | 90.140 | -0.001 | 138 | 7400044.890 | 5058340.750 | 98.650 | 98.650 | 0.000 |
| 42 | 7398584.900 | 5059085.470 | 93.450 | 93.450 | 0.000 | 139 | 7399771.840 | 5058026.690 | 86.561 | 86.560 | -0.001 |
| 46 | 7398441.350 | 5058835.620 | 95.520 | 95.520 | 0.000 | 140 | 7399731.580 | 5058010.490 | 86.206 | 86.210 | 0.004 |
| 47 | 7398507.240 | 5058725.870 | 91.050 | 91.050 | 0.000 | 151 | 7399241.990 | 5057928.440 | 97.331 | 97.330 | -0.001 |
| 48 | 7398565.150 | 5058614.640 | 90.510 | 90.510 | 0.000 | | | | | | |
| 49 | 7398467.060 | 5058508.790 | 92.390 | 92.390 | 0.000 | | | | | | |
| 50 | 7398578.720 | 5058521.080 | 91.730 | 91.730 | 0.000 | | | | | | |
| 51 | 7398632.630 | 5058505.830 | 91.310 | 91.310 | 0.000 | | | | | | |
| 52 | 7398678.910 | 5058534.770 | 90.880 | 90.880 | 0.000 | | | | | | |
| 53 | 7398713.240 | 5058458.820 | 93.460 | 93.460 | 0.000 | | | | | | |
| 54 | 7398649.000 | 5058410.450 | 97.070 | 97.070 | 0.000 | | | | | | |
| 55 | 7398518.480 | 5058317.720 | 99.245 | 99.250 | 0.005 | | | | | | |
| 67 | 7398330.210 | 5058185.910 | 97.899 | 97.900 | 0.001 | | | | | | |
| 72 | 7398143.500 | 5058055.340 | 97.810 | 97.810 | 0.000 | | | | | | |
| 73 | 7397948.760 | 5057920.020 | 100.150 | 100.150 | 0.000 | | | | | | |
| 74 | 7398136.770 | 5057659.850 | 99.300 | 99.300 | 0.000 | | | | | | |
| 75 | 7398403.550 | 5057565.070 | 98.460 | 98.460 | 0.000 | | | | | | |

TABELA 10.6: Očitane Z vrednosti koordinata kontrolnih tačaka izabranih za kalibraciju na LiDARMmCP modelu

| Br.T. | Yt | Xt | Zt | ZMmCPP | dZ | Br.T. | Yt | Xt | Zt | ZMmCPP | dZ |
|-------|-------------|-------------|--------|--------|--------|-------|-------------|-------------|--------|--------|--------|
| 1 | 7399031.570 | 5058306.170 | 95.142 | 92.240 | -2.902 | 346 | 7399272.900 | 5058360.377 | 87.087 | 87.070 | -0.017 |
| 2 | 7399752.119 | 5058572.420 | 93.724 | 93.720 | -0.004 | 347 | 7399178.724 | 5058303.699 | 87.448 | 87.450 | 0.002 |
| 3 | 7399753.324 | 5058573.553 | 93.739 | 93.750 | 0.011 | 348 | 7399179.366 | 5058302.629 | 87.413 | 87.410 | -0.003 |
| 4 | 7399726.700 | 5058608.443 | 94.258 | 94.260 | 0.002 | 349 | 7399147.138 | 5058284.894 | 87.887 | 87.890 | 0.003 |
| 5 | 7399725.578 | 5058607.666 | 94.254 | 94.250 | -0.004 | 350 | 7399147.747 | 5058283.782 | 87.862 | 87.860 | -0.002 |
| 6 | 7399676.030 | 5058654.360 | 91.934 | 91.930 | -0.004 | 351 | 7399171.554 | 5058061.678 | 97.918 | 97.920 | 0.002 |

| | | | | | | | | | | | |
|----|-------------|-------------|--------|--------|--------|-----|-------------|-------------|--------|--------|--------|
| 7 | 7399698.324 | 5058640.615 | 93.314 | 93.310 | -0.004 | 352 | 7399167.565 | 5058059.905 | 98.136 | 98.140 | 0.004 |
| 8 | 7399697.355 | 5058639.522 | 93.300 | 93.300 | 0.000 | 353 | 7399264.616 | 5057968.056 | 92.289 | 92.290 | 0.001 |
| 9 | 7399696.244 | 5058638.343 | 93.236 | 93.240 | 0.004 | 354 | 7399265.927 | 5057969.108 | 92.182 | 92.180 | -0.002 |
| 10 | 7399649.719 | 5058661.474 | 89.611 | 87.790 | -1.821 | 355 | 7399293.717 | 5057958.271 | 90.793 | 90.790 | -0.003 |
| 11 | 7399675.712 | 5058655.897 | 91.919 | 91.920 | 0.001 | 356 | 7399294.052 | 5057957.029 | 90.808 | 90.810 | 0.002 |
| 12 | 7399587.926 | 5058627.833 | 86.822 | 85.330 | -1.492 | 357 | 7399378.302 | 5058006.014 | 89.569 | 89.570 | 0.001 |
| 13 | 7399649.625 | 5058695.278 | 90.939 | 90.940 | 0.001 | 358 | 7399447.891 | 5058045.829 | 87.132 | 87.130 | -0.002 |
| 14 | 7399650.136 | 5058695.923 | 90.997 | 91.000 | 0.003 | 359 | 7399447.230 | 5058047.206 | 87.109 | 87.120 | 0.011 |
| 15 | 7399651.347 | 5058695.078 | 91.094 | 91.090 | -0.004 | 360 | 7399446.567 | 5058048.466 | 87.116 | 87.120 | 0.004 |
| 16 | 7399527.580 | 5058596.258 | 86.299 | 85.140 | -1.159 | 361 | 7399481.433 | 5058005.430 | 87.536 | 87.540 | 0.004 |
| 17 | 7399527.592 | 5058597.610 | 86.076 | 85.090 | -0.986 | 362 | 7399483.489 | 5058003.549 | 87.473 | 87.470 | -0.003 |
| 18 | 7399527.588 | 5058599.094 | 86.002 | 85.010 | -0.992 | 363 | 7399392.103 | 5057881.266 | 90.893 | 90.890 | -0.003 |
| 19 | 7399554.102 | 5058628.728 | 86.177 | 84.760 | -1.417 | 364 | 7399390.002 | 5057883.204 | 90.937 | 90.930 | -0.007 |
| 20 | 7399553.061 | 5058628.568 | 86.187 | 84.780 | -1.407 | 365 | 7399144.970 | 5058074.554 | 98.398 | 98.400 | 0.002 |
| 21 | 7399486.952 | 5058604.908 | 86.331 | 85.270 | -1.061 | 366 | 7399145.613 | 5058073.376 | 98.448 | 98.440 | -0.008 |
| 22 | 7399483.579 | 5058601.737 | 86.442 | 85.390 | -1.052 | 367 | 7399087.094 | 5058053.785 | 97.614 | 97.610 | -0.004 |
| 23 | 7399774.427 | 5058128.100 | 86.497 | 86.160 | -0.337 | 368 | 7399087.672 | 5058052.079 | 97.558 | 97.560 | 0.002 |
| 24 | 7399775.904 | 5058127.941 | 86.474 | 86.140 | -0.334 | 369 | 7399047.709 | 5058024.003 | 97.060 | 97.060 | 0.000 |
| 25 | 7399814.707 | 5058333.594 | 87.115 | 87.110 | -0.005 | 370 | 7399046.956 | 5058025.113 | 97.152 | 97.150 | -0.002 |
| 26 | 7399813.400 | 5058333.926 | 87.068 | 87.070 | 0.002 | 371 | 7398861.679 | 5057865.084 | 95.827 | 95.830 | 0.003 |
| 27 | 7399816.990 | 5058380.001 | 87.725 | 87.720 | -0.005 | 372 | 7398860.351 | 5057862.396 | 95.876 | 95.880 | 0.004 |
| 28 | 7399818.663 | 5058379.838 | 87.809 | 87.810 | 0.001 | 373 | 7398827.036 | 5057886.572 | 96.062 | 96.060 | -0.002 |
| 29 | 7399815.341 | 5058441.776 | 89.365 | 89.360 | -0.005 | 374 | 7398825.981 | 5057885.823 | 96.132 | 96.130 | -0.002 |
| 30 | 7399813.885 | 5058441.542 | 89.344 | 89.340 | -0.004 | 375 | 7399012.988 | 5058221.916 | 98.514 | 98.510 | -0.004 |
| 31 | 7399797.659 | 5058506.626 | 91.263 | 91.260 | -0.003 | 376 | 7399012.514 | 5058223.077 | 98.573 | 98.570 | -0.003 |
| 32 | 7399796.167 | 5058506.013 | 91.252 | 91.250 | -0.002 | 377 | 7398934.579 | 5058170.936 | 97.745 | 97.740 | -0.005 |
| 33 | 7399909.456 | 5058522.206 | 99.579 | 99.580 | 0.001 | 378 | 7398885.292 | 5058134.351 | 97.759 | 97.760 | 0.001 |
| 34 | 7399910.915 | 5058523.415 | 99.599 | 99.600 | 0.001 | 379 | 7398884.779 | 5058135.583 | 97.784 | 97.760 | -0.024 |
| 35 | 7399882.960 | 5058559.798 | 99.444 | 99.440 | -0.004 | 380 | 7398884.107 | 5058136.953 | 97.781 | 97.780 | -0.001 |
| 36 | 7399854.903 | 5058598.531 | 99.530 | 99.530 | 0.000 | 381 | 7398770.347 | 5058050.659 | 97.693 | 97.690 | -0.003 |
| 37 | 7399823.396 | 5058639.495 | 99.927 | 99.930 | 0.003 | 382 | 7398716.300 | 5058037.146 | 98.661 | 98.660 | -0.001 |
| 38 | 7399822.063 | 5058638.551 | 99.909 | 99.910 | 0.001 | 383 | 7398718.851 | 5058038.887 | 98.572 | 98.570 | -0.002 |
| 39 | 7399820.925 | 5058637.749 | 99.883 | 99.880 | -0.003 | 384 | 7398702.261 | 5058057.630 | 98.811 | 98.810 | -0.001 |
| 40 | 7399706.897 | 5058764.556 | 96.942 | 96.940 | -0.002 | 385 | 7398703.279 | 5058058.407 | 98.830 | 98.610 | -0.220 |
| 41 | 7399705.321 | 5058767.777 | 97.035 | 97.030 | -0.005 | 386 | 7398704.453 | 5058059.384 | 98.702 | 98.700 | -0.002 |
| 42 | 7399706.159 | 5058791.949 | 98.437 | 98.440 | 0.003 | 387 | 7398604.451 | 5058157.564 | 99.214 | 99.210 | -0.004 |
| 43 | 7399704.711 | 5058791.093 | 98.385 | 98.400 | 0.015 | 388 | 7398602.759 | 5058160.054 | 99.314 | 99.310 | -0.004 |
| 44 | 7399646.702 | 5058867.742 | 98.111 | 98.120 | 0.009 | 389 | 7398497.954 | 5058085.127 | 98.479 | 98.480 | 0.001 |
| 45 | 7399647.921 | 5058868.456 | 98.137 | 98.120 | -0.017 | 390 | 7398461.569 | 5058064.281 | 98.161 | 98.160 | -0.001 |
| 46 | 7399649.194 | 5058869.416 | 98.113 | 98.110 | -0.003 | 391 | 7398462.329 | 5058062.965 | 98.158 | 98.160 | 0.002 |
| 47 | 7399684.781 | 5058910.300 | 98.551 | 98.540 | -0.011 | 392 | 7398462.977 | 5058061.517 | 98.107 | 98.110 | 0.003 |
| 48 | 7399683.997 | 5058911.572 | 98.544 | 98.540 | -0.004 | 393 | 7398440.692 | 5058051.677 | 97.831 | 97.830 | -0.001 |
| 49 | 7399619.652 | 5058905.463 | 97.982 | 97.980 | -0.002 | 394 | 7398497.845 | 5058053.347 | 98.010 | 98.010 | 0.000 |
| 50 | 7399620.956 | 5058906.242 | 97.981 | 97.980 | -0.001 | 395 | 7398496.764 | 5058052.422 | 98.050 | 97.990 | -0.060 |
| 51 | 7399592.656 | 5058943.823 | 98.260 | 98.260 | 0.000 | 396 | 7398495.613 | 5058051.657 | 98.026 | 98.030 | 0.004 |
| 52 | 7399594.035 | 5058944.708 | 98.283 | 98.280 | -0.003 | 397 | 7399298.780 | 5059008.238 | 86.230 | 86.230 | 0.000 |
| 53 | 7399584.653 | 5058914.866 | 96.405 | 96.410 | 0.005 | 398 | 7399297.344 | 5059008.072 | 86.242 | 86.230 | -0.012 |
| 54 | 7399585.392 | 5058913.875 | 96.375 | 96.380 | 0.005 | 399 | 7399295.899 | 5059008.018 | 86.221 | 86.220 | -0.001 |
| 55 | 7399578.031 | 5058982.019 | 99.433 | 99.430 | -0.003 | 400 | 7399340.387 | 5059360.323 | 87.084 | 87.070 | -0.014 |
| 56 | 7399579.344 | 5058982.047 | 99.425 | 99.420 | -0.005 | 401 | 7399339.821 | 5059361.252 | 87.028 | 87.030 | 0.002 |
| 57 | 7399569.240 | 5058968.471 | 98.985 | 98.990 | 0.005 | 402 | 7399341.050 | 5059359.101 | 87.040 | 87.040 | 0.000 |
| 58 | 7399570.012 | 5058969.724 | 99.051 | 99.050 | -0.001 | 403 | 7399341.737 | 5059357.631 | 86.953 | 86.680 | -0.273 |

| | | | | | | | | | | | |
|-----|-------------|-------------|---------|---------|--------|-----|-------------|-------------|---------|---------|--------|
| 59 | 7399570.744 | 5058971.020 | 99.071 | 99.080 | 0.009 | 404 | 7399274.689 | 5059311.915 | 86.878 | 86.880 | 0.002 |
| 60 | 7399574.943 | 5059065.296 | 100.948 | 100.950 | 0.002 | 405 | 7399275.608 | 5059310.761 | 86.858 | 86.860 | 0.002 |
| 61 | 7399576.367 | 5059065.201 | 100.958 | 100.960 | 0.002 | 406 | 7398116.562 | 5058035.994 | 97.573 | 97.570 | -0.003 |
| 62 | 7399577.503 | 5059065.204 | 100.909 | 100.920 | 0.011 | 407 | 7398115.874 | 5058037.035 | 97.629 | 97.630 | 0.001 |
| 63 | 7399575.704 | 5059109.977 | 101.420 | 101.420 | 0.000 | 408 | 7398115.207 | 5058038.020 | 97.636 | 97.640 | 0.004 |
| 64 | 7399576.688 | 5059109.870 | 101.408 | 101.410 | 0.002 | 409 | 7398336.662 | 5058184.587 | 97.827 | 97.830 | 0.003 |
| 65 | 7399073.870 | 5058752.603 | 87.696 | 87.700 | 0.004 | 410 | 7398339.439 | 5058191.301 | 97.827 | 97.830 | 0.003 |
| 66 | 7398816.344 | 5058697.263 | 88.312 | 88.310 | -0.002 | 411 | 7398338.888 | 5058194.600 | 97.839 | 97.840 | 0.001 |
| 67 | 7398815.163 | 5058696.512 | 88.334 | 88.330 | -0.004 | 412 | 7398181.358 | 5058083.331 | 97.802 | 97.800 | -0.002 |
| 68 | 7398866.460 | 5058609.206 | 89.144 | 89.140 | -0.004 | 413 | 7398334.472 | 5058182.133 | 97.855 | 97.850 | -0.005 |
| 69 | 7398864.919 | 5058608.558 | 89.143 | 89.140 | -0.003 | 414 | 7398180.333 | 5058084.666 | 97.885 | 97.890 | 0.005 |
| 70 | 7398900.917 | 5058548.441 | 89.635 | 89.630 | -0.005 | 415 | 7398298.041 | 5058167.353 | 98.279 | 98.280 | 0.001 |
| 71 | 7398899.491 | 5058547.696 | 89.670 | 89.670 | 0.000 | 416 | 7398297.021 | 5058168.447 | 98.301 | 98.300 | -0.001 |
| 72 | 7399572.446 | 5059218.647 | 101.147 | 101.150 | 0.003 | 417 | 7398287.548 | 5058247.814 | 98.255 | 98.260 | 0.005 |
| 73 | 7399573.646 | 5059218.638 | 101.198 | 101.200 | 0.002 | 418 | 7398286.271 | 5058247.094 | 98.377 | 98.380 | 0.003 |
| 74 | 7399574.918 | 5059218.645 | 101.180 | 101.180 | 0.000 | 419 | 7398495.266 | 5058302.430 | 99.391 | 99.390 | -0.001 |
| 75 | 7399571.717 | 5059266.648 | 100.625 | 100.630 | 0.005 | 420 | 7397970.154 | 5057934.278 | 99.905 | 99.900 | -0.005 |
| 76 | 7399572.894 | 5059266.602 | 100.651 | 100.660 | 0.009 | 421 | 7397971.084 | 5057932.841 | 99.911 | 99.910 | -0.001 |
| 77 | 7399574.186 | 5059266.586 | 100.640 | 100.640 | 0.000 | 422 | 7398193.838 | 5058773.600 | 100.273 | 100.270 | -0.003 |
| 78 | 7399571.071 | 5059379.405 | 95.979 | 95.980 | 0.001 | 423 | 7398263.001 | 5058679.967 | 96.954 | 96.950 | -0.004 |
| 79 | 7399569.829 | 5059379.331 | 95.931 | 95.930 | -0.001 | 424 | 7398261.755 | 5058679.103 | 96.966 | 96.960 | -0.006 |
| 80 | 7399596.138 | 5059410.537 | 96.510 | 96.510 | 0.000 | 425 | 7398260.625 | 5058678.252 | 96.943 | 96.940 | -0.003 |
| 81 | 7399595.918 | 5059410.940 | 96.572 | 96.540 | -0.032 | 426 | 7398144.631 | 5058752.221 | 100.461 | 100.460 | -0.001 |
| 82 | 7399529.792 | 5059388.983 | 93.114 | 93.110 | -0.004 | 427 | 7398143.956 | 5058753.590 | 100.506 | 100.510 | 0.004 |
| 83 | 7399530.479 | 5059387.806 | 94.235 | 93.060 | -1.175 | 428 | 7398163.792 | 5058807.055 | 100.413 | 100.410 | -0.003 |
| 84 | 7399530.907 | 5059386.226 | 94.191 | 93.070 | -1.121 | 429 | 7398165.147 | 5058807.813 | 100.382 | 100.380 | -0.002 |
| 85 | 7399593.689 | 5059413.313 | 96.509 | 96.520 | 0.011 | 430 | 7398197.378 | 5058798.686 | 100.788 | 100.790 | 0.002 |
| 86 | 7399595.494 | 5059442.470 | 96.429 | 96.430 | 0.001 | 431 | 7398197.006 | 5058800.672 | 100.829 | 100.830 | 0.001 |
| 87 | 7399596.776 | 5059442.706 | 96.396 | 96.420 | 0.024 | 432 | 7398198.014 | 5058799.393 | 100.797 | 100.800 | 0.003 |
| 88 | 7399595.712 | 5059463.496 | 95.866 | 95.870 | 0.004 | 433 | 7398290.159 | 5058879.444 | 101.788 | 101.790 | 0.002 |
| 89 | 7399594.193 | 5059463.610 | 95.855 | 95.860 | 0.005 | 434 | 7398291.137 | 5058878.154 | 101.818 | 101.820 | 0.002 |
| 90 | 7399594.869 | 5059411.957 | 96.528 | 96.520 | -0.008 | 435 | 7398291.951 | 5058877.029 | 101.799 | 101.800 | 0.001 |
| 91 | 7399622.397 | 5059425.186 | 97.940 | 97.950 | 0.010 | 436 | 7398246.747 | 5058845.522 | 102.323 | 102.320 | -0.003 |
| 92 | 7399621.692 | 5059426.302 | 97.951 | 97.900 | -0.051 | 437 | 7398247.765 | 5058844.414 | 102.363 | 102.360 | -0.003 |
| 93 | 7399620.971 | 5059427.686 | 97.968 | 97.970 | 0.002 | 438 | 7398248.730 | 5058843.239 | 102.343 | 102.340 | -0.003 |
| 94 | 7399664.596 | 5059448.677 | 99.821 | 99.820 | -0.001 | 439 | 7398053.429 | 5058953.850 | 101.219 | 101.220 | 0.001 |
| 95 | 7399664.095 | 5059450.147 | 99.842 | 99.840 | -0.002 | 440 | 7398052.252 | 5058952.842 | 101.218 | 101.220 | 0.002 |
| 96 | 7399665.119 | 5059447.478 | 99.809 | 99.810 | 0.001 | 441 | 7398260.740 | 5058246.393 | 98.484 | 98.480 | -0.004 |
| 97 | 7399704.843 | 5059469.811 | 100.392 | 100.380 | -0.012 | 442 | 7398275.260 | 5058257.131 | 98.035 | 98.030 | -0.005 |
| 98 | 7399704.110 | 5059471.166 | 100.403 | 100.400 | -0.003 | 443 | 7398274.466 | 5058260.359 | 98.063 | 98.060 | -0.003 |
| 99 | 7399577.654 | 5059480.471 | 93.681 | 93.680 | -0.001 | 444 | 7398296.684 | 5058278.006 | 97.663 | 97.660 | -0.003 |
| 100 | 7399492.029 | 5059484.455 | 90.026 | 90.030 | 0.004 | 445 | 7398295.557 | 5058279.056 | 97.719 | 97.720 | 0.001 |
| 101 | 7399478.475 | 5059504.390 | 88.915 | 88.930 | 0.015 | 446 | 7398327.945 | 5058364.662 | 95.190 | 95.190 | 0.000 |
| 102 | 7399476.678 | 5059504.614 | 88.863 | 88.860 | -0.003 | 447 | 7398337.989 | 5058326.948 | 96.047 | 96.050 | 0.003 |
| 103 | 7399472.350 | 5059458.355 | 89.825 | 89.820 | -0.005 | 448 | 7398336.817 | 5058327.990 | 95.980 | 95.980 | 0.000 |
| 104 | 7399470.553 | 5059457.415 | 89.823 | 89.820 | -0.003 | 449 | 7398402.092 | 5058405.200 | 94.589 | 94.590 | 0.001 |
| 105 | 7399472.169 | 5059457.325 | 89.814 | 89.810 | -0.004 | 450 | 7398399.178 | 5058406.624 | 94.655 | 94.660 | 0.005 |
| 106 | 7399440.975 | 5059369.210 | 88.272 | 88.270 | -0.002 | 451 | 7398368.745 | 5058365.375 | 95.219 | 95.220 | 0.001 |
| 107 | 7399440.718 | 5059367.707 | 88.261 | 88.260 | -0.001 | 452 | 7398367.639 | 5058366.478 | 95.192 | 95.190 | -0.002 |
| 108 | 7399458.104 | 5059391.358 | 88.945 | 88.950 | 0.005 | 453 | 7398405.065 | 5058469.689 | 93.961 | 93.960 | -0.001 |
| 109 | 7399476.518 | 5059372.250 | 89.884 | 89.880 | -0.004 | 454 | 7398403.821 | 5058468.936 | 94.022 | 94.020 | -0.002 |
| 110 | 7399476.233 | 5059373.752 | 89.894 | 89.890 | -0.004 | 455 | 7398305.165 | 5058617.750 | 94.873 | 94.870 | -0.003 |

| | | | | | | | | | | | |
|-----|-------------|-------------|--------|--------|--------|-----|-------------|-------------|---------|---------|--------|
| 111 | 7399444.018 | 5059343.738 | 88.847 | 88.850 | 0.003 | 456 | 7398304.055 | 5058616.836 | 94.859 | 94.860 | 0.001 |
| 112 | 7399445.538 | 5059343.397 | 88.860 | 88.860 | 0.000 | 457 | 7399233.795 | 5057941.702 | 97.592 | 97.590 | -0.002 |
| 113 | 7399424.025 | 5059247.872 | 88.092 | 88.090 | -0.002 | 458 | 7399252.801 | 5057903.807 | 96.622 | 96.620 | -0.002 |
| 114 | 7399425.303 | 5059247.564 | 88.161 | 88.160 | -0.001 | 459 | 7398971.535 | 5057842.193 | 96.564 | 95.290 | -1.274 |
| 115 | 7399396.510 | 5059211.142 | 87.747 | 87.750 | 0.003 | 460 | 7398972.418 | 5057841.219 | 95.405 | 95.400 | -0.005 |
| 116 | 7399432.753 | 5059211.856 | 88.346 | 88.350 | 0.004 | 461 | 7398973.543 | 5057839.783 | 95.363 | 95.360 | -0.003 |
| 117 | 7399431.277 | 5059211.632 | 88.308 | 88.300 | -0.008 | 462 | 7399026.329 | 5057822.431 | 95.512 | 95.510 | -0.002 |
| 118 | 7399429.822 | 5059211.259 | 88.230 | 88.230 | 0.000 | 463 | 7399024.079 | 5057820.352 | 95.485 | 95.480 | -0.005 |
| 119 | 7399428.312 | 5059247.091 | 88.204 | 88.200 | -0.004 | 464 | 7399009.459 | 5057839.577 | 95.334 | 95.330 | -0.004 |
| 120 | 7399426.550 | 5059247.354 | 88.205 | 88.170 | -0.035 | 465 | 7399013.153 | 5057841.363 | 95.392 | 95.390 | -0.002 |
| 121 | 7399450.702 | 5059118.996 | 91.836 | 91.840 | 0.004 | 466 | 7399011.737 | 5057840.481 | 95.404 | 95.400 | -0.004 |
| 122 | 7399452.429 | 5059119.500 | 91.860 | 91.860 | 0.000 | 467 | 7398949.928 | 5057827.346 | 95.414 | 95.410 | -0.004 |
| 123 | 7399462.406 | 5059098.158 | 93.082 | 93.080 | -0.002 | 468 | 7398950.807 | 5057826.314 | 95.392 | 95.390 | -0.002 |
| 124 | 7399446.579 | 5059099.925 | 90.642 | 90.650 | 0.008 | 469 | 7398905.378 | 5057819.516 | 95.403 | 95.400 | -0.003 |
| 125 | 7399459.895 | 5059096.368 | 92.990 | 92.990 | 0.000 | 470 | 7398904.429 | 5057818.529 | 95.433 | 95.430 | -0.003 |
| 126 | 7399461.189 | 5059097.131 | 93.068 | 93.070 | 0.002 | 471 | 7398802.792 | 5057850.320 | 97.250 | 97.250 | 0.000 |
| 127 | 7399508.838 | 5059023.360 | 97.741 | 97.740 | -0.001 | 472 | 7398800.876 | 5057852.640 | 97.282 | 97.280 | -0.002 |
| 128 | 7399510.103 | 5059024.336 | 97.763 | 97.760 | -0.003 | 473 | 7398804.704 | 5057819.677 | 98.385 | 98.370 | -0.015 |
| 129 | 7399526.151 | 5059004.883 | 98.916 | 98.920 | 0.004 | 474 | 7398805.658 | 5057820.196 | 98.356 | 98.360 | 0.004 |
| 130 | 7399527.268 | 5059005.971 | 98.943 | 98.940 | -0.003 | 475 | 7398096.047 | 5058711.141 | 101.373 | 101.370 | -0.003 |
| 131 | 7399509.535 | 5059006.354 | 98.498 | 98.500 | 0.002 | 476 | 7398097.014 | 5058709.979 | 101.355 | 101.350 | -0.005 |
| 132 | 7399268.145 | 5058982.998 | 85.981 | 85.980 | -0.001 | 477 | 7398097.835 | 5058708.951 | 101.325 | 101.320 | -0.005 |
| 133 | 7399101.601 | 5059208.666 | 86.355 | 86.350 | -0.005 | 478 | 7398077.073 | 5058689.704 | 101.492 | 101.490 | -0.002 |
| 134 | 7399100.883 | 5059209.903 | 86.356 | 86.360 | 0.004 | 479 | 7398076.030 | 5058690.689 | 101.527 | 101.530 | 0.003 |
| 135 | 7399321.704 | 5059046.687 | 86.251 | 86.250 | -0.001 | 480 | 7398156.983 | 5058615.323 | 100.005 | 100.000 | -0.005 |
| 136 | 7399322.603 | 5059045.517 | 86.208 | 86.210 | 0.002 | 481 | 7398108.912 | 5058675.120 | 101.363 | 101.360 | -0.003 |
| 137 | 7399278.931 | 5059071.807 | 86.252 | 86.250 | -0.002 | 482 | 7398109.958 | 5058675.877 | 101.362 | 101.360 | -0.002 |
| 138 | 7399280.282 | 5059072.295 | 86.296 | 86.300 | 0.004 | 483 | 7398154.794 | 5058613.401 | 100.010 | 100.010 | 0.000 |
| 139 | 7399281.806 | 5059072.981 | 86.281 | 86.280 | -0.001 | 484 | 7398156.177 | 5058614.023 | 100.002 | 100.000 | -0.002 |
| 140 | 7399311.539 | 5058971.869 | 86.196 | 86.200 | 0.004 | 485 | 7398181.458 | 5058576.234 | 98.611 | 98.610 | -0.001 |
| 141 | 7399465.242 | 5058551.074 | 86.112 | 85.240 | -0.872 | 486 | 7398250.456 | 5058266.756 | 98.019 | 98.020 | 0.001 |
| 142 | 7399466.199 | 5058549.879 | 86.045 | 85.290 | -0.755 | 487 | 7398249.218 | 5058265.798 | 98.056 | 98.060 | 0.004 |
| 143 | 7399267.832 | 5058984.503 | 86.079 | 86.080 | 0.001 | 488 | 7398140.067 | 5058421.012 | 98.760 | 98.760 | 0.000 |
| 144 | 7399310.167 | 5058971.005 | 86.135 | 86.140 | 0.005 | 489 | 7398138.922 | 5058420.289 | 98.764 | 98.760 | -0.004 |
| 145 | 7399147.613 | 5059239.853 | 86.509 | 86.520 | 0.011 | 490 | 7398137.519 | 5058419.376 | 98.772 | 98.770 | -0.002 |
| 146 | 7399242.188 | 5059289.693 | 86.926 | 86.920 | -0.006 | 491 | 7398163.815 | 5058384.990 | 98.123 | 98.120 | -0.003 |
| 147 | 7399241.045 | 5059290.987 | 86.970 | 86.970 | 0.000 | 492 | 7398066.211 | 5058489.576 | 99.927 | 99.930 | 0.003 |
| 148 | 7399381.460 | 5059075.364 | 87.021 | 87.020 | -0.001 | 493 | 7398077.978 | 5058508.653 | 99.499 | 99.500 | 0.001 |
| 149 | 7399382.176 | 5059072.526 | 86.912 | 86.910 | -0.002 | 494 | 7398093.871 | 5058490.027 | 99.261 | 99.260 | -0.001 |
| 150 | 7399025.090 | 5059009.998 | 86.948 | 86.950 | 0.002 | 495 | 7398092.752 | 5058489.380 | 99.311 | 99.250 | -0.061 |
| 151 | 7399022.980 | 5059010.527 | 87.034 | 87.020 | -0.014 | 496 | 7398091.457 | 5058488.516 | 99.269 | 99.270 | 0.001 |
| 152 | 7399080.571 | 5058894.184 | 87.156 | 87.160 | 0.004 | 497 | 7398018.127 | 5058636.034 | 101.200 | 101.200 | 0.000 |
| 153 | 7399200.462 | 5058958.395 | 87.085 | 87.080 | -0.005 | 498 | 7398014.459 | 5058608.864 | 101.258 | 101.260 | 0.002 |
| 154 | 7399314.742 | 5058885.062 | 87.023 | 86.680 | -0.343 | 499 | 7398013.081 | 5058608.217 | 101.308 | 101.310 | 0.002 |
| 155 | 7399275.097 | 5059312.302 | 86.859 | 86.870 | 0.011 | 500 | 7398424.302 | 5058060.625 | 97.575 | 97.570 | -0.005 |
| 156 | 7399267.106 | 5059102.200 | 86.776 | 86.780 | 0.004 | 501 | 7398422.119 | 5058058.527 | 97.629 | 97.630 | 0.001 |
| 157 | 7398960.147 | 5059124.729 | 87.314 | 86.950 | -0.364 | 502 | 7398423.123 | 5058059.496 | 97.631 | 97.630 | -0.001 |
| 158 | 7398960.802 | 5059123.595 | 87.344 | 86.760 | -0.584 | 503 | 7398455.548 | 5058009.850 | 97.732 | 97.730 | -0.002 |
| 159 | 7399378.069 | 5059371.623 | 87.281 | 87.280 | -0.001 | 504 | 7398454.103 | 5058008.938 | 97.713 | 97.710 | -0.003 |
| 160 | 7399292.554 | 5059152.100 | 87.190 | 87.190 | 0.000 | 505 | 7398552.133 | 5057967.060 | 99.185 | 99.180 | -0.005 |
| 161 | 7399292.808 | 5059150.503 | 87.167 | 87.170 | 0.003 | 506 | 7398587.539 | 5057968.499 | 98.743 | 98.740 | -0.003 |
| 162 | 7399228.693 | 5059115.793 | 87.200 | 87.200 | 0.000 | 507 | 7398588.205 | 5057967.072 | 98.742 | 98.740 | -0.002 |

| |
|---|
| 163 7399078.694 5058894.985 87.185 87.190 0.005 508 7398666.787 5058023.722 98.749 98.750 0.001 |
| 164 7399337.961 5058915.116 87.182 87.180 -0.002 509 7398667.818 5058022.953 99.055 98.750 -0.305 |
| 165 7399133.384 5058784.742 87.207 87.210 0.003 510 7398756.006 5057820.485 98.612 98.620 0.008 |
| 166 7399132.724 5058785.899 87.187 87.190 0.003 511 7398757.269 5057819.753 98.623 98.600 -0.023 |
| 167 7399398.230 5059208.630 87.693 87.690 -0.003 512 7398686.578 5057768.487 98.971 98.970 -0.001 |
| 168 7399397.677 5059210.050 87.746 87.750 0.004 513 7398685.649 5057769.669 98.975 98.970 -0.005 |
| 169 7399327.853 5058469.886 87.670 87.440 -0.230 514 7398622.851 5057723.726 98.416 98.420 0.004 |
| 170 7399328.784 5058468.633 87.630 87.430 -0.200 515 7398622.146 5057724.899 98.420 98.420 0.000 |
| 171 7399397.011 5059211.327 88.049 87.750 -0.299 516 7398858.932 5057892.507 96.129 96.130 0.001 |
| 172 7398878.678 5058643.931 88.652 88.660 0.008 517 7398837.970 5059394.540 86.960 86.960 0.000 |
| 173 7398878.036 5058645.340 88.680 88.670 -0.010 518 7398843.810 5059388.510 86.930 86.930 0.000 |
| 174 7398816.157 5058611.219 89.483 89.480 -0.003 519 7398844.250 5059257.440 86.990 86.990 0.000 |
| 175 7398816.602 5058609.906 89.465 89.460 -0.005 520 7398910.300 5059114.090 87.010 87.010 0.000 |
| 176 7399614.528 5057928.265 87.031 87.030 -0.001 521 7398904.850 5059110.470 87.040 87.040 0.000 |
| 177 7399612.805 5057926.002 87.071 87.070 -0.001 522 7398936.210 5059052.850 87.030 87.030 0.000 |
| 178 7399560.684 5057975.399 86.790 86.790 0.000 523 7398940.900 5059057.410 87.020 87.020 0.000 |
| 179 7399524.160 5058021.244 86.864 86.860 -0.004 524 7398988.380 5058972.960 87.030 87.030 0.000 |
| 180 7399521.897 5058019.572 86.809 86.810 0.001 525 7398982.930 5058969.820 87.070 87.070 0.000 |
| 181 7399009.854 5058856.629 87.482 87.480 -0.002 526 7399057.700 5058837.170 87.370 87.370 0.000 |
| 182 7399009.063 5058858.047 87.528 87.530 0.002 527 7399064.480 5058837.790 87.390 87.390 0.000 |
| 183 7398756.129 5058862.733 87.920 87.920 0.000 528 7399112.670 5058752.810 87.610 87.610 0.000 |
| 184 7398756.849 5058861.313 87.838 87.840 0.002 529 7399232.810 5058525.920 87.760 87.760 0.000 |
| 185 7398692.574 5058825.307 88.580 88.570 -0.010 530 7399235.570 5058533.910 87.770 87.770 0.000 |
| 186 7398691.663 5058826.676 88.568 88.570 0.002 531 7399280.920 5058453.280 87.520 87.520 0.000 |
| 187 7398558.776 5058751.701 90.303 90.300 -0.003 532 7399275.800 5058449.860 87.500 87.500 0.000 |
| 188 7398559.327 5058750.701 90.223 90.220 -0.003 533 7399406.740 5058217.490 86.980 86.980 0.000 |
| 189 7398520.391 5058699.202 90.717 90.720 0.003 534 7399393.690 5058253.600 87.010 87.010 0.000 |
| 190 7398555.245 5058638.894 90.474 90.470 -0.004 535 7399412.140 5058220.770 86.970 86.970 0.000 |
| 191 7398778.520 5058763.348 88.205 88.200 -0.005 536 7399472.520 5058113.480 86.840 86.840 0.000 |
| 192 7398777.275 5058762.696 88.204 88.200 -0.004 537 7399469.170 5058106.870 86.780 86.780 0.000 |
| 193 7398776.167 5058761.969 88.207 88.210 0.003 538 7399500.890 5058063.380 86.740 86.740 0.000 |
| 194 7398743.670 5058820.026 88.156 88.160 0.004 539 7399495.920 5058059.600 86.710 86.710 0.000 |
| 195 7398816.889 5058751.908 87.761 87.760 -0.001 540 7399250.257 5057842.251 96.600 96.600 0.000 |
| 196 7398817.515 5058750.520 87.716 87.730 0.014 541 7399250.552 5057840.321 96.592 96.590 -0.002 |
| 197 7398758.308 5058717.355 88.961 88.960 -0.001 542 7399275.249 5057831.410 95.277 95.280 0.003 |
| 198 7398757.518 5058718.769 89.058 89.060 0.002 543 7399276.852 5057831.450 95.302 95.300 -0.002 |
| 199 7398756.779 5058720.162 89.060 89.060 0.000 544 7399054.497 5057739.533 98.029 98.030 0.001 |
| 200 7398589.473 5058625.147 90.358 90.360 0.002 545 7399089.781 5057726.135 97.320 97.320 0.000 |
| 201 7398589.309 5058626.707 90.381 90.390 0.009 546 7399088.983 5057727.231 97.351 97.340 -0.011 |
| 202 7398556.625 5058604.674 90.619 90.620 0.001 547 7399041.722 5057781.186 96.242 96.230 -0.012 |
| 203 7398555.920 5058605.567 90.646 90.650 0.004 548 7399043.210 5057781.730 96.228 96.240 0.012 |
| 204 7398445.178 5058480.200 93.229 93.230 0.001 549 7399026.017 5057822.959 96.675 95.520 -1.155 |
| 205 7398433.575 5058428.455 94.742 94.740 -0.002 550 7399026.015 5057822.963 95.525 95.520 -0.005 |
| 206 7398432.385 5058427.563 94.788 94.780 -0.008 551 7399074.972 5057815.498 95.866 95.870 0.004 |
| 207 7398431.539 5058426.596 94.825 94.830 0.005 552 7399075.770 5057814.522 95.851 95.850 -0.001 |
| 208 7398944.573 5058967.103 87.195 87.190 -0.005 553 7399221.648 5057912.148 97.773 97.770 -0.003 |
| 209 7398872.667 5059073.264 86.925 86.930 0.005 554 7399220.745 5057913.241 97.811 97.810 -0.001 |
| 210 7398691.218 5058974.054 89.034 89.030 -0.004 555 7399177.139 5057885.565 98.384 98.380 -0.004 |
| 211 7398690.638 5058975.037 89.068 89.060 -0.008 556 7399177.666 5057884.439 98.366 98.360 -0.006 |
| 212 7398465.106 5058851.423 94.370 94.360 -0.010 557 7399178.441 5057883.413 98.346 98.350 0.004 |
| 213 7398465.653 5058850.436 94.284 94.280 -0.004 558 7398825.640 5059343.760 86.710 86.710 0.000 |
| 214 7398493.414 5058747.130 91.447 91.450 0.003 559 7399310.170 5058383.870 87.113 87.110 -0.003 |

| |
|--|
| 215 7398457.165 5058811.015 94.097 94.100 0.003 560 7399570.750 5059400.230 95.300 95.300 0.000 |
| 216 7398458.085 5058811.767 94.081 94.080 -0.001 561 7399598.380 5059416.090 96.760 96.760 0.000 |
| 217 7398428.929 5058852.793 97.174 97.170 -0.004 562 7399687.930 5059462.550 100.190 100.190 0.000 |
| 218 7398427.211 5058850.658 97.182 97.180 -0.002 563 7400100.450 5059136.630 101.250 101.250 0.000 |
| 219 7398334.269 5058908.521 101.701 101.700 -0.001 564 7399827.630 5058990.650 100.890 100.890 0.000 |
| 220 7398346.650 5058934.646 101.644 101.640 -0.004 565 7399605.270 5058923.730 97.956 97.960 0.004 |
| 221 7398384.942 5058970.008 100.553 100.550 -0.003 566 7399579.990 5058965.460 98.862 98.860 -0.002 |
| 222 7398384.317 5058971.078 100.561 100.560 -0.001 567 7399574.780 5059092.130 101.240 101.240 0.000 |
| 223 7398353.981 5058948.171 101.393 101.390 -0.003 568 7399400.900 5058226.000 87.020 87.020 0.000 |
| 224 7398595.787 5059059.135 93.388 93.390 0.002 569 7399574.990 5059248.170 100.920 100.920 0.000 |
| 225 7398596.968 5059059.774 93.394 93.390 -0.004 570 7399424.610 5059229.160 88.150 88.150 0.000 |
| 226 7398598.141 5059060.429 93.431 93.430 -0.001 571 7399258.220 5059129.590 87.076 87.080 0.004 |
| 227 7398676.011 5058924.927 90.248 90.250 0.002 572 7399225.010 5058972.610 86.720 86.720 0.000 |
| 228 7398677.147 5058925.532 90.284 90.270 -0.014 573 7399300.710 5058996.360 86.350 86.350 0.000 |
| 229 7398678.368 5058925.880 90.253 90.250 -0.003 574 7399295.650 5059034.680 86.040 86.040 0.000 |
| 230 7398625.447 5058938.678 90.683 90.680 -0.003 575 7399407.730 5059086.570 87.600 87.600 0.000 |
| 231 7398625.799 5058936.978 90.599 90.600 0.001 576 7399454.670 5059104.820 92.437 92.440 0.003 |
| 232 7398645.884 5058978.624 90.661 90.660 -0.001 577 7399515.370 5059014.210 98.345 98.340 -0.005 |
| 233 7398644.731 5058977.817 90.759 90.750 -0.009 578 7399435.740 5058968.430 86.360 86.360 0.000 |
| 234 7398643.772 5058976.863 90.725 90.720 -0.005 579 7399495.070 5058076.460 86.704 86.700 -0.004 |
| 235 7398617.824 5059102.671 91.227 91.230 0.003 580 7399344.460 5058896.710 87.099 87.100 0.001 |
| 236 7398556.576 5059069.354 94.575 94.570 -0.005 581 7399447.350 5058940.020 86.102 86.100 -0.002 |
| 237 7398557.122 5059068.622 94.597 94.570 -0.027 582 7399475.940 5058911.910 87.455 87.450 -0.005 |
| 238 7398557.818 5059067.061 94.453 94.460 0.007 583 7399531.280 5058884.630 90.392 90.390 -0.002 |
| 239 7398367.492 5058908.911 102.341 102.330 -0.011 584 7399387.000 5058786.940 87.520 87.520 0.000 |
| 240 7398366.339 5058907.636 102.269 102.270 0.001 585 7399443.790 5058670.630 86.790 85.760 -1.030 |
| 241 7398972.023 5058551.501 88.709 88.710 0.001 586 7399496.650 5058570.780 85.930 84.840 -1.090 |
| 242 7398971.407 5058552.883 88.713 88.710 -0.003 587 7399561.510 5058610.410 86.590 85.180 -1.410 |
| 243 7399100.955 5058624.624 87.719 87.720 0.001 588 7399714.470 5058777.000 98.382 98.380 -0.002 |
| 244 7399101.498 5058623.807 87.733 87.740 0.007 589 7399582.380 5057949.040 87.048 87.050 0.002 |
| 245 7399102.041 5058622.745 87.741 87.740 -0.001 590 7399834.790 5058618.950 99.700 99.700 0.000 |
| 246 7399192.084 5058534.530 88.056 88.060 0.004 591 7399894.430 5058547.520 99.543 99.540 -0.003 |
| 247 7399192.719 5058533.360 88.060 88.060 0.000 592 7399999.860 5058603.380 100.410 100.410 0.000 |
| 248 7399193.546 5058531.939 88.035 88.030 -0.005 593 7400319.290 5058296.590 99.510 99.510 0.000 |
| 249 7399029.663 5058442.292 89.882 89.880 -0.002 594 7400152.760 5058205.820 93.028 93.030 0.002 |
| 250 7399028.988 5058443.519 90.000 90.000 0.000 595 7400044.890 5058340.750 98.650 98.650 0.000 |
| 251 7398962.924 5058443.296 91.384 91.380 -0.004 596 7399771.840 5058026.690 86.561 86.560 -0.001 |
| 252 7398964.339 5058443.772 91.448 91.450 0.002 597 7399792.720 5057805.490 87.417 87.420 0.003 |
| 253 7398941.554 5058478.250 90.573 90.560 -0.013 598 7399731.580 5058010.490 86.206 86.210 0.004 |
| 254 7398942.406 5058478.984 90.559 90.560 0.001 599 7399776.690 5058175.920 86.750 86.250 -0.500 |
| 255 7398944.327 5058401.359 93.807 93.810 0.003 600 7399698.220 5058185.040 84.870 84.330 -0.540 |
| 256 7398945.097 5058399.797 93.735 93.730 -0.005 601 7399810.820 5058482.460 90.670 90.670 0.000 |
| 257 7398641.184 5058184.233 99.108 99.110 0.002 602 7399742.710 5058590.250 94.090 94.090 0.000 |
| 258 7398640.365 5058185.162 99.125 99.120 -0.005 603 7399682.900 5058650.200 92.600 92.600 0.000 |
| 259 7398639.570 5058186.280 99.131 99.130 -0.001 604 7399469.770 5058468.180 86.990 86.330 -0.660 |
| 260 7398606.511 5058198.988 98.887 98.890 0.003 605 7399494.940 5058469.400 86.030 85.250 -0.780 |
| 261 7398544.243 5058291.412 99.416 99.420 0.004 606 7400091.130 5057625.870 87.470 87.470 0.000 |
| 262 7398542.814 5058290.716 99.473 99.470 -0.003 607 7399669.850 5058380.940 86.980 85.910 -1.070 |
| 263 7398542.937 5058333.748 99.665 99.660 -0.005 608 7399241.990 5057928.440 97.331 97.330 -0.001 |
| 264 7398542.178 5058334.936 99.758 99.760 0.002 609 7398042.780 5058969.810 101.114 101.110 -0.004 |
| 265 7398541.384 5058336.120 99.693 99.700 0.007 610 7397922.870 5058785.850 104.520 104.520 0.000 |
| 266 7399673.599 5058170.946 85.508 85.510 0.002 611 7397778.880 5058571.740 100.220 100.220 0.000 |

| |
|---|
| 267 7399565.020 5058113.785 85.682 85.680 -0.002 612 7399858.780 5057496.670 95.410 95.410 0.000 |
| 268 7399533.635 5058067.078 86.162 86.160 -0.002 613 7399439.770 5057427.580 97.740 97.740 0.000 |
| 269 7399533.091 5058065.707 86.188 86.190 0.002 614 7398843.460 5059228.410 87.264 87.260 -0.004 |
| 270 7399715.428 5058015.344 86.729 86.730 0.001 615 7399163.960 5057409.270 98.052 98.050 -0.002 |
| 271 7399716.025 5058016.705 86.679 86.680 0.001 616 7399243.000 5057674.920 95.674 95.670 -0.004 |
| 272 7399740.778 5058013.352 86.128 86.130 0.002 617 7399429.370 5057940.700 89.420 89.430 0.010 |
| 273 7399739.934 5058014.680 86.157 86.160 0.003 618 7399274.510 5057856.050 95.750 95.750 0.000 |
| 274 7399739.332 5058016.046 86.114 86.110 -0.004 619 7399293.280 5057897.290 94.250 94.250 0.000 |
| 275 7399771.795 5058058.563 86.299 86.300 0.001 620 7399280.770 5057953.860 91.435 91.430 -0.005 |
| 276 7399761.649 5058023.065 86.340 86.340 0.000 621 7399176.060 5057882.090 98.338 98.340 0.002 |
| 277 7399760.967 5058024.428 86.355 86.360 0.005 622 7399069.710 5058043.320 97.340 97.340 0.000 |
| 278 7399803.060 5058043.683 86.855 86.850 -0.005 623 7399154.890 5058073.030 98.089 98.090 0.001 |
| 279 7399802.499 5058045.075 86.829 86.830 0.001 624 7399162.460 5058096.110 96.510 96.510 0.000 |
| 280 7399771.920 5058058.317 86.280 86.290 0.010 625 7398903.840 5058151.250 97.700 97.700 0.000 |
| 281 7399773.312 5058058.332 86.347 86.350 0.003 626 7399032.820 5058234.870 97.670 97.670 0.000 |
| 282 7399774.280 5058058.407 86.343 86.340 -0.003 627 7399070.000 5058239.260 96.852 96.850 -0.002 |
| 283 7400130.800 5058194.088 92.428 92.430 0.002 628 7399158.870 5058292.220 87.750 87.750 0.000 |
| 284 7400131.413 5058192.704 92.405 92.410 0.005 629 7398879.660 5058361.280 97.892 97.890 -0.002 |
| 285 7400179.450 5058217.038 93.890 93.890 0.000 630 7398981.130 5058418.420 91.984 91.980 -0.004 |
| 286 7400178.534 5058218.441 94.880 93.870 -1.010 631 7398918.930 5058525.330 89.580 89.580 0.000 |
| 287 7400296.690 5058284.699 99.142 99.130 -0.012 632 7398857.690 5058628.310 88.940 88.940 0.000 |
| 288 7400295.964 5058285.868 99.183 99.180 -0.003 633 7398793.240 5058741.400 88.048 88.050 0.002 |
| 289 7400338.368 5058307.904 99.459 99.460 0.001 634 7398732.020 5058844.590 87.875 87.870 -0.005 |
| 290 7400337.554 5058309.124 99.516 99.520 0.004 635 7398657.520 5058953.930 90.141 90.140 -0.001 |
| 291 7400029.689 5058360.966 99.094 99.090 -0.004 636 7398584.900 5059085.470 93.450 93.450 0.000 |
| 292 7400062.435 5058323.017 98.142 98.140 -0.002 637 7398363.110 5058958.390 101.246 101.250 0.004 |
| 293 7400060.933 5058322.181 98.168 98.210 0.042 638 7398346.620 5058924.880 101.749 101.750 0.001 |
| 294 7400059.771 5058321.448 98.162 98.160 -0.002 639 7398385.080 5058893.290 101.550 101.550 0.000 |
| 295 7400032.681 5058361.959 99.102 99.100 -0.002 640 7398441.350 5058835.620 95.520 95.520 0.000 |
| 296 7400030.203 5058360.255 99.100 99.100 0.000 641 7398507.240 5058725.870 91.050 91.050 0.000 |
| 297 7399736.218 5058749.878 98.917 98.920 0.003 642 7398565.150 5058614.640 90.510 90.510 0.000 |
| 298 7399201.027 5058677.349 87.564 87.560 -0.004 643 7398467.060 5058508.790 92.390 92.390 0.000 |
| 299 7399199.507 5058680.159 87.574 87.570 -0.004 644 7398578.720 5058521.080 91.730 91.730 0.000 |
| 300 7399382.993 5058796.748 87.594 87.590 -0.004 645 7398632.630 5058505.830 91.310 91.310 0.000 |
| 301 7399371.955 5058776.209 87.437 87.440 0.003 646 7398678.910 5058534.770 90.880 90.880 0.000 |
| 302 7399384.306 5058796.824 87.675 87.670 -0.005 647 7398713.240 5058458.820 93.460 93.460 0.000 |
| 303 7399358.549 5058858.971 87.546 87.550 0.004 648 7398649.000 5058410.450 97.070 97.070 0.000 |
| 304 7399357.018 5058854.812 87.675 87.670 -0.005 649 7398518.480 5058317.720 99.245 99.240 -0.005 |
| 305 7399358.070 5058855.729 87.667 87.650 -0.017 650 7398424.360 5058442.330 94.310 94.310 0.000 |
| 306 7399399.982 5058767.435 87.453 87.450 -0.003 651 7398277.250 5058660.650 96.240 96.240 0.000 |
| 307 7399398.683 5058766.809 87.469 87.470 0.001 652 7398266.680 5058857.790 102.479 102.480 0.001 |
| 308 7399397.127 5058766.172 87.410 87.410 0.000 653 7398177.510 5058786.160 100.537 100.540 0.003 |
| 309 7399431.882 5058698.606 86.956 86.960 0.004 654 7399095.220 5058767.350 87.559 87.560 0.001 |
| 310 7399447.161 5058658.973 86.590 85.590 -1.000 655 7398085.570 5058702.140 101.621 101.620 -0.001 |
| 311 7399448.385 5058659.541 86.656 85.710 -0.946 656 7398001.010 5058627.440 101.885 101.880 -0.005 |
| 312 7399426.828 5058662.868 86.704 85.810 -0.894 657 7398167.260 5058595.330 99.430 99.430 0.000 |
| 313 7399427.617 5058661.214 86.661 85.750 -0.911 658 7398147.470 5058403.900 98.652 98.650 -0.002 |
| 314 7399253.677 5058566.808 87.695 87.700 0.005 659 7398346.660 5058340.330 95.710 95.710 0.000 |
| 315 7399254.488 5058565.495 87.651 87.650 -0.001 660 7398258.280 5058249.870 98.387 98.390 0.003 |
| 316 7399345.050 5058400.715 86.799 86.680 -0.119 661 7398284.710 5058259.310 98.131 98.130 -0.001 |
| 317 7399437.906 5058450.317 87.201 86.650 -0.551 662 7398330.210 5058185.910 97.899 97.900 0.001 |
| 318 7399437.142 5058451.317 87.215 86.620 -0.595 663 7398434.460 5058042.100 97.858 97.860 0.002 |

| | | | | | | | | | | | |
|-----|-------------|-------------|--------|--------|--------|-----|-------------|-------------|---------|---------|--------|
| 319 | 7399436.180 | 5058452.379 | 87.181 | 86.620 | -0.561 | 664 | 7399160.430 | 5058652.980 | 87.653 | 87.650 | -0.003 |
| 320 | 7399441.011 | 5058251.414 | 86.590 | 86.460 | -0.130 | 665 | 7398627.960 | 5058173.280 | 99.127 | 99.130 | 0.003 |
| 321 | 7399440.649 | 5058252.569 | 86.541 | 86.380 | -0.161 | 666 | 7397909.490 | 5058377.590 | 99.780 | 99.780 | 0.000 |
| 322 | 7399656.260 | 5058370.309 | 86.803 | 85.800 | -1.003 | 667 | 7398143.500 | 5058055.340 | 97.810 | 97.810 | 0.000 |
| 323 | 7399699.856 | 5058391.589 | 86.821 | 85.570 | -1.251 | 668 | 7397948.760 | 5057920.020 | 100.150 | 100.150 | 0.000 |
| 324 | 7399358.193 | 5058203.789 | 87.053 | 87.050 | -0.003 | 669 | 7398136.770 | 5057659.850 | 99.300 | 99.300 | 0.000 |
| 325 | 7399357.756 | 5058204.950 | 87.055 | 87.050 | -0.005 | 670 | 7398403.550 | 5057565.070 | 98.460 | 98.460 | 0.000 |
| 326 | 7399356.954 | 5058206.469 | 87.070 | 87.070 | 0.000 | 671 | 7398618.990 | 5057721.940 | 98.319 | 98.320 | 0.001 |
| 327 | 7399229.442 | 5058136.574 | 89.311 | 89.310 | -0.001 | 672 | 7398567.990 | 5057953.250 | 99.280 | 99.280 | 0.000 |
| 328 | 7399229.550 | 5058133.435 | 89.455 | 89.450 | -0.005 | 673 | 7398708.830 | 5058052.920 | 98.720 | 98.500 | -0.220 |
| 329 | 7399151.683 | 5058101.074 | 97.764 | 97.760 | -0.004 | 674 | 7399220.510 | 5058545.440 | 87.690 | 87.690 | 0.000 |
| 330 | 7399152.745 | 5058101.809 | 97.792 | 97.790 | -0.002 | 675 | 7398731.820 | 5058022.230 | 98.410 | 98.410 | 0.000 |
| 331 | 7399075.672 | 5058227.377 | 97.023 | 97.020 | -0.003 | 676 | 7398797.940 | 5057846.680 | 97.534 | 97.530 | -0.004 |
| 332 | 7399076.946 | 5058228.644 | 97.014 | 97.010 | -0.004 | 677 | 7398998.650 | 5057859.250 | 95.431 | 95.430 | -0.001 |
| 333 | 7399055.011 | 5058260.855 | 96.400 | 96.400 | 0.000 | 678 | 7399038.820 | 5057793.240 | 95.758 | 95.760 | 0.002 |
| 334 | 7399057.174 | 5058263.127 | 96.373 | 96.370 | -0.003 | 679 | 7399067.890 | 5057714.650 | 98.060 | 98.060 | 0.000 |
| 335 | 7399041.997 | 5058288.427 | 95.647 | 95.650 | 0.003 | 680 | 7398701.550 | 5057475.430 | 98.530 | 98.530 | 0.000 |
| 336 | 7399043.365 | 5058289.184 | 95.631 | 95.630 | -0.001 | 681 | 7399280.340 | 5058438.450 | 87.479 | 87.480 | 0.001 |
| 337 | 7399023.601 | 5058324.454 | 94.617 | 94.620 | 0.003 | 682 | 7398929.320 | 5059264.920 | 86.280 | 86.280 | 0.000 |
| 338 | 7399026.255 | 5058326.026 | 94.637 | 94.640 | 0.003 | 683 | 7399124.110 | 5059366.800 | 87.250 | 87.250 | 0.000 |
| 339 | 7398994.242 | 5058391.083 | 92.701 | 92.690 | -0.011 | 684 | 7399124.410 | 5059226.430 | 86.380 | 86.380 | 0.000 |
| 340 | 7398992.816 | 5058390.435 | 92.703 | 92.700 | -0.003 | 685 | 7399262.310 | 5059299.990 | 86.880 | 86.880 | 0.000 |
| 341 | 7399032.532 | 5058329.770 | 93.304 | 93.300 | -0.004 | 686 | 7399359.510 | 5059373.780 | 87.100 | 87.100 | 0.000 |
| 342 | 7399049.146 | 5058314.954 | 92.890 | 90.220 | -2.670 | 687 | 7399450.420 | 5059363.800 | 88.524 | 88.520 | -0.004 |
| 343 | 7399258.047 | 5058426.793 | 87.534 | 87.540 | 0.006 | 688 | 7399477.350 | 5059480.500 | 89.470 | 89.470 | 0.000 |
| 344 | 7399256.851 | 5058429.580 | 87.473 | 87.470 | -0.003 | 689 | 7399481.350 | 5059546.280 | 87.970 | 87.970 | 0.000 |
| 345 | 7399274.318 | 5058359.872 | 87.058 | 87.060 | 0.002 | 690 | 7399595.210 | 5059477.410 | 95.160 | 95.160 | 0.000 |

TABELA 10.7: Očitane Z vrednosti koordinata kontrolnih tačaka i kontrolnih profila izabranih za kalibraciju na UAVMmCPP modelu

| Br.T. | Yt | Xt | Zt | ZMo | dZ | Br.T. | Yt | Xt | Zt | ZMo | dZ |
|-------|-------------|-------------|--------|--------|--------|-------|-------------|-------------|--------|--------|--------|
| 1 | 7399009.456 | 5058522.206 | 99.579 | 99.580 | 0.001 | 169 | 7399398.683 | 5058766.809 | 87.469 | 87.460 | -0.009 |
| 2 | 7399910.915 | 5058523.415 | 99.599 | 99.600 | 0.001 | 170 | 7399397.127 | 5058766.172 | 87.410 | 87.420 | 0.010 |
| 3 | 7399882.960 | 5058559.798 | 99.444 | 99.440 | -0.004 | 171 | 7399253.677 | 5058566.808 | 87.695 | 87.700 | 0.005 |
| 4 | 7399854.903 | 5058598.531 | 99.530 | 99.530 | 0.000 | 172 | 7399254.488 | 5058565.495 | 87.651 | 87.650 | -0.001 |
| 5 | 7399823.396 | 5058639.495 | 99.927 | 99.930 | 0.003 | 173 | 7399345.050 | 5058400.715 | 86.799 | 86.800 | 0.001 |
| 6 | 7399822.063 | 5058638.551 | 99.909 | 99.910 | 0.001 | 174 | 7399441.011 | 5058251.414 | 86.590 | 86.590 | 0.000 |
| 7 | 7399820.925 | 5058637.749 | 99.883 | 99.880 | -0.003 | 175 | 7399440.649 | 5058252.569 | 86.541 | 86.540 | -0.001 |
| 8 | 7399706.897 | 5058764.556 | 96.942 | 96.940 | -0.002 | 176 | 7399357.756 | 5058204.950 | 87.055 | 87.060 | 0.005 |
| 9 | 7399705.321 | 5058767.777 | 97.035 | 97.040 | 0.005 | 177 | 7399356.954 | 5058206.469 | 87.070 | 87.070 | 0.000 |
| 10 | 7399706.159 | 5058791.949 | 98.437 | 98.440 | 0.003 | 178 | 7399151.683 | 5058101.074 | 97.764 | 97.760 | -0.004 |
| 11 | 7399704.711 | 5058791.093 | 98.385 | 98.390 | 0.005 | 179 | 7399152.745 | 5058101.809 | 97.792 | 97.790 | -0.002 |
| 12 | 7399646.702 | 5058867.742 | 98.111 | 98.110 | -0.001 | 180 | 7399075.672 | 5058227.377 | 97.023 | 97.020 | -0.003 |
| 13 | 7399647.921 | 5058868.456 | 98.137 | 98.140 | 0.003 | 181 | 7399076.946 | 5058228.644 | 97.014 | 97.010 | -0.004 |
| 14 | 7399649.194 | 5058869.416 | 98.113 | 98.110 | -0.003 | 182 | 7399055.011 | 5058260.855 | 96.400 | 96.400 | 0.000 |
| 15 | 7399684.781 | 5058910.300 | 98.551 | 98.550 | -0.001 | 183 | 7399057.174 | 5058263.127 | 96.373 | 96.370 | -0.003 |
| 16 | 7399683.997 | 5058911.572 | 98.544 | 98.540 | -0.004 | 184 | 7399041.997 | 5058288.427 | 95.647 | 95.650 | 0.003 |
| 17 | 7399619.652 | 5058905.463 | 97.982 | 97.980 | -0.002 | 185 | 7399043.365 | 5058289.184 | 95.631 | 95.630 | -0.001 |
| 18 | 7399620.956 | 5058906.242 | 97.981 | 97.980 | -0.001 | 186 | 7399023.601 | 5058324.454 | 94.617 | 94.620 | 0.003 |
| 19 | 7399592.656 | 5058943.823 | 98.260 | 98.260 | 0.000 | 187 | 7399026.255 | 5058326.026 | 94.637 | 94.640 | 0.003 |
| 20 | 7399594.035 | 5058944.708 | 98.283 | 98.280 | -0.003 | 188 | 7398994.242 | 5058391.083 | 92.701 | 92.700 | -0.001 |

| | | | | | | | | | | | |
|----|-------------|-------------|--------|--------|--------|-----|-------------|-------------|--------|--------|--------|
| 21 | 7399578.031 | 5058982.019 | 99.433 | 99.430 | -0.003 | 189 | 7398992.816 | 5058390.435 | 92.703 | 92.700 | -0.003 |
| 22 | 7399579.344 | 5058982.047 | 99.425 | 99.430 | 0.005 | 190 | 7399032.532 | 5058329.770 | 93.304 | 93.300 | -0.004 |
| 23 | 7399569.240 | 5058968.471 | 98.985 | 98.990 | 0.005 | 191 | 7399258.047 | 5058426.793 | 87.534 | 87.530 | -0.004 |
| 24 | 7399570.012 | 5058969.724 | 99.051 | 99.050 | -0.001 | 192 | 7399256.851 | 5058429.580 | 87.473 | 87.470 | -0.003 |
| 25 | 7399570.744 | 5058971.020 | 99.071 | 99.070 | -0.001 | 193 | 7399274.318 | 5058359.872 | 87.058 | 87.080 | 0.022 |
| 26 | 7399073.870 | 5058752.603 | 87.696 | 87.700 | 0.004 | 194 | 7399272.900 | 5058360.377 | 87.087 | 87.090 | 0.003 |
| 27 | 7398816.344 | 5058697.263 | 88.312 | 88.310 | -0.002 | 195 | 7399171.554 | 5058061.678 | 97.918 | 97.920 | 0.002 |
| 28 | 7398815.163 | 5058696.512 | 88.334 | 88.330 | -0.004 | 196 | 7399167.565 | 5058059.905 | 98.136 | 98.140 | 0.004 |
| 29 | 7398866.460 | 5058609.206 | 89.144 | 89.140 | -0.004 | 197 | 7399447.891 | 5058045.829 | 87.132 | 87.130 | -0.002 |
| 30 | 7398864.919 | 5058608.558 | 89.143 | 89.140 | -0.003 | 198 | 7399447.230 | 5058047.206 | 87.109 | 87.110 | 0.001 |
| 31 | 7398900.917 | 5058548.441 | 89.635 | 89.640 | 0.005 | 199 | 7399446.567 | 5058048.466 | 87.116 | 87.120 | 0.004 |
| 32 | 7398899.491 | 5058547.696 | 89.670 | 89.670 | 0.000 | 200 | 7399481.433 | 5058005.430 | 87.536 | 87.540 | 0.004 |
| 33 | 7399440.975 | 5059369.210 | 88.272 | 88.270 | -0.002 | 201 | 7399144.970 | 5058074.554 | 98.398 | 98.400 | 0.002 |
| 34 | 7399440.718 | 5059367.707 | 88.261 | 88.260 | -0.001 | 202 | 7399145.613 | 5058073.376 | 98.448 | 98.450 | 0.002 |
| 35 | 7399458.104 | 5059391.358 | 88.945 | 88.940 | -0.005 | 203 | 7399047.709 | 5058024.003 | 97.060 | 97.060 | 0.000 |
| 36 | 7399476.518 | 5059372.250 | 89.884 | 89.880 | -0.004 | 204 | 7399046.956 | 5058025.113 | 97.152 | 97.150 | -0.002 |
| 37 | 7399444.018 | 5059343.738 | 88.847 | 88.850 | 0.003 | 205 | 7398861.679 | 5057865.084 | 95.827 | 95.830 | 0.003 |
| 38 | 7399445.538 | 5059343.397 | 88.860 | 88.860 | 0.000 | 206 | 7398860.351 | 5057862.396 | 95.876 | 95.880 | 0.004 |
| 39 | 7399424.025 | 5059247.872 | 88.092 | 88.090 | -0.002 | 207 | 7398827.036 | 5057886.572 | 96.062 | 96.060 | -0.002 |
| 40 | 7399425.303 | 5059247.564 | 88.161 | 88.160 | -0.001 | 208 | 7398825.981 | 5057885.823 | 96.132 | 96.130 | -0.002 |
| 41 | 7399396.510 | 5059211.142 | 87.747 | 87.750 | 0.003 | 209 | 7399298.780 | 5059008.238 | 86.230 | 86.230 | 0.000 |
| 42 | 7399432.753 | 5059211.856 | 88.346 | 88.350 | 0.004 | 210 | 7399297.344 | 5059008.072 | 86.242 | 86.240 | -0.002 |
| 43 | 7399431.277 | 5059211.632 | 88.308 | 88.300 | -0.008 | 211 | 7399295.899 | 5059008.018 | 86.221 | 86.220 | -0.001 |
| 44 | 7399429.822 | 5059211.259 | 88.230 | 88.230 | 0.000 | 212 | 7398116.562 | 5058035.994 | 97.573 | 97.570 | -0.003 |
| 45 | 7399428.312 | 5059247.091 | 88.204 | 88.200 | -0.004 | 213 | 7398115.874 | 5058037.035 | 97.629 | 97.630 | 0.001 |
| 46 | 7399426.550 | 5059247.354 | 88.205 | 88.210 | 0.005 | 214 | 7398115.207 | 5058038.020 | 97.636 | 97.640 | 0.004 |
| 47 | 7399450.702 | 5059118.996 | 91.836 | 91.840 | 0.004 | 215 | 7398336.662 | 5058184.587 | 97.827 | 97.830 | 0.003 |
| 48 | 7399452.429 | 5059119.500 | 91.860 | 91.860 | 0.000 | 216 | 7398339.439 | 5058191.301 | 97.827 | 97.830 | 0.003 |
| 49 | 7399462.406 | 5059098.158 | 93.082 | 93.080 | -0.002 | 217 | 7398338.888 | 5058194.600 | 97.839 | 97.840 | 0.001 |
| 50 | 7399459.895 | 5059096.368 | 92.990 | 92.990 | 0.000 | 218 | 7398181.358 | 5058083.331 | 97.802 | 97.800 | -0.002 |
| 51 | 7399461.189 | 5059097.131 | 93.068 | 93.070 | 0.002 | 219 | 7398334.472 | 5058182.133 | 97.855 | 97.860 | 0.005 |
| 52 | 7399508.838 | 5059023.360 | 97.741 | 97.740 | -0.001 | 220 | 7398180.333 | 5058084.666 | 97.885 | 97.890 | 0.005 |
| 53 | 7399510.103 | 5059024.336 | 97.763 | 97.760 | -0.003 | 221 | 7398298.041 | 5058167.353 | 98.279 | 98.280 | 0.001 |
| 54 | 7399526.151 | 5059004.883 | 98.916 | 98.920 | 0.004 | 222 | 7398297.021 | 5058168.447 | 98.301 | 98.300 | -0.001 |
| 55 | 7399527.268 | 5059005.971 | 98.943 | 98.940 | -0.003 | 223 | 7398495.266 | 5058302.430 | 99.391 | 99.390 | -0.001 |
| 56 | 7399509.535 | 5059006.354 | 98.498 | 98.500 | 0.002 | 224 | 7397970.154 | 5057934.278 | 99.905 | 99.910 | 0.005 |
| 57 | 7399268.145 | 5058982.998 | 85.981 | 85.980 | -0.001 | 225 | 7397971.084 | 5057932.841 | 99.911 | 99.910 | -0.001 |
| 58 | 7399321.704 | 5059046.687 | 86.251 | 86.250 | -0.001 | 226 | 7399233.795 | 5057941.702 | 97.592 | 97.590 | -0.002 |
| 59 | 7399322.603 | 5059045.517 | 86.208 | 86.210 | 0.002 | 227 | 7399252.801 | 5057903.807 | 96.622 | 96.620 | -0.002 |
| 60 | 7399311.539 | 5058971.869 | 86.196 | 86.200 | 0.004 | 228 | 7398802.792 | 5057850.320 | 97.250 | 97.250 | 0.000 |
| 61 | 7399267.832 | 5058984.503 | 86.079 | 86.080 | 0.001 | 229 | 7398800.876 | 5057852.640 | 97.282 | 97.280 | -0.002 |
| 62 | 7399310.167 | 5058971.005 | 86.135 | 86.140 | 0.005 | 230 | 7398756.006 | 5057820.485 | 98.612 | 98.610 | -0.002 |
| 63 | 7399025.090 | 5059009.998 | 86.948 | 86.950 | 0.002 | 231 | 7398757.269 | 5057819.753 | 98.623 | 98.620 | -0.003 |
| 64 | 7399022.980 | 5059010.527 | 87.034 | 87.030 | -0.004 | 232 | 7398686.578 | 5057768.487 | 98.971 | 98.970 | -0.001 |
| 65 | 7399080.571 | 5058894.184 | 87.156 | 87.160 | 0.004 | 233 | 7398685.649 | 5057769.669 | 98.975 | 98.970 | -0.005 |
| 66 | 7399200.462 | 5058958.395 | 87.085 | 87.090 | 0.005 | 234 | 7398622.851 | 5057723.726 | 98.416 | 98.420 | 0.004 |
| 67 | 7399314.742 | 5058885.062 | 87.023 | 87.020 | -0.003 | 235 | 7398622.146 | 5057724.899 | 98.420 | 98.420 | 0.000 |
| 68 | 7399078.694 | 5058894.985 | 87.185 | 87.190 | 0.005 | 236 | 7398858.932 | 5057892.507 | 96.129 | 96.130 | 0.001 |
| 69 | 7399337.961 | 5058915.116 | 87.182 | 87.180 | -0.002 | 237 | 7398837.970 | 5059394.540 | 86.960 | 86.960 | 0.000 |
| 70 | 7399133.384 | 5058784.742 | 87.207 | 87.210 | 0.003 | 238 | 7398843.810 | 5059388.510 | 86.930 | 86.930 | 0.000 |
| 71 | 7399132.724 | 5058785.899 | 87.187 | 87.190 | 0.003 | 239 | 7398844.250 | 5059257.440 | 86.990 | 86.990 | 0.000 |
| 72 | 7399327.853 | 5058469.886 | 87.670 | 87.670 | 0.000 | 240 | 7398910.300 | 5059114.090 | 87.010 | 87.010 | 0.000 |

| |
|---|
| 73 7399328.784 5058468.633 87.630 87.630 0.000 241 7398904.850 5059110.470 87.040 87.040 0.000 |
| 74 7398878.678 5058643.931 88.652 88.650 -0.002 242 7398940.900 5059057.410 87.020 87.020 0.000 |
| 75 7398878.036 5058645.340 88.680 88.680 0.000 243 7398988.380 5058972.960 87.030 87.030 0.000 |
| 76 7398816.157 5058611.219 89.483 89.480 -0.003 244 7398982.930 5058969.820 87.070 87.070 0.000 |
| 77 7398816.602 5058609.906 89.465 89.470 0.005 245 7399057.700 5058837.170 87.370 87.370 0.000 |
| 78 7399614.528 5057928.265 87.031 87.030 -0.001 246 7399064.480 5058837.790 87.390 87.390 0.000 |
| 79 7399612.805 5057926.002 87.071 87.070 -0.001 247 7399112.670 5058752.810 87.610 87.610 0.000 |
| 80 7399560.684 5057975.399 86.790 86.790 0.000 248 7399232.810 5058525.920 87.760 87.760 0.000 |
| 81 7399524.160 5058021.244 86.864 86.860 -0.004 249 7399235.570 5058533.910 87.770 87.770 0.000 |
| 82 7399521.897 5058019.572 86.809 86.810 0.001 250 7399280.920 5058453.280 87.520 87.520 0.000 |
| 83 7399009.854 5058856.629 87.482 87.480 -0.002 251 7399275.800 5058449.860 87.500 87.500 0.000 |
| 84 7399009.063 5058858.047 87.528 87.530 0.002 252 7399406.740 5058217.490 86.980 86.980 0.000 |
| 85 7398756.129 5058862.733 87.920 87.920 0.000 253 7399393.690 5058253.600 87.010 87.010 0.000 |
| 86 7398756.849 5058861.313 87.838 87.840 0.002 254 7399412.140 5058220.770 86.970 86.970 0.000 |
| 87 7398692.574 5058825.307 88.580 88.580 0.000 255 7399472.520 5058113.480 86.840 86.840 0.000 |
| 88 7398691.663 5058826.676 88.568 88.570 0.002 256 7399469.170 5058106.870 86.780 86.780 0.000 |
| 89 7398558.776 5058751.701 90.303 90.300 -0.003 257 7399500.890 5058063.380 86.740 86.740 0.000 |
| 90 7398559.327 5058750.701 90.223 90.220 -0.003 258 7399495.920 5058059.600 86.710 86.710 0.000 |
| 91 7398520.391 5058699.202 90.717 90.720 0.003 259 7399250.257 5057842.251 96.600 96.600 0.000 |
| 92 7398555.245 5058638.894 90.474 90.470 -0.004 260 7399250.552 5057840.321 96.592 96.590 -0.002 |
| 93 7398778.520 5058763.348 88.205 88.210 0.005 261 7399275.249 5057831.410 95.277 95.280 0.003 |
| 94 7398777.275 5058762.696 88.204 88.200 -0.004 262 7399276.852 5057831.450 95.302 95.300 -0.002 |
| 95 7398776.167 5058761.969 88.207 88.210 0.003 263 7399221.648 5057912.148 97.773 97.780 0.007 |
| 96 7398743.670 5058820.026 88.156 88.160 0.004 264 7399220.745 5057913.241 97.811 97.810 -0.001 |
| 97 7398816.889 5058751.908 87.761 87.760 -0.001 265 7399310.170 5058383.870 87.113 87.110 -0.003 |
| 98 7398817.515 5058750.520 87.716 87.720 0.004 266 7400100.450 5059136.630 101.250 101.250 0.000 |
| 99 7398758.308 5058717.355 88.961 88.960 -0.001 267 7399827.630 5058990.650 100.890 100.890 0.000 |
| 100 7398757.518 5058718.769 89.058 89.060 0.002 268 7399605.270 5058923.730 97.956 97.960 0.004 |
| 101 7398756.779 5058720.162 89.060 89.060 0.000 269 7399579.990 5058965.460 98.862 98.860 -0.002 |
| 102 7398589.473 5058625.147 90.358 90.360 0.002 270 7399400.900 5058226.000 87.020 87.020 0.000 |
| 103 7398589.309 5058626.707 90.381 90.380 -0.001 271 7399424.610 5059229.160 88.150 88.150 0.000 |
| 104 7398944.573 5058967.103 87.195 87.200 0.005 272 7399225.010 5058972.610 86.720 86.720 0.000 |
| 105 7398872.667 5059073.264 86.925 86.930 0.005 273 7399300.710 5058996.360 86.350 86.350 0.000 |
| 106 7398691.218 5058974.054 89.034 89.030 -0.004 274 7399295.650 5059034.680 86.040 86.040 0.000 |
| 107 7398690.638 5058975.037 89.068 89.070 0.002 275 7399454.670 5059104.820 92.437 92.440 0.003 |
| 108 7398465.106 5058851.423 94.370 94.370 0.000 276 7399515.370 5059014.210 98.345 98.350 0.005 |
| 109 7398465.653 5058850.436 94.284 94.280 -0.004 277 7399495.070 5058076.460 86.704 86.700 -0.004 |
| 110 7398428.929 5058852.793 97.174 97.170 -0.004 278 7399344.460 5058896.710 87.099 87.100 0.001 |
| 111 7398427.211 5058850.658 97.182 97.180 -0.002 279 7399387.000 5058786.940 87.520 87.520 0.000 |
| 112 7398595.787 5059059.135 93.388 93.390 0.002 280 7399443.790 5058670.630 86.790 86.790 0.000 |
| 113 7398596.968 5059059.774 93.394 93.390 -0.004 281 7399496.650 5058570.780 85.930 85.930 0.000 |
| 114 7398598.141 5059060.429 93.431 93.430 -0.001 282 7399561.510 5058610.410 86.590 86.590 0.000 |
| 115 7398676.011 5058924.927 90.248 90.250 0.002 283 7399714.470 5058777.000 98.382 98.380 -0.002 |
| 116 7398677.147 5058925.532 90.284 90.280 -0.004 284 7399582.380 5057949.040 87.048 87.050 0.002 |
| 117 7398678.368 5058925.880 90.253 90.250 -0.003 285 7399834.790 5058618.950 99.700 99.700 0.000 |
| 118 7398625.447 5058938.678 90.683 90.680 -0.003 286 7399894.430 5058547.520 99.543 99.540 -0.003 |
| 119 7398625.799 5058936.978 90.599 90.600 0.001 287 7399999.860 5058603.380 100.410 100.410 0.000 |
| 120 7398645.884 5058978.624 90.661 90.660 -0.001 288 7400319.290 5058296.590 99.510 99.510 0.000 |
| 121 7398644.731 5058977.817 90.759 90.760 0.001 289 7400152.760 5058205.820 93.028 93.030 0.002 |
| 122 7398643.772 5058976.863 90.725 90.730 0.005 290 7400044.890 5058340.750 98.650 98.650 0.000 |
| 123 7398972.023 5058551.501 88.709 88.710 0.001 291 7399771.840 5058026.690 86.561 86.560 -0.001 |
| 124 7398971.407 5058552.883 88.713 88.710 -0.003 292 7399792.720 5057805.490 87.417 87.420 0.003 |

| | | | | | | | | | | | |
|-----|-------------|-------------|--------|--------|--------|-----|-------------|-------------|---------|---------|--------|
| 125 | 7399100.955 | 5058624.624 | 87.719 | 87.720 | 0.001 | 293 | 7399731.580 | 5058010.490 | 86.206 | 86.210 | 0.004 |
| 126 | 7399101.498 | 5058623.807 | 87.733 | 87.730 | -0.003 | 294 | 7400091.130 | 5057625.870 | 87.470 | 87.470 | 0.000 |
| 127 | 7399102.041 | 5058622.745 | 87.741 | 87.740 | -0.001 | 295 | 7399241.990 | 5057928.440 | 97.331 | 97.330 | -0.001 |
| 128 | 7399192.084 | 5058534.530 | 88.056 | 88.060 | 0.004 | 296 | 7398843.460 | 5059228.410 | 87.264 | 87.260 | -0.004 |
| 129 | 7399192.719 | 5058533.360 | 88.060 | 88.060 | 0.000 | 297 | 7399163.960 | 5057409.270 | 98.052 | 98.050 | -0.002 |
| 130 | 7399193.546 | 5058531.939 | 88.035 | 88.030 | -0.005 | 298 | 7399243.000 | 5057674.920 | 95.674 | 95.670 | -0.004 |
| 131 | 7398962.924 | 5058443.296 | 91.384 | 91.380 | -0.004 | 299 | 7399274.510 | 5057856.050 | 95.750 | 95.750 | 0.000 |
| 132 | 7398964.339 | 5058443.772 | 91.448 | 91.450 | 0.002 | 300 | 7399069.710 | 5058043.320 | 97.340 | 97.340 | 0.000 |
| 133 | 7398941.554 | 5058478.250 | 90.573 | 90.570 | -0.003 | 301 | 7399154.890 | 5058073.030 | 98.089 | 98.090 | 0.001 |
| 134 | 7398942.406 | 5058478.984 | 90.559 | 90.560 | 0.001 | 302 | 7399162.460 | 5058096.110 | 96.510 | 96.510 | 0.000 |
| 135 | 7398944.327 | 5058401.359 | 93.807 | 93.800 | -0.007 | 303 | 7399032.820 | 5058234.870 | 97.670 | 97.670 | 0.000 |
| 136 | 7398945.097 | 5058399.797 | 93.735 | 93.740 | 0.005 | 304 | 7399070.000 | 5058239.260 | 96.852 | 96.850 | -0.002 |
| 137 | 7398544.243 | 5058291.412 | 99.416 | 99.420 | 0.004 | 305 | 7398981.130 | 5058418.420 | 91.984 | 91.980 | -0.004 |
| 138 | 7398542.814 | 5058290.716 | 99.473 | 99.470 | -0.003 | 306 | 7398918.930 | 5058525.330 | 89.580 | 89.580 | 0.000 |
| 139 | 7398542.937 | 5058333.748 | 99.665 | 99.670 | 0.005 | 307 | 7398857.690 | 5058628.310 | 88.940 | 88.940 | 0.000 |
| 140 | 7398542.178 | 5058334.936 | 99.758 | 99.760 | 0.002 | 308 | 7398793.240 | 5058741.400 | 88.048 | 88.050 | 0.002 |
| 141 | 7398541.384 | 5058336.120 | 99.693 | 99.690 | -0.003 | 309 | 7398732.020 | 5058844.590 | 87.875 | 87.880 | 0.005 |
| 142 | 7399715.428 | 5058015.344 | 86.729 | 86.730 | 0.001 | 310 | 7398657.520 | 5058953.930 | 90.141 | 90.140 | -0.001 |
| 143 | 7399716.025 | 5058016.705 | 86.679 | 86.680 | 0.001 | 311 | 7398584.900 | 5059085.470 | 93.450 | 93.450 | 0.000 |
| 144 | 7399740.778 | 5058013.352 | 86.128 | 86.130 | 0.002 | 312 | 7398441.350 | 5058835.620 | 95.520 | 95.520 | 0.000 |
| 145 | 7399739.934 | 5058014.680 | 86.157 | 86.160 | 0.003 | 313 | 7398507.240 | 5058725.870 | 91.050 | 91.050 | 0.000 |
| 146 | 7399739.332 | 5058016.046 | 86.114 | 86.110 | -0.004 | 314 | 7398565.150 | 5058614.640 | 90.510 | 90.510 | 0.000 |
| 147 | 7399761.649 | 5058023.065 | 86.340 | 86.340 | 0.000 | 315 | 7398467.060 | 5058508.790 | 92.390 | 92.390 | 0.000 |
| 148 | 7399760.967 | 5058024.428 | 86.355 | 86.360 | 0.005 | 316 | 7398578.720 | 5058521.080 | 91.730 | 91.730 | 0.000 |
| 149 | 7399803.060 | 5058043.683 | 86.855 | 86.860 | 0.005 | 317 | 7398632.630 | 5058505.830 | 91.310 | 91.310 | 0.000 |
| 150 | 7399802.499 | 5058045.075 | 86.829 | 86.830 | 0.001 | 318 | 7398678.910 | 5058534.770 | 90.880 | 90.880 | 0.000 |
| 151 | 7400130.800 | 5058194.088 | 92.428 | 92.430 | 0.002 | 319 | 7398713.240 | 5058458.820 | 93.460 | 93.460 | 0.000 |
| 152 | 7400131.413 | 5058192.704 | 92.405 | 92.410 | 0.005 | 320 | 7398649.000 | 5058410.450 | 97.070 | 97.070 | 0.000 |
| 153 | 7400179.450 | 5058217.038 | 93.890 | 93.890 | 0.000 | 321 | 7398518.480 | 5058317.720 | 99.245 | 99.250 | 0.005 |
| 154 | 7400296.690 | 5058284.699 | 99.142 | 99.140 | -0.002 | 322 | 7399095.220 | 5058767.350 | 87.559 | 87.560 | 0.001 |
| 155 | 7400295.964 | 5058285.868 | 99.183 | 99.180 | -0.003 | 323 | 7398330.210 | 5058185.910 | 97.899 | 97.900 | 0.001 |
| 156 | 7400338.368 | 5058307.904 | 99.459 | 99.460 | 0.001 | 324 | 7399160.430 | 5058652.980 | 87.653 | 87.650 | -0.003 |
| 157 | 7400337.554 | 5058309.124 | 99.516 | 99.520 | 0.004 | 325 | 7398143.500 | 5058055.340 | 97.810 | 97.810 | 0.000 |
| 158 | 7400029.689 | 5058360.966 | 99.094 | 99.090 | -0.004 | 326 | 7397948.760 | 5057920.020 | 100.150 | 100.150 | 0.000 |
| 159 | 7400062.435 | 5058323.017 | 98.142 | 98.140 | -0.002 | 327 | 7398136.770 | 5057659.850 | 99.300 | 99.300 | 0.000 |
| 160 | 7400060.933 | 5058322.181 | 98.168 | 98.160 | -0.008 | 328 | 7398403.550 | 5057565.070 | 98.460 | 98.460 | 0.000 |
| 161 | 7400059.771 | 5058321.448 | 98.162 | 98.160 | -0.002 | 329 | 7398618.990 | 5057721.940 | 98.319 | 98.320 | 0.001 |
| 162 | 7400032.681 | 5058361.959 | 99.102 | 99.100 | -0.002 | 330 | 7399220.510 | 5058545.440 | 87.690 | 87.690 | 0.000 |
| 163 | 7400030.203 | 5058360.255 | 99.100 | 99.100 | 0.000 | 331 | 7398797.940 | 5057846.680 | 97.534 | 97.530 | -0.004 |
| 164 | 7399736.218 | 5058749.878 | 98.917 | 98.920 | 0.003 | 332 | 7399280.340 | 5058438.450 | 87.479 | 87.480 | 0.001 |
| 165 | 7399201.027 | 5058677.349 | 87.564 | 87.560 | -0.004 | 333 | 7399450.420 | 5059363.800 | 88.524 | 88.520 | -0.004 |
| 166 | 7399199.507 | 5058680.159 | 87.574 | 87.570 | -0.004 | | | | | | |
| 167 | 7399371.955 | 5058776.209 | 87.437 | 87.440 | 0.003 | | | | | | |
| 168 | 7399399.982 | 5058767.435 | 87.453 | 87.450 | -0.003 | | | | | | |

TABELA 10.8: Očitane Z vrednosti koordinata kontrolnih tačaka i kontrolnih profila izabranih za kalibraciju na LiDARMmCPP modelu